

พลาสติกและไนโตรเจนไนโตรเจนเป็นพืชในสกุลข้าว *Vigna radiata* (L.) Wilczek ใช้หนานห์โคจก้าวสีเขียว
บ้ำและบานห์โคจก้าวสีเขียว ด้วยวัตถุน้ำราษฎร์มา

นางสาว รัตน์ หนองขันทร์

วิทยานิพนธ์ปริญญาโท สาขาวิชาพัฒนาด้านนวัตกรรมทางการเกษตรเพื่อพัฒนา
สาขาวิชาพัฒนาด้านนวัตกรรมทางการเกษตรเพื่อพัฒนา
ศักยภาพด้านนวัตกรรมทางการเกษตรเพื่อพัฒนา
ศักยภาพด้านนวัตกรรมทางการเกษตรเพื่อพัฒนา
ปีการศึกษา 2543
ISBN 974-13-1858-6
ลิขสิทธิ์ของศักยภาพด้านนวัตกรรมทางการเกษตรเพื่อพัฒนา

19 ส.ย. 2544



โครงการ BRT ชั้น 15 อาคารมหานครชั้น

539/2 ถนนศรีอยุธยา เขตราชเทวี กรุงเทพฯ 10400

พลาสมิค โพร์ ไฟล์ของ ไโรโซนีเยม ในถั่วเขียว *Vigna radiata (L.) Wilczek* จากพื้นที่โครงการสร้าง
ป่า และป่าพันธุกรรมพืช จังหวัดนราธิวาส

นางสาว รัตนาดี หอมจันทร์

วิทยานิพนธ์นี้เป็นส่วนหนึ่งของการศึกษาตามหลักสูตรปริญญาวิทยาศาสตรมหาบัณฑิต
สาขาวิชาพันธุศาสตร์ ภาควิชาพุกามศาสตร์
คณะวิทยาศาสตร์ จุฬาลงกรณ์มหาวิทยาลัย
ปีการศึกษา 2543
ISBN 974-13-1358-6.
ลิขสิทธิ์ของจุฬาลงกรณ์มหาวิทยาลัย

PLASMID PROFILES OF *Rhizobium sp.* IN MUNGBEAN *Vigna radiata* (L.) Wilczek AT
FOREST-REVIVING AND PLANT GERMPLASM FOREST PROJECT,
NAKHONRATCHASIMA PROVINCE

Miss Rattanavadee Homjun

A Thesis Submitted in Partial Fulfillment of the Requirements
for the Degree of Master of Science in Genetics
Department of Botany
Faculty of Science
Chulalongkorn University
Academic Year 2000
ISBN 974-13-1358-6.

หัวข้อวิทยานิพนธ์

พลาสมีค โพร์ ไฟล์ของไร้โซเมียนในถั่วเขียว *Vigna radiata* (L.)

Wilczek จากพื้นที่โครงการสร้างป่า และป่าพันธุกรรมพืช
จังหวัดนครราชสีมา

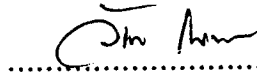
โดย นางสาว รัตนวดี หอมขันทร์

สาขาวิชา พัฒนาศาสตร์

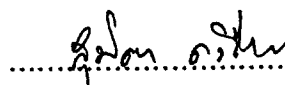
อาจารย์ที่ปรึกษา รองศาสตราจารย์ ดร. วรุษิ จุฬาลักษณ์วนกุล

อาจารย์ที่ปรึกษาร่วม อาจารย์อรทิพa เศรษฐบุตร

คณะวิทยาศาสตร์ จุฬาลงกรณ์มหาวิทยาลัย อนุมัติให้นับวิทยานิพนธ์ฉบับนี้เป็นส่วนหนึ่ง
ของการศึกษาตามหลักสูตรปริญญามหาบัณฑิต

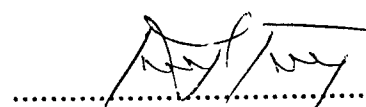
, คณะดีคคณะวิทยาศาสตร์
(รองศาสตราจารย์ ดร. วันชัย โพธิพิจิตร)

คณะกรรมการสอบวิทยานิพนธ์

, ประธานกรรมการ
(รองศาสตราจารย์ สุนิตรา คงชื่นสิน)

, อาจารย์ที่ปรึกษา
(รองศาสตราจารย์ ดร. วรุษิ จุฬาลักษณ์วนกุล)

, อาจารย์ที่ปรึกษาร่วม
(อาจารย์ อรทิพa เศรษฐบุตร)

, กรรมการ
(ผู้ช่วยศาสตราจารย์ เดือนใจ ไก่สกุล)

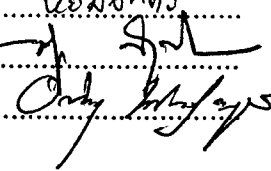
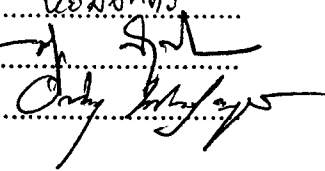
รัตนวดี หอมจันทร์ : พลางามิคิโพรไฟล์ของไร้โซโนบีนในถั่วเขียว *Vigna radiata (L.) Wilczek* จากพื้นที่โครงการสร้างป่า และป่าพันธุกรรมพืช จังหวัดนครราชสีมา อ. ที่ปรึกษา : รองศาสตราจารย์ ดร. วรุษิ ชาลาลักษณาภูมิ, อ. ที่ปรึกษาร่วม : อรทิพา เศรษฐบุตร. 171 หน้า. ISBN 974-13-1358-6.

การศึกษาประชากร *Rhizobium sp. (cowpea)* ในดินของพื้นที่โครงการสร้างป่าตามแนวพระราชดำริ และป่าพันธุกรรมพืช จังหวัดนครราชสีมา ซึ่งประกอบด้วยพื้นที่ป่าทุ่งหญ้าอ่อนภาครุนทรีย์ และพื้นที่ป่าเต็งรังผสมเบญจพรรณ (NT1R2) ดำเนินการเก็บตัวอย่างคินทั้งสิ้น 4 ครั้ง ระหว่างเดือนมีถุนายน 2541 ถึงเดือนมีนาคม 2542 ผลการศึกษาพบว่าค่าเฉลี่ยประชากรไร้โซโนบีนในดินมีความแตกต่างกันทางสถิติ ในแต่ละพื้นที่ โดยค่าเฉลี่ยพบมากในสองแปลงที่มีการปลูกกล้าไม้ (GLDP และ GLP) การศึกษานี้ไม่พบความสัมพันธ์ของค่าเฉลี่ยประชากรไร้โซโนบีนกับคุณสมบัติทางกายภาพดินที่ศึกษา

การจัดจำแนกความแตกต่าง และศึกษาความสัมพันธ์ของไร้โซโนบีนกับอุณหภูมิ 32 ไอโซเลท ที่แยกจากป่าถั่วเขียว 2 สายพันธุ์ จากดินในพื้นที่ป่าทุ่งหญ้าที่มีการปลูกกล้าไม้ร่วมกับชุดคันดินกันน้ำ (GLDP) และพื้นที่ป่าเบญจพรรณ (NT1R2) โดยใช้คุณสมบัติการด้านสารปฏิชีวนะและพลาสมิคโพรไฟล์ของเชื้อสามารถจัดจำแนกความต่างได้เป็น 11 และ 9 กลุ่มที่มีขนาดพลาสมิคอยู่ในช่วง 164-600 Mdal และเกือบครึ่งละ 70 ของไอโซเลททั้งหมดมีกลุ่มของการจัดจำแนกที่เหมือนกันโดยพลาสมิคโพรไฟล์และคุณสมบัติการด้านสารปฏิชีวนะแต่ไม่พบลักษณะเด่นของการจัดจำแนกตามแบบพลาสมิคที่สัมพันธ์กับสายพันธุ์พืชและแหล่งที่มาของเชื้อ สำหรับผลการจัดจำแนกตามคุณสมบัติทางชีวภาพเทคนิค RAPD ร่วมกับ 5 ไพรเมอร์ ให้ผลผลิตดีเยี่ยมอีกด้วย หลากหลายมีขนาดอยู่ในช่วง 0.29 – 3.0 กิโลเบต สามารถจำแนกประชากรไร้โซโนบีนออกเป็น 5 กลุ่ม โดยชนิดคินที่ต่างกันเป็นปัจจัยสำคัญทำให้เกิดความผันผวนมากกว่าสายพันธุ์พืช ซึ่งการจัดจำแนกคัวชีวเทคนิคพลาสมิคโพรไฟล์ พบว่ามีความสอดคล้องกับเทคนิค RAPD แต่ในบางกรณีให้ผลการจัดจำแนกในระดับที่สูงมากเกินไป ซึ่งเป็นข้อเสียของเทคนิคนี้หากนำมาใช้จัดจำแนกเพียงลำพังเทคนิคเดียว อย่างไรก็ตามพลาสมิคโพรไฟล์ร่วมกับเทคนิค RAPD นี้ นอกจากสามารถแยกความแตกต่างของเชื้อที่มีในไอโซเลทได้แล้ว ยังแสดงให้เห็นถึงความหลากหลายที่เกิดภายในพลาสมิคโพรไฟล์อุ่นเดียวกันอีกด้วย โดยข้อมูลจาก 2 เทคนิค นำมาอินยันความสัมพันธ์ได้ร่วมกับคุณสมบัติด้านสารปฏิชีวนะ แต่คงให้เห็นรายละเอียดของความสัมพันธ์เชิงวิเคราะห์การภายนอกในประชากร และประสิทธิภาพการจัดจำแนกที่เพิ่มมากยิ่งขึ้น

ผลการทดสอบประสิทธิภาพการตรวจในไอโซเลท พบว่าแยกพืชที่ดีของเอนไซม์ในไอโซเลทของเชื้อทั้ง 32 ไอโซเลท ไม่มีความแตกต่างกันอย่างมีนัยสำคัญทางสถิติ และพบว่าไอโซเลทส่วนใหญ่ให้น้ำหนักของดินแห้งที่สัมพันธ์ กับค่า ARA (Acetylene Reduction Assay) และน้ำหนักป闷แห้ง ลักษณะการเกิดป闷ที่พบ คือ เกิดป闷การกระจายความรากแก้ว ลักษณะที่ 2 และ 3 เกิดป闷การกระจายตามรากแขนง และรากแขนงกับรากแก้ว

ภาควิชา พฤกษาและศาสตร์
สาขาวิชา..... พัฒนาศาสตร์
ปีการศึกษา..... ๕๔๓

ลายมือชื่อนิติศ วี. ๓. แหก น. ๙. ๙. ๗. ๗.
ลายมือชื่ออาจารย์ที่ปรึกษา 
ลายมือชื่ออาจารย์ที่ปรึกษาร่วม 

KEY WORD: PLASMID PROFILES / *Rhizobium* / MUNGBEAN

RATANAVADAA HOMJUN : PLASMID PROFILES OF *Rhizobium* sp. IN MUNGBEAN

Vigna radiata (L.) Wilczek AT FOREST-REVIVING AND PLANT GERMPLASM FOREST

PROJECT, NAKHONRATCHASIMA PROVINCE. THESIS ADVISOR : ASSIST. PROF.

WARAWUT CHULALAKSANANUKUL, Ph.D. THESIS CO-ADVISOR : ORNTIPA

SATHABULR., THESIS 171 pp. ISBN 974-13-1358-6.

Studies on cowpea *Rhizobium* population in soil of revived forests at the Royal suggestions and plant germplasm forest project in Nakhon Ratchasima province, that included grassland regrown forest at Kornburi district and, deciduous mix with dipterocarp forest at Nongrawieng subdistrict were carried out. Soil sampling was conducted 4 times between June 1998 to Mar 1999. Results showing the averages of *Rhizobium* population were significantly different among all area. There are a lot of *Rhizobium* population in two grassland plots, which were grassland checkdam planting (GLDP) and grassland planting (GLP). No correlation were found between the mean of *Rhizobium* population and physical properties of soil.

Antibiotic resistance and plasmid profiles were determined for 32 fast - growing Rhizobia isolates recovered from nodules of two varieties of *Vigna radiata* (L.) Wilczek grown on soil of grassland checkdam planting (GLPD) and Decidous mix with dipterocarp forest (NT1R2). A total of 11 antibiotic profile groups and 9 plasmid profile groups were identified, with a plasmid size in range 164-600 Mdal. Nearly 70% of all isolates were grouped similarly by the plasmid profiles and antibiotic profiles. No correlation were found between plasmid profiles and origin of them. Genotypic properties of all isolates were identified by RAPD analysis of 5 primers which provided the varies profile of RAPD in range 0.29 – 3.0 kilobase. A dendrogram based on similarity of RAPD profiles obtained by neighbour-joining method were divided into 5 clusters. The result indicated that the different of soil types were the principle factor causing genetic variation rather than variety of plant. It was found that results of RAPD correlated with plasmid profiles except in some case of plasmid profiles showing high power of discrimination which was disadvantage of this technique, when used discrimination alone. However, RAPD analysis in combination with plasmid profiles was not only discriminate to enable grouping of closely related isolates but also provided more detailed picture of diversity within same plasmid groups. These techniques could be confirmed with antibiotic profiles, increased the details relationship and efficiency of isolate discrimination.

Nitrogen fixation efficiency were tested on mungbean kampeangsan 2. It was found that enzyme nitrogenase activities from nodules as measured by acetylene of 32 isolates were not significantly different. Most isolates showed relationship between plant dry weight, ARA and nodule dry weight. The characteristics of nodulation were found, nodulation were scattered along tap roots. second and third, nodulations were formed along lateral roots and tap roots include lateral roots, respectively.

Department..... Botany..... Student 's signature..... Rattanavadee Homjun.....
Field of study..... Genetics..... Advisor's signature..... Warut Chulah.....
Academic year..... 2000..... Co-Advisor's signature..... Orntipa Sathabulr.....

กิตติกรรมประกาศ

วิทยานิพนธ์ฉบับนี้สำเร็จลุล่วงด้วยดีโดยการอนุเคราะห์จากหลายฝ่าย ข้าพเจ้าขอกราบขอบพระคุณ รองศาสตราจารย์ ดร. วรุณิ จุฬาลักษณานุฤทธิ อาจารย์ที่ปรึกษาวิทยานิพนธ์ ที่กรุณาให้คำปรึกษาและคำแนะนำที่เป็นประโยชน์รวมทั้งตรวจแก้ไขวิทยานิพนธ์จนสำเร็จ

ขอกราบขอบพระคุณอาจารย์ อรทิพา เศรษฐบุตร อาจารย์ที่ปรึกษาร่วมวิทยานิพนธ์ ที่กรุณาเอามาใช้ให้ความรู้ คำแนะนำทางชีวโมเดกุล และเทคนิคต่างๆ ที่เป็นประโยชน์รวมถึงช่วยตรวจแก้ไขวิทยานิพนธ์จนสำเร็จ

ขอกราบขอบพระคุณ รองศาสตราจารย์ สุมิตร คงชื่นสิน ประธานกรรมการ และผู้ช่วยศาสตราจารย์ เดือนใจ ไก่สกุล กรรมการร่วมสอบวิทยานิพนธ์ที่ได้กรุณาให้คำแนะนำ และตรวจแก้ไขวิทยานิพนธ์

ขอขอบพระคุณสถาบันวิจัยวิทยาศาสตร์การแพทย์ทหารบก (ฝ่ายสหัสร) ที่ได้อนุญาตให้ใช้เครื่องมือและสถานที่ในการศึกษาและทดลองทางชีวโมเดกุล ขอขอบคุณหัวหน้าและเข้าหน้าที่ห้องปฏิบัติการวิจัยทางการแพทย์ทหารบก (ฝ่ายสหัสร) แผนก Enteric disease ทุก ๆ ท่านที่ให้กำลังใจ และช่วยเหลือในการทำงานวิจัยนี้สำเร็จด้วยดี

ขอขอบพระคุณคุณวิจัยจุลินทรีย์คุณ กองปฐพีวิทยา กรมวิชาการเกษตร ที่ได้อธิบายความละเอียดกับสถาบันที่สำหรับการทดลอง

ผลงานวิจัยนี้สำเร็จลุล่วงด้วยดีได้รับทุนสนับสนุนจากโครงการพัฒนาองค์ความรู้และศึกษา นโยบายการจัดการทรัพยากรทางชีวภาพในประเทศไทย ซึ่งร่วมจัดตั้งโดยสำนักงานกองทุนสนับสนุนการวิจัยและศูนย์พันธุวิศวกรรมและเทคโนโลยีแห่งชาติ รหัสโครงการ BRT 542080 จึงขอบพระคุณมา ณ. โอกาสนี้

สุดท้ายนี้ข้าพเจ้าขอกราบขอบพระคุณบิดา นารดา ที่ได้สนับสนุนช่วยเหลือและให้กำลังใจตลอดมา ทำให้วิทยานิพนธ์นี้สำเร็จลุล่วงด้วยดี

สารบัญ

	หน้า
บทคัดย่อภาษาไทย.....	๔
บทคัดย่อภาษาอังกฤษ.....	๖
กิตติกรรมประกาศ.....	๗
สารบัญตาราง.....	๙
สารบัญภาพ.....	๙
 บทที่	
1. บทนำ.....	1
2. ตรวจเอกสาร.....	4
- ความสำคัญของทรัพยากรป่ากับบทบาทชุมชนที่ริบัติร่องในโครงงานในศิน.....	4
- คุณสมบัติทั่วไปของไว้ใจเบี่ยม.....	5
- การจัดจำแนกสกุลและอนุกรมวิธานของไว้ใจเบี่ยม.....	6
- ถั่วเขียวและชนิดของไว้ใจเบี่ยมถั่วเขียว.....	7
- ไว้ใจเบี่ยมในฐานะแบบที่เรียบริงในโครงงาน.....	10
- กระบวนการเข้าสู่ราก.....	10
- ยืนที่เกี่ยวข้องกับการเกิดปม.....	13
- ชีวเคมีการตรึงในโครงงาน.....	15
- การศึกษาประชากรไว้ใจเบี่ยมในศิน.....	17
- ปัจจัยที่มีอิทธิพลต่อประชากรไว้ใจเบี่ยมในศิน.....	19
- ศึกษาคุณสมบัติทางฟิโนไทป์ของไว้ใจเบี่ยม.....	20
- ศึกษา พลาสมิด ไฟล์ (Plasmid profile) ของไว้ใจเบี่ยม.....	24
- การจัดจำแนกและศึกษาความผันแปรทางพันธุกรรมระดับโมเลกุล.....	28
3. อุปกรณ์ เครื่องมือ และสารเคมี.....	34
4. วิธีดำเนินการศึกษา.....	38
5. ผลการศึกษา.....	63
6. อกกิประยุกต์การศึกษา.....	120
7. สรุปผลและข้อเสนอแนะ.....	135
รายการอ้างอิง.....	138
ภาคผนวก.....	148
ประวัติผู้เขียน.....	171

สารบัญตาราง

ตารางที่	หน้า
1 ชนิดของไร้ไซเบิร์นและกลุ่มพืชตระกูลถั่วต่างๆ ที่เข้าอยู่อาศัย.....	8
2 การจำแนกไร้ไซเบิร์นในระบบใหม่.....	9
3 ลักษณะการทดลองปลูกถั่วเขียว 2 สายพันธุ์ โดยใช้คินจากพื้นที่โครงการศึกษา...	52
4 แผนการเก็บตัวอย่างเชื้อไร้ไซเบิร์นจากป่าถั่วเขียว 2 สายพันธุ์.....	53
5 ผังการแปรปริมาณ Taq DNA polymerase 3 ระดับที่สภาวะ annealing และปริมาณไพรเมอร์ที่ต่างกัน.....	58
6 แสดงไพรเมอร์ที่นำมาศึกษานาดความยาว 10-15 นิวคลีโอไทด์ จำนวน 7 ชนิด...	60
7 ตารางวิเคราะห์ความแปรปรวนของค่าเฉลี่ยความเป็นกรดค้างในดินของพื้นที่โครงการฯ.....	65
8 ค่าความเป็นกรด-ค้างของคินในพื้นที่โครงการศึกษา จังหวัดนครราชสีมา.....	65
9 ตารางวิเคราะห์ความแปรปรวนของค่าเฉลี่ยเปลอร์เซ็นต์ความชื้นของคินในพื้นที่โครงการฯ.....	68
10 เปลอร์เซ็นต์ความชื้นของคินในพื้นที่โครงการศึกษา จังหวัดนครราชสีมา.....	68
11 ตารางวิเคราะห์ความแปรปรวนของค่าเฉลี่ยเปลอร์เซ็นต์อินทรีย์วัตถุของคินในพื้นที่โครงการฯ.....	71
12 เปลอร์เซ็นต์อินทรีย์วัตถุของคินในพื้นที่โครงการศึกษา จังหวัดนครราชสีมา.....	71
13 ตารางวิเคราะห์ความแปรปรวนของค่าเฉลี่ยประชาริไร้ไซเบิร์นในดินจากพื้นที่โครงการฯ.....	75
14 ปริมาณไร้ไซเบิร์นในดินจากพื้นที่โครงการศึกษา จังหวัดนครราชสีมา.....	75
15 ค่าสัมประสิทธิ์ความสัมพันธ์ระหว่างคุณสมบัติทางกายภาพของคินกับปริมาณไร้ไซเบิร์น.....	78
16 ผลการต้านสารปฏิชีวนะของเชื้อไร้ไซเบิร์น 32 ไอโซเลท.....	82
17 ผลการศึกษาผลิตไพรไฟล์ของเชื้อไร้ไซเบิร์น 32 ไอโซเลท.....	85
18 แบบคีเอ็นเอที่เกิดจากการแปรปริมาณเอนไซม์และอุณหภูมิ annealing 3 ระดับ....	90
19 แบบคีเอ็นเอที่เกิดจากการแปรปริมาณ $MgCl_2$ ร่วมกับอุณหภูมิ annealing 3 ระดับ.	95
20 จำนวนและขนาดของชิ้นคีเอ็นเอที่เกิดจากไพรเมอร์ หั้ง 7 ชนิด.....	99
21 จำนวนและขนาดของชิ้นคีเอ็นเอที่เกิดจากไพรเมอร์ หั้ง 5 ชนิดที่เหมาะสม.....	101
22 ผลการศึกษาประสิทธิภาพการครึ่งในไตรเจนของไร้ไซเบิร์น 32 ไอโซเลท.....	116

สารบัญภาพ

ภาพ	หน้า
1 การเข้าสู่รากและการเกิดปม.....	12
2 กลไกการควบคุมการแสดงออกของกลุ่ม nod gene.....	14
3 กลไกการทำงานของเอนไซม์ในโตรอิเนสในกระบวนการตโรงเรืองในโตรเจน.....	16
4 ขั้นตอนการเพิ่มจำนวนขั้นส่วนดีเอ็นเอที่ต้องการ โดยวิธี PCR.....	30
5 ผังพื้นที่ในโครงการอนุรักษ์พันธุกรรมพืช อ. ครบูรี จ.นครราชสีมา.....	38
6 ตัวอย่างของแผนผังการจัดแบ่งศึกษาในแนวที่ 7.....	39
7 แผนผังที่ทำการศึกษาแต่ละชุดในแนวทางแนวนอน.....	40
8 แปลงศึกษาที่มีลักษณะเป็นทุ่งหญ้าที่มีการปลูกกล้าไม้และขาดคันดินก้นน้ำ (GLPD)	42
9 แปลงศึกษาที่มีลักษณะเป็นทุ่งหญ้าที่มีการปลูกกล้าไม้ (GLP).....	42
10 ชุดศึกษาที่เป็นเส้นทางการสัญจร (way).....	43
11 แปลงศึกษาในแนวที่ 10 มีลักษณะเป็นป่าทุ่งหญ้าที่มีการขาดคันดินก้นน้ำ (GLD) ..	44
12 แปลงศึกษาแนวที่ 10-11 มีลักษณะเป็นป่าทุ่งหญ้าที่ปล่อยให้พื้นสภาพตามธรรมชาติ	44
13 แปลงศึกษาในพื้นที่ป่าหนองระเวียง (NT1R2).....	45
14 ขั้นตอนการศึกษาทั้งหมด.....	47
15 การศึกษาปริมาณของไร ไฮเบิร์นในดิน โดยเทคนิค MPN-plant infect method....	51
16 การศึกษาประสิทธิภาพการตโรงเรืองในโตรเจนของเชื้อ ไฮเบิร์น ในขวด Leonard jar.	62
17 เปรียบเทียบค่าความเป็นกรด-ด่างของดินแต่ละแปลงศึกษา.....	66
18 เปรียบเทียบค่าเฉลี่ยความเป็นกรด-ด่างของดินในแต่ละแปลงศึกษาในรอบ 1 ปี....	66
19 การเปลี่ยนแปลงค่าเฉลี่ยความเป็นกรด-ด่างของดินในแต่ละช่วงเดือนในรอบ 1 ปี..	67
20 เปรียบเทียบเปลอร์เซ็นต์ความชื้นของดินในแต่ละแปลงศึกษา.....	69
21 เปรียบเทียบค่าเฉลี่ยเปลอร์เซ็นต์ความชื้นของดินในแต่ละแปลงศึกษาในรอบ 1 ปี....	69
22 การเปลี่ยนแปลงค่าเฉลี่ยเปลอร์เซ็นต์ความชื้นของดินในแต่ละช่วงเดือนในรอบ 1 ปี.	70
23 เปรียบเทียบเปลอร์เซ็นต์อินทรีย์ต่อกลุ่มดินในแต่ละแปลงศึกษา.....	72
24 เปรียบเทียบค่าเฉลี่ยเปลอร์เซ็นต์อินทรีย์ต่อกลุ่มดินในแต่ละแปลงศึกษาในรอบ 1 ปี	72
25 การเปลี่ยนแปลงค่าเฉลี่ยเปลอร์เซ็นต์อินทรีย์ต่อกลุ่มดินแต่ละช่วงเดือน ในรอบ 1 ปี	73
26 เปรียบเทียบปริมาณ ไร ไฮเบิร์น ในดิน แต่ละแปลงศึกษา.....	76
27 เปรียบเทียบค่าเฉลี่ยปริมาณ ไร ไฮเบิร์น ในดิน แต่ละแปลงศึกษาในรอบ 1 ปี.....	76
28 การเปลี่ยนแปลงค่าเฉลี่ยปริมาณ ไร ไฮเบิร์น ในดินแต่ละช่วงเดือน ในรอบ 1 ปี.....	77
29 ผลการแยกเชื้อและตรวจสอบสัณฐานวิทยาของเชื้อ ไร ไฮเบิร์น.....	79

สารบัญภาพ (ต่อ)

	หน้า
ภาค	หน้า
30 การทดสอบคุณสมบัติความเป็นเชื้อไวรัสเมี่ยน.....	80
31 แสดงการตอบสนองของเชื้อไวรัสเมี่ยนต่อการด้านสารปฏิชีวนะ.....	83
32 พลางามนิคขนาดใหญ่ของไวรัสเมี่ยน (<i>Rhizobium sp.</i> (ถั่วเขียว)) ที่แยกจากคินในพื้นที่โครงการฯ.....	86
33 การสกัดแยกโครโนไซนอลดีเอ็นเอจากไวรัสเมี่ยน.....	88
34 ผลการแปรปูร์มานา Taq DNA polymerase 3 ระดับ โดยใช้อุณหภูมิการ annealing ที่ 32 °C.....	91
35 ผลการแปรปูร์มานา Taq DNA polymerase 3 ระดับ โดยใช้อุณหภูมิการ annealing ที่ 36 °C.....	92
36 ผลการแปรปูร์มานา Taq DNA polymerase 3 ระดับ โดยใช้อุณหภูมิการ annealing ที่ 40 °C.....	93
37 ผลของปริมาณ MgCl ₂ 3 ระดับ ร่วมกับการใช้ Taq DNA polymerase 0.025 unit.....	96
38 ผลของปริมาณ MgCl ₂ 3 ระดับ ร่วมกับการใช้ Taq DNA polymerase 0.030 unit.....	97
39 ผลการศึกษาไฟรเมอร์ที่เหมาะสมที่ทำให้เกิดรูปแบบการสังเคราะห์ดีเอ็นเอที่เหมาะสมจากเชื้อ 4 ไอโซเลท ที่ต่างกัน.....	100
40 ชิ้นดีเอ็นเอที่ได้จากการสังเคราะห์ด้วยไฟรเมอร์ 1 ร่วมกับไวรัสเมี่ยน 32 ไอโซเลท... 102	
41 ชิ้นดีเอ็นเอที่ได้จากการสังเคราะห์ด้วยไฟรเมอร์ 2 ร่วมกับไวรัสเมี่ยน 32 ไอโซเลท... 103	
42 ชิ้นดีเอ็นเอที่ได้จากการสังเคราะห์ด้วยไฟรเมอร์ 4 ร่วมกับไวรัสเมี่ยน 32 ไอโซเลท... 104	
43 ชิ้นดีเอ็นเอที่ได้จากการสังเคราะห์ด้วยไฟรเมอร์ 6 ร่วมกับไวรัสเมี่ยน 32 ไอโซเลท... 105	
44 ชิ้นดีเอ็นเอที่ได้จากการสังเคราะห์ด้วยไฟรเมอร์ 7 ร่วมกับไวรัสเมี่ยน 32 ไอโซเลท... 106	
45 จัดจำแนกกลุ่มไวรัสเมี่ยนถั่วเขียว 32 ไอโซเลทในลักษณะ dendrogram.....	108
46 จัดจำแนกกลุ่มไวรัสเมี่ยนตามคุณสมบัติการด้านสารปฏิชีวนะที่สัมพันธ์กับกลุ่ม พลางามนิค.....	110
47 จัดจำแนกกลุ่มไวรัสเมี่ยนในลักษณะ dendrogram ที่เรื่อนโยงกับการจัดจำแนกตาม กลุ่มพลางามนิค ไฟล์และคุณสมบัติการด้านสารปฏิชีวนะ.....	113
48 แสดงการทดสอบ 4 คุณสมบัติการตรึงในโครงงานของเชื้อไวรัสเมี่ยน 32 ไอโซเลท... 118	
49 ดำเนินการเก็บปูนของเชื้อไวรัสเมี่ยนกับถั่วเขียวกำแพงแสน 2	119

บทที่ 1

บทนำ

ป่าธรรมชาติ เป็นแหล่งอุดมด้วยสิ่งมีชีวิต และความหลากหลายทางพันธุกรรมรูปแบบใหม่ ที่มีประโยชน์ต่อการนำมาพัฒนาปรับปรุงสายพันธุ์ เพื่อเพิ่มศักยภาพในการประยุกต์ใช้ (วิสุทธิ์ ใบไม้, 2532) ปัจจุบันป้าไม้ในหลายพื้นที่ถูกทำลายเป็นเหตุให้ระบบนิเวศป่าเปลี่ยนแปลงไป แหล่งอาหารเดื่องในธรรมชาติ เกิดการสูญเสียความหลากหลายทางพันธุกรรมของสิ่งมีชีวิต ซึ่งเป็นผล เสียต่อมนุษย์ในระยะยาว (กรณิการ วงศ์ว่องวัฒนาณ, 2536) การวางแผนจัดการเพื่อปรับปรุงพื้นที่ป่า ให้คืนสภาพ อาจทำได้โดยการปลูกป่าทดแทนร่วมกับการปรับปรุงคุณภาพดิน โดยเพิ่มธาตุอาหาร ที่จำเป็นให้กับดิน ธาตุอาหารหลักที่มีปริมาณน้อยในดิน แต่มีความจำเป็นต่อการเจริญของพืช มากที่สุด คือธาตุไนโตรเจน ดังนั้น วิธีการหนึ่งที่อาจทำได้ในการปรับปรุงคุณภาพดินในพื้นที่ป่า คือ การเพิ่มธาตุไนโตรเจนให้กับดินด้วยการปลูกพืชตระกูลถั่ว เสนื่อนทดสอบการใช้ปุ๋ยที่มีราคานา เพง เพราะพืชตระกูลถั่ว มีกระบวนการครึ่งในไนโตรเจนแบบชีวสัมพันธ์ (symbiosis) ที่เกิดขึ้นร่วม กับจุลินทรีย์ไร้โซเดียม (*Rhizobium*) กลุ่ม Symbiotic nitrogen fixation ซึ่งเป็นกระบวนการหนึ่ง ที่เกิดขึ้นเพื่อการดำรงชีวิตของสิ่งมีชีวิตที่สัมพันธ์กับผลผลิตพืช และความอุดมสมบูรณ์ของดิน เนื่องจากได้ในไนโตรเจนปริมาณมากจากการนี้เมื่อเทียบกับการครึ่งในไนโตรเจนแบบอิสระ การครึ่งในไนโตรเจนของไร้โซเดียมจะเกิดขึ้นบริเวณปม และการเกิดปมขึ้นอยู่กับความสามารถในการเข้าสู่รากของพืชที่เกิดขึ้นอย่างจำกัดเฉพาะเจาะจง ดังนั้น ข้อมูลการศึกษาประชากรไร้โซเดียม ในดินที่จำกัดต่อพืชจากแต่ละสภาพป่าต่างกัน สามารถนำมาใช้เป็นแนวทางการจัดการปรับปรุง พื้นฟูสภาพป่า และเป็นสิ่งจำเป็นที่จะก่อให้เกิดความเข้าใจถึงการเปลี่ยนแปลงของระบบนิเวศ โดยใช้ปริมาณจุลินทรีย์ที่ผันแปรไป เป็นดัชนีบ่งชี้ความอุดมสมบูรณ์ และประสิทธิภาพการพื้นฟู ป่า เพื่อหาแนวทางแก้ไขและปรับปรุงคุณภาพดิน

ถั่วเขียว (*Vigna radiata (L.) Wilczek*) เป็นพืชตระกูลถั่วในกลุ่ม cowpea ที่ทำรายได้ให้กับประเทศ เชื้อไร้โซเดียมที่แยกจากถั่วเขียวจัดอยู่ใน cowpea group และชนิดของไร้โซเดียมกลุ่ม เจริญเร็วที่แยกจากถั่วเขียว คือ *Rhizobium sp.* (*Vigna radiata (L.) Wilczek*) ซึ่งประกอบด้วยหลายสายพันธุ์ (strain) ที่ต่างกัน (สมศักดิ์ วงศ์วิง, 2525) ซึ่งการศึกษาความแตกต่างทางพันธุกรรม การจัดจำแนกสายพันธุ์ และศึกษาสายวิวัฒนาการทางพันธุกรรมของเชื้อ สามารถศึกษาได้จาก รูปแบบดีเอ็นเอ (Laguerre et al., 1994; Nuswantara et al., 1996) รายงานการศึกษาส่วนใหญ่ พบ ความหลากหลายทางพันธุกรรมเกิดขึ้นภายในประชากรจุลินทรีย์ในระดับความถี่สูง โดยที่ระดับ

ความหลากหลายที่ตรวจพบได้ภายในประชารถน์อุ่นภูมิภาคที่เลือกใช้ ซึ่งความผันแปรทางพันธุกรรมอาจเกิดจากกระบวนการแลกเปลี่ยนทางพันธุกรรม ในลักษณะการมีสิ่งกีดขวางการแลกเปลี่ยน การแยกกันทางภูมิศาสตร์ ชนิดของคิน หรือชนิดของพืชอาศัย (Paffett et al., 1996) นอกจากนี้แล้วสิ่งสำคัญอีกอย่างหนึ่ง คือ การมีพลาสมิคขนาดใหญ่ที่บรรจุในที่เกี่ยวข้องกับ Symbiotic function (Sym) ซึ่งมีบทบาทสำคัญต่อวิวัฒนาการของโครงสร้างประชากร ไร้ไข่เป็นในกลุ่มพวกเกรญเริ่ว โดยพลาสมิคินนี้ความถี่สูงในการเกิด transformation และ rearrangement ระหว่างต่างสายพันธุ์ หรือต่างชนิดได้ ซึ่งจะเพิ่มระดับความหลากหลายทางพันธุกรรมให้มีมากขึ้น การศึกษาความสัมพันธ์และจัดจำแนกสายพันธุ์ของเชื้อ สามารถศึกษาได้จากแบบแผนพลาสมิค ไฟฟ์ และคุณสมบัติทางพืชในไทยของเชื้อ ร่วมกับคุณสมบัติการค้านสารปฏิชีวนะที่สามารถนำมาใช้เป็นเครื่องหมายในการจัดจำแนก และศึกษาความสัมพันธ์เชิงวิวัฒนาการร่วมกับการวิเคราะห์บนพื้นฐานทางดีเอ็นเอ

งานวิจัยนี้ศึกษาปริมาณ ไร้ไข่เป็น (*Rhizobium sp.* (cowpea)) ในคินจากพื้นที่โครงการสร้างป่า และป่าพันธุกรรมพืช จังหวัดนครราชสีมา เพื่อเป็นข้อมูลพื้นฐานและแนวทางในการจัดการปรับปรุงพื้นที่ป่า พร้อมทั้งเปรียบเทียบข้อมูลการจัดจำแนกสายพันธุ์ของเชื้อ ไร้ไข่เป็นกลุ่มเกรญเริ่วจากถัวเฉียว 2 สายพันธุ์ โดยใช้คินในพื้นที่โครงการศึกษา ตามแบบแผนพลาสมิคไฟฟ์ คุณสมบัติทางพืชในไทยของเชื้อ ร่วมกับการจัดจำแนกโดยเทคนิค PCR โดยศึกษาความสัมพันธ์ และปัจจัยที่มีอิทธิพลทำให้เกิดวิวัฒนาการที่แตกต่างทางพันธุกรรมจากการวิเคราะห์รูปแบบ RAPD รวมทั้งศึกษาความสามารถในการตรังสีในโตรเจนของเชื้อ เพื่อเป็นแนวทางในการคัดเลือกสายพันธุ์ที่คินมีประสิทธิภาพต่อการปลูกต่อไป

วัตถุประสงค์ของการศึกษา

1. ศึกษาเปรียบเทียบปริมาณ ไร้ไข่เป็น (*Rhizobium sp.* (cowpea)) ในคินจากพื้นที่โครงการสร้างป่า และป่าพันธุกรรมพืช จังหวัดนครราชสีมา
2. เก็บรวบรวมและจัดจำแนกความแตกต่างของเชื้อ ไร้ไข่เป็นถัวเฉียว ตามแบบแผนพลาสมิคไฟฟ์ คุณสมบัติการค้านสารปฏิชีวนะของเชื้อ ร่วมกับการจัดจำแนกสายพันธุ์ของเชื้อ โดยเทคนิค RAPD
3. ศึกษาประสิทธิภาพการตรังสีในโตรเจนของเชื้อ ไร้ไข่เป็นถัวเฉียว ที่แยกจากคินในพื้นที่ในโครงการฯ

ประโยชน์ที่คาดว่าจะได้รับ

1. ข้อมูลแสดงความสัมพันธ์ของปริมาณໄรอยเดียต์ที่เปลี่ยนแปลงไปในระยะเวลา 1 ปี สำหรับใช้เป็นแนวทางการปรับปรุงและพื้นฟูสภาพป่า
2. ข้อมูลความสัมพันธ์ของการจัดจำแนกทางพันธุกรรมของเชื้อจากเทคนิค RAPD ที่ชื่อมโยงกับคุณสมบัติการด้านสารปฏิชีวนะ และแบบแผนพลาสมิคไฟล์ของเชื้อ ร่วมกับตัวคัดสินบางปัจจัยที่มีอิทธิพลต่อวิถีชีวภาพ โครงสร้างพันธุกรรมภายในประชากร จากการวิเคราะห์ด้วยเทคนิค RAPD
3. ข้อมูลการศึกษาประสิทธิภาพการครึ่งในโตรเจน เพื่อเป็นแนวทางในการคัดเลือกสายพันธุ์ที่คีโนไซร์ประโยชน์ต่อไป

สถานที่ทำการทดลอง

1. ห้องปฏิบัติการพันธุศาสตร์ ภาควิชาพฤกษศาสตร์ คณะวิทยาศาสตร์ จุฬาลงกรณ์มหาวิทยาลัย
2. ห้องปฏิบัติการสถาบันวิจัยวิทยาศาสตร์ทางการแพทย์ทหารบก (ฝ่ายสหสรุ)
3. ห้องปฏิบัติการวิจัยฤดินทรีดิน กองปฐพีวิทยา กรมวิชาการเกษตร

บทที่ 2

การตรวจเอกสาร

ความสำคัญของทรัพยากรป่ากับบทบาทจุลินทรีย์ต่องไนโตรเจนในดิน

ป่าไม้ เป็นศูนย์รวมแหล่งทรัพยากรทางธรรมชาติและความหลากหลายทางชีวภาพที่สำคัญ โดยเฉพาะป่าชื้นเขตร้อน เป็นแหล่งอุดมคุณค่าวัปชั่นส์ ปัจจุบันป่าไม้ในหลายพื้นที่ของประเทศไทยถูกทำลายจากการตัดไม้ทำลายป่า และการใช้ทรัพยากรทางธรรมชาติอย่างไม่ถูกต้องของมนุษย์ การลดลงของพื้นที่ป่าอย่างรวดเร็ว ย่อมมีผลกระทบต่อสิ่งมีชีวิตหลายชนิด โดยเฉพาะสิ่งมีชีวิตที่นับวันจะหาได้ยากและใกล้จะสูญพันธุ์เข้าไปทุกที่ ทำให้ขาดโอกาสที่จะศึกษาและเรียนรู้การใช้ประโยชน์จากธรรมชาติอย่างถูกต้อง และไม่สามารถอนุรักษ์ทรัพยากรอันมีค่าสิ่งเหล่านี้เอาไว้ได้ การฟื้นฟูสภาพป่าให้กลับคืนมาเหมือนเดิมจึงมีความจำเป็น ทั้งนี้เพื่อคงไว้ซึ่งความอุดมสมบูรณ์ของแหล่งอาหาร และรักษาไว้ซึ่งความหลากหลายทางพันธุกรรมของสิ่งมีชีวิตในระบบนิเวศป่า (วิสุทธิ ใบไม้, 2538)

โครงการสร้างป่าตามแนวพระราชดำริและป่าพันธุกรรมพืช สำนักอนุรักษ์ป่าฯ จังหวัดนครราชสีมา ซึ่งเป็นส่วนหนึ่งของโครงการอนุรักษ์พันธุกรรมพืช ในสมเด็จพระเทพรัตนราชสุดาสยามบรมราชกุมารี เป็นโครงการศึกษาค้นคว้า และทดลองเพื่อกีบรวบรวมข้อมูลในการนำไปประยุกต์ใช้แก่ปัญหาการใช้ทรัพยากรที่เกิดขึ้นในปัจจุบัน ทางโครงการได้ดำเนินการเก็บรวบรวมสายพันธุ์พืชปรับปรุงคุณภาพดิน โดยการปลูกกล้าไม้ทดแทน และบุคคลดินกันน้ำเพื่อชะลอการพังทลายของหน้าดิน และรักษาความชุ่มชื้นภายในดินเอาไว้ (วิสุทธิ ชินพันธุ์, 2537) สิ่งเหล่านี้จะช่วยให้สามารถเพิ่มความอุดมสมบูรณ์ และสามารถกลับคืนสู่สภาพป่าที่มีความอุดมสมบูรณ์เหมือนเดิมได้อย่างรวดเร็วกว่าที่จะปล่อยให้ฟื้นสภาพเองตามธรรมชาติ (secondary succession) ในการปรับปรุงฟื้นฟูสภาพป่า อาจเป็นการยากที่จะตัดสินว่าป่าที่ได้รับการปรับปรุงและฟื้นฟูสภาพนั้นมีความอุดมสมบูรณ์หรือไม่เพียงใด เพราะป่าส่วนใหญ่ในประเทศไทย ยังขาดการสำรวจและศึกษาวิจัยอย่างละเอียด การศึกษานิคพันธุ์ของพืชที่ขึ้นในป่าเป็นสิ่งที่ทำได้ยาก แต่อาจจะไม่เพียงพอที่จะยืนยันถึงสภาพที่แท้จริงของป่า จึงต้องมีการศึกษาอย่างลึกซึ้ง ที่สำคัญอยู่ร่วมด้วย จึงจะเพียงพอที่จะประเมินได้ว่าสภาพป่านั้นมีความอุดมสมบูรณ์อย่างไร

จุลินทรีย์ในดิน เป็นสิ่งมีชีวิตกลุ่มหนึ่งที่มีบทบาทสำคัญมากในระบบนิเวศป่า โดยเฉพาะอย่างยิ่งแบคทีเรีย ซึ่งเป็นสิ่งมีชีวิตที่พบเป็นปริมาณมากที่สุด เมื่อเทียบกับจุลินทรีย์ในดินกลุ่มอื่นๆ แบคทีเรียในดินกลุ่มที่มีบทบาทสำคัญต่อการฟื้นฟูระบบนิเวศ คือ แบคทีเรียในกลุ่มย่อยสลาย และ

กลุ่มตระหง่าน การปรับปรุงดินเพื่อพื้นฟูสภาพป่า จึงอาจทำได้โดยอาศัยกิจกรรมของ ชลินทรีย์ที่ช่วยเพิ่มธาตุอาหารในดิน (สมศักดิ์ วงศ์วิจัย, 2528) เป็นที่ทราบกันดีว่าธาตุในตระหง่านเป็น ธาตุอาหารหลักที่มีในปริมาณน้อย แต่มีความจำเป็นต่อการเจริญของพืชมากที่สุด และแหล่งกำเนิด ของธาตุในตระหง่านก็มีอยู่มากมายในอากาศแต่เมื่อปริมาณน้อยมากในดิน ประกอบกับธาตุ ในตระหง่านสามารถถูกชะล้าง และสูญเสียไปจากดินได้โดยง่าย จึงทำให้กระบวนการตรึง ไนโตรเจนที่เกิดขึ้นโดยธรรมชาติเป็นกระบวนการหนึ่งที่สำคัญต่อการคำรงชีพของสัตว์มีชีวิตใน ระบบนิเวศ กระบวนการตรึงไนโตรเจนส่วนใหญ่จะเกิดขึ้นได้ จำเป็นต้องอาศัยกิจกรรมของกลุ่ม ชลินทรีย์ตรึงไนโตรเจนในตระหง่าน ซึ่งมีทั้งพวกคำรงชีวิตแบบอิสระ (non symbiotic bacteria) และคำรงชีวิต แบบพึ่งพา (symbiotic bacteria) กระบวนการตรึงไนโตรเจนที่เกิดจากการทำงานร่วมกันระหว่าง พืชและกลุ่มตัวกับชลินทรีย์ไร้โซเดียม มีบทบาทเพิ่มธาตุในตระหง่านในดินได้ในปริมาณมากๆ เสมือนทดสอบการใช้ปุ๋ยที่มีราคาแพง

ไรโซเดียม (*Rhizobium*) ถูกจัดไว้ในกลุ่ม symbiotic nitrogen fixation ที่มีบทบาทสำคัญ ในการทำให้วัฏจักรการตรึงไนโตรเจนเกิดขึ้นได้อย่างสมบูรณ์ โดยสามารถเปลี่ยนไนโตรเจนที่มี อยู่มากมายในอากาศให้กลับคืนสู่ดิน หรือเปลี่ยนให้อยู่ในรูปอนุมูลของสารประกอบที่พืชสามารถ นำไปใช้ประโยชน์ได้ และเนื่องจากการคำรงชีวิตของชลินทรีย์ไรโซเดียมนี้ มีความเกี่ยวพันโดย ตรงกับพืช ดังนั้น การศึกษาปริมาณชลินทรีย์ไรโซเดียมที่จำเพาะกับพืชกลุ่ม cowpea ที่มีมากใน พื้นที่ป่าร่วมกับการศึกษาคุณสมบัติทางกายภาพของดินรวมไปถึงชนิดของพืชที่ปลูก อาจทำให้เข้าใจ และสามารถอธิบายกระบวนการเปลี่ยนแปลงของระบบนิเวศในป่า โดยใช้ปริมาณชลินทรีย์ที่ เปลี่ยนไปในแต่ละพื้นที่ป่า เป็นตัวชี้วัดในการตัดสินความอุดมสมบูรณ์ของดินในป่าที่กำลังได้รับการพื้นฟูว่าจะมีแนวโน้มที่จะเปลี่ยนแปลงและพัฒนาไปในทางใดๆ ได้หรือไม่ การเปรียบเทียบ การเปลี่ยนแปลงของชลินทรีย์กลุ่มนี้ในพื้นที่ที่ต่างกัน จะเป็นประโยชน์ในการตัดสิน ประสิทธิภาพการพื้นฟูสภาพป่า เพื่อเป็นแนวทางการปรับปรุงแก้ไขและพัฒนาพื้นที่ป่าต่อไป (สมศักดิ์ วงศ์วิจัย, 2528)

คุณสมบัติทั่วไปของไรโซเดียม

ตาม Burgey's Manual of Systematic Bacteriology (Jordan, 1984) ไรโซเดียมเป็น แบคทีเรียที่จัดอยู่ในวงศ์ (Family) Rhizobiaceae, สกุล (genus) *Rhizobium* ไม่สร้างสปอร์ โดยทั่วไปมีรูปร่างเป็นห้อง (rod shape) ข้อมติดสีแกรมลบ (gram negative) ต้องการอากาศ (aerobic bacteria) บางครั้งในที่มีออกซิเจนน้อยประมาณ 0.01 บรรยากาศก็สามารถอาศัยอยู่ได้

มีขนาดประมาณ $0.5-0.9 \times 1.2-3.0$ ไมครอน อาจจะอยู่เป็นเซลล์เดียวหรืออยู่เป็นคู่ เคลื่อนไหวได้เมื่ออายุน้อยโดยใช้แส้ (flagellum) มีทั้งแบบ monotrichous หรือ peritrichous ไม่มี endospore คุณสมบัติที่สำคัญของไร ไซเบิ่ม คือ สามารถทำให้รากของพืชในวงศ์ Leguminosae หรือ พืชตระกูลถั่วเกิดปั่นได้ โดยเข้าไปอาศัยในรากพืชตระกูลถั่วแบบพึ่งพาซึ่งจะได้ประโยชน์ร่วมกัน โดยไร ไซเบิ่มสามารถตรึงไนโตรเจนจากอากาศให้มหาอยู่ในรูปของสารประกอบไนโตรเจนที่พืชสามารถนำไปใช้ประโยชน์ได้ ขณะเดียวกัน ไร ไซเบิ่มก็ได้รับอาหารจากต้นพืช

เมื่อไร ไซเบิ่มเข้าไปอยู่ในเซลล์รากพืช จะเกิดการเปลี่ยนแปลงในรูปร่าง (differentiate) กล้ายเป็นแบคทีโรบอร์ด (bacteroid) ภายในเซลล์แบคทีโรบอร์ดสร้างเอนไซม์ไนโตรเจนส์ (Nitrogenase enzyme ; N₂ase) ซึ่งเป็นเอนไซม์ที่มีความสำคัญยิ่งในการกระบวนการตรึงไนโตรเจน เอนไซม์นี้จะเสื่อมสภาพในสภาวะที่มีออกซิเจน ดังนั้น จุลินทรีย์ที่มีความสามารถในการตรึงไนโตรเจน จึงต้องมีกลไกการป้องกันเอนไซม์ไนโตรเจนจากออกซิเจน โดยไร ไซเบิ่มจะกระตุ้นให้รากพืชสังเคราะห์สารเลกซ์ในโกลบิน (leghaemoglobin) ที่มีหน้าที่จับกับออกซิเจน เพื่อควบคุมปริมาณออกซิเจนที่จะเข้าไปถึงแบคทีโรบอร์ดให้อยู่ในระดับที่พอเหมาะสม (Cuttin, 1971; Appleyer, 1974) ปริมาณของเลกซ์ในโกลบินนี้ มีความสัมพันธ์กับปริมาณของไนโตรเจนที่ตรึงได้ และสารสีแดงสดจะถูกตรวจพบภายใต้แสงที่มีประสิทธิภาพการตรึงไนโตรเจน

การจัดจำแนกสกุลและอนุกรมวิธานของไร ไซเบิ่ม

การจำแนกชนิด (species) ของไร ไซเบิ่มมีเกณฑ์การจัดจำแนกแตกต่างกันไป หลายวิธีดังนี้ (สมศักดิ์ วงศ์, 2525) (1) จำแนกตามสัณฐาน และคุณสมบัติทางสรีระของเชื้อจากปฏิกริยาการทำให้ limus milk เป็นด่างหรือเป็นกรด (2) จำแนกโดยอาศัยความสามารถในการสร้างกรดหรือค่าของเรือนอาหารที่มี bromthymol blue เป็นอินดิเคเตอร์ (3) จำแนกโดยวิธี numerical technique อาศัยการนำลักษณะ และคุณสมบัติทางประการของเชื้อมาเปรียบเทียบกัน แล้วคำนวณหาเปอร์เซ็นต์ความคล้ายคลึงกันของลักษณะและคุณสมบัติของจุลินทรีย์เหล่านั้น (4) จำแนกโดยอาศัยลักษณะใบในคีอีโนเอเป็นเกณฑ์ (5) จำแนกโดย วิธี cross - inoculation group หรือ plant inoculation group ซึ่งเป็นวิธีที่นิยมใช้ในปัจจุบัน อันเป็นการจัดจำแนกชนิด ตามความสามารถของไร ไซเบิ่มในการทำให้รากพืชตระกูลถั่วแต่ละกลุ่มเกิดปั่น โดยไร ไซเบิ่มแต่ละชนิด เดือกเกิดปั่นได้เฉพาะกับถั่วบางชนิดหรือบางกลุ่มเท่านั้น วิธีนี้สามารถจำแนกชนิดของไร ไซเบิ่มตามกลุ่มถั่วที่เข้าสร้างปั่นได้ 6 กลุ่ม ดังตารางที่ 1 (Burton, 1965) แต่การจำแนกโดยวิธีนี้ในบางครั้งมีความไม่แน่นอน เพราะเชื้อไร ไซเบิ่มนบางชนิดอาจทำให้เกิดปั่นกับถั่วอกกลุ่มของตนเองได้

เรียก symbiotic promiscuity การจำแนกไว้ใช้เบี้ยนโดยวิธีต่าง ๆ ยังมีปัญหาอีกมาก เนื่องจากแต่ละวิธีมีข้อบกพร่องอย่างไรก็ตามวิธีการจำแนกแบบ cross-inoculation group นี้ มีผู้นิยมใช้มากที่สุด แม้จะมีความไม่แน่นอนเกิดขึ้นบ้างก็ตาม (Burton, 1965)

ต่อมา มีผู้คนค้นคว้าและศึกษาสรีริวิทยาและพันธุกรรมของไว้ใช้เบี้ยนมากขึ้น พบร้าไว้ใช้เบี้ยนที่อยู่ในกลุ่มเดียวกันยังมีความแตกต่างกันอยู่มาก จึงได้จำแนกไว้ใช้เบี้ยนออกเป็น 2 กลุ่มใหญ่ ๆ ตามความสามารถในการเจริญ (growth characteristics) ที่สัมพันธ์กับการผลิตกรดค้าง ประกอบกับระบบการจัดจำแนกแบบ cross-inoculation group ได้ดังนี้ คือ กลุ่มไว้ใช้เบี้ยนที่เจริญเร็ว และผลิตกรด (fast-growing, acid-producing rhizobia) ใช้เวลา 3-5 วัน ขนาดโคลโโนนีประมาณ 1-5 มิลลิเมตร และกลุ่มไว้ใช้เบี้ยนที่เจริญช้า และผลิตค้าง (slow-growing, alkali-producing rhizobia) ใช้เวลา 5-10 วัน ขนาดโคลโโนนีใหญ่สุด ประมาณ 1 มิลลิเมตร ดังตารางที่ 2 (พรพรรณ งสันติฤทธิ์, 2528)

ถั่วเขียวและชนิดของไว้ใช้เบี้ยนถั่วเขียว

ถั่วเขียว (*Vigna radiata* (L.) Wilczek) เป็นพืชตระกูลถั่วอายุสั้น มีความสำคัญทางเศรษฐกิจให้ผลผลิตเม็ดที่มีปริมาณสูง ใช้เป็นอาหารมนุษย์ เสียงสัตว์ หรือใช้เป็นปุ๋ยพืชสดเพื่อปรับปรุงโครงสร้างและความอุดมสมบูรณ์ของดิน สามารถปรับตัวเข้ากับสภาพแวดล้อมได้ค่อนข้างกว้าง ถั่วเขียวมีความสามารถในการตรึงไนโตรเจนร่วมกับแบคทีเรียไว้ใช้เบี้ยน ที่มีบทบาทสำคัญในการเพิ่มธาตุไนโตรเจนให้กับดินในพื้นที่เกษตรอันซึ่งตามปกติแล้วดินในสภาพป่าเสื่อมโทรมมีธาตุชนิดนี้อยู่น้อยมาก (เศรษฐา ศิริพินท์, 2535)

เชื้อไว้ใช้เบี้ยนถั่วเขียว ตามวิธีการจัดจำแนกแบบ cross-inoculation group อยู่ในกลุ่ม cowpea และชนิดไว้ใช้เบี้ยนที่แยกจากถั่วเขียว แบ่งได้ 2 ชนิด ตามอัตราการเจริญ และความสามารถในการผลิตกรด และค้างบนอาหาร Yeast-Mannitol Agar (YMA) ที่มี bromthymol blue เป็นอินดิเคเตอร์ ได้แก่ กลุ่มไว้ใช้เบี้ยนที่เจริญเร็วผลิตกรด (fast-growing, acid-producing rhizobia) คือ *Rhizobium* sp. และกลุ่มไว้ใช้เบี้ยนที่เจริญช้าผลิตค้าง (slow-growing, alkali-producing rhizobia) คือ *Bradyrhizobium* sp. และเนื่องจากไว้ใช้เบี้ยนในพวง cowpea group ประกอบด้วยถั่วเหลืองชนิด (Burton, 1965; Bergey, 1983) ดังนั้น ปฏิกริยาระหว่างไว้ใช้เบี้ยนกับถั่ว จึงกว้าง ไม่แคบเหมือน *Rhizobium japonicum* ซึ่งทำให้เกิดปมที่มีประสิทธิภาพกับถั่วเหลืองเท่านั้น แต่ไว้ใช้เบี้ยนในกลุ่ม cowpea นี้ สามารถทำให้เกิดปมในถั่วเหลืองชนิด เช่น ไว้ใช้เบี้ยนถั่วเขียวสามารถทำให้ถั่วถูกต้อง และถั่วฝักยาวเกิดปมได้ (สมศักดิ์ วงศ์วิง, 2525)

ตารางที่ 1 ชนิดของไร้โซเดียม และกลุ่มพืชตระกูลถัวต่าง ๆ ที่เข้าอยู่อาศัย (burton, 1965)

ชนิดของไร้โซเดียม (<i>Rhizobium</i> species)	พืชตระกูลถัวที่เข้าอยู่อาศัย (Scientific name)
<i>R. meliloti</i>	Alfalfa group <i>Medicago sativa</i> (อัลฟิลฟ่า) <i>M. orbicularis</i> <i>Melilotus alba</i> <i>Trigonella foenumgraceum</i>
<i>R. trifolii</i>	Clover Group <i>Trifolium hybridum</i> <i>T. repens</i> <i>T. arvense</i> <i>T. reflexum</i>
<i>R. leguminosarum</i>	Pea and Vetch Group <i>Pisum arvense</i> <i>Pisum sativum</i> (ถั่วถั่นเตา) <i>Vicia sativa</i> <i>V. faba</i> <i>Lathyrus odoratus</i> <i>Len culinaris</i>
<i>R. phaseoli</i>	Bean Group <i>Phaseolus vulgaris</i> (ถั่วเคengหลวง) <i>P. coccineus</i>
<i>R. japonicum</i>	Soybean Group <i>Glycine max</i> (ถั่วเหลือง)
<i>R. spp.</i>	Cowpea Group <i>Vigna radiata</i> (ถั่วเขียว) <i>Vigna sinensis</i> (ถั่วฝักขาว) <i>V. sesquipedalis</i> <i>Lespedeza striata</i> <i>Crotalaria juncea</i> <i>Desmodium loruosum</i> <i>Pueraria thunbergiana</i>

ตารางที่ 2 การจัดจำแนกไนโตรเจนในระบบใหม่ (กลุ่มงานวิจัยฤดินทรีดิน กองปัจฉิมวิทยา (2535) และ Bergey (1983))

พวงจรริบูตีบโตเร็ว (fast growers)

ชนิดไนโตรเจน	พืชตระกูลถัวที่อยู่อาศัย
<i>Rhizobium meliloti</i>	<i>Medicago sativa</i> (ถั่วฟักฟ้า) <i>Trigonella foenum-graecum</i> <i>Meliloti alba</i>
<i>Rhizobium leguminosarum</i>	
biovar. <i>trifolii</i>	<i>Trifolium spp.</i> (ถั่วโคลเวอร์)
biovar. <i>phasaoli</i>	<i>Phaseolus vulgaris</i> (ถั่วแಡงหลวง)
	<i>Phaseolus multifolius</i> (ถั่วแซก)
biovar. <i>viciae</i>	<i>Vigna sinensis</i> (ถั่วถั่นเตา)
	<i>Vigna faba</i> (ถั่วปากอียา) <i>Lens</i> (ถั่วเลนส์) และ <i>Lathyrus odoratus</i>
<i>Rhizobium loti</i>	<i>Lupinus</i> <i>Lolus</i> <i>Anthyllis</i> <i>Ornithopus</i>
<i>Rhizobium fredii</i>	<i>Glycine max</i> (ถั่วเหลือง)

พวงจรริบูตีบโตช้า (slow growers)

ชนิดไนโตรเจน	พืชตระกูลถัวที่อยู่อาศัย
<i>Bradyrhizobium japonicum</i>	<i>Glycine max</i> (ถั่วเหลือง)
<i>Bradyrhizobium spp.</i>	
-sp. (<i>Vigna</i>)	<i>Vigna radiata</i> (ถั่วเขียว) <i>Arachis hypogaea</i> (ถั่วลิสง) <i>Vigna sisensis</i> (ถั่วฝักยาว) ฯลฯ
-sp. (<i>Lupinus</i>)	<i>Lupinus sp.</i> <i>Lotus pedunculatus</i>

“โรบีนีมในฐานะแบคทีเรียตระอุในโตรเจน

แบคทีเรียตระอุในโตรเจนแบ่งเป็น 3 กลุ่ม ตามสภาวะการเจริญที่สัมพันธ์กับการตระอุในโตรเจน (ศุภมาศ พนิชศักดิ์, 2529) ดังนี้

ก. พวกรที่ตระอุในโตรเจนย่างอิสระ (free-living bacteria) คือ แบคทีเรียที่สามารถตระอุในโตรเจนได้ โดยไม่ต้องอาศัยสิ่งมีชีวิตอื่น เช่น *Klebsiella spp.* และ *Clostridium spp.*

ข. พวกรที่อยู่ร่วมกับสิ่งมีชีวิตอื่น แบบห้อมวน ๆ (associative symbiotic bacteria) แบคทีเรียพวกรนี้—เจริญหรือแบ่งตัวได้ในเซลล์เจ้าเรือน (host) แต่มีปริมาณการแบ่งตัวที่น้อยมาก เช่น *Azotobacter paspali*

ค. พวกรที่อยู่ร่วมกับพืชแบบพึ่งพา กันและกัน (obligatory symbiotic bacteria) แบคทีเรียพวกรนี้จะไม่ตระอุหรือตระอุในโตรเจนได้น้อยเมื่อยู่อย่างอิสระ ในทางตรงกันข้ามจะมีประสิทธิภาพการตระอุในโตรเจนสูงเมื่อยู่ร่วมกับเจ้าเรือน ตัวอย่างเช่น แบคทีเรียไร โซบีน ไร โซบีนเกิดการตระอุในโตรเจนแบบพึ่งพา กับพืชในวงศ์ Leguminosae การตระอุในโตรเจนเกิดขึ้นภายในปมรากจากนั้นไร โซบีนภายนอกเซลล์ราก จึงมีการพัฒนาเปลี่ยนแปลงกล้ายเป็นแบคทีโรบิค (Ausubel, 1984) ซึ่งจะเปลี่ยนรูปร่างเป็นหลายแบบ เช่น club-shape pear-shape X-shape Y-shape star-shape และ coccoid (Somasegaran, Hoben and Halliday, 1985) เกิดการรีดิวาร์ nitrogen (N_2) เป็นไอนีมอนีเนียม (amonia) (Ausubel, 1984) กระบวนการดังกล่าวประกอบด้วยหลายขั้นตอน ซึ่งต้องการพลังงานจากทั้งแบคทีเรียและพืชตระกูลถั่ว (Vincent, 1980; Verma and Iong, 1983) ดังนั้น ไร โซบีนที่อยู่อย่างอิสระจะไม่มีการพัฒนาเปลี่ยนแปลงกล้ายเป็นแบคทีโรบิค และไม่สามารถใช้ N_2 เป็นแหล่งสร้างในโตรเจนในรูปที่พืชนำไปใช้ประโยชน์ได้ (Ausubel, 1984) แบคทีเรียให้สารประกอบอินทรีย์ในโตรเจนแก่พืช ตัวนพืชเป็นผู้ให้แหล่งการบ่อนและแหล่งของพลังงานแก่แบคทีเรีย

กระบวนการเข้าสู่รากและการเกิดปน

ศุภมาศ พนิชศักดิ์ (2529) อธิบายกระบวนการเข้าสู่รากและการเกิดปน ประกอบด้วยขั้นตอนดังนี้

1. การขันสารจากราก (root exudate) รากของถั่วปล่อยสารทrip โตรเฟน ออกมาระดับต้น การเจริญของจุลินทรีย์

2. เกิดดีฟอร์เมชัน (deformation) ไร โซบีนเข้าสู่เซลล์พืช พร้อมกันนี้เกิดการนิวน์ตัวของรากบนอ่อน เมื่องมากจากสารสังเคราะห์ที่ไร โซบีนขับออกมาระดับต้น สารที่ขับออกมานี้มี

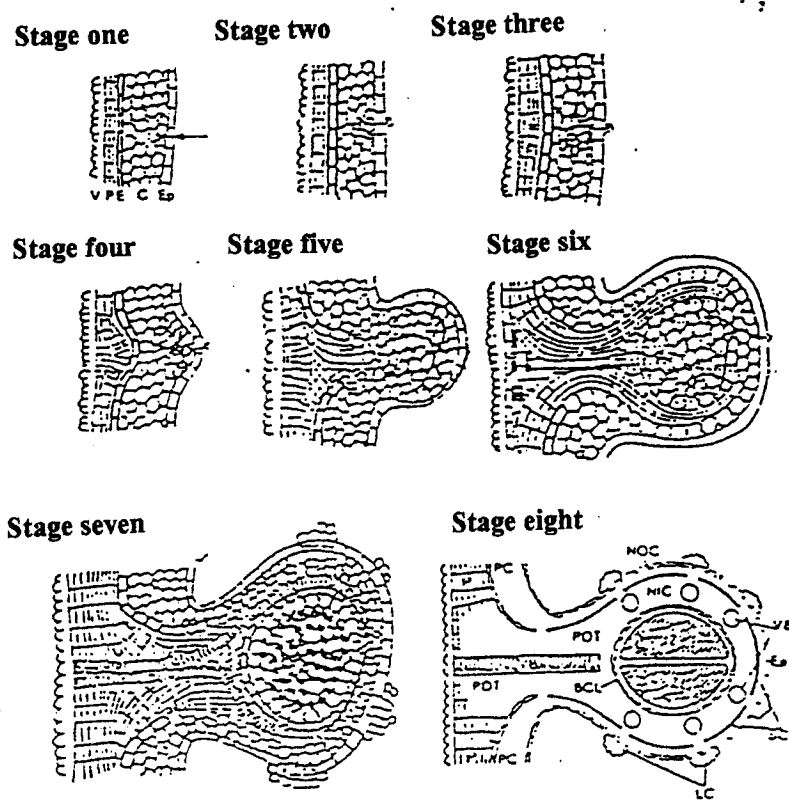
อยู่หลายชนิด เช่น กรดนิวคลีอิก (nucleic acid) และ พอลีแซคคาไรด์ (polysaccharide) เป็นต้น

3. เกิดอินเฟกชัน (infection) ไวรัสเปลี่ยนจากผลิตสารอื่นๆ อีก เช่น จิบเบอร์ริลลิน (giberellin) และ อาร์เอ็นเอ พอร์แซคคาไรด์ (RNA polysaccharide) อาร์เอ็นเอ พอร์แซคคาไรด์ ที่ไวรัสเปลี่ยนผลิต จะควบคุมให้พืชผลิตเอนไซม์พากเซลลูแลส (cellulase) และเพกตินาส (pectinase) ซึ่งจะย่อยผนังเซลล์รากขนอ่อน เมื่อไวรัสเปลี่ยนเข้าสู่รากขนอ่อนได้แล้วจะสร้าง infection thread ผ่านเซลล์คอร์ติคิดเข้าสู่ราก จากนั้นพืชจะสั่งเคราะห์เซลลูโลสห่อหุ้ม infection thread

4. การเกิดปุ่น (nodulation) ไวรัสเปลี่ยนผลิตสารพากไคตินส์ กระตุ้นการแบ่งเซลล์ของรากทำให้รากพองเกิดปุ่น พร้อมกันนั้น ไวรัสเปลี่ยนเริ่มเปลี่ยนสภาพกายเป็นแบคทีโรยด์เซลล์ จากนั้นเซลล์ชั้นเพอร์ิไซเคิลเพิ่มจำนวนมากขึ้นเกิดเป็นปุ่นขยายขนาดขึ้นเรื่อยๆ เซลล์ชั้นวัวสกูลาร์ ถูกสร้างขึ้นมาด้านรอบบริเวณนั้น และสร้างเซลล์ที่มีผนังเซลล์หนาด้านรอบบริเวณปุ่นนี้อีกขึ้นหนึ่ง (Vincent, 1980; Bauer, 1981) โดยปุ่นรากที่มีแบคทีโรยที่เรียกว่าสิทธิภาพตรึงในโตรเจน ปุ่นจะมีลักษณะเต่ง และมีสีชมพู เนื่องจากมีสารเลกซ์ไมโกบินินซึ่งทำหน้าที่จับออกซิเจนไม่ให้ออกซิเจนไปลดกิจกรรมของเอนไซม์ในโตรเจนส์ในกระบวนการตรึงในโตรเจน โดยถ้ามีออกซิเจนสูงจะไม่ให้พลังงาน และถ้าไม่มีเลกซ์ไมโกบินและพลังงาน ไวรัสเปลี่ยนก็จะตรึงในโตรเจนไม่ได้ (คงษัย คัมภีร์, 2530)

Vincent (1980) อธิบายกลไกการเกิดปุ่นว่า มี 8 ขั้นตอน ด้วยกัน (ภาพที่ 1)

ขั้นตอนที่ 1 ถัวหลังสารจำพวก flavanoid ซึ่งทำหน้าที่เป็นตัวรับสัญญาณที่ทำให้ไวรัสเปลี่ยนสร้างสารที่ช่วยกระตุ้นการเกิดปุ่น (nodulation factor) ที่เป็นสารจำพวก lipo-oligosaccharide นี้จะช่วยให้ไวรัสเปลี่ยนเข้าสู่เซลล์พืชได้ (ตรงกุศลชี) ขั้นตอนที่ 2 ไวรัสเปลี่ยนเพิ่มจำนวนและเข้าสู่เซลล์ในชั้นคอร์ติกซ์ ในขั้นตอนที่ 3 ชั้นเพอร์ิไซเคิลเริ่มแบ่งตัวเพิ่มจำนวน ขั้นตอนที่ 4 เมื่อไวรัสเปลี่ยนแบ่งตัวเพิ่มจำนวนมากขึ้นส่งผลให้ชั้นเพอร์ิไซเคิลแบ่งตัวเพิ่ม และในขั้นตอนที่ 5 ไวรัสเปลี่ยนเริ่มเปลี่ยนสภาพกายเป็นแบคทีโรยด์ ชั้นเพอร์ิไซเคิลเพิ่มจำนวนมากขึ้นเกิดปุ่นขยายขนาดขึ้นเรื่อยๆ ขั้นตอนที่ 6 เซลล์ชั้นวัวสกูลาร์ถูกสร้างขึ้น และในขั้นตอนที่ 7 พืชสร้างเซลล์ที่มีผนังหนาพร้อมกับเดินติดคิลามาด้านรอบผนังเซลล์รอบๆ บริเวณปุ่นในขั้นตอนที่ 8



ภาพที่ 1 แสดงการเข้าสู่รากและการเกิดปม (Vincent, 1980)

(V= vasculas tissue; P= pericycle; E=endodermis; C=cortex; Ep= epidermis)

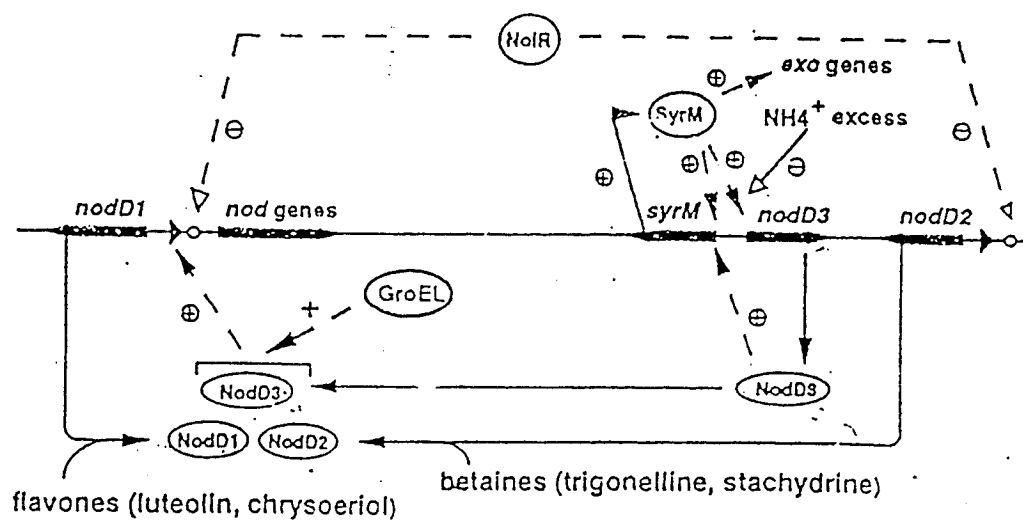
1. แบนคทีเรียเข้าสู่เซลล์
2. ไรโซบียมเพิ่มจำนวนในชั้นคอร์เท็กซ์
3. รากแบ่งตัวเพิ่มขึ้น
4. ชั้นเพอร์ริไซเคิล แบ่งตัวเพิ่ม ชั้นอิพิเดอร์นิสเริ่มแตกออก
5. ไรโซบียมเปลี่ยนสภาพเป็นแบนคทีรอยด์
6. เพอร์ริไซเคิล มีการแบ่งตัวเพิ่มและพิชสร้างเซลล์วาสкуลาร์ ขึ้นรอบลักษณะน้ำ
7. พิชสร้างผนังเซลล์หนามาล้อมรอบปมอีกชั้นหนึ่งเกิดปมขนาดใหญ่
8. มีการสร้างสเคลอรอยด์ เซลล์ ล้อมรอบปมอีกชั้นหนึ่ง

(P = plant cortex ; Lc =Lenticel; Sc= scleroid cell; NIC=nodule inner cortex ;PDT= pericycle derived tissue)

ยีนที่เกี่ยวข้องกับการเกิดปม (Nodulation genes)

ขึ้นที่มีบทบาทสำคัญในการเกิดปมของไร้โซเดียม คือ Nodulation genes (nod gene) โดยพบว่าไร้โซเดียมพวกเจริญช้ารวมทั้ง *B. japonicum* มี nod gene อยู่บนโครโนโซม ส่วนไร้โซเดียมพวกเจริญเร็ว เช่น *R. meliloti*, *R. trifoli* มี nod gene อยู่ทั้งบนโครโนโซม และพลาสติกที่เรียกว่า Sym plasmid (pSym) (ณัฐพร สุนทรวิจารณ์, 2534) หน้าที่สำคัญของ nod gene เกี่ยวข้องกับการสังเคราะห์ nodulation factor ที่เป็นสารประกอบจำพวก lipo-oligosaccharide

จากการศึกษาลึกซึ้งกระบวนการเกิดปมในระดับโมเลกุล พบกคุณ nod gene มี 2 ส่วน คือ regulatory nod gene และ structural nod gene โดย ขั้นแรก regulatory nod gene ทำหน้าที่เป็นตัวรับสัญญาณ จากสาร flavanoid ซึ่งกระตุ้นการทำงานของคุณ nod gene ตรงบริเวณ nod D gene ให้สร้างโปรตีน regulatory nod D ที่มีหน้าที่กระตุ้นการแสดงออกของยีน (transcriptional activator) ที่จะเป็นตัวกำหนดการให้ไร้โซเดียมแต่ละตัวเข้าสู่รากถ้วนแต่ละชนิด ไร้โซเดียมบางชนิดมี nod D gene เพียง 1 ชุด แต่บางชนิดมีมากกว่า 1 ชุด เช่น *R. meliloti* มี nod D gene 3 ชุด คือ nod D1 nod D2 และ nod D3 โปรตีน nod D1 มีหน้าที่ควบคุมการทำงานของ nod genes ในสภาพมี inducer พวก flavanoids betaines ส่วนโปรตีน nod D3 ทำหน้าที่กระตุ้น nod gene ในสภาวะไม่มี inducer ซึ่งการทำงานถูกยับยั้งโดยปริมาณในโตรเจนที่มากเกินพอ (ภาพที่ 2) ขั้นที่ 2 เมื่อ structural nod gene ได้รับสัญญาณกระตุ้น จาก regulatory nod gene ทำให้ nod gene ผลิตเอนไซม์ ที่เกี่ยวข้องกับการสร้างสาร lipo-oligosaccharide (nod factor) ซึ่งเป็นตัวทำให้รากพืชเกิดการเปลี่ยนแปลงของการอบผิวราก พื้นอันกับการที่เซลล์ไร้โซเดียมเคลื่อนที่เข้าสัมผัสริเวณผิวราก เมื่อไร้โซเดียมเข้าอยู่ในเซลล์รากพืช รากพืชเริ่มมีการเปลี่ยนแปลง โครงสร้างโดยอิทธิพลของโปรตีนที่สร้างจาก nod factor ขณะเดียวกันถ้วนจะสร้างโครงสร้างที่เรียกว่า infection thread เป็นท่อออกไปตามราก ผ่านชั้นอิพิเดอร์มิส ผ่านเยื่อโอดิเคอร์มิส ไปถึงเยื่อชั้นคอร์เท็กซ์ จากนั้นเซลล์ไร้โซเดียมจะเปลี่ยนรูปร่างเป็นแบคทีโรรอยด์ เริ่มแบ่งตัวแบบไมโทซิสเพิ่มจำนวนมากขึ้น ขณะเดียวกันเซลล์ชั้นคอร์ติดกับแบคทีโรรอยด์เพิ่มขึ้น เช่นกัน มีผลให้เซลล์รากพืชเปลี่ยนรูปเกิดการโค้งงอ และเปลี่ยนเป็นปมในที่สุด (Hirsch, 1992)



ภาพที่ 2 กลไกการควบคุมการแสดงออกของกลุ่ม *nod genes* (Hirsch, 1992)

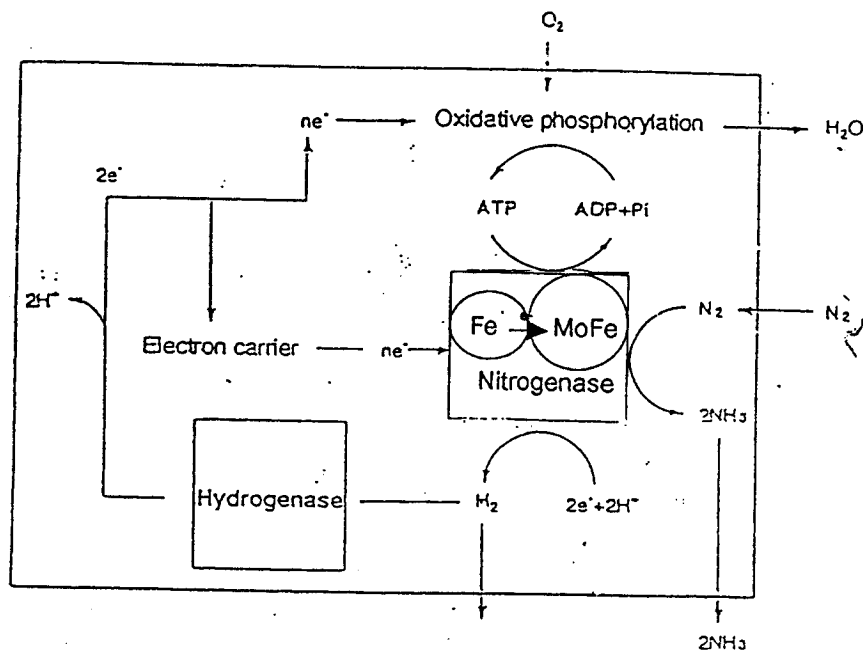
ชีวเคมีของการตรึงไนโตรเจน (Brill, 1977)

เมื่อเซลล์ໄร โซบียมเข้าสู่เซลล์พืช และเปลี่ยนสภาพเป็นแบคทีโรบัค โดยแบคทีโรบัคเป็นตัวสร้างเอนไซม์ที่สำคัญในกระบวนการตรึงไนโตรเจน คือ เอนไซม์ไนโตรจีเนส (N_2 ase) คุณสมบัติของเอนไซม์นี้ คือ สามารถเปลี่ยนไนโตรเจนจากอากาศให้เป็นแอมโมเนียม หรือแอมโมเนีย ไอออน ซึ่งอยู่ในรูปที่พิเศษสามารถนำไปใช้ได้ เอนไซม์นี้ประกอบด้วยโปรตีนที่ซับซ้อน 2 ส่วน คือ ส่วนที่ 1 (Component 1) ประกอบด้วย Molybdenum-Fe protein (Mo-Fe protein) ที่มีขนาดใหญ่ ประกอบด้วยโปรตีน 4 โมเลกุล และมีราดิเหล็กเป็นองค์ประกอบอยู่ถึง 24 อะตอม รวมทั้งนี้ ไม่พบคืนนี้เป็นโคเพฟกเตอร์อิก 2 อะตอม ส่วนที่ 2 (Component 2) ประกอบด้วย Fe-protein ที่มีขนาดเล็กกว่า ซึ่งประกอบด้วย 2 หน่วยย่อยที่เหมือนกัน และมีราดิเหล็กเป็นองค์ประกอบอยู่ 4 อะตอม

กลไกการทำงาน เริ่มจากอิเล็กตรอน ซึ่งเป็นผลผลิตที่ได้มาจากการสลายก๊าซไนโตรเจนโดยเอนไซม์ไนโตรจีเนส ถูกนำส่งผ่านไปให้กับ Fe-protein จากนั้น Fe-protein จะจับกับ ATP ที่ได้มาจากการส่งถ่ายอิเล็กตรอนในการกระบวนการหายใจดับเซลล์ (oxidative phosphorylation) ทำให้ redox potential ของเอนไซม์เพิ่มจาก -0.29 เป็น +0.40 มีผลทำให้ Fe-protein สามารถส่งผ่านอิเล็กตรอนต่อไปให้กับ Mo-Fe protein และเกิดการรีดิชชีนในไนโตรเจน เป็นแอมโมเนียมต่อไป (ภาพที่ 3)

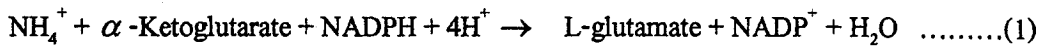
คุณสมบัติประการหนึ่งของเอนไซม์ไนโตรจีเนส คือ การเสื่อมสภาพในสภาวะมีออกซิเจน แบบไม่สามารถกลับคืนสภาพได้ (irreversible) ดังนั้น จุดนิทริย์ที่สามารถตรึงไนโตรเจนจากอากาศ จึงต้องมีกลไกป้องกันเอนไซม์ไนโตรจีเนสจากออกซิเจน กระบวนการปักป้อง คือ เซลล์พิชสร้างเลกซิโน่โกลบินมาจับออกซิเจน โดยเลกซิโน่โกลบินนี้ถูกซักนำให้สร้างเมื่อเมื่อโซบียมเข้าไปจริงอยู่ภายใต้เซลล์เท่านั้น โดยปัจจุบันถ้วนไนโตรเจนได้คืนนี้ ภายในปัจจุบันมีสีแดงสด ซึ่งเป็นสีของเลกซิโน่โกลบิน

กลไกที่ควบคุมกระบวนการตรึงไนโตรเจนเกี่ยวโยงกับเมtabolismusของเซลล์ โดยที่แอนโมเนียมไอออนที่ได้จากการตรึงไนโตรเจนเข้าทำปฏิกิริยากับ α -Ketoglutarate ที่อยู่ในเซลล์ของสิ่งมีชีวิต โดยอาศัยการทำงานของเอนไซม์กูลูตามะทีไนโตรจีเนส (glutamate dehydrogenase) ได้ผลผลิตเป็นกูลูตามะ คังปฏิกิริยาที่ 1 ส่วนผลของกูลูตามะนี้ เกิดจากการทำงานของเอนไซม์กูลูตามะนีชินເກສ คัง ปฏิกิริยาที่ 2



ภาพที่ 3 แสดงการทำงานของเอนไซม์ในโครเร็นส์ในกระบวนการตรึงไนโตรเจน

(Brill, 1977)



เอนไซม์กอสูต้าเมท และกอสูต้ามีนนี่ เป็นกรดอะมิโนที่ถูกเปลี่ยนเป็นกรดอะมิโนตัวอื่น ๆ ที่จำเป็น ต่อการเรียบต่อไป โดยอาศัยการทำงานของอะมิโน ทรานส์เฟอเรส (amino transferase) เนื่องจาก การครึ่งในโตรเจนต้องการพลังงาน ATP มาก ดังนั้น เอนไซม์ในโตรเจนส์ จึงถูกควบคุมไม่ให้ ครึ่งในโตรเจนโดยไม่จำเป็น เช่น ในกรณีของไรโซเบี้ยนกับถั่ว ถ้าปัจจุบันในดินอุดมสมบูรณ์ มีไนเตรท (NO_3^-) ต่อเกลือแอมโมเนียม (NH_4^+) มากเพียงพอ จะมีผลไปยับยั้งการสร้างปั่นที่ราก และการครึ่งในโตรเจนของไรโซเบี้ยน กระบวนการครึ่งในโตรเจนของไรโซเบี้ยนร่วมกับพืช ตระกูลถั่ว โคบิธินนี่ให้ปริมาณในโตรเจนที่สูงมากเมื่อเปรียบเทียบกับจุลินทรีย์ที่ครึ่งในโตรเจน แบบอิสระ ดังรายงานของ Allen และ Allen (1981) ได้ทำการศึกษาการครึ่งในโตรเจนแบบ ชีวสัมพันธ์ พบร่วมปริมาณของในโตรเจนที่คำนวนได้ต่อหน่วยเซลล์ที่ทำการครึ่งในโตรเจนจะเป็น 100-200 เท่าของที่คำนวนได้จากจุลินทรีย์ครึ่งในโตรเจนอย่างอิสระ เช่น *Azotobacter*

การศึกษาประชากรไรโซเบี้ยนในดิน

การประเมินประชากรไรโซเบี้ยนในดินเป็นวิธีที่ค่อนข้างซุ่มยากเนื่องจากในดินมีจุลินทรีย์ อญ্যานวนมาก โดยเฉพาะพวกที่มีลักษณะทางสรีระในด้านความต้องการสารอาหารที่คล้ายคลึงกับ ไรโซเบี้ยน ทั้งยังไม่สามารถคืนพนอาหารที่จำเพาะกับไรโซเบี้ยน จึงทำให้การประเมินประชากร โดยใช้ วิธี total plate count ให้ผลไม่แน่นอน ปัจจุบันนิยมใช้ วิธี MPN-plant infection test ใน การประเมินปริมาณไรโซเบี้ยนทั้งหมดในดิน ซึ่งจำเป็นต้องใช้พืชทดสอบที่มีความจำเพาะเจาะจง ต่ำๆ คือ ต้องเป็นพืชที่สามารถให้ชนิด หรือสายพันธุ์ต่างๆ ของไรโซเบี้ยนที่มีอยู่ในดินเข้าสู่ราก แล้วทำให้เกิดปั่นได้ ส่วนการประเมินหาประชากรไรโซเบี้ยนเฉพาะสายพันธุ์ ทำได้โดยใช้พืช ทดสอบที่มีความจำเพาะเจาะจงกับชนิดของไรโซเบี้ยนที่ต้องการศึกษา (สมศักดิ์ วงศ์, 2525)

พิกุล ธรรมานิมิตกุล, 2530 ได้ศึกษาผลกระทบจากการเปลี่ยนแปลงของกระบวนการทาง ระบบ呢เวคต่อการเปลี่ยนแปลงของประชากรไรโซเบี้ยน โดยแบ่งพื้นที่ศึกษาออกเป็น 3 ภาค คือ ภาคกลาง ภาคตะวันออกเฉียงเหนือ ภาคเหนือ โดยนับปริมาณไรโซเบี้ยนด้วยวิธี MPN plant infection ใช้ถั่วชิราโต้เป็นพืชทดสอบ ระยะเวลาดำเนินงาน 1 ปี พบร่วมภาคกลางมีปริมาณ ไรโซเบี้ยนน้อยจนถึงน้อยมากในพื้นที่ยอดเขา และพื้นที่ที่มีระบบการปลูกข้าวแบบต่อเนื่อง

ส่วนพื้นที่รบกวนที่ทำการปลูกพืชไว้ พืชหมุนเวียน และพื้นที่ว่างเปล่า พบໄiziเบี้ยนในปริมาณสูง ส่วนพื้นที่ป่ารวมทั้งป่าเบ็ด พบปริมาณໄiziเบี้ยนสูงด้วยเห็นกัน ส่วนภาคตะวันออกเฉียงเหนือ พบว่าปริมาณໄiziเบี้ยนในดินโดยทั่วไปค่อนข้างต่ำ และไม่มีความแตกต่างกันของจำนวนประชากรทั้งในที่รบกวนและพื้นที่ภูเขา ส่วนภาคเหนือพบปริมาณໄiziเบี้ยนมากับบริเวณเชิงเขาและพื้นที่ที่ใช้ปลูกพืชหมุนเวียนตลอดจนที่รกร้างว่างเปล่า ส่วนพื้นที่ป่าพบปริมาณໄiziเบี้ยนค่อนข้างน้อยและไม่แตกต่างกัน ซึ่งจำนวนประชากรໄiziเบี้ยนที่ต่างกันในแต่ละพื้นที่ อาจเนื่องมาจากการคุกคาม สภาพแวดล้อม ที่เปลี่ยนแปลงไปมีผลกระทบต่อระบบนิเวศของໄiziเบี้ยน

Beatrice และคณะ (1995) ทำการศึกษาความหลากหลายของໄiziเบี้ยน (*Phaseolus vulgaris L.*) ในดิน 2 ชนิด จากหุ่งนางริเวณไกส์ ๆ กันในประเทศเคนยา (Kenya) ซึ่งเคยปลูกข้าวและพืชหมุนเวียนเหมือนกัน และเป็นดินที่อยู่ในระดับความสูงเดียวกัน แต่มี pH ของดินต่างกันคือ 4.5 กับ 6.8 พบว่ามีปริมาณໄiziเบี้ยนไม่แตกต่างกัน

ปี ค.ศ. 1993 มีรายงานการสำรวจปริมาณเชื้อໄiziเบี้ยนถั่วคลิงในดินในประเทศไทยที่มีระบบการปลูกพืชต่างกัน โดยเทคนิค MPN-plant infect technique โดยใช้ถั่วคลิง เป็นพืชทดสอบพบว่า ระบบการปลูกพืชและอิฐพลาของสิ่งแวดล้อม มีผลต่อจำนวนประชากรໄiziเบี้ยนในดินโดยในดินที่มีการปลูกพืชหลายชนิดร่วมกับพืชตระกูลถั่วอย่างต่อเนื่อง หรือปลูกพืชอื่นสลับกับถั่วคลิง หรือถั่วเขียว มีประชากรໄiziเบี้ยนอยู่มาก และมากกว่าดินที่มีระบบการปลูกข้าวโพด อ้อย รวมถึงบริเวณที่ว่างเปล่า ซึ่งพบໄiziเบี้ยนในปริมาณน้อยถึงน้อยมาก (นันทกร บุญเกิด ปริชา วงศ์ศิริศักดิ์ และ วิทยา ธนาบุรณ์, 2536) การที่เชื้อໄiziเบี้ยนชนิดหนึ่งชนิดใดมีปริมาณมาก หรือน้อยในดินนั้น ขึ้นอยู่กับหลายปัจจัย เช่น การมีชีวิตอาศัยของเชื้อและพืชอาศัย โดย Boonkerd และ Weaver (1982) พบว่า การที่เชื้อໄiziเบี้ยนจะมีชีวิตอยู่ในดินได้ต้องเพียงได้ ขึ้นอยู่กับอุณหภูมิ และความชื้นของดิน ถ้าดินมีอุณหภูมิสูงเกิน 45°C และมีความแห้งแล้ง ໄiziเบี้ยนโดยทั่วไปจะไม่สามารถมีชีวิตอาศัยอยู่ได้ นอกจากนี้ Weaver, Mortis และ Boonkerd (1987) อธิบายว่า การมีเชื้อໄiziเบี้ยนในปริมาณมากหรือน้อยขึ้นอยู่กับหลายปัจจัยร่วมกัน เช่น สภาพแวดล้อมภายนอกดิน ปริมาณน้ำฝน รวมไปถึงสภาพความเป็นกรด-ค้าง อุณหภูมิ ความชื้น ปริมาณก๊าซออกซิเจน ภายในดิน ซึ่งสิ่งเหล่านี้มีผลทำให้จำนวนໄiziเบี้ยนมีความแตกต่างกันในแต่ละพื้นที่ และคุกคาม

ปัจจัยที่มีอิทธิพลต่อประชารตไร้โซเดียมในดิน

ไร้โซเดียมจะสามารถเจริญเติบโตมีกิจกรรม และมีชีวิตอยู่ในดินได้หรือไม่นั้นขึ้นอยู่กับอิทธิพลของสิ่งแวดล้อมภายในดินหลาຍ ๆ ประการด้วยกัน แต่ที่สำคัญได้แก่ (กลุ่มงานวิจัยชุดนททีคิน, 2529)

1. สายพันธุ์ของไร้โซเดียม (strain of *Rhizobium*)

ไร้โซเดียมแต่ละสายพันธุ์ย่อมมีความสามารถในการเจริญ และมีชีวิตอยู่ในดินได้แตกต่างกันขึ้นอยู่กับความสามารถในการปรับตัวให้เข้ากับสิ่งแวดล้อม สายพันธุ์ที่ปรับตัวได้ง่าย จะมีชีวิตอยู่ในดินได้ดีกว่า นอกจากนี้ความสามารถจะห่างหายระหว่างสายพันธุ์ของไร้โซเดียมกับชนิดถัวซึ้งเป็นอีกปัจจัยหนึ่ง ซึ่งถ้าสายพันธุ์ไร้โซเดียมไม่เหมาะสมกัน راكถัวจะเกิดเพียงปุ่มที่ไม่มีประสิทธิภาพการตรึงไนโตรเจน จึงพบอยู่เสมอว่าไร้โซเดียมชนิดเดียวกัน จะมีความสามารถต่างกันความสามารถในการตรึงไนโตรเจนได้

2. ความเป็นกรดเป็นด่างของดิน (soil pH)

ไร้โซเดียมบางสายพันธุ์ชอบความเป็นกรด บางสายพันธุ์ชอบความเป็นด่าง ส่วน pH ที่เหมาะสมต่อการเจริญอยู่ระหว่าง 6.5-7.5 คือ ดินที่ค่อนข้างเป็นกลางหรือกรดอ่อน ซึ่งโดยทั่วไปไร้โซเดียมไม่สามารถดำรงชีวิตอยู่ได้ในดินที่มี pH ต่ำ ๆ เพราะทุนความเป็นพิษของอนุภาคอุณหภูมิ แมลงกานิส และเห็ดกไม่ได้

3. อุณหภูมิและความชื้นของดิน (soil temperature and moisture)

สภาพแวดล้อมที่อุณหภูมิสูงและความชื้นในดินต่ำ มีผลทำให้ปริมาณไร้โซเดียมลดลงอย่างรวดเร็ว

4. ปริมาณของจุลินทรีย์ในดิน (soil microorganism)

ถ้าในดินมีจุลินทรีย์อื่น ๆ ที่สามารถผลิตสารที่เป็นพิษเป็นอันตรายต่อการเจริญของเชื้อไร้โซเดียมอย่างมากย่อมจะกระทบกระทบเทือนต่อการดำรงชีพของไร้โซเดียม โดยเฉพาะอย่างยิ่งพวก bacteriophage ที่กินเชื้อไร้โซเดียม ปริมาณ protozoa ที่มีอยู่ในปริมาณมากก็ย่อมทำให้ปริมาณของไร้โซเดียมลดลงอย่างรวดเร็วถ้า เช่น กินเชื้อไร้โซเดียม แต่อาจมีไร้โซเดียมบางสายพันธุ์ที่สามารถสร้างสารปฏิชีวนะขึ้นมาต้านทาน เช่น ไร้โซเดียมที่ขึ้นร่วมกับถั่วในกลุ่ม cowpea จะมีความสามารถต่อสารปฏิชีวนะนั้นได้ เช่น ไร้โซเดียมที่ขึ้นร่วมกับถั่วในกลุ่ม cowpea จะมีความสามารถต่อสารปฏิชีวนะเป็นพิเศษ ในทางกลับกันก็อาจมีจุลินทรีย์ในดินบางชนิดที่ช่วยส่งเสริมการเจริญของไร้โซเดียมอีกด้วยเช่นกัน

5. ปริมาณอินทรีย์วัตถุในดิน (organic matter content) อินทรีย์วัตถุมีอิทธิพลต่อการดำเนินชีพของໄрозิเบียนที่อยู่อย่างอิสระในดิน โดยเป็นแหล่งคาร์บอนและพลังงาน ซึ่งตามปกติໄрозิเบียนที่อยู่ในป่าจะได้แหล่งคาร์บอนและพลังงานจากสารประกอบอินทรีย์ที่พืชสร้างจากกระบวนการลังเคราะห์แสง

6. อาณาเขตบริเวณรอบรากพืช (rhizosphere) ในดินบริเวณโดยรอบรากพืช ໄрозิเบียนจะมีปริมาณมากและเริญ ได้ดีกว่าในดินบริเวณที่ไม่มีรากพืช ทั้งนี้ เพราะดินบริเวณรอบรากพืชมีอินทรีย์วัตถุในปริมาณมากกว่า และมีสารอินทรีย์บางอย่างถูกปลดปล่อยออกมายังรากด้วยซึ่งสารอินทรีย์ดังกล่าวจะช่วยให้ໄрозิเบียนเริญดีขึ้น แต่อาจมีพืชบางชนิดซึ่งแทนที่จะปลดปล่อยสารที่ช่วยกระศุน กลับปลดปล่อยสารที่มีพิษต่อการเริญของໄрозิเบียนออกมารบกวน ราก

7. อิทธิพลอื่น ๆ อีกหลายประการ ก็มีผลต่อการมีชีวิตและการเริญของໄрозิเบียนในดิน เช่น คุณสมบัติทางเคมี พลิกส์ และชีวภาพของดิน ภูมิภาค การแกร่งแย่งระหว่างสายพันธุ์ รวมถึงปริมาณก้าชอกซิเจน โดยໄрозิเบียนในดินร่วนชุยจะเริญเต็มโคล และมีกิจกรรมการตรึงไนโตรเจนที่ดีกว่าในดินเหนียวหรือดินที่มีน้ำแข็ง

การศึกษาคุณสมบัติทางพืโนในป่าของໄрозิเบียน

ในดินมีໄrozibacterin จำนวนมาก ทั้งที่อาศัยอยู่อย่างอิสระ และที่อยู่ภายใต้ผืนราก ต้นถั่ว ต้นเดียวกันแต่ต่างปักกัน อาจมีໄrozibacterin ที่มีสายพันธุ์แตกต่างกัน ซึ่งการที่ໄrozibacterin ชนิดหนึ่ง ประกอบด้วยสายพันธุ์เหล่านี้ เนื่องจากความผันแปรทางพันธุกรรม (genetic variation) หรือการปรับตัว(adaptation) ของเรื้อรัง ตามปกติความแตกต่างระหว่างสายพันธุ์นักแสดงออกได้ในหลาย ๆ ด้าน เช่น ความสามารถในการทนต่อสภาพแวดล้อม การต้านสารปฏิชีวนะ และความสามารถในการตรึงไนโตรเจน (สมศักดิ์ วงศ์วัง, 2525)

Laguerre, Mazurier และ Amarger (1992) ทำการสำรวจประชากรໄrozibacterin ชนิดเดียวกันพบความผันแปรทางพันธุกรรมและการเกิดสายพันธุ์ใหม่ในระดับความถี่สูง ซึ่งความหลากหลายที่เกิดอาจพิจารณาได้จากความแตกต่างของสมบัติทางกายภาพ และสามารถตรวจสอบได้จากคุณสมบัติทางพืโนในป่า เช่น ความสามารถในการใช้คาร์บอนไฮเดรท ความสามารถในการทนกรด คุณสมบัติการด้านสารปฏิชีวนะ และความสามารถในการตรึงไนโตรเจน ซึ่งความสามารถที่ต่างกันของเรื้อรังในด้านการตรึงไนโตรเจน นับว่ามีความสำคัญมากที่สุด และมักใช้เป็นเครื่องชี้ความแตกต่างของแต่ละสายพันธุ์ โดยลักษณะความโดยเด่นของໄrozibacterin ชนิดหนึ่ง ๆ สามารถนำมาใช้

เป็นมาตรฐานในการคัดเลือกสายพันธุ์ที่ดีมีประสิทธิภาพมาใช้ให้เกิดประโยชน์ได้สูงสุด (สมศักดิ์ วงศ์ใน, 2525)

Somasegaran และ Hoben (1994) กล่าวว่า คุณสมบัติทางพืชในไทยที่แสดงออกมาในด้านความสามารถในการตรึงไนโตรเจนของเชื้อที่มักจะพบเสมอว่า ประชากรไร่โซลีนนิกเดียว กันมีความสามารถในการเข้าสร้างปม และตรึงไนโตรเจนได้แตกต่างกันไป ซึ่งคุณสมบัติทางพืชในไทยปัจจุบันเชื้อที่แตกต่างกันนี้ จะเกิดขึ้นได้เสมอในกลุ่มของประชากรชุมชนที่อยู่ร่วมกับพืชตระกูลถั่ว ดังเช่น การศึกษาของ สมศักดิ์ วงศ์ใน (2525) ได้ทำการศึกษาความแตกต่างของเชื้อ บริสุทธิ์ไร่โซลีนที่แยกจากปมถั่วเหลือง (*Bradyrhizobium japonicum*) ซึ่งไม่ว่าจะเป็นเชื้อที่แยกจากปมถั่วเดียวกันแต่ต่างปมนกัน หรือจากปมถั่วที่ปลูกในสภาวะแวดล้อมที่ต่างกัน เมื่อนำเชื้อ บริสุทธิ์ที่ได้มาทดสอบประสิทธิภาพการตรึงไนโตรเจน มักพบเสมอว่า *B. japonicum* สายพันธุ์ต่าง ๆ เหล่านี้ มีความสามารถในการสร้างปมและตรึงไนโตรเจนได้ไม่เท่ากัน ซึ่งความแตกต่าง กันของความสามารถในการตรึงไนโตรเจนของเชื้อนี้เอง จึงได้มีการแบ่งไว้โซลีนพากฯ ตามความสามารถ หรือประสิทธิภาพของเชื้อ เช่นที่ Brockwell และ Katznelson (1976) ได้แบ่ง ประสิทธิภาพของเชื้อที่ใช้ในการทดลองออกเป็นพาก ๆ คือ พากที่มีประสิทธิภาพในการตรึงไนโตรเจนสูงมาก (highly effective) มีประสิทธิภาพสูง (effective) มีประสิทธิภาพปานกลาง (intermediate effective) มีประสิทธิภาพต่ำ (poorly effective) และพากไม่มีประสิทธิภาพ (ineffective) เป็นต้น กระบวนการการตรึงไนโตรเจนที่เกิดขึ้นเนื่องจากเชื้อบคคลที่เรียกว่าร่วมกันแบบพึ่งพาอาศัยกันปมรากเป็นกระบวนการที่เกิดแบบขั้นตอน มีความสัมพันธ์กันข้องกันทั้งระหว่าง พันธุกรรมของพืช สายพันธุ์ของเชื้อ ไร่โซลีน และสภาวะแวดล้อม (เศรษฐ ศิริพินท์, 2535) ปัจจัยที่แตกต่างกันเหล่านี้ทำให้เกิดความหลากหลายของคุณสมบัติทางพืชในไทย ซึ่งสามารถนำมาใช้เป็นมาตรฐานสำหรับจำแนกความสามารถแตกต่างภายใต้ประชากรของเชื้อชนิดเดียวกันได้เป็นลาย ๆ กลุ่ม (ณัฐพร สุนทรภิราณ์, 2534)

นอกจากนี้คุณสมบัติการต้านสารปฏิชีวนะของเชื้อก็จัดได้ว่าเป็นอีกคุณสมบัติหนึ่งที่สำคัญ ซึ่งสามารถตรวจพบได้เสมอ ๆ จากหลาย ๆ รายงานการวิจัยศึกษาประชากรไร่โซลีน

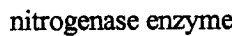
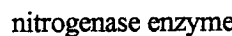
Cole และ Elkan (1973) กล่าวว่า การจำแนกความสามารถแตกต่างภายใต้ประชากรไร่โซลีน ชนิดเดียว อาจพิจารณาได้จากคุณสมบัติทางพืชในไทยปัจจุบันเชื้อที่ต่างกันโดยเฉพาะอย่างยิ่งด้วยความต่าง กันทางพันธุกรรมของเชื้อ มีผลอย่างมากต่อการแสดงออกของรูปแบบการต้านสารปฏิชีวนะ ซึ่ง ความหลากหลายของคุณสมบัติทางพืชในไทยที่ต่างกัน สามารถนำมาใช้เป็นมาตรฐานในการแยก สายพันธุ์ของเชื้อ ได้ดี โดยจะมีความจำเพาะสูงในแต่ละสายพันธุ์

Abdel Basit, Kotob และ Van Berkum (1991) ศึกษาความหลากหลายทางพีโน่ในไทยปัจจุบัน เห็นที่แยกจากปัจจุบันรากถ้วน พบรากต่างของรูปแบบการต้านสารปฏิชีวนะที่มักจะเกิดขึ้นได้เสมอในประชากรของเชื้อที่แยกจากปัจจุบันราก Teamuraong, Murooka และ Boonkerd (1995) กล่าวว่าคุณสมบัติทางพีโน่ในไทยปัจจุบันพื้นฐานการต้านสารปฏิชีวนะที่ต่างกันของเชื้อไร้ไขว้เปลี่ยนสามารถนำมาใช้ยืนยันผลการจัดจำแนกสายพันธุ์ของเชื้อชนิดเดียวกัน หรือต่างชนิดกันได้อย่างรวดเร็ว และมีประสิทธิภาพเมื่อวิเคราะห์ร่วมกับเทคนิค PCR ดังการทดลองของ Achara และคณะ (1996) ศึกษาลักษณะของ *Bradyrhizobium* ที่แยกจากปัจจุบันถ้วนเหลือในประเทศไทย พบรากต่างของลักษณะการผลิตเอนไซม์ การผลิตออกซิน (IAA) รวมถึงการเจริญในสภาวะ pH ที่ต่างกัน พบรากแต่ละไอโซเลตที่ศึกษามีความสามารถผลิตเอนไซม์ได้ชนิดเดียวกัน แต่ปริมาณเอนไซม์ที่ผลิตได้มีความแตกต่างกัน โดยการสร้างเอนไซม์จะลดลงเมื่อเดียงในอาหารที่มีความเป็นกรดสูง ยกเว้นสายพันธุ์ที่ทนกรด ยังคงให้ผลิตเอนไซม์ในปริมาณที่สูงเหมือนเดิม ดังนั้น จึงสามารถนำคุณสมบัติทางกายภาพเหล่านี้ มาใช้จำแนกความแตกต่างของแต่ละสายพันธุ์ได้ โดยอาศัยลักษณะการผลิตเอนไซม์ การเจริญในสภาวะ pH ที่ต่างกัน ซึ่งความแตกต่างดังกล่าวสามารถนำมาใช้ยืนยันผลได้ร่วมกับเทคนิค PCR โดยในการทดลองนี้ พบราก เทคนิค PCR ที่ศึกษา ร่วมกับ 5 ไพรเมอร์ ให้รูปแบบจำเพาะของแอบดีเอ็นเอที่ต่างกันในแต่ละสายพันธุ์ ซึ่งรูปแบบของผลผลิตดีเอ็นเอที่ต่างกันนี้ สามารถนำมาใช้จัดจำแนกความแตกต่างของเชื้อที่มีคุณสมบัติทางพีโน่ในไทยที่เหมือนกันออกจากกันได้ นอกจากนี้แล้วยังพบว่าคุณสมบัติการต้านสารปฏิชีวนะที่ต่างกันของเชื้อ จัดว่าเป็นลักษณะที่สำคัญมากอีกลักษณะหนึ่งที่นำมาใช้จำแนก เช่นเดียวกับความผันแปรที่เกิดขึ้นเสมอๆ ในธรรมชาติ โดยรูปแบบการต้านสารปฏิชีวนะมีความจำเพาะสูงในแต่ละสายพันธุ์และสามารถนำมาใช้ยืนยันผลการจำแนกสายพันธุ์ร่วมกับเทคนิค PCR ได้ ซึ่งในบางกรณี อาจให้ผลที่สอดคล้องกัน เช่นเดียวกับการทดลองของ Teamuraong, Boonkerd และ Murooka (1996) ศึกษาและจัดจำแนกสายพันธุ์ของ *Bradyrhizobium* โดยใช้เทคนิคทาง PCR และยืนยันผลร่วมกับคุณสมบัติการต้านสารปฏิชีวนะ (antibiotic profile) 7 ชนิด พบรากสอดคล้องกันของผลการทดลอง โดยแบบแพน PCR ให้ผลที่แม่นอน และแม่นยำกว่าในสภาวะการสั่งเคราะห์ดีเอ็นเอที่เหมาะสม เนื่องจากเป็นการศึกษาลึกซึ้งไปถึงระดับยีน โดยพบว่า สายพันธุ์ E-7-1 และ E171 ของ *Bradyrhizobium sp.* ให้ลักษณะการจัดจำแนกทางพีโน่ในไทยที่เหมือนกัน แต่ให้รูปแบบการต้านสารอิหริโตรามินที่ต่างกัน ซึ่งก็ยังเป็นที่น่าสนใจอยู่และขณะเดียวกันก็พบว่า สายพันธุ์ USDA117 และ THAS ให้ผลการจัดจำแนกทางพีโน่ในไทยที่เหมือนกันมากกว่าแล้วซึ่งให้รูปแบบการต้านสารปฏิชีวนะที่เหมือนกันอีกด้วย ซึ่งก็เป็นสิ่งที่น่าสนใจมากที่แสดงให้เห็นว่าข้อมูลที่ได้จากการจัดจำแนกโดยคุณสมบัติทางพีโน่ในไทย สามารถนำมาใช้ยืนยันผลควบคู่กับการศึกษาคุณสมบัติทางพีโน่ในไทยปัจจุบันของเชื้อ และอาจมีประโยชน์สำหรับใช้ยืนยันความแตกต่างทางพันธุกรรมที่ละเอียดมากขึ้น อย่างไรก็ตามการศึกษาคุณสมบัติการต้านสารปฏิชีวนะ อาจให้ผลไม่แม่นอนขึ้นกับสภาวะ

แวดล้อมและสามารถเปลี่ยนแปลงได้เช่นอยู่กับพื้นที่ซึ่งแบคทีเรียอาศัยอยู่ (Brockman and Bezdicek, 1989) และการที่เชื้อไวรัสเปลี่ยนมีจำนวนหลากหลายของ สายพันธุ์ ซึ่งแต่ละสายพันธุ์ มีความสามารถในการเข้าสร้างปัมต์ริงในโตรเจนที่แตกต่างกัน และยิ่งความหลากหลายของเหล็ก พันธุกรรมมีมากเท่าไร ก็ยิ่งเพิ่มโอกาสในการคัดเลือกเชื้อได้มากขึ้นเท่านั้น (วิสุทธิ ใบไม้, 2532)

การวัดอัตราครึ่งในโตรเจนโดยวิธีอะเซทิลีน รีดักชัน (Acetylene Reduction Assay)

ในการวัดการตรึงไนโตรเจนสามารถกระทำได้หลายวิธี แต่วิธีที่เม่นยำ สะดวก คืนเปลืองเวลาน้อย และนิยมใช้กันมากที่สุด คือวิธีการวัดการตรึงไนโตรเจนโดย วิธีอะเซทิลีน รีดักชั่น ซึ่งเป็นการวัดปริมาณก๊าซเอทิลีน (ethylene) ($\text{H}_2\text{C} = \text{CH}_2$) ที่เกิดขึ้นจากอะเซทิลีน (acetylene) ($\text{HC} = \text{CH}$) โดยอาศัยปฏิกิริยาของเอนไซม์ในตับในยูคลินทรีย์ โดย ศุภมาศ พนิชศักดิ์พัฒนา (2529) Dilworth (1966) รายงานว่า อะเซทิลีน (C_2H_2) สามารถถูกรีดิวชั่นเป็นเอทิลีน (C_2H_4) ได้โดยอาศัยปฏิกิริยาของเอนไซม์ในตับ ดังเช่น ปฏิกิริยาของ Hardy และคณะ (1973)



การวัดอัตราการตรึงไนโตรเจน โดยวิธีนี้อาศัยหลักการที่ว่า เอนไซม์ในโตรจีเนสกระตุ้นการลดออกซิเจนของก๊าซไนโตรเจนจากอากาศ (N_2) โดยในขั้นแรกของการตรึงไนโตรเจนสามารถลดออกซิเจน หรือ ถ่ายทอดคือเล็กตรอนให้กับอะเซทิกลิน (C_2H_2) และผลที่ได้คือ เอทีลีน (C_2H_4) ดังเช่น ปฏิกิริยาที่ 1 และที่ 2 ของ Hardy และคณะ (1973) หรืออาศัยการวัดความสามารถของเอนไซม์ในโตรจีเนสในการที่จะเปลี่ยนจากก๊าซอะเซทิกลินไปเป็นเอทีลีน ได้ด้วยการหาปริมาณอะเซทิกลินที่เหลือ และเอทีลีนที่เกิดขึ้นได้ จากเทคนิคก๊าซโกรมาโทกราฟี (gas chromatography) โดยปริมาณอะเซทิกลินจะเป็น 3 เท่าของปริมาณ หรือความเข้มข้นของไนโตรเจนที่ถูกรีดิวช์ไปเป็นแอมโมเนียม ทั้งนี้เนื่องจากการรีดิวช์จากอะเซทิกลินไปเป็นเอทีลีนนั้นใช้อิเลคตรอนเพียง 2 อนุภาค ส่วนการรีดิวช์จากไนโตรเจนไปเป็นแอมโมเนียมต้องใช้อิเลคตรอนถึง 6 อนุภาค ดังนั้น การเปลี่ยนค่าอะเซทิกลินที่ถูกรีดิวช์ไปเป็นค่าของไนโตรเจนที่ถูกรีดิวช์ จึงต้องหารด้วย 3 และจากรายงานของ Hardy และคณะ (1973) พบว่า อัตราส่วนระหว่างการตรึงไนโตรเจนกับอะเซทิกลิน

รีดกัชชัน มีค่าเท่ากับ 1:3.9 และ 1:4.3 ในพืชตระกูลถั่วและจุลินทรีย์ตามลำดับ (สมศักดิ์ วงศ์ใน, 2525; Hardy, Burns and Holsten, 1973 ; Burns and Hardy, 1975)

การศึกษาพลาสติกไพรไฟล์ (plasmid profiles) ของไร้โซเบี้ยน

การศึกษาพันธุศาสตร์ของคุณสมบัติค้านชีวสัมพันธ์ของเชื้อไร้โซเบี้ยนกลุ่มที่เจริญเร็ว (fast growers) นั้นจะเป็นการศึกษาพลาสติก เนื่องจากไร้โซเบี้ยนกลุ่มที่เจริญเร็วนี้มีพลาสติกที่ควบคุมการเจริญแบบชีวสัมพันธ์ (symbiotic plasmid) ซึ่งบรรจุยีนที่เกี่ยวข้องกับการอยู่ร่วมกันกับพืชแบบพึ่งพา (symbiotic gene) ได้แก่ ยีนที่เกี่ยวข้องกับการตรึงไนโตรเจน (nif and fix gene) และยีนที่เกี่ยวข้องกับการจัดจำและทำให้เกิดปมกับพืชที่เป็น host (nod gene) ยีนเหล่านี้บางสายพันธุ์อยู่บนพลาสติก บางสายพันธุ์อยู่บนโครโนไซด์ ในขณะที่ไร้โซเบี้ยนกลุ่มที่เจริญช้าไม่มีพลาสติกที่ทำหน้าที่ดังกล่าว (Padmanabhan, Hirtz and Broughton, 1990) แต่มียีนที่ควบคุมการเจริญแบบชีวสัมพันธ์ปรากฏอยู่บนโครโนไซด์

การศึกษาพลาสติกไพรไฟล์ หมายถึง การศึกษาจำนวนและขนาดของพลาสติกที่ต่างกันในแต่ละไอโซเลต สามารถใช้เป็นลักษณะในการจัดกลุ่มไอโซเลตของไร้โซเบี้ยนได้ ดังที่ Bromfield และคณะ (1987) ได้ทำการตรวจสอบ พบรความหลากหลายของพลาสติกในกลุ่มของ *R. meliloti* โดยรูปแบบของการมีพลาสติกไพรไฟล์ที่ต่างกันในส่วนของจำนวน และขนาดของพลาสติกในแต่ละไอโซเลต ซึ่งการศึกษาพลาสติกไพรไฟล์ทำได้โดยการวิเคราะห์เจลอะลูเมอร์ไฟฟ์ซิส (gel electrophoresis) เพื่อให้ได้ข้อมูลของ

1. จำนวนพลาสติก โดยทั่วไปสายพันธุ์ไร้โซเบี้ยนจะมีพลาสติกมากกว่า 1 ชิ้นไป เช่น ใน *R. leguminosarum* ต่างสายพันธุ์ ก็พบว่ามีจำนวนพลาสติกต่างกัน ตั้งแต่ 2 (Brewin et al., 1982) ถึง 8 ชิ้น (Prakash, Schilperoort and Nuti, 1981, Djordjevic, Zurkowski and Rolft, 1981) ในไร้โซเบี้ยนกลุ่มนี้การเจริญช้า พบรสายพันธุ์ทั้งที่มี (Nuti et al., 1977) และไม่มีพลาสติก เช่น *B. japonicum* บางสายพันธุ์ (Denarie et al., 1981) อายุงไร์กีตามไร้โซเบี้ยนสายพันธุ์เดียว กันอาจพบจำนวนพลาสติกที่แตกต่างกันได้ เช่น *B. japonicum* USDA 205 ซึ่ง Bohlool และ Schmidt (1983) รายงานว่า มีพลาสติก 2 ชิ้น และ Masterson, Russell และ Atherly (1982) รายงานว่ามี 4 ชิ้น

2. ขนาดของพลาสมิค พลาสมิคจากไร้โซบีย์มีส่วนมากมีน้ำหนักโมเลกุล (molecular weight) อยู่ระหว่าง 50-500 เมกกะคาลตัน (Mdal) (Long, 1984) Masterson, Prakash และ Atherly (1985) รายงานว่า ในสายพันธุ์ต่างๆ ของ *B. japonicum* มีพลาสมิคขนาดต่าง ๆ กัน คือ USDA 191 มีพลาสมิคขนาดประมาณ 30, 69, 195 และมากกว่า 600 เมกกะคาลตัน USDA 193 มีพลาสมิคขนาดประมาณ 186 และมากกว่า 600 เมกกะคาลตัน USDA 201 มีพลาสมิคขนาดประมาณ 117, 195 และมากกว่า 600 เมกกะคาลตัน เป็นต้น

ได้มีการศึกษา พบว่าพลาสมิค โพร์ไฟล์ สามารถใช้จำแนกความต่างของกลุ่มไร้โซบีย์มีคุณลักษณะทางฟิโนไทป์เดียวกันออกจากกันได้ Gross, Vidivar และ Klucas (1979) รายงานว่า *B. japonicum* 135 ซึ่งมีคุณลักษณะต่าง ๆ (อัตราการเจริญ ความไว (sensitivity) ต่อฟาย (phage) Rhj 781 การถูกยับยั้งโดยสารปฏิชีวนะ ลักษณะของโคลนีและอัตราการตรึงในโตรเจนต่อต้น เมนีองกันจะถูกแบ่งออกได้ เป็น 4 กลุ่มตามจำนวนและขนาดของพลาสมิคที่แตกต่างกัน โดยใช้วิธีของ Curtier และ Nester (1976) แต่ละไอโซเลท มีพลาสมิค 1-4 ชิ้น ขนาดตั้งแต่ 49 -118 เมกกะคาลตัน Hartmann และ Amarger (1991) ทำการศึกษาหาพลาสมิคของ *R. meliloti* 125 ไอโซเลท โดยใช้วิธีของ Eckhardt (1978) ที่ปรับปรุงโดย Rosenberg และคณะ (1982) ได้พลาสมิค โพร์ไฟล์ ถึง 24 รูปแบบ ประกอบด้วย พลาสมิค 1-5 ชิ้นต่อไอโซเลทที่มีขนาดตั้งแต่ 45 ถึง 600 เมกกะคาลตัน

Maria และคณะ (1991) กล่าวว่า การจัดการภัยในจีโนมขึ้นอยู่กับ 2 สิ่งที่ต่างกันบน replicon คือ โครโนไซน์ และพลาสมิคขนาดใหญ่ (large plasmid) ซึ่งตามปกติยังที่เกี่ยวข้องกับกระบวนการเกิดปมและการตรึงในโตรเจนของเชื้อ บรรจุอยู่บนพลาสมิคขนาดใหญ่ ที่เรียกว่า Symbiotic plasmid (pSym)

Masterson และคณะ (1982) ได้รายงานว่า ในกลุ่มไร้โซบีย์มีนีนควบคุมการเกิดปม (nod genes) และการตรึงในโตรเจน (nif genes) อยู่บนพลาสมิคที่ควบคุมการเจริญแบบชีวสัมพันธ์ ส่วนไร้โซบีย์มีนีนเหล่านี้อยู่บนโครโนไซน์

Thurman, Lewis และ Jones (1985) นำไอโซเลทของ *R. trifolii* จากพื้นที่ต่างกัน 21 แหล่งมาทดสอบหาอัตราการเจริญ การทนกรดและค่าง ประสิทธิภาพในด้านชีวสัมพันธ์ และจำนวนพลาสมิค โดยใช้วิธีของ Rosenberg และคณะ (1982) พบว่ามี พลาสมิค 2-10 ชิ้นต่อไอโซเลท และไม่สัมพันธ์กับ pH ของคิน และการเจริญในสภาพแวดล้อมต่าง แต่จำนวนพลาสมิค มีความสัมพันธ์โดยตรงกับอัตราการเจริญในอาหารเลี้ยงเชื้อ

Bromfield และคณะ (1987) และ Boughton และคณะ (1987) กล่าวว่า พลางามิคขนาดใหญ่ในไร้โซบีย์มักบรรจุขึ้นที่เกี่ยวข้องกับการอยู่ร่วมกันกับพืชแบบพึ่งพา ซึ่งรูปแบบของพลางามิคที่ต่างกัน สามารถนำมาใช้บอกความหลากหลายที่เกิดภายในประชากรไร้โซบีย์มชนิดเดียวกันได้ การทดลองนี้ พบเทคนิคพลางามิคไฟฟ้า สามารถจำแนกกลุ่มประชากรไร้โซบีย์มชนิดเดียวกันออกเป็นกลุ่มย่อยหลาย ๆ กลุ่ม โดยเทคนิคนี้แสดงให้เห็นถึงความหลากหลายที่เกิดขึ้นภายในประชากรในระดับที่สูงมากกว่าปกติ

Flores และคณะ (1988) พบว่า ข่าวสารทางพันธุกรรมของไร้โซบีย์มโดยปกติมักกระจายอยู่บนโครโนโซนและพลางามิคขนาดใหญ่ ซึ่งการจัดเรียงตัวใหม่ของยีน (rearrangement) บนพลางามิคเกิดขึ้นได้เสมอ ๆ ทุกสภาวะการ และเกิดได้ในระดับความถี่สูง

Mozo, Cabrera และ Ruiz-Argueso (1988) ศึกษาพลางามิคของไร้โซบีย์ม 45 สายพันธุ์ ที่แยกจาก *Hedysarum coronarium* ที่ปลูกในบริเวณที่ต่างกัน ผลการตรวจสอบพลางามิค พบความหลากหลายในการจัดเรียงตัวของ nif gene และ nod gene sequence และพบความหลากหลายของจำนวน และขนาดของ พลางามิค สามารถจำแนกความแตกต่างได้ 19 กลุ่ม

Brockman และ Bezdicek (1989) กล่าวว่า การวิเคราะห์พลางามิคเป็นวิธีหนึ่งที่เชื่อกันว่า มีความสำคัญ และสามารถนำมาใช้ในการจำแนกความหลากหลายของไร้โซบีย์มที่มีคุณสมบัติทางเชืุ้่นวิทยา (serology) เมื่อนักนักออกหากันได้ เนื่องจากคุณสมบัติการมีพลางามิคขนาดใหญ่ ของเชื้อไร้โซบีย์มกลุ่มเจริญเร็วบรรจุขึ้นที่ควบคุมลักษณะที่สำคัญหลายลักษณะรวมถึงการสร้างปัม (Johnston et al., 1978) การตรึงในไตรเทน (Nuti et al., 1979) การผลิตสาร bacteriocin (Hirsch, 1979) hydrogen recycling (Brewin et al., 1980) และความสามารถในการเข้าสู่เซลล์เจ้าเรือนที่จำเพาะ (host specificity) (Johnston et al., 1978) ซึ่งในการทดลองนี้ศึกษาคุณสมบัติทางเชืุ้่นวิทยา พลางามิคไฟฟ้า และคุณสมบัติการต้านสารปฏิชีวนะของเชื้อ *R. leguminosarum biovar viceae* 192 ไอโซเลท ที่ได้แยกจากปัมถั่วลันเตา (*Pisum sativum L.*) ซึ่งมาจากการแพร่กระจายในรากของต้น โดยการทดลองนี้สามารถจัดจำแนกประชากรของเชื้อเป็น 3 กลุ่มตามคุณสมบัติทางเชืุ้่นวิทยา (serogroup) และ 18 กลุ่มตามพลางามิคไฟฟ้า (plasmid profile group) โดยไอโซเลಥของเชื้อภายในซีโรกรุปเดียวกัน พบว่าให้กลุ่มของพลางามิคไฟฟ้าและคุณสมบัติการต้านสารปฏิชีวนะที่หลากหลาย ซึ่งความต่างของเชื้อที่อยู่ในซีโรกรุปเดียวกันนี้ อาจสะท้อนให้เห็นถึงความแตกต่างระหว่างไอโซเลท ที่อาจมีผลมาจากสภาวะแวดล้อมภายนอก หรือสภาวะทางภูมิศาสตร์ที่ต่างกันรวมถึงชนิดของดิน และจีโนไทป์ของพืช ซึ่งความผันแปรที่เกิดขึ้นภายในซีโรกรุปเดียวกัน อาจตรวจสอบได้ด้วยการศึกษา พลางามิคไฟฟ้า (Gross, Vidivar and

Klucas, 1979) พลาสมิดตัดจำเพาะ (symbiotic plasmid restriction analysis) รูปแบบโปรตีน (Dughre and Bottomley, 1983) และคุณสมบัติการต้านสารปฏิชีวนะที่ต่างกันของเชื้อ (intrinsic antibiotic resistance : IAR) (Beynon and Josey, 1981) โดยที่เทคนิคพลาสมิดไพร์ไฟล์ เคยประสบความสำเร็จในการใช้จัดจำแนกความแตกต่างระหว่างสายพันธุ์ของเชื้อไว้โดยเมียนที่มีคุณสมบัติทางเชื้อรุ่นวิทยาเดียวกันของการกันได้ (Broughton et al., 1987; Glynn et al., 1985)

Brom และคณะ (1991) กล่าวว่า ความผันแปรที่เกิดภายในจีโนมในระดับความถี่สูง มีผลกระทบต่อพลาสมิดขนาดใหญ่ ของ *R. leguminosarum* bv. *phaseoli* CFN 42 เป็นสายพันธุ์ที่บรรจุ 6 พลาสมิดขนาดใหญ่ที่อยู่ในช่วง 200 – 600 กิโลเบต (Kb) โดยผลการจำแนก 320 ไอโซเลทของไวโฉเมียน พบ พลาสมิดไพร์ไฟล์ 11 กลุ่ม ซึ่งปรากฏการณ์ของรูปแบบพลาสมิดที่แตกต่างกันนี้ อาจเป็นผลเนื่องมาจากการจัดเรียงตัวใหม่ของยีนบนพลาสมิดในลักษณะของการเกิด amplification deletion cointegration และการสูญหายของพลาสมิด แต่ไม่พบความแตกต่างทางสัมฐานวิทยาของเชื้อ

Hartmann และ Amarger (1991) ศึกษาความหลากหลายของไวโฉเมียน 125 ไอโซเลท ที่แยกจากพืช *Medicago sativa* ในยุโรป โดยใช้ 32 ไอโซเลท เป็นตัวแทนของ 12 กลุ่มพลาสมิดไพร์ไฟล์ นำมาจำแนกความแตกต่างได้ 20 กลุ่มจากการวิเคราะห์รูปแบบคีเอ็นเอทัดจำเพาะ ไอโซเมิร์ส (total DNA restriction pattern) และ 16 กลุ่มจาก IS fingerprint (insertion sequence fingerprint) โดยผลการจำแนกความแตกต่างด้วยพลาสมิดไพร์ไฟล์ มีความสอดคล้องกับรูปแบบคีเอ็นเอทัดจำเพาะ และ IS fingerprint ซึ่งยืนยันได้ชัดเจนว่าเทคนิคพลาสมิดไพร์ไฟล์ อาจใช้เป็นตัวแทนการศึกษาความผันแปรภายในจีโนม และใช้ประเมินความหลากหลายภายในประชากรไวโฉเมียนได้ แม้ว่าพลาสมิดไพร์ไฟล์ในบางกรณีจะให้ผลการจัดจำแนกในระดับที่ต่ำกว่าเทคนิคทั้งสอง แต่ก็เป็นอีกวิธีที่สามารถนำมาใช้ได้มีมิติอย่างจำนวนมาก

Laguerre, Mazurier และ Amarger (1992) กล่าวว่า พลาสมิดคีเอ็นเอ อาจใช้เป็นตัวแทนการศึกษาภายในจีโนม ได้มากกว่า 50 เปอร์เซ็นต์ โดยเทคนิคพลาสมิดไพร์ไฟล์นี้ สามารถแยกความแตกต่างภายในประชากรไวโฉเมียนได้ดีกว่าเทคนิคไอโซเมิร์สและเชื้อรุ่นวิทยา

Hashem และคณะ (1996) ศึกษาและจำแนกทางพันธุกรรมของ *Sinorhizobium* โดยศึกษาจากแบบแผนพลาสมิดไพร์ไฟล์ และความไวต่อการถูกบุกรุกของฟาง (phase susceptibility) ซึ่งผลการศึกษาพลาสมิด พบ 1 – 6 พลาสมิด ที่มีขนาดใหญ่กว่า 1000 เมกะคัลตัน จำแนกได้ 18 กลุ่มตามพลาสมิดไพร์ไฟล์ และ 23 กลุ่มตามความไวต่อการถูกบุกรุกของฟาง ซึ่งการศึกษา

ความไวต่อการถูกบุกรุกของพืช และพลาสมิค โพร์ ไฟล์ มีประโภชนาดย่างมากสำหรับการศึกษาพันธุกรรมของแบคทีเรีย การจำแนกทางอนุกรมวิธาน และศึกษานิเวศวิทยาของไร้โซเบียนได้ดีนอกจากนี้ พลาสมิคขนาดใหญ่ (น้ำหนักไม่เกินมากกว่า 300 เมกะดาตั้น) ของไร้โซเบียนนอกจานมีขึ้นที่ควบคุมการเจริญแบบชีวสัมพันธ์แล้ว บางครั้งยังพบว่ามีขึ้นที่ควบคุมการสร้าง bacteriocin (Hirsch, 1979) การสร้างเม็ดสี (pigment) (Beynon, Beringer and Johnston, 1980) หรือความด้านทานต่อสารปฏิชีวนะด้วย (Cole and Elkan, 1973) ใน การศึกษาระยะแรกการสักดิ้ พลาสมิคของไร้โซเบียน ยังไม่มีวิธีที่เหมาะสมสำหรับการศึกษาพลาสมิคที่มีน้ำหนักไม่เกินสูง เช่นนี้ ซึ่งการใช้วิธีการทำให้เซลล์แตกและการแยกขนาดโดยวิธีเฉลือเลือก โตร โลรีชิตันที่ ตามวิธีของ Harrison, Young และ Jones (1989) นำมาปรับปรุงใช้ได้สำเร็จ

การจัดจำแนกและศึกษาความผันแปรทางพันธุกรรมระดับโมเลกุล

อีดีการจำแนกความแตกต่างในระดับชนิดของไร้โซเบียน นิยมใช้การทดสอบการติดปนกับรากถั่ว และสมบัติทางสรีระวิทยาของเชื้อ และนิยมแบ่งกลุ่มย่อยระหว่างชนิด โดยอาศัยคุณสมบัติทางเชื่อมวิทยา ไอโซไซด์ และลักษณะแบบแผน โปรดตีน โดยเทคนิคเหล่านี้ข้อจำกัดตรงที่ สามารถแยกความแตกต่างมีชีวิตภายในชนิดเดียวกันได้ไม่ดีพอ หรือไม่สามารถแยกความแตกต่างของสิ่งมีชีวิตที่มีความใกล้ชิดทางพันธุกรรมมากๆ ได้ นอกจากนี้แล้วการจำแนกความแตกต่างของสายพันธุ์โดยอาศัยคุณสมบัติทางฟิโนไทป์ของเชื้อเป็นหลักในการจำแนก อาจมีอثرพิเศษจากสภาวะแวดล้อมเข้ามาเกี่ยวข้องซึ่งทำให้การจำแนกสายพันธุ์ โดยอาศัยลักษณะทางสัณฐานวิทยา อย่างเดียวไม่เพียงพอ และอาจเกิดความคาดเคลื่อนได้ง่าย ปัจจุบันเทคโนโลยีพัฒนามากขึ้น มีการนำเทคนิคใหม่ๆ มาใช้ในการหาความสัมพันธ์ขั้คกลุ่มสิ่งมีชีวิตและแยกสายพันธุ์ของเชื้อ โดยอาศัยความแตกต่างในระดับยีนหรือดีเอ็นเอ ได้แก่ RFLP (Restriction Fragment Length Polymorphism) (ณัฐพร สุนทรวิจารณ์, 2534) ลายพินพดีเอ็นเอ (DNA fingerprint) (Welsh and McClelland, 1990; 1991) รวมไปถึงเทคนิคการเพิ่มจำนวนดีเอ็นเอ โดย PCR ซึ่งเทคนิคเหล่านี้ ทำให้เห็นความแตกต่างในระดับดีเอ็นเอที่ช่วยในการจำแนกความแตกต่าง และบอกความสัมพันธ์ของเชื้อภายในประชากรเดียวกันได้ โดยชิ้นดีเอ็นเอจะถูกนำมาใช้เป็นตัวแทน หรือเครื่องหมายระดับโมเลกุล (molecular marker) ของลักษณะใดลักษณะหนึ่ง และใช้ประโยชน์จากการความต่างของรูปแบบดีเอ็นเอที่เกิดขึ้น (DNA polymorphism) สำหรับการบ่งชี้ และจำแนกสายพันธุ์ของเชื้อ

PCR (Polymerase Chain Reaction)

Saiki และคณะ (1985) ได้เสนอผลงานการค้นพบเทคนิค PCR เทคนิกนี้ได้นำความรู้พื้นฐานเกี่ยวกับกระบวนการจำลอง โมเลกุลดีเอ็นเอ (DNA replicate) ของสิ่งมีชีวิต โดยอาศัย

เอนไซม์ DNA polymerase และ RNA primer โดยที่กระบวนการ PCR อาศัยหลักของการจำลองไม่เลกฤตดีเอ็นเอหลายๆ รอบ ทำให้เกิดการเพิ่มปริมาณดีเอ็นเอเฉพาะส่วนในหลอดทดลอง (*in vitro*) จะได้ปริมาณดีเอ็นเอเพิ่มขึ้นเป็นจำนวนมาก ปฏิกริยา PCR ในแต่ละรอบประกอบด้วย 3 ขั้นตอน (ภาพที่ 4) ดังนี้

1. Denaturation ทำให้ดีเอ็นเอสายคู่แยกออกจากกันเป็นสายเดี่ยวที่อุณหภูมิสูงประมาณ 90–95 องศาเซลเซียส

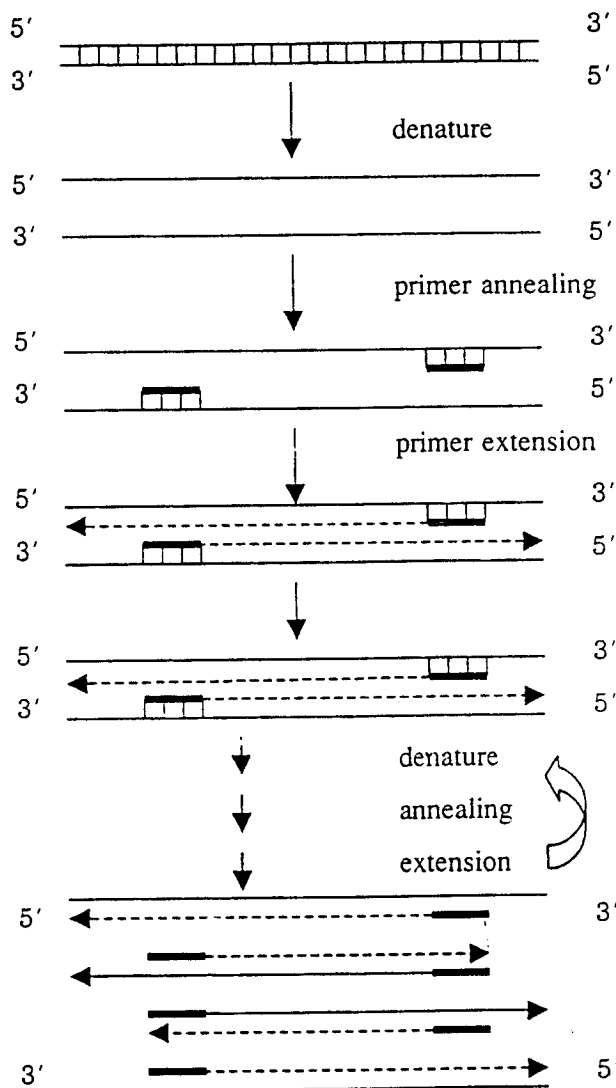
2. Primer annealing ไฟรเมอร์เข้าไปจับตรงบริเวณที่มีเบสคู่สมบันดีเอ็นเอสายเดี่ยวที่ใช้เป็นคันแบบที่อุณหภูมิ 40–60 องศาเซลเซียส

3. Primer extension ต่อสายดีเอ็นเอให้ยาวขึ้น โดยเพิ่มลำดับนิวคลีโอไทด์เข้าที่ปลาย 3-OH ของไฟรเมอร์ ใช้เอนไซม์ Klenow fragment เมื่อทำซ้ำจำนวนหลายรอบทำให้มีการเพิ่มขยายจำนวนดีเอ็นเอจากเดิม ได้อย่างทวีคูณแบบ exponential โดยมีผลผลิตที่เป็นจำนวนชิ้น ดีเอ็นเอคำนวณได้เท่ากับ 2^n ($n =$ จำนวนรอบ) แต่เอนไซม์ Klenow fragment ที่ใช้ในปฏิกริยา PCR นั้นไม่ทนความร้อนในขั้นตอน denaturation ซึ่งต้องใช้อุณหภูมิสูง่อนเอนไซม์จะสูญเสียสภาพธรรมชาติ ต่อมานิการคืนพบเอนไซม์ DNA polymerase ชนิดทนความร้อนสูง โดยแยกสักดักจากแบคทีเรียที่ทนความร้อนชื่อ *Thermus aquaticus* (Taq) จึงได้รีมน้ำเอนไซม์ Taq DNA polymerase มาใช้ในปฏิกริยา PCR หลังจากนั้นได้มีการพัฒนาเทคนิคนี้มาเป็นลำดับ โดยมีการประดิษฐ์เครื่องควบคุมอุณหภูมิอัตโนมัติ ใช้โปรแกรมคอมพิวเตอร์เข้ามาช่วยในการออกแบบไฟรเมอร์ ตลอดจนเครื่องสังเคราะห์โอลิโกนิวคลีโอไทด์ได้ทำให้เทคนิค PCR ถูกนำมาประยุกต์ใช้อย่างแพร่หลายในงานวิจัยต่างๆ ที่ต้องใช้ดีเอ็นเอเป็นเครื่องหมายระดับโมเลกุลในการหาความสัมพันธ์หรือจัดจำแนกสายพันธุ์ของสิ่งมีชีวิต

RAPD (Random Amplified Polymorphic DNA)

RAPD เป็นเทคนิคดัดแปลงมาจากเทคนิค PCR ทำได้โดยการสุ่มใช้ไฟรเมอร์ที่เป็นโอลิโกลิวคลีโอไทด์สายสั้น ๆ เพียงหนึ่งสาย โดยทั่วไปไฟรเมอร์สายสั้น ๆ จะเกาะกับดีเอ็นเอบนโครงโซนได้หลายตำแหน่ง และเพิ่มปริมาณดีเอ็นเออย่างสุ่มจากดีเอ็นเอแม่แบบที่ซับซ้อน โดยไฟรเมอร์ที่เกาะกับดีเอ็นเอในทิศทางตรงกันข้ามกัน และห่างกันในระยะหนึ่งจะทำให้เกิดการเพิ่มจำนวนได้ จำนวนของชิ้นดีเอ็นเอที่ได้จาก PCR จะขึ้นอยู่กับความยาวไฟรเมอร์ ขนาดของจีใน และตำแหน่งของการเกาะของไฟรเมอร์บนจีในม ไฟรเมอร์ที่เลือกใช้ส่วนใหญ่มีความยาว 8–15 นิวคลีโอไทด์ และไฟรเมอร์ที่ใช้ความปริมาณ G + C 60 เปอร์เซ็นต์เป็นอย่างน้อย (Lance et al., 1992) การใช้ไฟรเมอร์เพียง 1 สาย ในการทำให้เกิดลายพิมพ์จากจีในที่ซับซ้อน โดยไฟรเมอร์ที่ใช้นั้น ไม่จำเป็นต้องทราบลำดับเคมีก่อน วิธีนี้เรียกว่า arbitrary primer (AP-PCR)

(Welsh and McClelland, 1990) ผลผลิตที่เกิดขึ้นนำมาวิเคราะห์ด้วย เทคนิคอิเลค tro โฟร์ซีส ข้อดีของวิธีนี้ ทำง่าย สะดวกรวดเร็ว ต้องการดีเอ็นเอปริมาณน้อย และไม่ต้องใช้สารกัมมันตรังสี ประยุกต์ใช้กับงานการจัดจำแนกและศึกษาความหลากหลายทางพันธุกรรมของสิ่งมีชีวิตที่มีความใกล้ชิดกัน หรืออยู่ภายใต้กลุ่มประชากรชนิดเดียวกันได้ดี



ภาพที่ 4 แสดงขั้นตอนการเพิ่มจำนวนชิ้นส่วนดีเอ็นเอที่ต้องการโดยวิธี PCR (Saiki et al., 1985)

งานวิจัยที่เกี่ยวกับการศึกษาความพันแปรทางพันธุกรรมเชิงวิถีในการจำแนกสายพันธุ์ออกเป็นกลุ่มโดยเทคนิคพันธุโมเลกุล มีดังนี้

Wac Cleland และคณะ (1990) พบความสำเร็จในการจัดจำแนกกลุ่มประชากรของไร้โซเดียม โดยศึกษาพันธุโมเลกุลและโครงสร้างความสัมพันธ์ทางพันธุกรรมของประชากรด้วยเทคนิคการเพิ่มผลผลิตดีเอ็นเอ ซึ่งจัดได้ว่าเป็นเครื่องมือที่นิยมใช้ศึกษาและจำแนกความแตกต่างภายในประชากรไร้โซเดียม โดยการศึกษานี้ อาศัยพื้นฐานการเลือกใช้โอลิโกนิวคลีอ�다ร์แบบสุ่มที่มีปริมาณ G + C มากกว่า 60 เมอร์เซ็นต์ จึงไปโดยอาศัยหลักความเข้าใจที่ว่าสายพันธุ์ที่มีความแตกต่างกัน ย่อมต้องมีรูปแบบการจัดเรียงตัวของยีนบนจีโนมที่ต่างกัน ผลผลิตที่ได้จากปฏิกิริยา PCR สามารถนำมาใช้อธิบายความแตกต่างที่เกิดขึ้นภายในประชากรไร้โซเดียมชนิดเดียวกันได้

Sukiman และคณะ (1996) ทดลองนำเทคนิค RAPD มาใช้จำแนกความแตกต่างภายในกลุ่มประชากรไร้โซเดียมที่แยกจากกระดินยกษัยในประเทศไทย โดยนีเชีย พบว่า ผลผลิตจากปฏิกิริยาที่ได้ของแต่ละสายพันธุ์มีความแตกต่างกัน และความแตกต่างกันนี้สามารถนำมาใช้ในการจัดจำแนก และศึกษาความพันแปรของโครงสร้างประชากร เทคนิคนี้ให้ผลรวดเร็วและมีประสิทธิภาพในการจัดจำแนก ซึ่งผลที่ได้สอดคล้องกับเทคนิคการตรวจหาลายพิมพ์ดีเอ็นเอ และเทคนิค RFLP โดยไม่ต้องเสียเวลาทำ probe หรือ hybridization

Laguerre, Mazurier และ Amarger (1992) ได้ทดลองนำ *R. leguminosarum* biovar *viciae* จากแหล่งกำเนิดเดียวกัน 56 ไอโซเลท มาจัดจำแนกและศึกษาสายสัมพันธ์เชิงวิถีในการร่วมกับการวิเคราะห์ของ 3 เทคนิค คือ พลาสมิค โพร์ไฟล์ วิเคราะห์รูปแบบดีเอ็นเอที่ตัดด้วยเอนไซม์ตัดจำเพาะ และ RFLP ของ 2 บริเวณบนโครโนโซม และของ symbiotic plasmid พบระดับความเหมือนของการวิเคราะห์ด้วยเทคนิคที่แตกต่าง โดยการทดลองนี้กำหนดให้ระดับของผลการวิเคราะห์รูปแบบการจัดการบนพื้นฐานโครโนโซมที่เหมือนกันทั้งหมดเป็นระดับชนิด (type) และเหมือนกันบางส่วนเป็นระดับกลุ่ม (class) พบความสอดคล้องกันระหว่างเทคนิคในการจัดจำแนกระดับกลุ่มมากกว่า 80% ของจำนวนไอโซเลಥั้งหมด ยกเว้นผลการวิเคราะห์ RFLP ของ symbiotic probe ที่มีเพียงกลุ่มของไอโซเลทจำพวก non symbiotic gene เท่านั้น ที่ให้รูปแบบการจัดการบนพื้นฐานโครโนโซมที่คล้ายคลึงกัน ซึ่งจะแสดงให้เห็นว่าเทคนิคพลาสมิค โพร์ไฟล์ รูปแบบดีเอ็นเอตัดจำเพาะ และการศึกษา RFLP โดยใช้โครโนโซมอลไฟล์ (chromosomal probe) สามารถนำมาใช้เป็นตัวแทนการศึกษาของทั้งจีโนม โดยความพันแปรที่เกิดบนพลาสมิคจะไม่เกี่ยวข้องกับความพันแปรบนโครโนโซมจีโนไทป์ (chromosomal genotype)

Laguerre และคณะ (1994) ได้รายงานการจัดจำแนกและแยกความแตกต่างของกลุ่มประชากร ไรโซบียน hairy root ในวงศ์ Rhizobiaceae โดยวิเคราะห์จากเทคนิค PCR-RFLP ของ 16S rRNA gene เชื่อมกับ 9 endonuclease จากการทดลองนี้ พบริโน้ไทป์ต่างกัน 21 รูปแบบ จาก 48 สายพันธุ์ของเรือ ไรโซบียน

Nuswantara และคณะ (1996) ทำการศึกษา Repetitive DNA sequences และรูปแบบ RAPD ของไรโซบียนชนิดที่แยกจากกระถินเทпа (*Acacia manigium*) เนื่องจากลักษณะของ แบคทีเรียชนิดนี้ ปกติมีระบบของ nod gene และ nif gene ที่ชับซ้อนหลาຍระบบ จึงทำให้เป็นที่ น่าสนใจและศึกษาเป็นอย่างยิ่ง ในการทดลองนี้พบปรากฏการณ์ของลักษณะเด่นที่สำคัญมากใน ด้านความผันแปรทางพันธุกรรมที่เกิดขึ้นอย่างมีนัยสำคัญยิ่ง ซึ่งจะตรวจพบได้เสมอๆ ในประชากร ไรโซบียนในการทดลองนี้ตรวจสอบความหลากหลาย และศึกษาความผันแปรทางพันธุกรรมภาย ในกลุ่มประชากร ไรโซบียนที่มีคุณสมบัติบางอย่างที่ต่างกันในด้านของการค้านสารปฏิชีวนะ คุณสมบัติทางเชื้อมิวทิยา รวมไปถึงการทดสอบทาง ELISA (enzyme linked imunosorbent assay) ของแต่ละสายพันธุ์ โดยเน้นศึกษาและตรวจสอบความแตกต่างทางพันธุกรรมจาก 3 เทคนิคใหม่ บนพื้นฐานทาง PCR ได้แก่ เทคนิค RAPD REP (repetitive extragenic palindromic) และ ERIC (enterobacterial repetitive intergenic consensus) ใช้ไพรเมอร์ 3 ชนิด ในการเพิ่มจำนวนคีเอ็นเอ จากคีเอ็นเอเม่แบบที่แยกจากไรโซบียนกลุ่มจริงเร็วในรากกระถินเทпа พบรความแตกต่างของ รูปแบบคีเอ็นเอ ซึ่งก็แสดงให้เห็นว่าไพรเมอร์ ทั้ง 3 ชนิดให้ผลผลิตของการเพิ่มคีเอ็นเอที่ต่างกัน โดยผลผลิตที่ได้จากการเพิ่มคีเอ็นเออยู่ในช่วง 0.5 – 5.0 กิโลเบส ซึ่งผลที่ได้จากทั้ง 3 เทคนิค สามารถนำมาใช้ตรวจสอบความผันแปรทางพันธุกรรมของประชากร ไรโซบียนสายพันธุ์ที่แยกมา จากพืชอาศัยชนิดเดียวกันได้ เทคนิคนี้สะดวกรวดเร็ว และให้ผลที่แน่นอนในการจัดจำแนก (classified taxonomic) ไรโซบียนได้ในระดับสกุล ชนิด และสายพันธุ์ ซึ่งผลที่ได้จากการทดลอง ที่ได้นี้สอดคล้องกับหมายฯ รายงานการศึกษาและจัดจำแนกความแตกต่างทางพันธุกรรม โดย อาศัยเทคนิค RFLP และ DNA hybridization (Paffti et al., 1996 ; Laguerre et al., 1994)

Paffti และคณะ (1996) ทำการศึกษาความหลากหลายทางพันธุกรรมของประชากร *Rhizobium meliloti* 96 สายพันธุ์ที่แยกจาก *Medicago sativa* 4 สายพันธุ์ ที่ปลูกในคืน 2 บริเวณที่ แตกต่างกันทางภูมิศาสตร์ โดย 96 สายพันธุ์ ที่แยกได้เนื่องจากลักษณะภายนอกที่คล้ายกัน ไม่สามารถ แยกความแตกต่างได้จากลักษณะทางสัณฐานวิทยา แต่สามารถแยกความแตกต่างได้บนพื้นฐาน การวิเคราะห์ความต่างของรูปแบบคีเอ็นเอที่เกิดขึ้นจาก 3 เทคนิค คือ RAPD RFLP ของ บริเวณ 16S-23S ribosomal operon spacer และวิเคราะห์ RFLP บริเวณ 25 กิโลเบส ของ symbiotic plasmid ที่บรรจุ nod gene พบรผลการทดลองคล้ายกัน คือ พบรความแตกต่างทางพันธุกรรมอย่างมีนัยสำคัญ

เกิดขึ้นภายในประชากรของไร่โซีย์ ขันเนื่องมาจากการพันธุ์พืช และชนิดของคินที่ต่างกัน นอกเหนือนี้ความหลากหลายทางพันธุกรรมที่เกิดขึ้นในประชากร อาจได้รับอิทธิพลเนื่องมาจากการแสวงหาผลลัพธ์ของการมีสิ่งกีดขวางการแลกเปลี่ยนยีน การแยกกันทางภูมิศาสตร์ ชนิดคิน หรือจีโนไทป์ของพืชอาศัย รวมถึงคุณสมบัติการมีพลาสมิคขนาดใหญ่ที่มีบทบาทสำคัญ ต่อวิวัฒนาการ โครงสร้างประชากรไร่โซีย์กุ่มเจริญเริ่ว ซึ่งสามารถเกิดกระบวนการ transformation rearrangement และ recombination ระหว่างต่างสายพันธุ์ หรือต่างชนิดได้ในระดับความถี่สูง ช่วยเพิ่มระดับความหลากหลายทางพันธุกรรมในกลุ่มประชากรไร่โซีย์ให้มีมากยิ่งขึ้น (Brom et al., 1991)

Kishinevsky และคณะ (1996) ได้ศึกษาความหลากหลายของประชากรไร่โซีย์ 23 สายพันธุ์ ที่แยกจากพืชพาก *Hedysarum* หลาย ๆ ชนิด และจากหลายแหล่งที่ต่างกัน โดยการทดสอบคุณสมบัติทางชีววิทยา พลาสมิค ไฟฟ์ และจัดจำแนกความแตกต่างของเชื้อโดยเทคนิค RAPD ผลการทดลองนี้ พบมากกว่า 1 ซีโกรูป โดยเทคนิค RAPD สามารถแยกความแตกต่างของเชื้อสายพันธุ์ที่มีคุณสมบัติทางชีววิทยาเดียวกันออกจากกันได้ และไม่พบชุดเด่นจำเพาะ ของพลาสมิค ไฟฟ์ที่สัมพันธ์กับชนิดพืชหรือแหล่งที่มาของเชื้อ นอกจากนี้เทคนิค RAPD สามารถใช้ในการจัดจำแนกหรือศึกษาความผันแปรในระดับชนิดและสายพันธุ์ รวมถึงรูปแบบ โครงสร้างทางพันธุกรรมภายใน และระหว่างประชากรของพืชและสัตว์ได้อีกมาก many (พวรรณราย ขันธรักษ์, 2541; Williams et al., 1990)

บทที่ 3

อุปกรณ์ เครื่องมือ และสารเคมี

อุปกรณ์

1. อุปกรณ์สำหรับเก็บตัวอย่างคิน ได้แก่ ถุงย่างขนาดใหญ่ 1×1 ฟุต พลั๊วสำหรับบุคดิน ปากกาสำหรับเขียน
2. อุปกรณ์สำหรับการทดลองทางจุลชีววิทยา ได้แก่ เส้นเชือก (loop) ปากคีป (forceps) แท่งแก้วคนสาร บีกเกอร์ (beaker) หลอดทดลอง (test tube) ปีเปต (pipette) ขวดรูปชنمพ์ (flask) กระบอกตวง (cylinder) จานเพาะเชื้อ (petridish)
3. อุปกรณ์สำหรับปลูกพืช ได้แก่ แร็ค (rack)
4. อุปกรณ์สำหรับการวิเคราะห์ทางดีเอ็นเอ ได้แก่ ไมโครปีเปต (ขนาด 10, 100, 200 และ 1000 ml) ไมโครทิวป์ (ขนาด 0.1, 0.5 และ 1.5 ml)
5. อุปกรณ์สำหรับการวิเคราะห์ อะเซทילิน ริดักชัน (Acetylene Reduction Assay) เช่น ขวดรูปชنمพ์ จุกสำหรับเก็บก้าชหลอดฉีดยา (syringe) หลอดเก็บก้าช

เครื่องมือที่ใช้

1. เครื่องมือสำหรับวิเคราะห์ตัวอย่างคิน
 - เครื่องซั่งไฟฟ้า
 - เครื่องเขย่า (shaker)
 - ตู้อบ (dry oven)
 - เครื่องวัด pH (pH meter)
2. เครื่องมือสำหรับเดี้ยงเชือและทดลองทางจุลชีววิทยา
 - หม้อนึ่งฆ่าเชื้อ (autoclave)
 - ตู้อบนึ่งเชื้อ (incubator)
 - ตู้ถ่ายเชื้อ (laminar flow)
 - เครื่องซั่งไฟฟ้า
3. เครื่องมือสำหรับการศึกษาทางดีเอ็นเอ
 - เครื่องปั่น (centrifuge)
 - เครื่องวัดการดูดแสง (spectrophotometer)

- เครื่องอะก้าโรสเจลอิเลคโทรไฟรีซิส ประกลบด้วย เครื่องจ่ายไฟกระแสไฟฟ้า (power supply) อิเลคโทรไฟรีซิสแคมเบอร์ (electrophoresis chamber) ของ Bio-RAD power PAC 3000 เจลแคมเบอร์ ขนาด 12 x 15 นิ้ว และ 11x 15 เซนติเมตร เครื่องกำเนิดแสงอุลดร้าไวโอลেต (U.V. transilluminator) ของ Bio-RAD

- กล่องถ่ายรูป PENTEX Super A Soft case 32650
- กล้องโพลารอยด์
- ตู้แช่แข็ง (Freezer -70°C และ -20°C)
- เครื่อง PCR: Gene Amp PCR System 9700 (Perkin Elmer)
- อ่างควบคุมอุณหภูมิ (water bath 37°C)

4. เครื่องมือสำหรับวิเคราะห์ประสิทธิภาพการตรึงในโตรเจน

- เครื่องก๊าซไฮดรอกราฟี (gas chromatography) ของ Perkin Elmer model F17

สารเคมีและเคมีภัณฑ์

1. สารเคมีสำหรับเตรียมอาหารเดี่ยงเชื้อและปลูกพืช

1.1 สารเคมีสำหรับเตรียมอาหารเดี่ยงเชื้อไวโตรเจนเป็น

สูตร Yeast-Mannitol Agar (YMA)

สูตร Tryptone Yeast Extract (TYE)

สูตร Lauri Bertini (LB)

1.2 สารเคมีเตรียมอาหารเหลวที่ปราศจากไนโตรเจน (N-free nutrient solution)

สำหรับเดี่ยงต้นกล้า (Somasegaran et al., 1985)

2. สารเคมีสำหรับวิเคราะห์ทางดีเอ็นเอ

2.1 สารเคมีที่ใช้ในการศึกษาและสักดีเอ็นเอ (chromosomal DNA และ plasmid)

agarose (Fluka)

boric acid (HBr) (Merck)

bromophenol blue (Sigma)

bromthymol blue

chloroform (Merck)

ethanol (C_2H_5OH) (Merck)

ethidium bromide (Sigma)

Ethylene Diamine Tetraacetic Acid (EDTA) ($C_{10}H_{14}N_2O_8Na_22H_2O$) (Sigma)
hydrochloric acid (HCl) (Merck)
isoamyl alcohol (2-Propanol) (Merck)
n-luryl sarcosin (Sigma)
phenol crystal (Fluka)
sodium acetate (CH_3COONa)(Merck)
sodium chloride (NaCl) (Merck)
sodium dodecylsulphate (SDS) (Sigma)
sodium hydroxide (NaOH) (Merck)
sucrose ($C_{12}H_{22}O_{11}$) (Sigma)
tris base ($C_4H_{11}NO_3$) (Sigma)

เอนไซม์ที่ใช้สักคีเอ็นเอ

lysozyme (from Chicken Egg White) (Sigma)
proteinase K (Sigma)
RNaseA (Sigma)

ดีเอ็นเอมาตรฐาน

λ DNA ที่ถูกย่อยด้วยเอนไซม์ Hind III เป็น size maker
1 kilobase DNA ladder
 ϕ x 174 RF DNA ที่ถูกย่อยด้วยเอนไซม์ Hae III

2.2. สารเคมีสำหรับปฏิกริยา PCR ได้แก่

deoxynucleoside triphosphate 4 ชนิด คือ (dNTP: dATP, dCTP, dGTP และ dTTP)

ของ Perkin Elmer Cetus

10 x PCR buffer (0.1 M Tris-HCl; pH8.3, 0.5 M KCl)

25 mM MgCl₂

Ampli Taq polymerase gold concentration: 5 units / μ l ของ PerKin Elmer Cetus
arbitrary primer (10-mers) ที่มีลำดับเบส ดังนี้

Primer 1. (SPH) 5' GACGACGACGACGAC 3' (Harrison, Mytton and Cresswell, 1992)

Primer 2. (RF) 5' CGGCCCTGT 3' (Paffetti et al., 1996)

Primer 3. (1247)	5' AAGAGCCCGT 3' (Paffetti et al., 1996)
Primer 4. (OPA 11)	5' AGCGCCATTG 3' (Kishinevsky, Sen and Yang, 1996)
Primer 5. (OPA 9)	5' GTCGCCGTCA 3' (Kishinevsky et al., 1996)
Primer 6.	5' GGAAGTCGCC 3' (Teaumroong, Boonkerd and Murooka, 1996)
Primer 7.	5' GTAGACCCGT 3' (Achara et al., 1997)

2.3 สารเคมีสำหรับทำอิเลคโทรโฟเรซิส

agarose (Sigma)

boric acid (HBr) (Sigma)

ethidium bromide (aqueous solution 10 mg/ml) (Sigma)

Ethylene Diamine Tetraacetic Acid (EDTA) ($C_{10}H_{14}N_2O_8Na_22H_2O$) (Sigma)

tris base ($C_4H_{11}NO_3$) (Sigma)

3. สารเคมีสำหรับทดสอบความสามารถต้านสารปฏิชีวนะและการตรวจในโตรเจนของเชื้อ

3.1 แผ่นดิสก์ (antibiotic standard disc) ของ BBL

streptomycin 10 μ g tetracycline 10 μ g carbenicillin 100 μ g kanamycin 30 μ g

erythromycin 15 μ g penicillin 10 μ g rifampin 5 μ g

3.2 ก๊าซเอทธิลีน (ethylene) ก๊าซอะเซทิลีน (acetylene) สำหรับศึกษาการตรวจในโตรเจน

ของเชื้อ

เมล็ดพันธุ์พืชที่ใช้

ถั่วเขียวสายพันธุ์กำแพงแสน 1 (ก.พ.ส 1) และกำแพงแสน 2 (ก.พ.ส 2) ที่ได้จากการ
วิชาการเกษตร กระทรวงเกษตรและสหกรณ์

สายพันธุ์แบคทีเรีย

B. japonicum USDA 193 ใช้เป็นสายพันธุ์มาตรฐานเปรียบเทียบขนาดพลาสมิดของ
ไอโซเลทไรโซเบิมที่ศึกษา (*B. japonicum* USDA193) เป็นไโซเบิมที่มีพลาสมิด 2 ชนิด ได้แก่
พลาสมิดขนาดประมาณ 186 เมกะคลาตัน และพลาสมิดขนาดมากกว่า 600 เมกะคลาตัน
(Masterson, Prekash and Atherly, 1985)

แบคทีเรีย *E. coli* No.2 และ *E. coli* 39R ใช้เป็นสายพันธุ์มาตรฐานเปรียบเทียบ ชั่งทราบ
ว่าประกอบด้วย พลาสมิด 1 ชนิด ขนาดประมาณ 140 เมกะคลาตัน และ ประกอบด้วย
พลาสมิด 4 ชนิด ขนาดประมาณ 7, 36, 63, และ 147 กิโลเบต ตามลำดับ

บทที่ 4 วิธีดำเนินการศึกษา

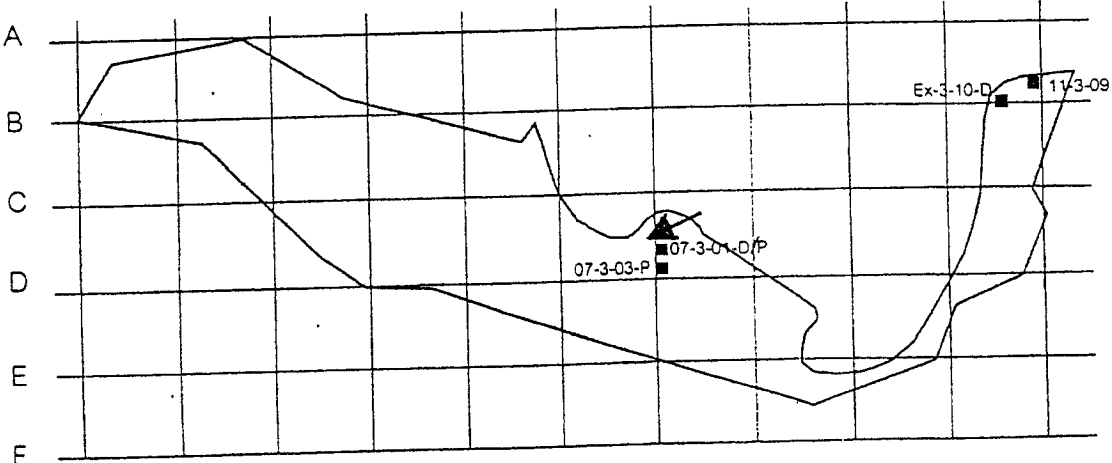
ลักษณะทั่วไปของพื้นที่ศึกษา

พื้นที่ศึกษา คือพื้นที่โครงการสร้างป่า และป่าพันธุกรรมพืช ในโครงการอนุรักษ์พันธุกรรมพืช ยำເນົວຄຽງ ແລະ พื้นที่ป่าเต็งຮັດສາມາດພະນັກງານ คำบລາຫອນຮະເວີຍ ຈັງຫວັນຄຣາຊສິນາ

1. ลักษณะพื้นที่โครงการศึกษา เขตอ້າເກອຄຽງ

พื้นที่โครงการเป็นพื้นที่อยู่ในอุทยานแห่งชาติทับลาน ในเขตอ້າເກອຄຽງ ຈັງຫວັນຄຣາຊສິນາ ຖືປັດຂະພາບຂອງพื้นທີ່ຄໍາລັກປລາວພ (ກາພທີ່ 5) ກາຍໃນພື້ນທີ່ໂຄງການฯ ປະກອບດ້ວຍ 11 ແນວ (L1-L11) ກາເກີບດ້ວຍຢ່າງດິນມາສຶກຍາເດືອກເກີບເພາະ ແນວທີ່ 7 (L7) ແນວທີ່ 10 (L10) ແນວທີ່ 11 (L11) ເນື່ອງຈາກມີລັກຂະພື້ນທີ່ເປັນປ່າຖ່າງໜູ້

ແນວທີ່ 1 2 3 4 5 6 7 8 9 10 11



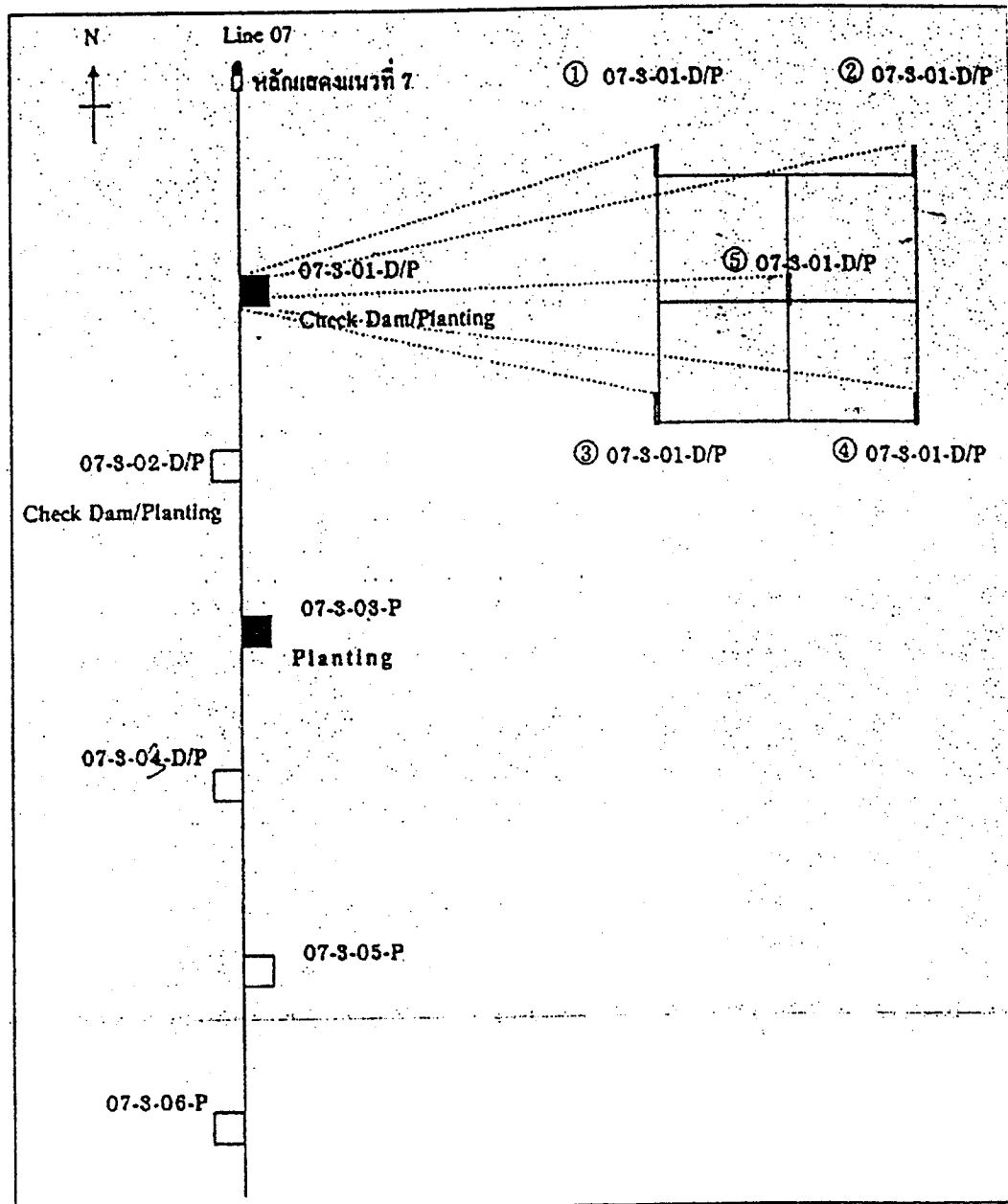
■ ແກນຕາມແນ່ນ່າງຂອງແປລງທົດລອງໃນແນວທີ່ 7 ແລະ ຮະຫວ່າງແນວທີ່ 10-11

→ ແສດງຈຸດທີ່ມີກາເກີບດ້ວຍຢ່າງດິນໃນບຣິເວັນທາງທີ່ໃຊ້ສັງຈະແນວທີ່ 7

ກາພທີ່ 5 ຜັກພື້ນທີ່ໃນໂຄງກາຣອນຸຮັກຍົພັນຫຼັກຮົມພື້ນ ຢ່າເນົວຄຽງ ຈັງຫວັນຄຣາຊສິນາ

2. การก่อหนดแปลงศึกษา

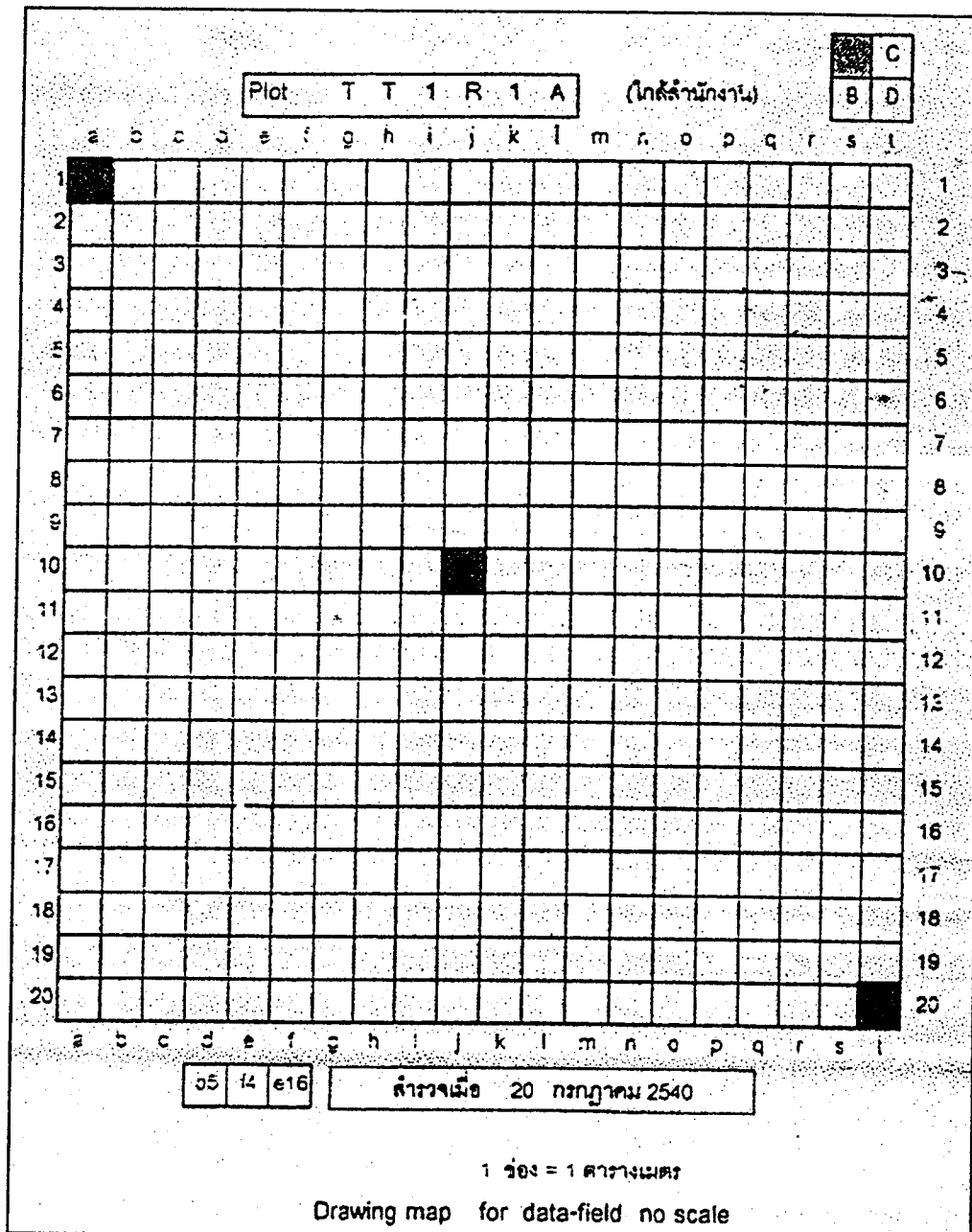
แต่ละแนว (ภาพที่ 6 และแนวที่ 7) แบ่งเป็นแปลงย่อย 6 แปลง อันได้แก่ แปลงปลูกกล้าไม้ และแปลงปลูกกล้าไม้ร่วมกับการขุดคันคันกันน้ำ ซึ่งแต่ละแปลงมีขนาด 20x20 เมตร



ภาพที่ 6 ตัวอย่างของแผนผังการจัดแปลงศึกษาในแนวที่ 7

3. วางแผนทุกคลองสำหรับเก็บตัวอย่างดิน

วางแผนกำหนดพื้นที่ ในการศึกษาขนาด 20×20 ตารางเมตร แบ่งออกเป็นแปลงย่อยขนาด 1×1 ตารางเมตร ผู้สำรวจต้องเก็บตัวอย่างดินจาก 3 แปลงย่อยในแนวทางແยงນูน โดยเก็บดินที่ระดับความลึก 1-20 เซนติเมตร เก็บตัวอย่างดินทุก 3 เดือน ตลอดระยะเวลา 1 ปี (ภาพที่ 7)



ภาพที่ 7 แผนผังที่ทำการศึกษาแต่ละชุด ได้ทำการเก็บตัวอย่างดินในลักษณะทแยงนูน

ลักษณะของเหล่าแนวพื้นที่

พื้นที่ที่ทำการศึกษาในโครงการสร้างป่าตามแนวพระราชดำริ และป่าพันธุกรรมพืช อำเภอครบรูรี และพื้นที่ป่าเต็งรังพสมป่าเบญจพวรรณ ตำบลหนองระเวียง จังหวัดนครราชสีมา

แบ่งการเก็บตัวอย่างดินในพื้นที่ป่า อำเภอครบรูรี ออกเป็น 4 แปลง กับอีก 1 จุด ตามเด่นแบ่ง เขตพื้นที่ที่มีทั้งหมด 11 แนว เส้นกึ่งเฉพาะ แนวที่ 7 (L7) แนวที่ 10 (L10) แนวที่ 11 (L11) และ อีก 1 แปลงในพื้นที่ป่าเต็งรังพสมป่าเบญจพวรรณ ตำบลหนองระเวียง

โดยรายละเอียดเกี่ยวกับแต่ละแปลงที่ทำการศึกษามีดังนี้

1. แนวที่ 7 ประกอบด้วย 2 แปลงศึกษา กับอีก 1 จุด คือ

1.1. แปลงศึกษาที่มีลักษณะเป็นป่าทุ่งหญ้าที่มีการปลูกกล้าไม้และมีการขุดคันคินกันน้ำ (GLDP) รหัสแปลงศึกษา 07-3-01-D/P (07= แนวแปลงที่ 7, 3= ป่าหญ้าคา, 01=แปลงทดลองที่ 1, D/P = checkdam-planting) ภายในแปลงมีลักษณะเป็นป่าหญ้า ดินมีสีแดง เนื้อดินละเอียด พืชส่วนใหญ่เป็นไม้ล้มลุกและไม้พุ่มขนาดเล็ก มีชากรหญ้าทับถมกันเป็นจำนวนมาก ลักษณะคินมีความชุ่มชื้น แปลงนี้ได้ปลูกกล้าไม้ที่เพาะชำนาญการฯ โดยการปลูกตั่งแต่ระยะแรกเป็นพืชพื่อเลี้ยงซึ่งช่วยในการตรึงไนโตรเจนเพื่อเพิ่มความอุดมสมบูรณ์ให้แก่ดิน และมีการขุดคันคินกันน้ำ (check dam) เพื่อป้องกัน และช่วยในการพังทลายของหน้าดิน (ภาพที่ 8)

1.2. แปลงศึกษาที่มีลักษณะเป็นทุ่งหญ้าที่มีการปลูกกล้าไม้ (GLP) นิรหัสแปลงศึกษา 07-3-03-P (07= แนวแปลงที่ 7, 3= ป่าหญ้าคา, 03=แปลงทดลองที่ 3) ภายในแปลงมีลักษณะเป็นป่าหญ้า ดินมีสีแดง พืชส่วนใหญ่เป็นไม้ล้มลุกและไม้พุ่มขนาดเล็ก แปลงทดลองนี้มีเฉพาะการปลูกกล้าไม้ โดยมีการปลูกตั่งแต่ระยะแรกเป็นพืชพื่อเลี้ยง เช่นเดียวกับข้อ 1.1 (ภาพที่ 9)

1.3. เป็นจุดศึกษาที่มีลักษณะเป็นทางที่ใช้สัญจร (way) เป็นเส้นทางที่ใช้เดินทางเข้า ตู้แปลงในเส้นทางที่ 7 ของโครงการฯ มีลักษณะเป็นป่าหญ้าทั้งสองข้างทาง ลักษณะคินเป็นดินเหนียวสีแดง และเนื่องจากเป็นเส้นที่ใช้ในการสัญจრไปมา คินจึงถูกขัดแย้งในหน้าแล้ง มีลักษณะเป็นคินที่แห้ง ไม่ค่อยชุ่มชื้น ในวิพชชื่น (ภาพที่ 10)



ภาพที่ 8 แปลงศึกษาที่มีลักษณะเป็นป่าทุ่งหญ้าที่มีการปลูกกล้าไม้และมีการบุกคันดินกันน้ำ (GLDP) (ก) ลักษณะทั่วไปเป็นป่าหญ้า (ข) การปลูกกล้าไม้ที่เพาะขึ้นตามโครงการฯ (ค) การปลูกถัวมะ香蕉เป็นพืชเลี้ยง (ง) การบุกคันดินกันน้ำ



ภาพที่ 9 แปลงศึกษาที่มีลักษณะเป็นป่าทุ่งหญ้าที่มีการปลูกกล้าไม้ (GLP) (ก) ลักษณะทั่วไปของแปลงศึกษานี้ (ข) การปลูกถัวมะ香蕉เป็นพืชเลี้ยง



ภาพที่ 10 จุดศึกษาที่เป็นเส้นทางการสัญจร (way) และเป็นเส้นทางที่ใช้เดินเข้าสู่แปลงในแนวที่ 7

2. แนวที่ 10 เป็นแปลงศึกษาที่มีลักษณะเป็นป่าหุ่งหญ้าที่มีการขุดคันดินกั้นน้ำ (GLD) มีรหัสแปลงศึกษา Ex-3-10-D {Ex= Extra (แปลงที่เพิ่มขึ้นเพื่อการศึกษาร่องพิเศษ), 3=ป่าหญ้า, 10= แปลงทดลองที่ 10, D= check dam} ภายในแปลงมีลักษณะเป็นป่าหญ้า ดินมีสีแดง พืชต่างๆ ในพืชป่าเป็นพวงหญ้าและไม้พุ่มขนาดเล็ก มีเศษชากหญ้าทับถมบริเวณผิวดินเป็นจำนวนมาก ดินมีความชุ่มชื้นแปลงนี้มีการขุดคันดินกั้นน้ำ ซึ่งสามารถเก็บกักน้ำไว้ได้ (ภาพที่ 11)

3. ระหว่างแนวที่ 10-11 เป็นแปลงศึกษาที่มีลักษณะเป็นหุ่งหญ้า (GLC) มีรหัสเป็น 11-3-09 (11 แปลงที่ 11 , 3= หญ้า, 09=แปลงทดลองที่ 9) ภายในแปลงมีลักษณะเป็นป่าหญ้า ดินมีสีแดงเนื้อละเอียด แปลงนี้ไม่มีการปลูกกล้าไม้หรือขุดคันดินกั้นน้ำเลย ซึ่งใช้เป็นแปลงควบคุมให้มีการเปลี่ยนแปลงและพื้นดินของตามธรรมชาติ (ภาพที่ 12)



ภาพที่ 11 แปลงศึกษาในแนวที่ 10 มีลักษณะเป็นป่าทุ่งหญ้าที่มีการขุดคันคืนกั้นน้ำ (GLD) (ก)
ลักษณะทั่วไป (ข) คันคืนกั้นน้ำ



ภาพที่ 12 แปลงศึการะหว่างแนวที่ 10-11 มีลักษณะเป็นป่าทุ่งหญ้าที่ปล่อยให้มีการพื้น
สภาพเองตามธรรมชาติ (GLC)

4) พื้นที่ป่าหนองระเวียง ลักษณะป่าเป็นป่าเต็งรังผสมกับป่าเบญจพรรณบางส่วน ดินมีสีแดง เนื้อดินเป็นดินทรราย งานวิจัยนี้ได้ทำการเก็บตัวอย่างดินมาศึกษาเพียง 1 แปลง คือ NT1R2 ซึ่งเป็นแปลงที่ค่อนข้างมีความอุดมสมบูรณ์สูง แปลงนี้พืชส่วนใหญ่เป็นไม้ยืนต้นขนาดใหญ่ (ภาพที่ 13)



ภาพที่ 13 แปลงศึกษาในพื้นที่ป่า ต. หนองระเวียง ซึ่งมีลักษณะป่าเป็นป่าเต็งรังผสมกับป่าเบญจพรรณ พืชส่วนใหญ่เป็นไม้ยืนต้นขนาดใหญ่

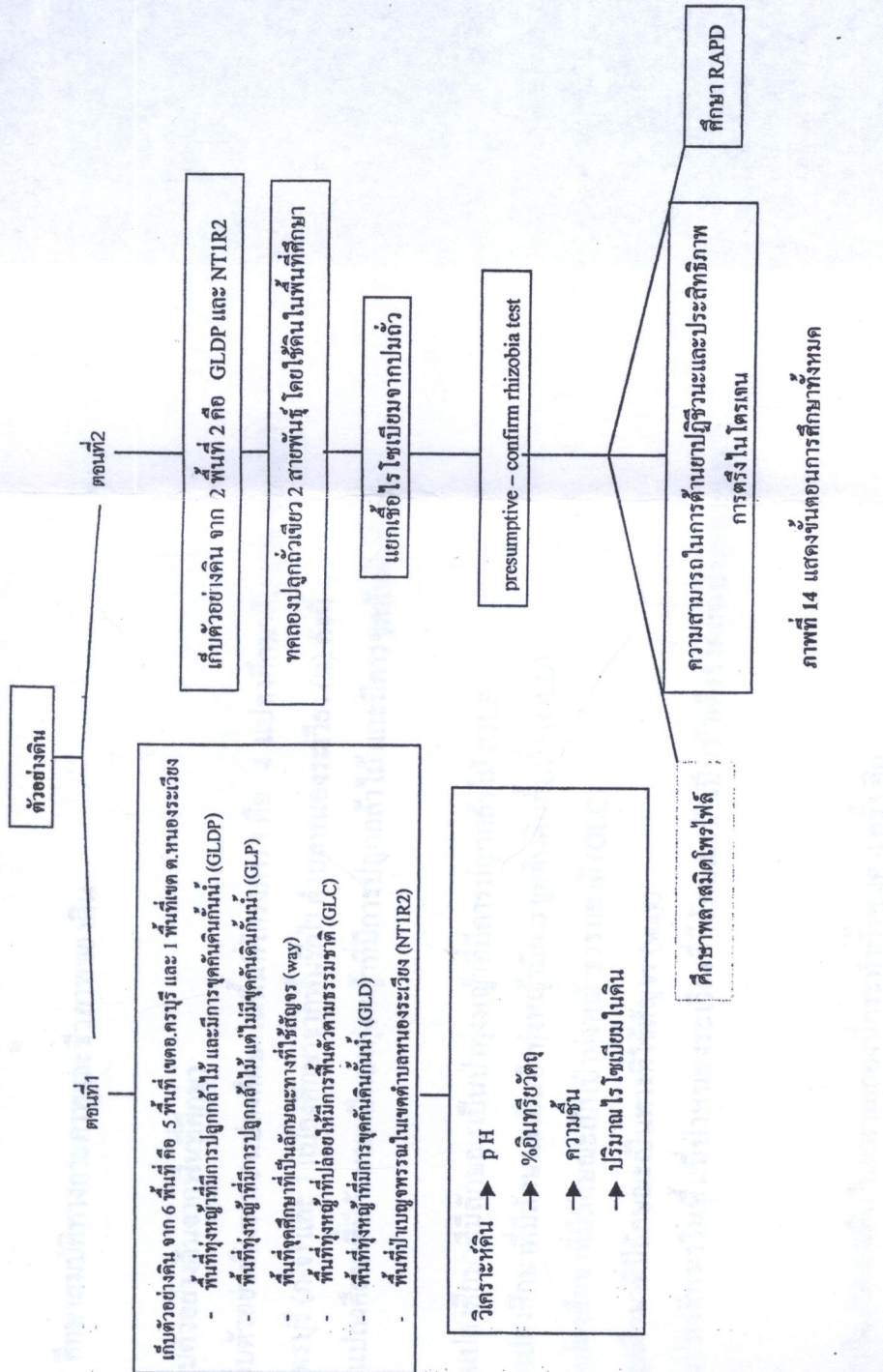
ขั้นตอนดำเนินการศึกษาทั้งหมด แบ่งเป็น 2 ขั้นตอนใหญ่ ดังนี้ (ภาพที่ 14)

ตอนที่ 1 การศึกษาสมบัติทางกายภาพและชีวภาพของคิน

1. เก็บตัวอย่างคินจากพื้นที่ศึกษา คือ 4 แปลงศึกษาจากพื้นที่ป่า สำเภา และแปลงศึกษาจากพื้นที่ป่า ตามลุนองระเวียง
2. วิเคราะห์ลักษณะทางกายภาพของคิน ได้แก่ ค่าความเป็นกรด-ด่าง ปริมาณความชื้น และอินทรีย์วัตถุ
3. วิเคราะห์ลักษณะทางชีวภาพของคิน ได้แก่ ปริมาณไโรโซบียมในคิน

ตอนที่ 2 การคัดแยก และจำแนกความแตกต่างของไโรโซบียมจากคุณสมบัติทางจีโนไทป์และพีโนไทป์

1. เก็บตัวอย่างคินจากพื้นที่โครงการฯ สำหรับปลูกถั่วเขียว
2. การเก็บตัวอย่างปน และคัดแยกเชื้อไโรโซบียมกลุ่มเริญเริ่วจากปนถั่วเขียว ภายหลังการปลูก 4 สัปดาห์
3. การทดสอบ presumptive-confirm Rhizobia test
4. การศึกษาคุณสมบัติการด้านสารปฏิชีวนะของเชื้อ
5. การศึกษาสมมิค โพรไฟล์ของเชื้อไโรโซบียม
6. การสักดิจิทัลและวิเคราะห์รูปแบบทางพันธุกรรมของเชื้อ โดยเทคนิค RAPD
7. การศึกษาความสามารถในการตรึงไนโตรเจนของเชื้อไโรโซบียม ไออกเลตต่างๆ



ภาพที่ 14 แต่งตั้งชุดทดลองการศึกษาห้องทดลอง

วิธีการทดลอง

ห้องที่ 1 ศึกษาสมบัติทางกายภาพและชีวภาพของดิน

1. การเก็บตัวอย่างดินจากพื้นที่ศึกษา

1.1 เก็บตัวอย่างดินจาก 5 แปลงศึกษาในพื้นที่โครงการฯ คือ 4 แปลงศึกษากับ 1 ชุด จากพื้นที่ป่าสำเภาครบุรี (ก-จ) และ 1 แปลงศึกษาจากพื้นที่ป่า ตำบลหนองระเวียง (ฉ) ดังนี้

ก. แปลงศึกษาที่มีลักษณะเป็นป่าทุ่งหญ้าที่มีการปลูกกล้าไม้ และมีการขุดคันคินกันน้ำ

(GLDP)

ข. แปลงศึกษาที่มีลักษณะเป็นป่าทุ่งหญ้าที่มีการปลูกกล้าไม้ (GLP)

ค. แปลงศึกษาที่มีลักษณะเป็นป่าทุ่งหญ้ามีการขุดคันคินกันน้ำ (GLD)

ง. แปลงศึกษาที่มีลักษณะเป็นป่าทุ่งหญ้าธรรมชาติ (GLC)

จ. ชุดศึกษาที่มีลักษณะเป็นทางที่ใช้สัญจร (way)

ฉ. แปลงศึกษาในพื้นที่ป่าหนองระเวียงที่มีลักษณะป่าเป็นป่าเต็งรังผสมป่าเบญจพรรณ

(NT1R2)

1.2. การเก็บตัวอย่างดินในการทดลองนี้จะทำทั้งหมด 4 ครั้ง คือ

ครั้งที่ 1 วันที่ 6 มิถุนายน 2541

ครั้งที่ 2 วันที่ 19 กันยายน 2541

ครั้งที่ 3 วันที่ 5 มกราคม 2542

ครั้งที่ 4 วันที่ 21 มีนาคม 2542

1.3. วิธีการเก็บตัวอย่างดิน การเก็บตัวอย่างดินแต่ละแปลงทดลองเก็บ 3 ชุด ในแนวทางเด่นๆ ที่ระดับความลึก 0-20 เซนติเมตร โดยใช้เสียมที่สะอาดขุดเก็บดินประมาณ 1 กิโลกรัม จากนั้น จึงจะทำการเก็บใส่ถุงและมัดยางให้แน่น นำตัวอย่างดินมาวิเคราะห์ลักษณะทางกายภาพ และ ชีวภาพของดิน

2. วิเคราะห์ลักษณะทางกายภาพของดิน

2.1 การหาค่าความเป็นกรด-ด่าง ของดิน (ดัดแปลงจาก Jackson, 1956)

เติมน้ำ 100 มิลลิลิตร ในดิน 20 กรัม ซึ่งเป็นอัตราส่วน 1:5 (ดิน:น้ำ) นำไปเขย่า เป็นเวลา 1 ชั่วโมง ทิ้งไว้ให้ตกร่องน้ำ pH ของส่วนที่เป็นสารละลายแพร่ลงโดยด้วย pH meter

2.2. การหาเปอร์เซ็นต์ความชื้นของดิน (Jackson, 1956)

เริ่มจากการอบถ่านอยู่ในอุณหภูมิ 110 องศาเซลเซียส 24 ชั่วโมง ซึ่งนำน้ำหนักบันทึกไว้ หลังจากนั้นใส่ดิน 10 กรัม ซึ่งนำน้ำหนักรวมของดินและถ่านอยู่ในอุณหภูมิ 80 องศาเซลเซียสเป็นเวลา 24 ชั่วโมง ที่นี่ไว้ให้เย็นใน desiccator จนกระถั่งนำไปปั่น อบตัวอย่างดินอีกครั้งที่อุณหภูมิ 80 องศาเซลเซียส 24 ชั่วโมง นำมาซึ่งอีกครั้งน้ำหนักคงที่เก็บคิดเพื่อบนแห้งไว้ใน desiccator สำหรับการทดลองในข้อ 2.3 นำค่าที่ได้คำนวณหาเปอร์เซ็นต์ความชื้นจากสูตร

$$\begin{aligned} \text{กำหนดให้ } A &= \text{น้ำหนักภาชนะ} \\ B &= \text{น้ำหนักภาชนะรวมกับน้ำหนักดินเปียก} \\ C &= \text{น้ำหนักภาชนะรวมกับน้ำหนักดินอบแห้ง} \end{aligned}$$

$$\text{เปอร์เซ็นต์ความชื้น} = \frac{B-C}{C-A} \times 100$$

2.3. การหาเปอร์เซ็นต์อินทรีย์วัตถุในดิน

เผาถ่านกระเบื้อง (crucible porcelain) ที่อุณหภูมิ 500 องศาเซลเซียส 3 ชั่วโมง ใส่ใน desiccator รอให้เย็น บันทึกน้ำหนักของถ่านกระเบื้องหลังเผา แล้วนำดินใน desiccator จากข้อ 2.2 ใส่ในถ่านกระเบื้อง บันทึกน้ำหนักรวมของถ่านกระเบื้องกับดินอบแห้ง นำไปเผาที่อุณหภูมิ 500 องศาเซลเซียสเป็นเวลา 3 ชั่วโมง แล้วทิ้งไว้ใน desiccator จนเย็น บันทึกน้ำหนักรวมของดินกับถ่านกระเบื้องหลังเผา แล้วนำค่าที่ได้คำนวณหาเปอร์เซ็นต์อินทรีย์วัตถุตามสูตร ดังนี้

$$\begin{aligned} A &= \text{น้ำหนักถ่านกระเบื้องหลังเผา} \\ B &= \text{น้ำหนักถ่านกระเบื้องรวมกับดินอบแห้ง} \\ C &= \text{น้ำหนักถ่านกระเบื้องรวมกับดินอบแห้งหลังเผา} \end{aligned}$$

$$\text{เปอร์เซ็นต์อินทรีย์วัตถุ} = \frac{B-C}{B-A} \times 100$$

3. การวิเคราะห์ลักษณะทางชีวภาพของดิน

การตรวจหาปริมาณไธโซบิㄨ (Rhizobium sp. (cowpea)) ในดิน 6 บริเวณในโครงการฯ โดย เทคนิค MPN-plant infect method แบบ Fourfold dilution series (Somasegaran และคณะ, 1985 ; นันทกร และคณะ, 2536)

3.1. ซึ่งตัวอย่างคินจากแต่ละพื้นที่ ประมาณ 50 กรัม ใส่ในน้ำกลั่นผ่าเชือเดียว 150 มิลลิลิตร เบ่าบนเครื่องเบ่านาน 10 นาที จะได้สารละลายคินในสัดส่วนเท่ากับ 1:4 จากนั้นนำสารละลายคิน 10 มิลลิลิตรละลายต่อไปในน้ำกลั่น 30 มิลลิลิตร เพื่อให้ได้สารละลายคินที่มีสัดส่วนเท่ากับ 1:16 ทำเช่นเดียวกันนี้เรื่อยๆ จนกระทั่งสารละลายคินมีสัดส่วนความเข้มข้นเท่ากับ 4^{-8} ทำทั้งหมด 8 ระดับความเข้มข้น คือ ที่ระดับความเจือจาง $4^{-1} 4^{-2} 4^{-3} 4^{-4} 4^{-5} 4^{-6} 4^{-7}$ และ 4^{-8} ระดับความเข้มข้นจะ 4 ชั้น

3.2 เพาะเม็ดถั่วเขียวบนงานแก้ว โดยทำความสะอุดพื้นผิวของเม็ดตามวิธีของ ณัฐพร สุนทรวิจารณ์ (2534) ล้างด้วยน้ำกลั่นปลอดเชือ ตามด้วย 70% แอลกอฮอล์ นาน 1 นาที 20% คลอรอกซ์ นาน 5 นาที แล้วล้างด้วยน้ำกลั่นปลอดเชือ 6 ครั้ง วางบนงานแก้วที่มีสำลีกุ่มน้ำไว้ในที่มี 1-2 วัน เมื่อเม็ดคงกรากษาประมาณ 1 เซนติเมตร (ภาพที่ 15 ข) จึงนำไปปููกในขันตอนต่อไป

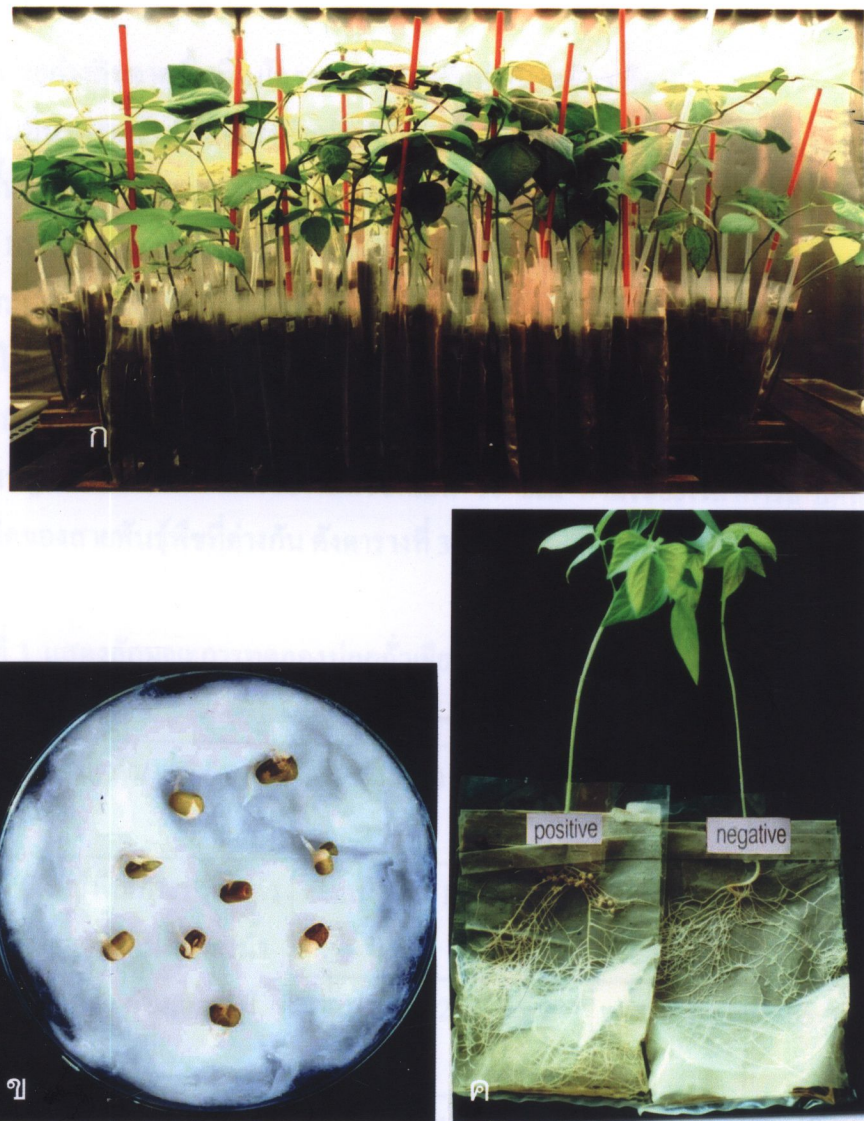
3.3 เครื่ยมถุงเลี้ยงกล้า (growth pouch) และแร็ค (rack) สำหรับวางถุงเลี้ยงกล้า

ถุงเลี้ยงกล้าทำจากกระดาษสา ใส่ถุงพลาสติกขนาด 5x8 นิ้ว โดยใส่หลอดพลาสติกทางด้านหนึ่งของถุงนำไปปนึงผ่าเชือ ส่วนแร็คที่ใช้วางถุงเลี้ยงกล้าทำจากเต็นคราฟสแตนเลส (stainless) คาดเป็นกรอบตอกลงบนแผ่นไม้ (Somasegaran et al., 1985) ช่องห่างระหว่างกรอบควร阔 ควรอยู่ระหว่าง 1.0 - 1.5 เซนติเมตร

3.4 inoculate สารละลายคินลงบนรากถั่ว โดยแกร์แรกใช้ปีปีกดูดสารละลายคินมา 4 มิลลิลิตร จากนั้นจึง inoculate สารละลายคินในแต่ละระดับความเข้มข้นลงบนรากพืช 4 ถุง สำหรับ 4 ชั้น (1 ถุง / 1 ตัน/ 1 มิลลิลิตร) ปฏิบัติเช่นเดียวกันนี้จนถึงระดับความเข้มข้นที่ 4^{-8}

3.5 วางถุงปููกถั่วเขียวบนแร็ค ภายใต้ห้องบ่มพืชที่อุณหภูมิ 28 องศาเซลเซียส (ภาพที่ 15 ก)

3.6 อ่านผล โดยนับจำนวนถุงที่ให้ผล positive (ถุงที่เกิดปม) (ภาพที่ 15 ค) นำค่าที่ได้มา เปิดตาราง MPN (Four-fold dilution) (ตารางภาคผนวก ข) อ่านผลเป็นจำนวนเซลล์ต่อกรัมคินแห้ง



ภาพที่ 15 การศึกษาปริมาณ ของไร โโซเบียม (*Rhizobium sp.* (cowpea)) ในดิน โดยเทคนิค MPN-plant infect method (ก) ลักษณะการศึกษาปริมาณไร โโซเบียมภายในห้องทดลอง โดยใช้ถั่วเขียวเป็นพืชทดสอบ (ข) แสดงการเพาะเมล็ดถั่วเขียวบนจานแก้ว (ค) การประเมินปริมาณ ไร โโซเบียมในดิน โดยนับจำนวนถุงที่ให้ผล positive (ถุงที่เกิดปม)

ตอนที่ 2 การคัดแยกและจำแนกความแตกต่างของไวรัสเมียจากคุณสมบัติทางจีโนไทป์และพโนไทป์

1. เก็บตัวอย่างดินจากพื้นที่ในโครงการฯ สำหรับปููกถัวเขียว กือ

- พื้นที่ป่าทุ่งหญ้า สำหรับระบุริเบียงที่มีการปููกกล้าไม้ และบุคคลนัดินกันน้ำ (GLDP)
- พื้นที่ป่าเบญจพรรณ ดำเนินการของระเวียง (NT1R2)

1.1 การเก็บตัวอย่างดินในแต่ละแปลงทดลองเก็บ 3 จุดตามแนวเส้นทางน้ำ จากนั้นจึงทำการผสมดินดังกล่าวรวมกัน แล้วนำมาปููกถัวเขียว 2 สายพันธุ์ กระทำการเก็บดิน เช่นเดียวกันนี้ 4 ครั้ง ในช่วงระยะเวลา 1 ปี ตามที่ กล่าวไว้ใน ตอนที่ 1 ข้อ 1.2. หน้า 48

1.2 ทดลองปููกถัวเขียว 2 สายพันธุ์ โดยใช้ดินที่เก็บจาก 2 พื้นที่ในโครงการฯ โดยแบ่งการทดลองปููกถัวเขียวและเก็บตัวอย่างปนออกเป็น 16 box ตามระยะเวลาการเก็บดิน ชนิดของดิน และชนิดของสายพันธุ์พืชที่ต่างกัน ดังตารางที่ 3

ตารางที่ 3 แสดงลักษณะการทดลองปููกถัวเขียว 2 สายพันธุ์ โดยใช้ดินจาก 2 พื้นที่ในโครงการฯ

ชนิดดิน	สายพันธุ์ถัว	มิถุนายน 2541	กันยายน 2541	มกราคม 2542	มีนาคม 2542
พื้นที่ป่าทุ่งหญ้าที่มีการปููกกล้าไม้ร่วมกับการบุคคลนัดินกันน้ำ (07-3-01 D/P) สำหรับระบุริเบียง (GLDP)	กำแพงแสน 1	box1	box3	box5	box7
	กำแพงแสน 2	box2	box4	box6	box8
พื้นที่ป่าเบญจพรรณในโครงการฯ ดำเนินการของระเวียง (NT1R2)	กำแพงแสน 1	box9	box11	box13	box15
	กำแพงแสน 2	box10	box12	box14	box16

หมายเหตุ 1 box ประกอบด้วย 9 กระถางของถัวเขียว 1 สายพันธุ์ที่ปููกในดิน 1 ชนิด

2. การเก็บตัวอย่างปนและคัดแยกเชื้อไวรัสเมียกลุ่มเชริญเรว จากปนถัวภายในหลังการปููก 4 สัปดาห์

2.1. สุ่มเก็บเชื้อไวรัสเมียจากตัวอย่างปนถัวเขียว 2 สายพันธุ์ ที่ได้จากดินสำหรับระบุริเบียง และดินดำเนินการของระเวียง ระหว่างช่วงการตัดเก็บตัวอย่างปน ครั้งแรกในเดือนกรกฎาคม 2541 ครั้งที่สอง

ในเดือนตุลาคม 2541 ครั้งที่สามในเดือนกุมภาพันธ์ 2542 ครั้งที่สี่ในเดือนเมษายน 2542 ซึ่งการเก็บตัวอย่างเชื้อไวรัสเปลี่ยนในการศึกษานี้ คัดเลือกเก็บเชื้อจากปั๊มลักษณะสมบูรณ์ และมีขนาดใหญ่ (ภายในปั๊มควรมีสีแดง) นำมาใช้เป็นตัวแทนในการศึกษานี้ โดยที่ไอโซเลทไวรัสเปลี่ยนที่แยกได้จากปั๊มถ้วนเขียวสายพันธุ์กำแพงแสน 1 (ก.พ.ส 1 : KPS1) หรือถ้วนเขียวสายพันธุ์กำแพงแสน 2 (ก.พ.ส 2 : KPS2) ที่ปั๊กในดินครบรูริ ให้สัญลักษณ์ เป็น P1-P16 และไอโซเลทไวรัสเปลี่ยนที่แยกได้จากปั๊มถ้วนเขียวสายพันธุ์ ก.พ.ส 1 หรือถ้วนเขียวสายพันธุ์ ก.พ.ส 2 ที่ปั๊กในดินหนอนระเวียง ให้สัญลักษณ์ เป็น N1- N16 แสดงการเก็บตัวอย่างเชื้อไวรัสเปลี่ยนในการศึกษานี้กระทำดัง ตารางที่ 4

ตารางที่ 4 แสดงแผนการเก็บตัวอย่างเชื้อไวรัสเปลี่ยน (sampling procedure) จากปั๊มถ้วนเขียว 2 สายพันธุ์ ที่ได้มาจากการปั๊กในดินสำเภาครบุรี และดินดำบนหนอนระเวียง (Paffetti et al., 1996)

ตัวอย่าง	ชนิดดิน	สายพันธุ์พืช ถ้วนเขียว	Box	ช่วงเวลาตัดเก็บตัว อย่างปั๊ม
P1 through P2	GLDP	ก.พ.ส. 1	1	7 กรกฎาคม 2541
P3 through P4	GLDP	ก.พ.ส. 2	2	7 กรกฎาคม 2541
P5 through P6	GLDP	ก.พ.ส. 1	3	12 ตุลาคม 2541
P7 through P8	GLDP	ก.พ.ส. 2	4	12 ตุลาคม 2541
P9 through P10	GLDP	ก.พ.ส. 1	5	9 กุมภาพันธ์ 2542
P11 through P12	GLDP	ก.พ.ส. 2	6	9 กุมภาพันธ์ 2542
P13 through P14	GLDP	ก.พ.ส. 1	7	17 เมษายน 2542
P15 through P16	GLDP	ก.พ.ส. 2	8	17 เมษายน 2542
N1 through N2	NT1R2	ก.พ.ส. 1	9	7 กรกฎาคม 2541
N3 through N4	NT1R2	ก.พ.ส. 2	10	7 กรกฎาคม 2541
N5 through N6	NT1R2	ก.พ.ส. 1	11	12 ตุลาคม 2541
N7 through N8	NT1R2	ก.พ.ส. 2	12	12 ตุลาคม 2541
N9 through N10	NT1R2	ก.พ.ส. 1	13	9 กุมภาพันธ์ 2542
N11 through N12	NT1R2	ก.พ.ส. 2	14	9 กุมภาพันธ์ 2542
N13 through N14	NT1R2	ก.พ.ส. 1	15	17 เมษายน 2542
N15 through N16	NT1R2	ก.พ.ส. 2	16	17 เมษายน 2542

GLDP : แปลงศึกษาในพื้นที่ป่าหุ่งหญ้า สำเภาครบุรี ที่มีการปั๊กกล้าไม้และขุดคันดินก้นน้ำ

NT1R2 : แปลงศึกษาในพื้นที่ป่า ดำบนหนอนระเวียง มีลักษณะป่าเป็นป่าเต็งรังผสมป่าเบญจพรรณ

2.2 การแยกเชื้อ ไร โซเมียกคุณเจริญเร็วจากตัวอย่างปั่นถัวเขียว (Somasegaran and Hoben, 1994)

นำตัวอย่างปั่นถัวที่ผ่านการคัดเลือกแล้ว มาล้างด้วยน้ำกลันปลอกเชื้อ ตามด้วยแอลกอฮอล์ 95 เปอร์เซ็นต์ 5 วินาที และกอฮอล์ 70 เปอร์เซ็นต์ 1 นาที และ 0.1 เปอร์เซ็นต์ HgCl_2 15 นาที จากนั้nl ล้างด้วยน้ำกลัน 3 ครั้ง แล้วนำไปแช่ในน้ำกลัน 5 นาที จนปนมพอง บดปนในน้ำกลัน 1 หยด นำสารละลายปั่น streak บน YM agar ที่ผสม congo red บ่มที่อุณหภูมิ 30 องศาเซลเซียส นาน 4 วัน เดือกโคลโนนีเดียวที่ไม่ดูดสี congo red หรือ ดูดเพียงเล็กน้อย ซึ่งไม่มีสีหรือมีขาวๆ นุ่ม ลักษณะกลม นุ่น และขอบเรียบ ถ่ายรูปของร่องทั้งแนวไขว่ได้โคลโนนีบริสุทธิ์

2.3 ตรวจสอบสัมฐานวิทยาและความบริสุทธิ์ขั้นต้นของเชื้อ

การย้อมแกรม (gram stain) นำเชื้อที่เจริญใน YM agar ระยะ log phase หยดลงบนสไลด์ 1 หยด จากนั้นจึงทำการสเมียร์และตรึงเซลล์ด้วยความร้อน หยด crystal violet 1 เปอร์เซ็นต์ ทึ่งไว้ 1 นาที ล้างสีออกด้วยน้ำประปาแล้วหยด สารละลาย Gram's iodine ทึ่งไว้ 1 นาที เทสารละลาย Gram's iodine ออก แล้วล้างทันทีด้วย ethanol 95 เปอร์เซ็นต์ ล้างออกด้วยน้ำประปา จากนั้น ข้อมทับด้วย safranin O นาน 1 นาที จากนั้nl ล้างสีออกด้วยน้ำ ปล่อยให้แห้ง แล้วจึงตรวจดูด้วยกล้องจุลทรรศน์ที่กำลังขยาย 1,000 เท่า แบคทีเรียที่เป็นแกรมลบ (gram negative) ติดสีแดง

3. การทดสอบ presumptive –confirm Rhizobia test (Somasegaran and Hoben, 1994)

3.1 presumptive test อาศัยคุณสมบัติการสร้างกรด โดยการ streak เชื้อ ไร โซเมียของแต่ละ ไอโซเลต ลงอาหารเจ็งสูตร YM ซึ่งมี 0.1 เปอร์เซ็นต์ bromthymol blue ม่นนาน 3 วัน ที่อุณหภูมิ 28 องศาเซลเซียส จากนั้นจึงสังเกตการสร้างกรดจากสีเหลืองที่ปรากฏบนอาหาร

3.2 confirm test อาศัยคุณสมบัติการเจ้าสร้างปั่นของ ไร โซเมียบนagar ถัวเขียว

3.2.1 เตรียมกล้าเชื้อ (inoculant) ทำโดยถึ่งเชื้อ ไร โซเมีย แต่ละ ไอโซเลตให้เจริญในอาหารเหลวสูตร YM โดยแบ่งข้าวครูปุ่นครื่องเบ่า 10 รอบ/นาที ที่อุณหภูมิ 27 องศาเซลเซียส เป็นเวลา 5 วัน เชื้อจะเจริญ เกิดความชุ่นในอาหารเหลว ปีเปตตัวอย่างเชื้อใส่ใน cuvette นำไปวัดค่าการดูดกลืนแสงที่ความยาวคลื่น 600 นาโนเมตร (nm) โดยค่า OD_{600} ประมาณ 0.45-0.60 และประเมินว่ามี ไร โซเมีย 10^9 CFU/มิลลิลิตร จึงนำไป ซึ่งเพียงพอที่จะนำไปเป็นกล้าเชื้อ

3.2.2 การเพาะเมล็ดถัวเขียวบนagan แก้ว ทำการสะอะดินพื้นผิวของเมล็ดตามวิธีที่กล่าวไว้ใน ตอนที่ 1 ข้อ 3.2 หน้า 50

3.2.3 เตรียมถุงเลี้ยงกล้า (growth pouch) และแร็ค สำหรับวางถุงเลี้ยงกล้า ตามวิธีที่กล่าวไว้ใน ตอนที่ 1 ข้อ 3.3 หน้า 50

3.2.4 การใส่เชื้อไวรัสบีญลงในถุงเลี้ยงกล้าถั่วเขียว ถุงเลี้ยงกล้าดังนี้มีเชื้อก่อนใช้ทุกครั้ง วางถุงเลี้ยงกล้าในแร็ค เติมสารอาหารเหลวที่ปราศจากไนโตรเจน ตามสูตรของ Broughton และ Dillworth (1970) แต่ใช้สาร FeNaEDTA 6.9266 กรัม/ลิตร แทน Fe-citrate ที่อยู่ในสูตร โดยเติมอาหารเหลวนี้ 50 มิลลิลิตรต่อถุง (Turk and Keyser, 1992) ใส่เม็ดถั่วเขียวทึ่งอกແลือ ถุงละ 1 เม็ด แล้วใส่เชื้อไวรัสบีญบริสุทธิ์ 1 มิลลิลิตร/เม็ด (10^9 CFU/มิลลิลิตร) ที่บรรจุในราก (Hartmann and Amerger, 1991) ทำการทดลองควบคุมที่ไม่ได้ใส่เชื้อ (uninoculated control) ด้วยเพื่อใช้เป็นผลเปรียบเทียบวางบนชั้นในห้องเลี้ยงกล้า (growth room) ให้แสงจากหลอดไฟฟลูออเรสเซนต์ (fluorescent lamp) 40 วัตต์ ความยาว 48 นิว โดยมีระยะห่างเหนือปากถุง 17 เซนติเมตร ช่วงเวลาให้แสง 12 ชั่วโมง/วัน (Shishido and Pepper, 1991) ห้องที่ใช้ทดลองควบคุมอุณหภูมิ ที่ 28 องศาเซลเซียส

4. การศึกษาคุณสมบัติการต้านยาปฏิชีวนะของเชื้อ

เลี้ยงเชื้อแต่ละสายพันธุ์ในอาหารเหลว YM บ่มบนเครื่องเบาท์ 28 องศาเซลเซียส เป็นเวลา 3 วัน จากนั้นถ่ายเชื้อเหลวปริมาณเซลล์เริ่มต้น 10^4 เซลล์ (Shishido and paper, 1990) ลงบนผิวน้ำอาหารแข็ง YM ของแต่ละจานเลี้ยงเชื้อ ทดสอบคุณสมบัติการต้านสารปฏิชีวนะด้วยการวาง antibiotic disc มาตรฐาน 7 ชนิด คือ streptomycin 10 µg tetracycline 10 µg carbenicillin 100 µg kanamycin 30 µg erythromycin 15 µg penicillin 10 µg rifampin 5 µg จากนั้นจึงนำไปบ่มที่อุณหภูมิ 28 องศาเซลเซียส นาน 3 วัน อ่านผลโดยวัดความกว้างของ inhibition zone แปลผลตามตารางของ Nation Committee for Clinical Laboratory Standards (1992) (ตารางภาคผนวกค)

5. การศึกษาพลาสมิดโพธิไฟล์ของเชื้อไวรัสบีญ

5.1 ทดลองตรวจหาพลาสมิดขนาดใหญ่จากเซลล์แขวนลอยของเชื้อระยะ log phase ในอาหารเหลว TY โดยการทำให้เซลล์แตก (cell lysis) ตามวิธีของ Hirsch และคณะ (1989) ซึ่งเคยประสบความสำเร็จในการศึกษาน้ำดักของพลาสมิดจากเชื้อ *Rhizobium leguminosarum* {{One ml of cell culture was centrifuged and to the pellet was added 50 µl of lysis mixture (1mg lysozyme ml⁻¹ and 1 mg RNase ml⁻¹ in 25% sucrose, 0.025 M Tris/HCl)}} โดยเชื้อไวรัสบีญที่ได้ทำการ

ศึกษาขนาดพลาสมิคในการทดลองนี้ใช้ *B. japonicum* USDA 193 เป็นสายพันธุ์เปรียบเทียบ ซึ่งทราบว่ามี พลาสมิค 2 ขนาด ประมาณ 186 และ มากกว่า 600 เมกกะดาตตัน (Masterson et al., 1985) ร่วนกับพลาสมิคดีเย็นเอกสารร่องหมายที่สักด้ากจาก *E. coli* 39R และ *E. coli* No.2 โดยวิธี Rapid alkaline extraction (Brinboim and Doly, 1979) ซึ่งทราบว่ามีพลาสมิคขนาดประมาณ 7, 36, 63, 147 กิโลเบต และ 140 เมกกะดาตตัน ตามลำดับ จากนั้น นำสารละลายพลาสมิคที่ต้องการศึกษา ภายหลังการทำให้เซลล์แตก มาหาขนาดโดยอากร่า索เจล อิเลค โตร โฟร์ซิส

5.2 การแยกขนาดคีอีนเอ โดย อากร่า索เจล อิเลค โตร โฟร์ซิส

หยดตัวอย่างคีอีนเอที่ผสมตีติดตาม (Tracking dry) ลงในช่องซึ่ห์ของแผ่นอะกร่า索เจล 0.8 เบอร์เซนต์ ซึ่งแข็งอยู่ในแอมบอร์ที่บรรจุ Tris- Borate Buffer (TBE) สูงทั่วหมดประมาณ 2 มิลลิลิตร ที่ต่อเข้ากับ power supply ให้กระแสไฟฟ้าผ่านขั่วลบไปยังขั่วนบวก ใช้ความต่างศักย์ 55 โวลต์ 27 ชั่วโมง จากนั้นนำแผ่นเจลไปขึ้นด้วย เอธิเดียมไบรโรมิด (Ethidium Bromide : EtBr) 0.5 ไมโครกรัมต่อมิลลิลิตรเป็นเวลา 15 นาที ล้างเอธิเดียมไบรโรมิดส่วนเกินออก โดยแช่ในน้ำคลื่น 15 นาที ตรวจสอบคีอีนเอภายใต้แสงอุตทรaviolet จากเครื่อง UV-transilluminator บันทึกภาพ หาขนาดของแถบคีอีนเอ โดยการใช้วิธีของ Rochelle และคณะ (1985) เป็นการสร้างกราฟ มาตรฐาน ด้วยการใช้กราฟ semilog (log/log) ในการเปรียบเทียบระยะทางการเคลื่อนที่ของชิ้น คีอีนเอ (แกน X) และขนาดชิ้นคีอีนเอ (แกน Y)

6. การสักด้าคีอีนเอและวิเคราะห์รูปแบบทางพันธุกรรมของเชื้อ โดยเทคนิค RAPD

6.1 การสักด้าโครโนไซมอลคีอีนเอ (Achara et al., 1997)

เลี้ยงเซลล์ในอาหารเหลว TY เป็นเวลา 3 วัน

▶
ปั่นเก็บเซลล์ ด้วยความเร็วรอบ 6000 rpm เป็นเวลา 10 นาที

▶
漉ลายเซลล์ใน SET buffer (20% sucrose (w/v) , 50 mM Tris - HCl; pH 7.6, 50 mM EDTA)

▶
จำนวน 400 ไมโครลิตร เก็บที่ -20 องศาเซลเซียส เป็นเวลา 1 คืน

▶
漉ลายเซลล์ทันที ที่อุณหภูมิ 65 องศาเซลเซียส

▶
เติมเอนไซม์ไลโซไซม์ (5 mg /ml TEN buffer) จำนวน 50 ไมโครลิตร

เติม RNaseA (10 mg/ml in sterile water) จำนวน 25 ไมโครลิตร

และบ่มที่อุณหภูมิ 37 องศาเซลเซียส นาน 1 ชั่วโมง

เติม SDS เข้มข้น 25 เปอร์เซ็นต์ จำนวน 20 ไมโครลิตร เขย่าเบาๆ เป็นเวลา 3-6 ชั่วโมง

เติม proteinase K (1 mg/ml TEN buffer) จำนวน 75 ไมโครลิตร เขย่าที่ 37 องศาเซลเซียส 12 ชั่วโมง

เติม phenol {ที่อึ้นตัวใน 0.1mM Tris-HCl ; pH8 และ 0.1% Hydroxyquinoline (W/V)} จำนวน 1 เท่าของปริมาตรสารที่ต้องการสกัด กลับหลอดไปปามาเนาๆ 10 ครั้งต่อนาที

ปั่นด้วยความเร็วรอบ 4,000 rpm นาน 15 นาที

คุณสารละลายใส่ส่วนบน (ชั้นน้ำ) โดยใช้พลาสเซอร์ปีเพตปากกว้างใส่ลงหลอดใหม่

เติม chloroform : isoamyl alcohol (24:1) จำนวน 1 เท่า ของปริมาตรสารที่ต้องการสกัด กลับหลอดไปปามา 10 ครั้งต่อนาที (สกัด 2 ครั้ง)

เติม sodium acetate 3 โมลาร์ ลงไป 1/9 ของปริมาตรสารละลายทั้งหมดกลับหลอดไปปามา

เติม isopropanol 60 เปอร์เซ็นต์ ของปริมาตรเติม ตั้งทิ้งไว้ที่อุณหภูมิห้อง 30 นาที

ล้างตะกอนดีเอ็นเอด้วย Ethanol 70 เปอร์เซ็นต์ 500 ไมโครลิตร

ปั่นเก็บตะกอนดีเอ็นเอ ด้วยความเร็วรอบ 10,000 rpm เป็นเวลา 10 นาที

ทำให้ตะกอนแห้งและละลายตะกอนในสารละลายบัฟเฟอร์ TE (10 mM Tris-HCl; pH8 , 1 mM Na₂EDTA)

เก็บสารละลายดีเอ็นเอที่อุณหภูมิ -20 องศาเซลเซียส

6.2 ตรวจคุณภาพปริมาณและความบริสุทธิ์ของดีเอ็นเอ (Maniatis, Fritsch and Sambrook, 1982)

ตรวจสอบคุณภาพและปริมาณดีเอ็นเอและทดสอบความบริสุทธิ์ของดีเอ็นเอ โดยทำอิเดกโคร ไฟรีซซ์ และวัดค่าการดูดกลืนแสงที่ 260 และ 280 นาโนเมตร ใช้ TE บัฟเฟอร์เป็น 1_{blank} ถ้าอัตราส่วนการดูดกลืนแสงที่ความยาวคลื่น 260 เทียบกับ 280 มากกว่าหรือเท่ากับ 1.8 ถือว่าดีเอ็นเอนั้นมีความบริสุทธิ์เพียงพอสำหรับทำปฏิกิริยา PCR ด้วยเทคนิค RAPD

6.3 การตรวจสอบดีเอ็นเอโดยเทคนิค RAPD

6.3.1 การศึกษาภาวะและปฏิกิริยาที่เหมาะสมในการเพิ่มปริมาณดีเอ็นเอโดย PCR

สภาวะและปฏิกิริยาในการเพิ่มปริมาณดีเอ็นเอ โดยเทคนิค PCR เป็นภาวะที่คัดแปลงมาจาก Teamroong, Boonkerd และ Murooka (1996) และ Paffetti และคณะ (1996) และ Nuswantara และคณะ (1996) และ Achara และคณะ (1997) ซึ่งเคยประสบความสำเร็จในการเพิ่มปริมาณดีเอ็นเอและทำให้เกิดรูปแบบการสังเคราะห์ดีเอ็นเอที่แตกต่างกันในໄรโซเมียนหลาย ๆ ชนิด โดยสภาวะการเพิ่มดีเอ็นเอ มีดังนี้

heat activation ที่	95	องศาเซลเซียส	10	นาที
denaturation ที่	94	"	1	"
annealing ที่	36	"	1	"
extension ที่	72	"	2	"
(45 รอบปฏิกิริยา)				
complete nascent product	72	"	5	"

องค์ประกอบของปฏิกิริยา 25 ไมโครลิตรประกอบด้วย			
ดีเอ็นเอแม่แบบ (DNA Template)	50	ng	
10 x PCR buffer	2.5	ไมโครลิตร	
deoxynucleoside triphosphate (dATP, dCTP, dGTP, dTTP)	0.2	mM	
Tag DNA polymerase	0.25-0.50	unit	
MgCl ₂	2-3	mM	
Arbitrary primer (primer 6)	12.5-25	pmol	

6.3.2 ศึกษาผลของการเพิ่มปริมาณ Taq DNA polymerase และอุณหภูมิที่ใช้ในการ annealing ที่มีผลต่อรูปแบบการเคลื่อนที่ของดีเอ็นเอ

จากภาวะ และปฏิกิริยาตั้งต้นในข้อ 6.3.1 จะถูกนำมาใช้ในการศึกษาหาปริมาณ Taq DNA polymerase ที่เหมาะสมกับปริมาณไพรเมอร์และอุณหภูมิที่ใช้ในการ annealing โดยแบ่งปริมาณ Ampli Taq polymerase เป็น 3 ระดับ คือ 0.015, 0.025 และ 0.035 unit/reaction ที่สภาวะการใช้อุณหภูมิในการ annealing 3 ระดับ ร่วมกับความเข้มข้นของไพรเมอร์ 2 ระดับ คือตารางที่ 5

ตารางที่ 5 แสดงการแปรปริมาณ Taq DNA polymerase 3 ระดับที่ส่วนราชการใช้อุณหภูมิในการ annealing และปริมาณของไพรเมอร์ที่ใช้ในการเพิ่มปริมาณดีเอ็นเอ 3 และ 2 ระดับ ดังนี้

อุณหภูมิในการ annealing (°C)	ปริมาณความเข้มข้นไพรเมอร์ (pmol)	Ampli Taq DNA polymerase (unit/reaction)
32	12.5, 25	0.015 0.025 0.035
36	12.5, 25	0.015 0.025 0.035
40	12.5, 25	0.015 0.025 0.035

การทดลองนี้ใช้ดีเอ็นเอของเชื้อ 3 ไอโซเลท คือ ไอโซเลท P2 และ P3 ที่แยกได้จากดินสำเภาครบุรี และไอโซเลท N3 ที่แยกจากดินตับลหุนของระเวียง

6.3.3 ศึกษาปริมาณ $MgCl_2$ ที่เหมาะสมกับปริมาณ Taq DNA polymerase ในการเพิ่มปริมาณดีเอ็นเอโดยเทคนิค PCR

จากสภาวะที่เหมาะสมในข้อ 6.3.2 ถูกนำมาทำการศึกษาหาระดับของปริมาณ $MgCl_2$ ที่เหมาะสม โดยแปรปริมาณ $MgCl_2$ เป็น 3 ระดับ คือ 2, 3 และ 4 มิลลิโมลาร์ /reaction การศึกษาขั้นตอนนี้ใช้ดีเอ็นเอของเชื้อ 3 ไอโซเลท เช่นเดียวกับข้อ 6.3.2

6.3.4 การคัดเลือกไพรเมอร์ที่เหมาะสมในการนำไปใช้สังเคราะห์ดีเอ็นเอของไอโซเมียนถัวเขียว

จากสภาวะและปฏิกริยาที่เหมาะสมในการเพิ่มปริมาณดีเอ็นเอโดยเทคนิค PCR ที่ได้จากการทดลองข้อ 6.3.2 และ 6.3.3. ถูกนำมาใช้ในการทดสอบ เพื่อคัดเลือกว่าไพรเมอร์ชนิดใดให้จำนวนชิ้นดีเอ็นเอที่สังเคราะห์ได้มาก หรือก่อให้เกิดແเบนดีเอ็นเอที่หลากหลาย ซึ่งสามารถจำแนกความแตกต่างและแสดงให้เห็นถึงความหลากหลายที่เกิดขึ้นภายในประชากรของไอโซเมียนกลุ่มนี้ จริงๆ เร็วที่แยกได้จากต่างสายพันธุ์พื้นจากดินต่างชนิดกันได้ การทดลองนี้ใช้ดีเอ็นเอของเชื้อ 4 ไอโซเลท คือ ไอโซเลท P2 และ P3 เป็นตัวแทนจากต่าง box และไอโซเลท N3 และ N4 เป็นตัวแทนจาก box เดียวกัน โดยไพรเมอร์ที่นำมาใช้ในการทดสอบนี้ทั้ง 7 ชนิด (ตารางที่ 6) เคยประสบความสำเร็จในการเพิ่มปริมาณดีเอ็นเอ และทำให้เกิดรูปแบบการสังเคราะห์ดีเอ็นเอที่แตกต่างกันในเชื้อไอโซเมียนหลาย ๆ ชนิด

ตารางที่ 6 แสดงไพรเมอร์ที่ศึกษาขนาดความยาว 10-15 นิวคลีโอไทด์ จำนวน 7 ชนิด

ชนิดของไพรเมอร์	ลำดับเบตงของไพรเมอร์
Primer 1	5' GACGACGACGACGAC 3'
Primer 2	5' CGGCCCTGT 3'
Primer 3	5' AAGAGCCCGT 3'
Primer 4	5' AGCGCCATTG 3'
Primer 5	5' GTCGCCGTCA 3'
Primer 6	5' GGAAGTCGCC 3'
Primer 7	5' GTAGACCCGT 3'

6.3.5 ตรวจสอบลายพิมพ์ดีเอ็นเอของเชื้อไวรัสบีญ 32 ไอโซเลท ที่แยกจากเดินในพื้นที่โครงการฯ ด้วยเทคนิค RAPD

จากสภาวะและปฏิกริยาที่เหมาะสมในการเพิ่มปริมาณดีเอ็นเอโดย PCR ที่ได้จากข้อ 6.3.2 และ 6.3.3 ร่วมกับชนิดของไพรเมอร์ที่ผ่านการคัดเลือกแล้วว่าเหมาะสมจากข้อ 6.3.4 ถูกนำมาใช้เพิ่มปริมาณดีเอ็นเอของไวรัสบีญทั้ง 32 ไอโซเลท ใช้ไพรเมอร์แบบสุ่ม ภายหลังปฏิกริยา PCR ถ้วนสุ่ม นำผลผลิตดีเอ็นเอที่ได้จากการสังเคราะห์จำนวน 15 ไมโครลิตร มาตรวจสอบขนาดชิ้นดีเอ็นเอ ด้วยวิธีอิเล็กโโทร โฟร์เซิล เทียบขนาดชิ้นดีเอ็นเอด้วย DNA ladder marker ขนาด 1 กิโลเบต (บริษัท BRL ประเทศสหรัฐอเมริกา) ตรวจสอบดีเอ็นเอบนแล็ปด้วยการย้อมเอธิเดียม บอร์ไมค์ และถ่ายภาพภายใต้แสงอุตทร้าไวโอเลต บันทึกผลและวิเคราะห์ขนาดและจำนวนชิ้นดีเอ็นเอที่สังเคราะห์ได้เทียบกับดีเอ็นเอน้ำตราชาน แบล็คอดอกมาในรูปตัวเลขสัญลักษณ์ “1” กับการเกิดແນบดีเอ็นเอที่ตำแหน่งนั้น และตัวเลขสัญลักษณ์ “0” กับการไม่เกิดແນบดีเอ็นเอที่ตำแหน่งนั้น (แสดงดังภาพผนวก ๙) จากนั้นจึงวิเคราะห์ข้อมูลโดยการเปรียบเทียบความเหมือนหรือความต่างด้วยโปรแกรมคอมพิวเตอร์ วิเคราะห์ข้อมูลเกี่ยวกับการเกิด หรือไม่เกิดແນบดีเอ็นเอในแต่ละไอโซเลท ทั้ง 32 ไอโซเลท ด้วยโปรแกรมคอมพิวเตอร์ jaccard คำนวณหาความสัมพันธ์ระหว่างเชื้อในรูปของแผนภูมิที่เรียกว่า dendrogram

7. การศึกษาความสามารถในการตรวจในโครงงานของเชื้อไวรัสบีญไอโซเลทต่างๆ

- 7.1 การเตรียมกล้าเชื้อของไวรัสบีญ ตามวิธี ตอนที่ 2 ข้อ 3.2.1. หน้า 54
- 7.2 เตรียมขวด Leonard jar นำไปนึ่งฆ่าเชื้อ
- 7.3 การเพาะเมล็ดถั่วเขียว ตามวิธี ตอนที่ 1 ข้อ 3.2 หน้า 50

7.4 การใส่เชื้อไว้ให้เป็นลงในขวด Leonard jar

หยดเชื้อไว้ให้เป็นที่เลี้ยงในอาหารเหลว YM ในระยะ late log phase 1 มิลลิลิตร ที่มีความเข้มข้น 10^8 - 10^9 เชลล์ต่อมิลลิลิตร กลบด้วยทรายและกรวดละอียด (ที่ผ่าเชื้อ) วางแผนการทดลองปููกแบบ Completely Randomized Design (CRD) โดยทำการทดลอง 3 ชุด (replicate) เปรียบเทียบกับผลการทดลองควบคุมที่ไม่ได้ใส่เชื้อ (uninoculated control) นำตัวอย่างทั้งหมดไว้ในเรือนทดลอง (green house) (ดังภาพที่ 16) ค่อยเติมอาหารเหลวที่ปราศจากไข่ไก่ เก็บผลภายหลังปีกุก 4 สัปดาห์

7.5 การวิเคราะห์ประสิทธิภาพการครึ่งในโตรเจน

หลังจากการเดี้ยงต้นถั่วเขียว เป็นเวลา นาน 1 เดือน จึงทำการเก็บตัวอย่างเพื่อประเมินประสิทธิภาพการครึ่งในโตรเจน โดยนับจำนวนปม หน้าแนกแห้งของต้นพืช โดยอนเฉพาะส่วนต้น และใบในส่วนที่ 60 องศาเซลเซียส เป็นเวลา 24 ชั่วโมง ซึ่งหน้าแนกแห้งที่ได้ และวิเคราะห์ประสิทธิภาพการครึ่งในโตรเจน โดย วิธีอะเซทิลีน ริดักชัน

วิธีการหาอัตราการครึ่งในโตรเจนของปมถั่วเขียว โดยวิธี อะเซทิลีน ริดักชัน (Acetylene Reduction Assay)

เก็บตัวอย่างพืช โดยตัดตรงบริเวณรอยต่อระหว่างต้นกับรากพร้อมปม นำส่วนรากใส่ในขวดรูปชنمพู ขนาด 250 มิลลิลิตร ปิดด้วยถุงยาง (double stopper) ให้แน่น ซึ่งปริมาตรอากาศในขวดรูปชنمพูหลังปิดจะเป็น 250 มิลลิลิตร หลังจากนั้น ใช้หลอดคันดิยา (syringe) ขนาด 50 มิลลิลิตร ดูดอากาศภายในขวดรูปชنمพูออก 25 มิลลิลิตร (ซึ่งเท่ากับ 1 เบอร์เซ็นต์ของปริมาตรอากาศภายในขวด) จากนั้นฉีดก๊าซอะเซทิลีน 25 มิลลิลิตร ลงไปในขวดรูปชنمพู แล้วจับเวลา 1 ชั่วโมง เมื่อครบเวลาจึงดูด reduced gas ออกมา (ซึ่งมีทั้งก๊าซอะเซทิลีนและเอทิลีนรวมกัน) 10 มิลลิลิตร ใส่ในหลอดสูญญากาศ แล้ววัดคิจกรรมของเอนไซม์ในโตรเจนส์ โดยวัดอะเซทิลีน ริดักชัน หาพื้นที่ได้กราฟของก๊าซเอทิลีนมาตรฐาน (standard ethylene) โดยฉีดก๊าซเอทิลีนบริสุทธิ์ 1 มิลลิลิตรที่เก็บอยู่ในขวดรูปชنمพูขนาด 2200 มิลลิลิตร แล้วจึงฉีดก๊าซตัวอย่าง 1 มิลลิลิตร เข้าเครื่องก๊าซโตรกราฟ (Gas Chromatograph: GC) ใช้เครื่อง GC ของ Perkin Elmer Model F17 ซึ่งมี Detector เป็นแบบ Hydrogen Flame Ionization Detector (FID) colum บรรจุสาร Porapak N ขนาดของ colum 0.6x4.5 เซนติเมตร และใช้ก๊าซในโตรเจนเป็นก๊าซนำพา (carrier gas) ด้วยความเร็ว 55 มิลลิเมตรต่อนาที อุณหภูมิของ colum 55 องศาเซลเซียส อุณหภูมิของ injector 100 องศาเซลเซียส และอุณหภูมิ detector 100 องศาเซลเซียส ก๊าซที่ต้องการวิเคราะห์เป็นก๊าซเอทิลีนที่เกิดจากการรีดิวส์อะเซทิลีน ซึ่งเกิดขึ้นจากปฏิกิริยาของเอนไซม์ในโตรเจนส์ คำนวณหาปริมาณเอทิลีนได้โดยเปรียบเทียบกับพื้นที่ได้กราฟของเอทิลีนมาตรฐานจากสูตร

$$\text{อัตราการตรึงไนโตรเจนของพืชตัวอย่าง} = \frac{10^3 \times \text{BxV}}{2200 \text{ std} \times \text{A} \times 22.4}$$

หน่วยเป็นไมโครโมลของเอทิลีน (C_2H_4) ต่อตันพืช ต่อชั่วโมง
เมื่อใช้อิฐมาตรฐานที่ทราบปริมาตรที่แน่นอน เป็น 2200 มิลลิลิตร

- B = พื้นที่ได้กราฟของพีค (peak) ตัวอย่าง
- V = ปริมาตรของขวดรูปทรงกระบอกที่ใช้เก็บตัวอย่างเป็นมิลลิลิตร
- Std. = พื้นที่ได้กราฟเฉลี่ยของก้าชเอทิลีนมาตรฐาน
- A = เวลาที่ใช้ในการคิดว่าก้าชอะเซทิลีน เป็นชั่วโมง

รายละเอียดและหลักการคำนวณอัตราการตรึงไนโตรเจน ดัดแปลงจากวิธีของ Somasegaran และ
คณะ (1985)

7.6 การวิเคราะห์ข้อมูลทางสถิติ

ข้อมูลประกอบด้วยน้ำหนักแห้งพืช (มิลลิกรัม) และค่า Acetylene Reduction Activity (ARA) (ไมโครโมล/ตันพืช/ชั่วโมง) วิเคราะห์ความแตกต่างทางสถิติ โดยใช้แผนกราทดลองแบบ Completely Randomized Design (CRD) เปรียบเทียบความแตกต่างของข้อมูลที่ได้จากการถ่ายทอดที่ได้รับเชื้อไวรัสเบี้ยม โอดิโอเลตต่าง ๆ และต้นควบคุม ค่าเฉลี่ยที่ตามด้วยอักษรเดียวกัน หมายถึงไม่มีความแตกต่างกันทางสถิติที่ระดับความเชื่อมั่น 95% โดย DMRT (Duncan's new Multiple Range Test)



ภาพที่ 16 ศึกษาประสิทธิภาพการตรึงไนโตรเจนของเชื้อไวรัสเบี้ยมถัวเฉี่ยวในขวด Leonard jar

บทที่ 5

ผลการศึกษา

จากการศึกษาเปรียบเทียบความสัมพันธ์ปริมาณของ *Rhizobium sp.* (cowpea) ในดินจากพื้นที่โครงการสร้างป่าและป่าพันธุกรรมพืช จังหวัดนครราชสีมา ร่วมกับสมบัติทางกายภาพของดินบางประการ รวมทั้งเก็บรวบรวมเชื้อไวโตรี้เบียนที่แยกจากถั่วเขียว 2 สายพันธุ์ โดยใช้ดินในพื้นที่โครงการฯ เพื่อการศึกษาจำแนกความแตกต่างของเชื้อ ตามแบบแผนพลาสมิค โพร์ไฟล์ และคุณสมบัติการด้านสารปฏิชีวนะร่วมกับการจำแนกสายพันธุ์ของเชื้อจากเทคนิค RAPD กำหนดระยะเวลาการเก็บตัวอย่าง ตั้งแต่เดือนมิถุนายน พ.ศ. 2541 จนถึงเดือนเมษายน พ.ศ. 2542 แบ่งผลการศึกษาออกเป็น 2 ตอนใหญ่ ดังนี้

ตอนที่ 1 ผลการศึกษาสมบัติทางกายภาพ และทางชีวภาพของดิน

1. ผลการวิเคราะห์ถักยณะทางกายภาพของดิน
2. ผลการวิเคราะห์ถักยณะทางชีวภาพของดิน
3. ความสัมพันธ์ (correlation) ระหว่างปัจจัยกายภาพบางประการของดินในพื้นที่โครงการศึกษากับปริมาณไวโตรี้เบียนในดิน

ตอนที่ 2 ผลการคัดแยกและจำแนกความแตกต่างของเชื้อไวโตรี้เบียนกลุ่มเจริญเร็วจากคุณสมบัติทางชีวภาพและฟีโนไทป์

1. ผลการแยกเชื้อไวโตรี้เบียนกลุ่มเจริญเร็วจากปมถั่วเขียวและทดสอบ presumptive-confirm rhizobia test
2. ผลการศึกษาคุณสมบัติการด้านสารปฏิชีวนะของเชื้อ
3. ผลการศึกษาพลาสมิค โพร์ไฟล์ของเชื้อ
4. ผลการศึกษาและวิเคราะห์รูปแบบทางพันธุกรรมของเชื้อ โดยเทคนิค RAPD
5. ผลการเปรียบเทียบข้อมูลการจำแนกความแตกต่างของไวโตรี้เบียนจาก 3 เทคนิค คือ พลาสมิค โพร์ไฟล์ คุณสมบัติการด้านสารปฏิชีวนะ และวิเคราะห์รูปแบบ RAPD
6. ผลการศึกษาความสามารถในการตรึงไนโตรเจนของไวโตรี้เบียน 32 ไอโซเลท จากพื้นที่โครงการฯ

ตอนที่ 1 ผลการศึกษาทางกายภาพและทางชีวภาพของเดิน

1. ผลการวิเคราะห์ลักษณะทางกายภาพของเดิน

ปัจจัยทางกายภาพของเดินที่ทำการศึกษานี้ ได้แก่ ความเป็นกรดเป็นค่างของเดิน เปอร์เซ็นต์ ความชื้นในเดิน และเปอร์เซ็นต์อินทรีย์วัตถุในเดิน ซึ่งได้แสดงผลไว้ดังตารางที่ 7 ถึง 12 และภาพที่ 17 ถึง 25

1.1 ค่าความเป็นกรด – ค่าง

การหาค่าความเป็นกรด–ค่างของเดินในพื้นที่โครงการฯ พบค่าความเป็นกรด–ค่างของเดินในพื้นที่โครงการฯ อยู่ในช่วง 5.8 – 7.36 โดยค่าความเป็นกรด–ค่างมีค่าสูงสุดในพื้นที่ป่า อ. ครบุรี แปลงที่มีการปลูกกล้าไม้ร่วมกับขุดคันเดินกันน้ำ (GLDP) และมีค่าต่ำสุดบริเวณเส้นทางการสัญจร (way) เมื่อพิจารณาค่าความเป็นกรด–ค่างเฉลี่ยของแต่ละแปลงศึกษาในรอบ 1 ปี พบความแปรปรวนของค่าความเป็นกรด–ค่าง มีความแตกต่างกันทางสถิติที่ระดับความเชื่อมั่น 95 เปอร์เซ็นต์ โดยในพื้นที่ป่า อ. ครบุรี แปลงที่มีการปลูกกล้าไม้ร่วมกับขุดคันเดินกันน้ำ (GLDP) มีค่าความเป็นกรด–ค่างเฉลี่ยในเดินสูงที่สุด คือ 6.95 ซึ่งแตกต่างจากแปลงศึกษาที่มีลักษณะเป็นป่าทุ่งหญ้าแปลงอื่น ๆ รวมถึงแปลงศึกษาในพื้นที่ป่า ต. หนองระเวียง (NT1R2) ที่มีค่าความเป็นกรด–ค่างเฉลี่ยต่ำที่สุด คือ 6.11 (ตารางที่ 7-8, ภาพที่ 17 – 18) และเมื่อพิจารณาเฉพาะแปลงศึกษาที่เป็นป่าทุ่งหญ้าครบุรีแปลงที่มีการดำเนินงานตามวิธีการดำเนินงานของโครงการฯ พบว่าแต่ละแปลงศึกษามีค่าความเป็นกรด–ค่างเฉลี่ยของเดินไม่แตกต่างจากป่าทุ่งหญ้าธรรมชาติ (GLC) มีเพียงเฉพาะแปลงศึกษาที่เป็นป่าทุ่งหญ้าที่มีการปลูกกล้าไม้ร่วมกับขุดคันเดินกันน้ำ (GLDP) มีค่าเฉลี่ยของความเป็นกรด–ค่างที่แตกต่างออกไป โดยค่าความเป็นกรด–ค่างเฉลี่ยของทุกแปลงศึกษาในพื้นที่ป่า อ. ครบุรี อยู่ในระดับที่สูงกว่าพื้นที่ป่า ต. หนองระเวียง

ตารางที่ 7 ค่าความเป็นกรด-ค่างของคินในพื้นที่โครงการฯ จังหวัดนครราชสีมา

แปลงทดลอง	ค่าความเป็นกรด-ค่าง				
	มิ.ย - 41	ก.ย - 41	ม.ค - 42	มี.ค - 42	เฉลี่ย
พื้นที่ทุ่งหญ้า control (07-3-01 D/P) อ. ครบุรี Line 10-11(GLC)	6.21	6.45	6.71	6.90	6.57b
พื้นที่ทุ่งหญ้าที่มีการปลูกกล้าไม้ร่วม ^a (07-3-03P) อ. ครบุรี Line7 (GLP)	6.10	6.15	6.18	6.74	6.29b
พื้นที่ทุ่งหญ้าที่มีการปลูกกล้าไม้ร่วม ^a กับขุดคันดินกันน้ำ (07-3-01D/P) อ. ครบุรี Line7 (GLDP)	6.90	6.80	6.74	7.36	6.95a
พื้นที่ทุ่งหญ้าที่มีการขุดคันดินกันน้ำ ^a (EX-3-10) อ. ครบุรี (GLD)	5.98	6.70	6.40	6.93	6.50b
บริเวณเดินทางที่ใช้สัญจร อ. ครบุรี Line7 (way)	5.80	6.11	6.30	6.64	6.21b
พื้นที่ป่า ต. หนองระเวียง (NT1R2)	6.25	6.1	6.08	6.04	6.11b

ค่าเฉลี่ยที่ตามด้วยอักษรเดียวกัน ถือว่าไม่มีความแตกต่างกันทางสถิติ ที่ระดับความเชื่อมั่น 95% โดย DMRT

ตารางที่ 8 ตารางวิเคราะห์ความแปรปรวนของค่าเฉลี่ยความเป็นกรด-ค่างในคินของพื้นที่โครงการฯ

Source of variation	df	SS	MS	F-value
Treatment	5	1.83	0.37	3.92*
Error	18	1.68	0.09	
Total	23	3.513		

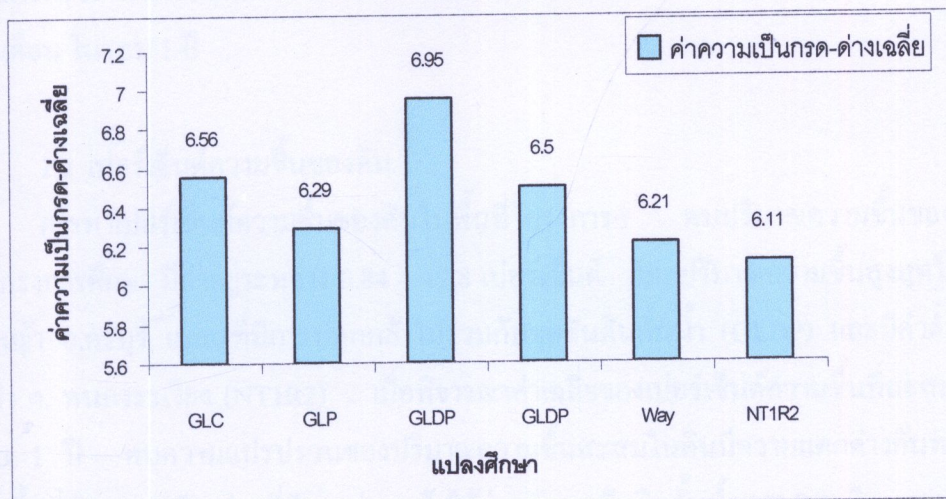
c.v. = 47.6% coefficient of variation (c.v.)

* = แตกต่างทางสถิติที่ระดับความเชื่อมั่น 95%

degree of freedom (df) Sum of Square (SS) Mean Square (MS)

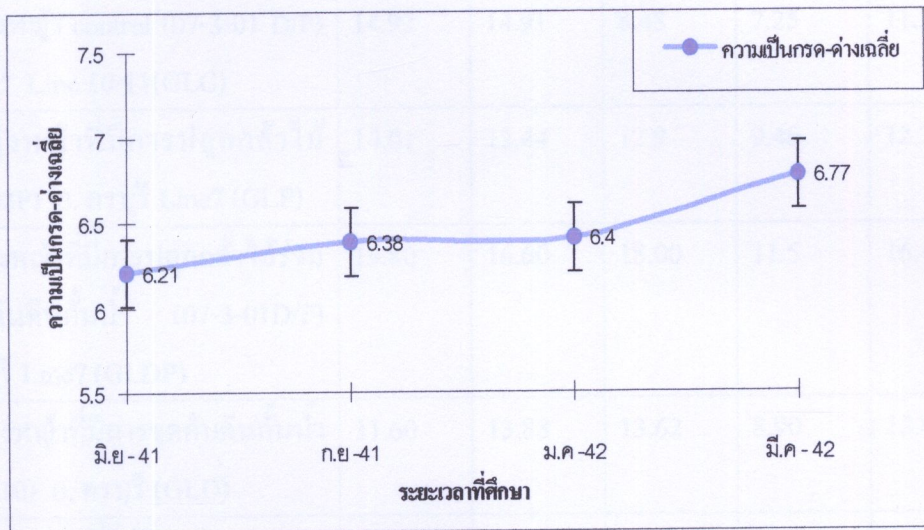


ภาพที่ 17 เปรียบเทียบค่าความเป็นกรด-ด่างของเดือนในแต่ละแหล่งศึกษา



ภาพที่ 18 เปรียบเทียบค่าเฉลี่ยความเป็นกรด-ด่างของเดือนในแต่ละแหล่งศึกษาในรอบ 1 ปี

สำหรับการเปลี่ยนแปลงค่าความเป็นกรด-ด่างเฉลี่ยของคินในแต่ละช่วงเดือนของพื้นที่โครงการฯ ในระยะเวลา 1 ปี พบค่าความเป็นกรด-ด่างอยู่ในช่วง 6.2 – 6.7 โดยค่าความกรด-ด่างของคินในพื้นที่ศึกษาจะมีแนวโน้มเพิ่มสูงขึ้นในช่วงเดือนมีนาคม (ภาพที่ 19)



ภาพที่ 19 การเปลี่ยนแปลงค่าเฉลี่ยของความเป็นกรด-ด่างของคินในพื้นที่โครงการฯ แต่ละช่วงเดือน ในรอบ 1 ปี

1.2 เปรอร์เซ็นต์ความชื้นของคิน

การหาเปอร์เซ็นต์ความชื้นของคินในพื้นที่โครงการฯ พบปริมาณความชื้นของคินในพื้นที่โครงการศึกษา มีค่าอยู่ระหว่าง 0.84 – 19.8 เปอร์เซ็นต์ โดยปริมาณความชื้นสูงสุดในพื้นที่ป่าทุ่งหญ้า อ.ครนูรี แปลงที่มีการปลูกกล้าไม้ร่วมกับขุดคันดินกันน้ำ (GLDP) และมีค่าต่ำสุดในพื้นที่ป่า ต.หนองระเวียง (NT1R2) เมื่อพิจารณาค่าเฉลี่ยของเปอร์เซ็นต์ความชื้นที่สะสมในคินในรอบ 1 ปี พบความแปรปรวนของปริมาณความชื้นสะสมในคินมีความแตกต่างกันทางสถิติ โดยในพื้นที่ป่า อ.ครนูรี แปลงที่มีการปลูกกล้าไม้ร่วมกับขุดคันดินกันน้ำ (GLDP) มีการสะสมของปริมาณความชื้นในคินที่สูงสุด คือ 16.47 เปอร์เซ็นต์ ซึ่งไม่แตกต่างจากแปลงศึกษาที่มีลักษณะเป็นป่าทุ่งหญ้าแปลงอื่น แต่แตกต่างจากแปลงศึกษาในพื้นที่ป่า ต.หนองระเวียง (NT1R2) ที่มีการสะสมปริมาณความชื้นในคินต่ำที่สุด คือ 2.63 เปอร์เซ็นต์ และเมื่อพิจารณาเฉพาะพื้นที่ศึกษาที่มีลักษณะเป็นป่าทุ่งหญ้า พบป่าทุ่งหญ้าแปลงที่มีการดำเนินงานตามโครงการฯ โดยเฉพาะอย่างยิ่งแปลงที่มีการปลูกกล้าไม้ร่วมกับขุดคันกันน้ำ (GLPD) มีปริมาณความชื้นสะสมในคินสูงที่สุด แต่ไม่ต่างจากแปลงศึกษาที่มีลักษณะเป็นป่าทุ่งหญ้าแปลงอื่น ๆ รวมถึงป่าทุ่งหญ้าธรรมชาติ (GLC) ที่มีปริมาณความชื้นสะสมในคินต่ำที่สุด โดยที่ปริมาณความชื้นสะสมทุกแปลงศึกษาในพื้นที่ป่าทุ่งหญ้า อ. ครนูรี มีค่าสูงกว่าแปลงศึกษาในพื้นที่ป่า ต. หนองระเวียง (ตารางที่ 9–10 ภาพที่ 20-21)

ตารางที่ 9 เปอร์เซ็นต์ความชื้นของคินในพื้นที่โครงการฯ จังหวัดนครราชสีมา

แปลงทดลอง	เปอร์เซ็นต์ความชื้นของคิน				
	มิ.ย - 41	ก.ย - 41	ม.ค - 42	มี.ค - 42	เฉลี่ย
พื้นที่ทุ่งหญ้า control (07-3-01 D/P) อ. ครบุรี Line 10-11(GLC)	14.92	14.91	8.48	7.25	11.39a
พื้นที่ทุ่งหญ้าที่มีการปลูกกล้าไม้ร่วม (07-3-03P) อ. ครบุรี Line7 (GLP)	14.01	12.44	12.9	9.46	12.20a
พื้นที่ทุ่งหญ้าที่มีการปลูกกล้าไม้ร่วม กับขุดคันดินกันน้ำ (07-3-01D/P) อ. ครบุรี Line7 (GLDP)	19.80	16.60	18.00	11.5	16.48a
พื้นที่ทุ่งหญ้าที่มีการขุดคันดินกันน้ำ (EX-3-10) อ. ครบุรี (GLD)	11.60	13.88	13.62	8.90	12.00a
บริเวณเส้นทางที่ใช้สัญจร อ. ครบุรี Line7 (way)	13.27	19.34	19.81	3.07	13.87a
พื้นที่ป่า ต. หนองระเดียง (NT1R2)	2.96	3.68	3.07	0.84	2.64b

ค่าเฉลี่ยที่ตามด้วยอักษรเดียวกัน ถือว่าไม่มีความแตกต่างกันทางสถิติที่ระดับความเชื่อมั่น 95% โดย DMRT

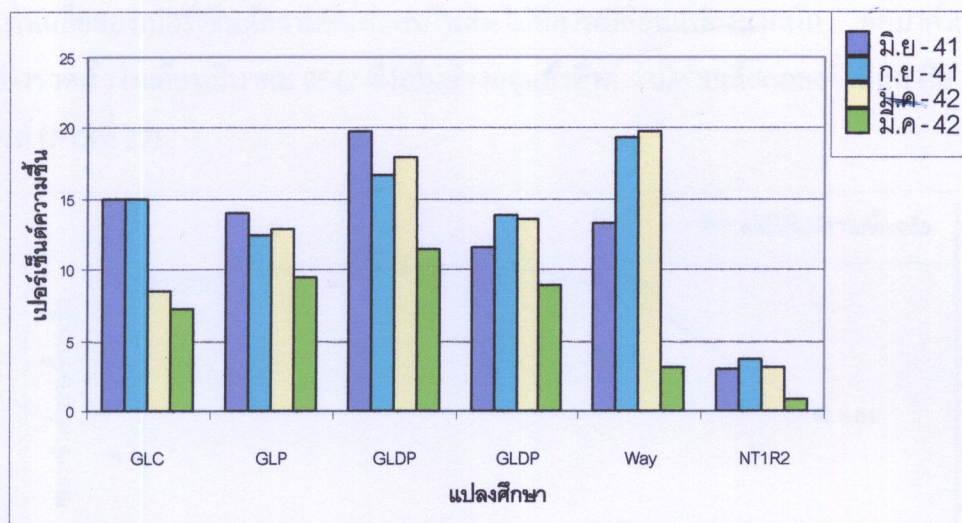
ตารางที่ 10 ตารางวิเคราะห์ความแปรปรวนของค่าเฉลี่ยเปอร์เซ็นต์ความชื้นของคินในพื้นที่โครงการฯ

Source of variation	df	SS	MS	F-value
Treatment	5	438.60	87.72	5.22**
Error	18	302.68	16.82	
Total	23	741.28		

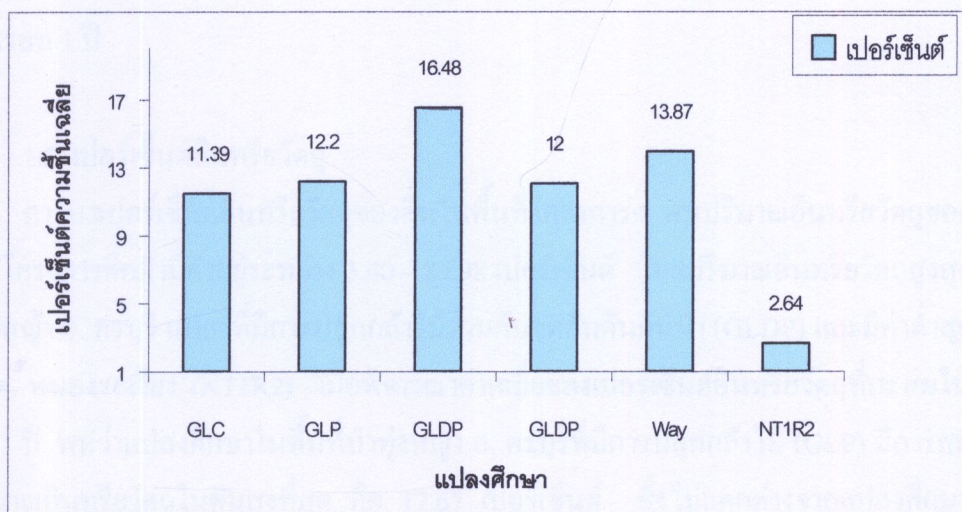
cv=35.8% coefficient of variation (c.v.)

**= แตกต่างทางสถิติที่ระดับความเชื่อมั่น 99%

degree of freedom (df) Sum of Square (SS) Mean Square (MS)

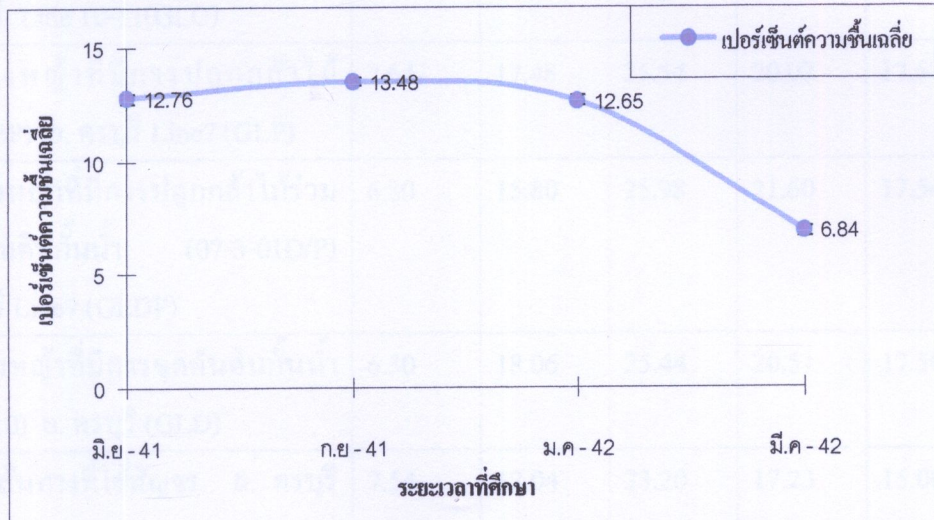


ภาพที่ 20 เปรียบเทียบเปอร์เซ็นต์ความชื้นของดินในแต่ละแปลงศึกษา



ภาพที่ 21 เปรียบเทียบค่าเฉลี่ยเปอร์เซ็นต์ความชื้นเฉลี่ยของดินจากแต่ละแปลงศึกษาในรอบ 1 ปี

สำหรับการเปลี่ยนแปลงค่าเฉลี่ยของเปอร์เซ็นต์ความชื้นสะสนในดินในแต่ละช่วงเดือน ในระยะเวลา 1 ปี ของพื้นที่โครงการฯ พบว่า ช่วงเวลาตั้งแต่เดือนมิถุนายน 2541 ถึงเดือนกรกฎาคม 2542 ค่าเฉลี่ยของเปอร์เซ็นต์ความชื้นสะสนในดินไม่มีการเปลี่ยนแปลงมากนัก ต่อมาค่าเฉลี่ยลดลงอย่างรวดเร็วในเดือนมีนาคม 2542 ซึ่งเป็นช่วงฤดูแล้งที่พบว่ามีค่าเฉลี่ยลดลงต่ำที่สุด คือ 6.83 เปอร์เซ็นต์ (ภาพที่ 22)



ภาพที่ 22 การเปลี่ยนแปลงค่าเฉลี่ยเปอร์เซ็นต์ความชื้นของดินในพื้นที่โครงการฯ แต่ละช่วงเดือนในรอบ 1 ปี

1.3 เปอร์เซ็นต์อินทรีย์วัตถุ

การหาเปอร์เซ็นต์อินทรีย์วัตถุของดินในพื้นที่โครงการฯ พบปริมาณอินทรีย์วัตถุของดินในพื้นที่โครงการศึกษามีค่าอยู่ระหว่าง 3.40 – 25.98 เปอร์เซ็นต์ โดยปริมาณอินทรีย์วัตถุสูงสุดในพื้นที่ทุ่งหญ้า อ. ครบรุรี แปลงที่มีการปลูกกล้าไม้ร่วมกับขุดคันดินกันน้ำ (GLDP) และมีค่าต่ำสุดในพื้นป่า ต. หนองระเวียง (NT1R2) เมื่อพิจารณาค่าเฉลี่ยของเปอร์เซ็นต์อินทรีย์วัตถุที่สะสนในดินในรอบ 1 ปี พบว่าแปลงศึกษาในพื้นที่ป่าทุ่งหญ้า อ. ครบรุรีที่มีการปลูกกล้าไม้ (GLP) มีการสะสมของปริมาณอินทรีย์วัตถุในดินสูงที่สุด คือ 17.67 เปอร์เซ็นต์ ซึ่งไม่แตกต่างจากแปลงศึกษาที่มีลักษณะเป็นป่าทุ่งหญ้าแปลงอื่นๆ รวมถึงแปลงศึกษาในพื้นที่ป่า ต. หนองระเวียง ที่มีการสะสมของปริมาณอินทรีย์วัตถุในดินต่ำที่สุด คือ 5.11 เปอร์เซ็นต์ และเมื่อพิจารณาเบริญเทียนเฉพาะแปลงศึกษาที่มีลักษณะเป็นป่าทุ่งหญ้า อ. ครบรุรี พบการสะสมของปริมาณอินทรีย์วัตถุ มีค่าสูงที่สุดในพื้นที่ป่าทุ่งหญ้าแปลงที่มีการปลูกกล้าไม้ (GLP) และมีค่าต่ำที่สุดในแปลงศึกษาที่มีลักษณะเป็นเส้นทางการสัญจร (way) ซึ่งมีค่าไม่ต่างจากป่าทุ่งหญ้าธรรมชาติ (GLC) โดยแปลงศึกษาในพื้นที่ป่า อ. ครบรุรี มีการสะสมของปริมาณอินทรีย์วัตถุในดินที่สูงกว่าและต่างจากแปลงศึกษาในพื้นที่ป่า ต. หนองระเวียง (ตารางที่ 11 – 12, ภาพที่ 23-24)

ตารางที่ 11 เปอร์เซ็นต์อินทรีย์วัตถุของคินในพื้นที่โครงการฯ จังหวัดนครราชสีมา

แปลงทดลอง	เปอร์เซ็นต์อินทรีย์วัตถุ				
	มิ.ย - 41	ก.ย - 41	ม.ค - 42	มี.ค - 42	เฉลี่ย
พื้นที่ทุ่งหญ้า control (07-3-01 D/P) อ. ครบุรี Line 10-11(GLC)	5.40	16.40	24.00	20.94	16.69a
พื้นที่ทุ่งหญ้าที่มีการปลูกกล้าไม้ร่วม (07-3-03P) อ. ครบุรี Line7 (GLP)	7.64	17.48	25.54	20.02	17.67a
พื้นที่ทุ่งหญ้าที่มีการปลูกกล้าไม้ร่วม กับขุดคันคินกั้นน้ำ (07-3-01D/P) อ. ครบุรี Line7 (GLDP)	6.80	15.80	25.98	21.60	17.54a
พื้นที่ทุ่งหญ้าที่มีการขุดคันคินกั้นน้ำ (EX-3-10) อ. ครบุรี (GLD)	6.30	18.06	25.44	20.51	17.58a
บริเวณเส้นทางที่ใช้สัญจร อ. ครบุรี Line7 (way)	7.54	12.04	23.20	17.23	15.00a
พื้นที่ป่า ต. หนองระเกียง (NT1R2)	3.40	4.04	5.11	7.88	5.11ab

ค่าเฉลี่ยที่ตามด้วยอักษรเดียวกัน ถือว่าไม่มีความแตกต่างกันทางสถิติที่ระดับความเชื่อมั่น 95% โดย DMRT

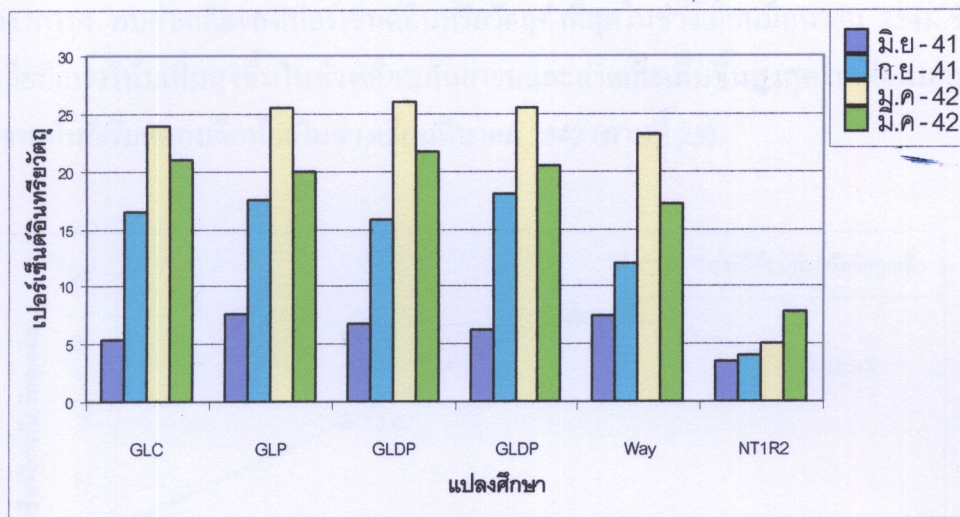
ตารางที่ 12 ตารางวิเคราะห์ความแปรปรวนของค่าเฉลี่ยเปอร์เซ็นต์อินทรีย์วัตถุของคินในพื้นที่โครงการฯ

Source of variation	df	SS	MS	F-value
Treatment	5	483.69	96.74	1.89ns
Error	18	919.44	51.08	
	23	1403.12		

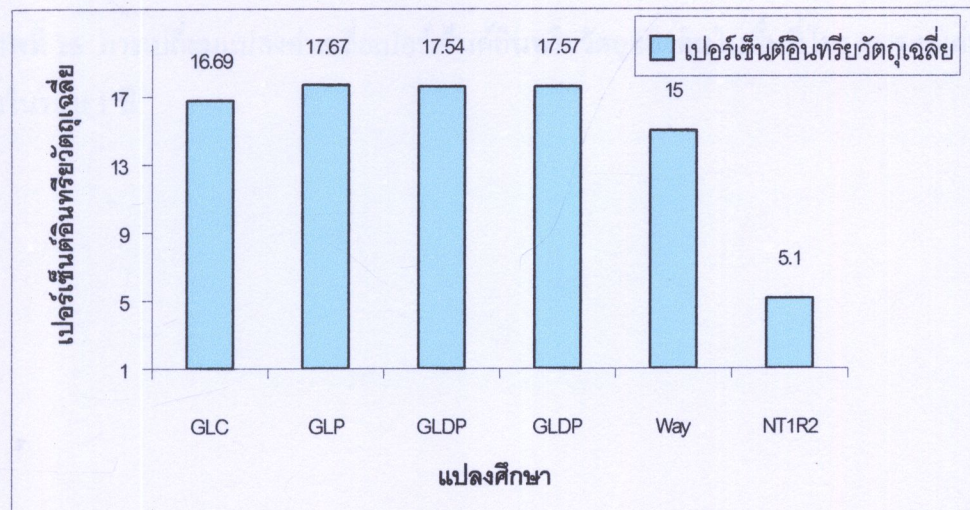
cv=47.0% coefficient of variation (c.v.)

ns = ไม่แตกต่างทางสถิติที่ระดับความเชื่อมั่น 95%

degree of freedom (df) Sum of Square (SS) Mean Square (MS)

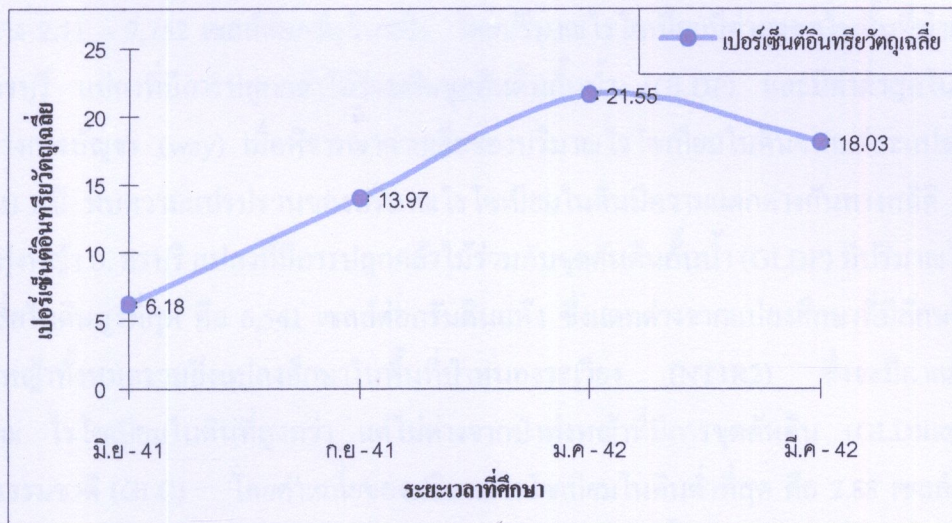


ภาพที่ 23 เปรียบเทียบเปอร์เซ็นต์อินทรียวัตถุของดินจากแต่ละแปลงศึกษา



ภาพที่ 24 เปรียบเทียบค่าเฉลี่ยเปอร์เซ็นต์อินทรียวัตถุในดินจากแต่ละแปลงศึกษาในรอบ 1 ปี

สำหรับการเปลี่ยนแปลงค่าเฉลี่ยของเปอร์เซ็นต์อินทรีย์วัตถุในดินในระยะเวลา 1 ปี ของพื้นที่โครงการฯ พบรค่าเฉลี่ยของเปอร์เซ็นต์อินทรีย์วัตถุต่ำที่สุดในช่วงเดือนมิถุนายน 2541 ซึ่งต่อมาค่าเฉลี่ยมีแนวโน้มเพิ่มสูงขึ้นในช่วงเดือนกันยายนและค่าเฉลี่ยเพิ่มขึ้นสูงสุดในเดือนมีนาคม 2542 จากนั้นก็เริ่มลดลงเล็กน้อยในช่วงเดือนมีนาคม 2542 (ภาพที่ 25)



ภาพที่ 25 การเปลี่ยนแปลงค่าเฉลี่ยเปอร์เซ็นต์อินทรีย์วัตถุของดินในพื้นที่โครงการฯ แต่ละช่วงเดือนในรอบ 1 ปี

2. ผลการวิเคราะห์ลักษณะทางชีวภาพของดิน

การศึกษาประชากรไโรโซเมียในดิน

การศึกษาประชากรไโรโซเมีย กลุ่ม cowpea ในดิน ของแต่ละแปลงศึกษาในช่วงระยะเวลา 1 ปี โดยใช้วิธี MPN – plant infect method พบปริมาณไโรโซเมียในพื้นที่ศึกษานี้ค่าอยู่ระหว่าง 2.11 – 7,752 เซลล์ต่อกรัมดินแห้ง โดยปริมาณไโรโซเมียมีค่าสูงสุดในพื้นที่ป่าทุ่งหญ้า อ. ครบุรี แปลงที่มีการปลูกกล้าไม้ร่วมกับขุดคันดินกันน้ำ (GLDP) และมีค่าต่ำสุดในบริเวณเส้นทางการสัญจร (way) เมื่อพิจารณาค่าเฉลี่ยของปริมาณไโรโซเมียในดินจากแต่ละแปลงศึกษา ในรอบ 1 ปี พบความแปรปรวนของปริมาณไโรโซเมียในดินมีความแตกต่างกันทางสถิติ โดยในพื้นที่หุ่งหญ้า อ. ครบุรี แปลงที่มีการปลูกกล้าไม้ร่วมกับขุดคันดินกันน้ำ (GLDP) มีปริมาณไโรโซเมียเฉลี่ยในดินสูงที่สุด คือ 6,541 เซลล์ต่อกรัมดินแห้ง ซึ่งแตกต่างจากแปลงศึกษาที่มีลักษณะเป็นป่าทุ่งหญ้าทึ่งหมุดรวมถึงแปลงศึกษาในพื้นที่ป่าหนองจะเรียง (NT1R2) ซึ่งจะมีค่าเฉลี่ยของปริมาณไโรโซเมียในดินที่สูงกว่า แต่ไม่ต่างจากป่าทุ่งหญ้าที่มีการขุดคันดิน (GLD) และป่าทุ่งหญ้าธรรมชาติ (GLC) โดยค่าเฉลี่ยของปริมาณไโรโซเมียในดินต่ำที่สุด คือ 2.88 เซลล์ต่อกรัมดินแห้งในบริเวณเส้นทางการสัญจร ซึ่งแตกต่างจากแปลงศึกษาทึ่งหมุด (ตารางที่ 13 – 14, ภาพที่ 26-27) และเมื่อพิจารณาเฉพาะแปลงศึกษาที่เป็นป่าทุ่งหญ้า อ. ครบุรี พบแปลงที่มีการดำเนินงานตามวิธีของโครงการฯ โดยการปลูกกล้า (GLP) หรือปลูกกล้าไม้ร่วมกับขุดคันดินกันน้ำ (GLDP) มีค่าเฉลี่ยของปริมาณไโรโซเมียในดินที่สูงกว่าและต่างจากป่าทุ่งหญ้าธรรมชาติ (GLC) โดยเฉพาะอย่างยิ่งบริเวณเส้นทางการสัญจร ซึ่งไม่มีการปลูกพืชและขุดคันดินกันน้ำ มีปริมาณไโรโซเมียเฉลี่ยในดินต่ำมากที่สุด

ตารางที่ 13 ปริมาณไฮโซเบี้ยนในพื้นที่โครงการฯ จังหวัดนครราชสีมา

แปลงทดลอง	ปริมาณไฮโซเบี้ยนในพื้นที่โครงการฯ (เซลล์ต่อกรัมดินแห้ง)				
	มิ.ย - 41	ก.ย - 41	ม.ค - 42	มี.ค - 42	เฉลี่ย
พื้นที่ทุ่งหญ้า control (07-3-01 D/P) อ. ครบุรี Line 10-11(GLC)	3,677	3,677	1,736	1,201	2,573b
พื้นที่ทุ่งหญ้าที่มีการปลูกกล้าไม้ร่วม [*] (07-3-03P) อ. ครบุรี Line7 (GLP)	7,752	4,947	4,967	3,503	5,292a
พื้นที่ทุ่งหญ้าที่มีการปลูกกล้าไม้ร่วม [*] กับขุดคันดินกันน้ำ (07-3-01D/P) อ. ครบุรี Line7 (GLDP)	8,143	7,929	5,188	4,905	6,541a
พื้นที่ทุ่งหญ้าที่มีการขุดคันดินกันน้ำ [*] (EX-3-10) อ. ครบุรี (GLD)	2,500	3,644	3,636	1,742	2,881b
บริเวณเส้นทางที่ใช้สัญจร อ. ครบุรี Line7 (way)	3.17	3.34	2.11	2.88	2.88c
พื้นที่ป่า ต. หนองระเวียง (NT1R2)	2,306	3,297	3,258	1,629	2,623b

ค่าเฉลี่ยที่ตามด้วยอักษรเดียวกัน ถือว่าไม่มีความแตกต่างกันทางสถิติที่ระดับความเชื่อมั่น 95%
โดย DMRT

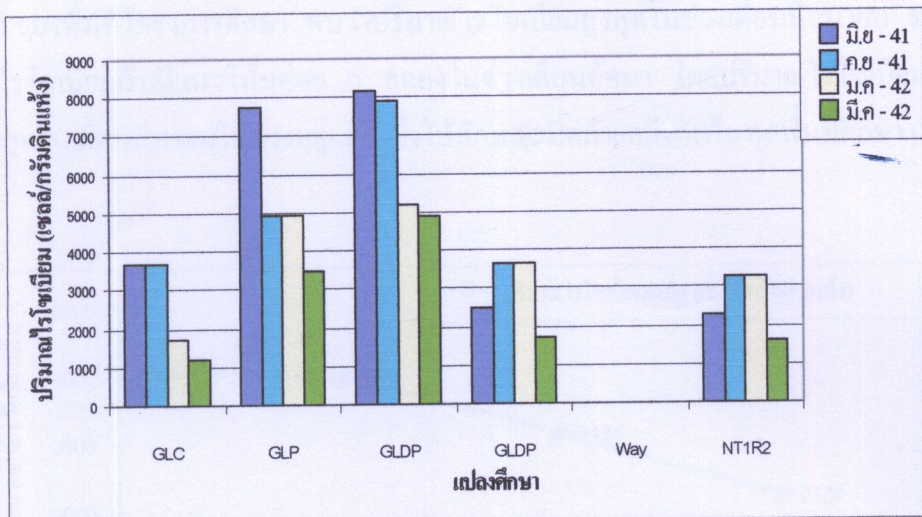
ตารางที่ 14 ตารางวิเคราะห์ค่าความแปรปรวนของค่าเฉลี่ยประชากรไฮโซเบี้ยนในดินจากพื้นที่
โครงการฯ

Source of variation	df	SS	MS	F-value
Treatment	5	106,030,314	21,206,062.9	13.61**
Error	18	28,038,109.1	1,557,672.7	
Total	23	134,068,424		

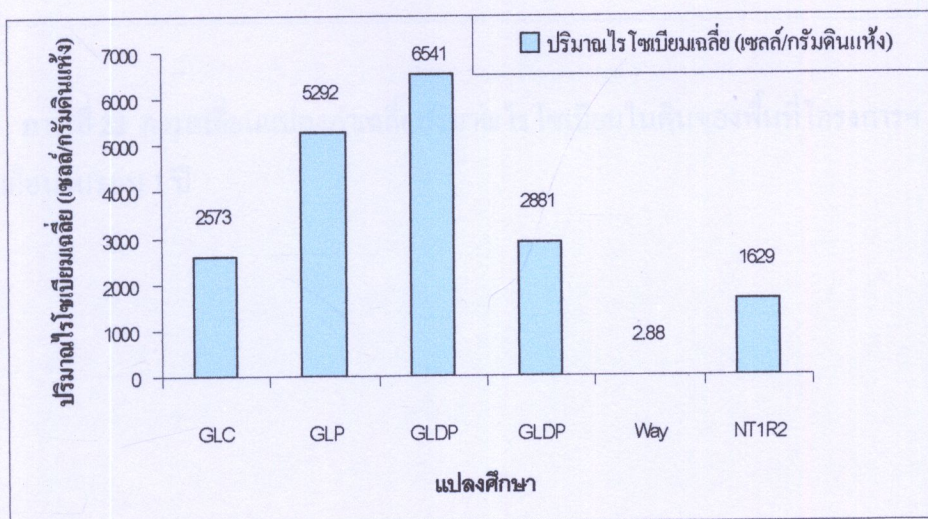
cv=37.6% coefficient of variation (c.v.)

**= แตกต่างทางสถิติที่ระดับความเชื่อมั่น 99%

degree of freedom (df) Sum of Square (SS) Mean Square (MS)

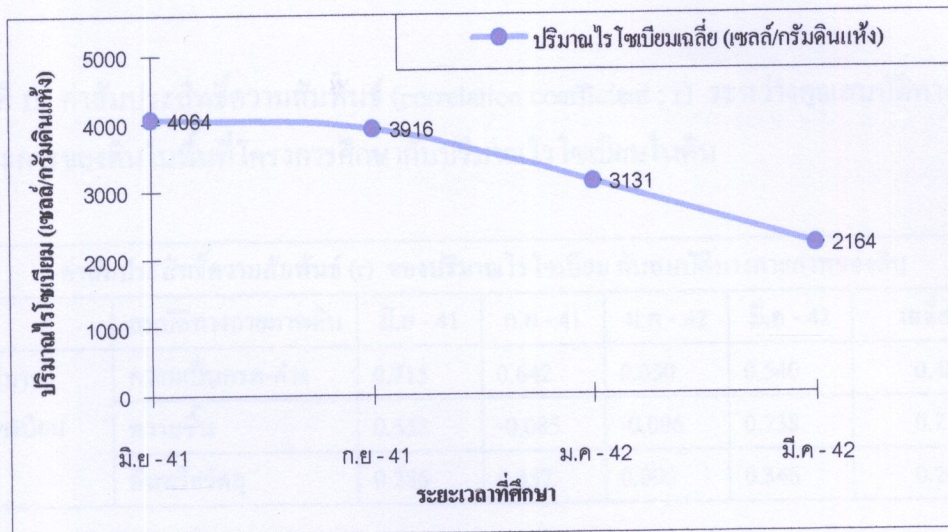


ภาพที่ 26 เปรียบเทียบปริมาณໄร ໂໄຊເບີນໃນດິນຂອງແຕ່ລະແປລງສຶກຍາ



ภาพที่ 27 เปรียบเทียบຄ່າເລີ່ມຕົ້ນໄລ່ຢ່າງປົງການໄຣ ໂໄຊເບີນໃນດິນຂອງແຕ່ລະແປລງສຶກຍາໃນຮອບ 1 ປີ

สำหรับการเปลี่ยนแปลงค่าเฉลี่ยของปริมาณໄ稻 ໄโซเบียมในดินแต่ละช่วงเดือนในระยะเวลา 1 ปี ของพื้นที่โครงการศึกษา พบร่วมปริมาณໄ稻 ໄโซเบียมสูงสุดในช่วงเดือนมิถุนายน จากนั้นปริมาณໄ稻 ໄโซเบียมเริ่มนิ่งไม่แน่นมีค่าอยู่ ๆ ลดลงในช่วงเดือนถัดมา โดยปริมาณໄ稻 ໄโซเบียมมีการลดลงต่อสุดในเดือนมีนาคมในช่วงฤดูแล้ง ซึ่งให้ลักษณะที่คล้ายคลึงกันในทุกพื้นที่ศึกษา (ภาพที่ 28)



ภาพที่ 28 การเปลี่ยนแปลงค่าเฉลี่ยปริมาณໄ稻 ໄโซเบียมในดินของพื้นที่โครงการฯ แต่ละช่วงเดือนในรอบ 1 ปี

3. ความสัมพันธ์ (correlation) ระหว่างปัจจัยทางกายภาพของดิน กับประชากรไร่โซเบี่ยนในดิน

การศึกษารังนี้ได้ทำการวิเคราะห์ความสัมพันธ์ทางสถิติระหว่างประชากรไร่โซเบี่ยนในดินกับคุณสมบัติทางกายภาพของดินบางประการ ได้แก่ ความเป็นกรด - ด่างของดิน เปอร์เซ็นต์ความชื้นในดิน และเปอร์เซ็นต์อินทรีย์วัตถุในดิน ผลการวิเคราะห์แสดงดังตารางที่ 15

ตารางที่ 15 ค่าสัมประสิทธิ์ความสัมพันธ์ (correlation coefficient ; r) ระหว่างคุณสมบัติทางกายภาพบางประการของดินในพื้นที่โครงการศึกษากับปริมาณไร่โซเบี่ยนในดิน

ค่าสัมประสิทธิ์ความสัมพันธ์ (r) ของปริมาณไร่โซเบี่ยน กับสมบัติทางกายภาพของดิน						
	สมบัติทางกายภาพดิน	ม.ข - 41	ก.ข - 41	ม.ค - 42	มี.ค - 42	เฉลี่ยรอบปี
ปริมาณ ไร่โซเบี่ยน	ความเป็นกรด-ด่าง	0.715	0.642	0.050	0.540	0.486 ns
	ความชื้น	0.552	-0.085	-0.096	0.738	0.277 ns
	อินทรีย์วัตถุ	0.286	0.337	0.096	0.346	0.266 ns

หมายเหตุ ค่าของสัมประสิทธิ์สหสัมพันธ์ที่ระดับความเชื่อมั่น 95% เท่ากับ 0.87 (*)

ค่าสัมประสิทธิ์น้อยกว่า 0.87 (ns) = ไม่มีความสัมพันธ์ทางสถิติ

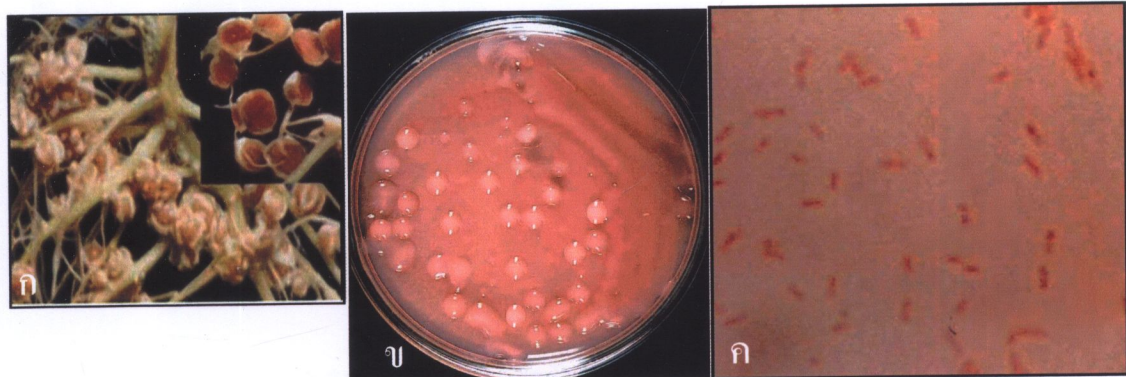
ผลการวิเคราะห์ความสัมพันธ์ระหว่างประชากรไร่โซเบี่ยน กับค่าความเป็นกรด-ด่าง เปอร์เซ็นต์ความชื้นและเปอร์เซ็นต์อินทรีย์วัตถุในดิน จากเตาถ่านแบบแกงคีกษาในพื้นที่โครงการศึกษา โดยใช้ correlation test (r) พบร่วมกับความไม่สัมพันธ์ทางสถิติของปริมาณไร่โซเบี่ยน กับค่าสัมพันธ์เฉลี่ยของประชากรไร่โซเบี่ยนกับค่าความเป็นกรด-ด่างของดิน (r) คือ +0.486 ; r ปริมาณไร่โซเบี่ยนกับเปอร์เซ็นต์ความชื้นในดิน คือ +0.277 และปริมาณไร่โซเบี่ยนกับเปอร์เซ็นต์อินทรีย์วัตถุในดิน คือ +0.266)

ตอนที่ 2 ผลการคัดแยกและจำแนกความแตกต่างของเชื้อไวโตรีโนบียมกลุ่มเจริญเร็วจากคุณสมบัติทางจีโนไทป์ และฟีโนไทป์

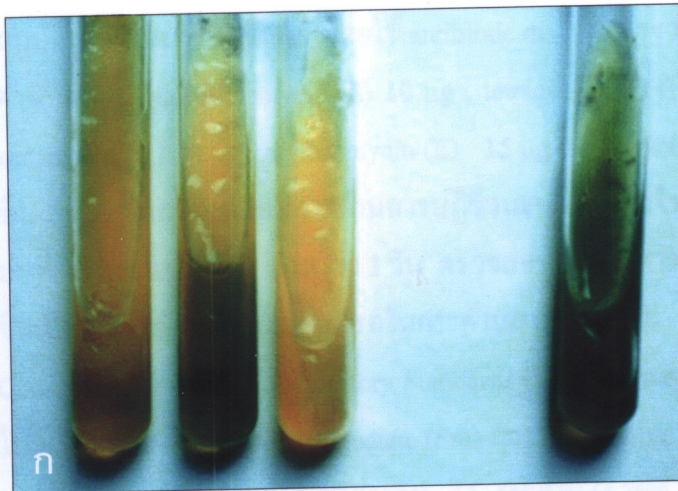
1. ผลการแยกเชื้อไวโตรีโนบียมกลุ่มเจริญเร็วจากปัจจัยและทดสอบ presumptive – confirm Rhizobia test

เก็บเชื้อบริสุทธิ์ของไวโตรีโนบียมจากปาน rak ถั่วเขียว (ขนาดใหญ่ภายในปานคร้มีสีแดงแสดงดังภาพที่ 29 ก) จากดินในพื้นที่โครงการฯ จำนวน 32 ໄอโโซเลท ดำเนินการเก็บดังตารางที่ 4 โดยเลี้ยงเชื้อไวโตรีโนบียมที่แยกได้ ทั้ง 32 ໄอโโซเลท ให้โคโลนีเจริญในระยะเวลา 2 – 3 วัน ลักษณะของโคโลนีเป็นแบบกลมมนูนใส ไม่คุกค LIN สีแดงของ congo red ผิวโคโลนีมีเมือกปุกคุณมาก (ภาพที่ 29 ข) เมื่อย้อมแกรมติดสีแกรมลบ (ภาพที่ 29 ค) และให้ผลผลิตกรดเมื่อทดสอบ presumptive test บนอาหารสูตร YMA ผสม bromthymol blue (BTB) โดยเชื้อไวโตรีโนบียมผลิตกรดจะเปลี่ยนสีอาหารจากเดิมสีเขียว ให้กลายเป็นสีเหลือง (ภาพที่ 30 ก) และสามารถให้ลักษณะการสร้างปัมบัน rak ถั่วเขียว (positive pouch) เมื่อทดสอบ confirm Rhizobia test ภายในระยะเวลาเพียง 3 สัปดาห์ (ภาพที่ 30 ข-ค) ซึ่งก็แสดงว่าเป็นเชื้อไวโตรีโนบียมจริงตามที่ได้ระบุไว้ใน Bergey's

Manual of Systematic Bacteriology



ภาพที่ 29 ผลการแยกเชื้อและตรวจสอบสัมฐานวิทยาของเชื้อไวโตรีโนบียม (ก) ลักษณะปัมที่นำมายแยกเชื้อ (ข) ลักษณะโคโลนีของเชื้อไวโตรีโนบียมถั่วเขียวบนอาหารสูตร YMA ผสม congo red (ค) ลักษณะเซลล์ย้อมติดสีแกรมลบ มีรูปร่างเป็นแท่งห่อสัน ๆ



ภาพที่ 30 การทดสอบคุณสมบัติความเป็นเชื้อไวโตรีนียม (ก) แสดงผลการสร้างกรดของเชื้อ เมื่อทดสอบ presumptive Rhizobia test บนอาหาร YMA ผสม bromthymol blue (BTB) (ข) แสดงการศึกษา confirm Rhizobia test ในห้องทดลอง (ค) แสดงลักษณะการสร้างปมบนรากถั่วเขียวภายในถุงทดสอบ (positive pouch) เปรียบเทียบกับการทดลองควบคุมที่ไม่ได้ใส่เชื้อ (uninoculated control)

2. ผลการศึกษาภูมิคุ้มกันต่อการต้านสารปฎิชีวนะของเชื้อ

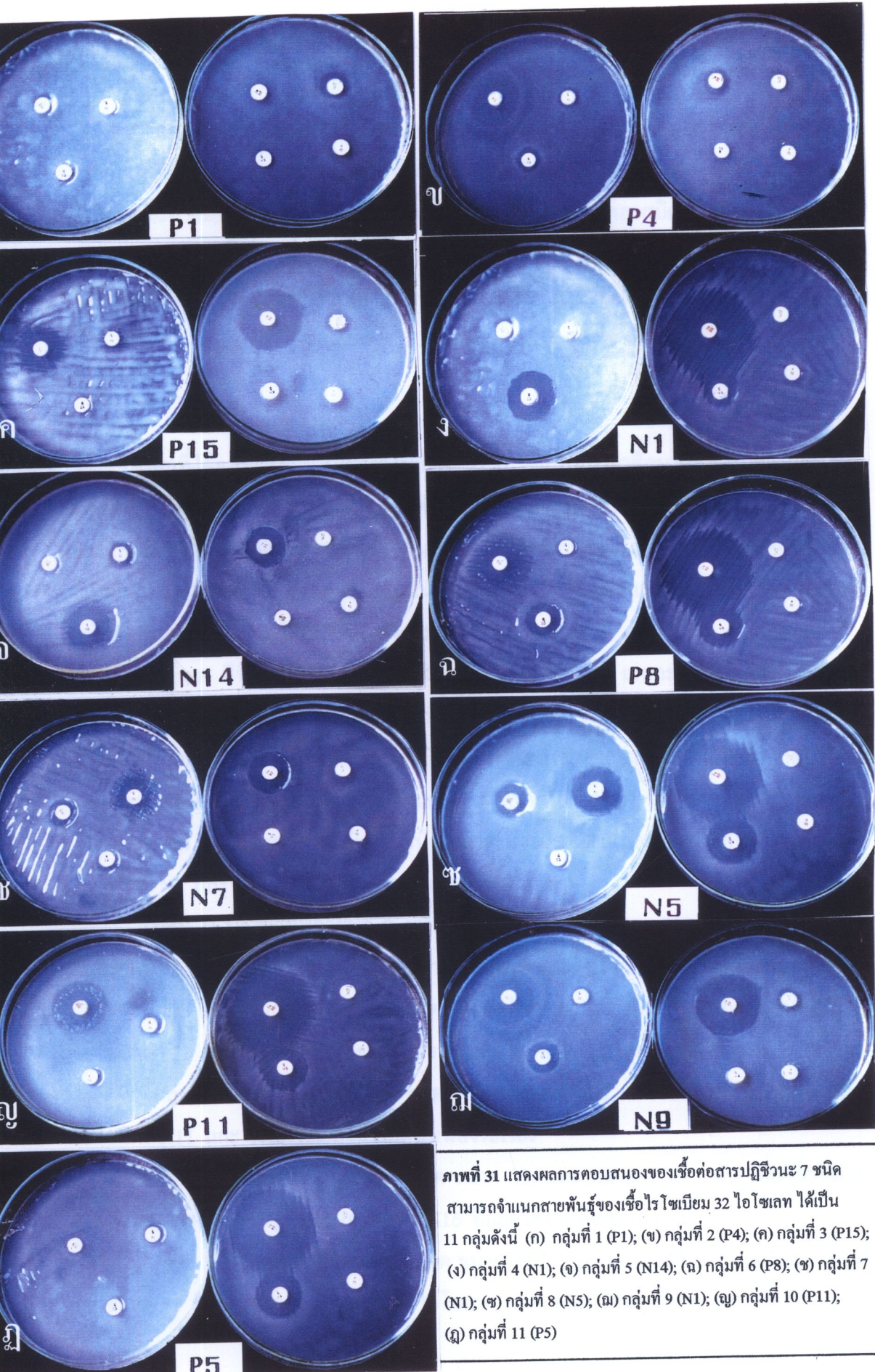
เมื่อนำเชื้อไวโอลีน 32 ไอโซเลทที่แยกได้จากคินในพื้นที่โครงการศึกษา มาทดสอบคุณสมบัติการต้านสารปฎิชีวนะ โดยใช้ antibiotic discs มาตรฐาน 7 ชนิดที่มีปริมาณของสารปฎิชีวนะที่ต่างกันดังนี้ คือ streptomycin (S) 10 µg , tetracycline (Te) 10 µg , carbenicillin (CB) 100 µg , kanamycin (K) 30 µg , erythromycin (E) 15 µg , penicillin (P) 10 µg และ rifampin (RA) 5 µg ซึ่งผลที่ได้จากการทดสอบการต้านสารปฎิชีวนะของเชื้อไวโอลีนบนอาหารแข็ง YM ภายหลังการบ่มที่ 28 องศาเซลเซียส เป็นเวลา 3 วัน ตรวจสอบผลโดยการวัดความกว้างของ inhibition zone ที่เกิดขึ้นเป็นเกณฑ์ตัดสินความสามารถในการต้านสารปฎิชีวนะ แล้วแปลผลเทียบกับตารางของ National Committee for Clinical Laboratory Standards (1990) (แสดงตารางในภาคผนวก ค) แปลผลออกนาในรูปของ resistant (R) intermediate (Sm) และ susceptible (S) จากผลการทดลองนี้ พนักงานบัติการต้านสารปฎิชีวนะของเชื้อที่ต่างกัน 11 รูปแบบ (ภาพที่ 31) สามารถนำมาใช้จำแนกสายพันธุ์เชื้อไวโอลีน 32 ไอโซเลท ได้เป็น 11 กลุ่ม (ตารางที่ 16 ; ภาคผนวก ง) โดยที่ไอโซเลಥของเชื้อที่ทำการศึกษานี้ ให้ผลการต้าน erythromycin และ penicillin ที่เหมือนกันทั้ง 32 ไอโซเลท ซึ่งสามารถในกลุ่มที่ 1 มีเพียงไอโซเลท P9 (3.13 %) ที่ให้รูปแบบการต้านสารปฎิชีวนะทั้ง 7 ชนิด ส่วนกลุ่มที่ 2 ประกอบด้วยสมาชิก 6 ไอโซเลท (18.75 %) ได้แก่ ไอโซเลท P2, P3, P4, P7 และ P14 ที่แยกได้จากคินครบุรี และไอโซเลท N2 ที่แยกได้จากคินหนองระเวียง ซึ่งให้ผลการตอบสนองโดยการสร้าง inhibition zone กับ carbenicillin ส่วนกลุ่มที่ 3 ประกอบด้วยสมาชิก 2 ไอโซเลท (6.25 %) ได้แก่ ไอโซเลท P15 ที่แยกได้จากคินครบุรี และไอโซเลท N16 ที่แยกได้จากคินหนองระเวียง ซึ่งให้ผลการตอบสนองต่อ tetracycline และให้ผลการตอบสนองแบบกึ่งต้านกึ่งตอบสนองกับ carbenicillin กลุ่มที่ 4 ประกอบด้วยสมาชิก 3 ไอโซเลท (9.38 %) ได้แก่ ไอโซเลท N1, N11 และ N12 จากคินหนองระเวียง ซึ่งให้ผลการตอบต่อ tetracycline และ ให้ผลการตอบสนองแบบกึ่งต้านกึ่งตอบสนองกับ kanamycin ส่วนกลุ่มที่ 5 ประกอบด้วยสมาชิก 3 ไอโซเลท (9.38 %) ได้แก่ ไอโซเลท N3, N14 และ N15 ที่แยกได้จากคินหนองระเวียง ซึ่งให้ผลการตอบสนองต่อ kanamycin และให้ผลการตอบสนองแบบกึ่งต้านกึ่งตอบสนองกับ tetracycline ส่วนกลุ่มที่ 6 ประกอบด้วยสมาชิก 3 ไอโซเลท (9.38 %) ได้แก่ ไอโซเลท N10 ที่แยกได้จากคินหนองระเวียง และไอโซเลท P8, P9 ที่แยกได้จากคินครบุรี ซึ่งไอโซเลทกลุ่มนี้นอกจากจะตอบสนองต่อ carbenicillin และ tetracycline แล้วยังให้ผลการตอบสนองแบบกึ่งต้านกึ่งตอบสนองกับ kanamycin และ rifampin อีกด้วย ส่วนกลุ่มที่ 7 ประกอบด้วยสมาชิก 2 ไอโซเลท (6.25 %) อันได้แก่ ไอโซเลท N7 และ N8 ที่แยกได้จากคินหนองระเวียง ซึ่งไอโซเลทกลุ่มนี้ให้ผลการตอบสนองแบบกึ่งต้านกึ่งตอบสนองกับ tetracycline และ kanamycin ส่วนกลุ่มที่ 8 มีเพียงไอโซเลท N5 (3.13 %) จากคินหนองระเวียง ซึ่งให้ผลการตอบสนองต่อ streptomycin กับ tetracycline และให้ผลการ

ตอบสนองแบบกึ่งต้านกึ่งตอบสนองกับ rifampin การตอบสนองต่อ carbenicillin และ tetracycline ส่วนกลุ่มที่ 10 ประกอบด้วยสมาชิก 6 ไอโซเลท (18.75%) ได้แก่ ไอโซเลท N4, N13 และ N6 ที่แยกได้จากคินหนองระเทิง และไอโซเลท P11 P12 และ P13 ที่แยกได้จากครบูรี ซึ่งให้ผลการตอบสนองต่อ carbenicillin กับ tetracycline และให้ผลการตอบสนองแบบกึ่งต้านกึ่งตอบสนองกับ rifampin ส่วนสมาชิกในกลุ่มสุดท้าย คือ กลุ่มที่ 11 ประกอบด้วย 4 ไอโซเลท (12.5 %) ได้แก่ ไอโซเลท P5, P6, P10 และ P16 ที่แยกได้จากครบูรี ซึ่งให้ผลการตอบสนองต่อ tetracycline และให้ผลการตอบสนองแบบกึ่งต้านกึ่งตอบสนองกับ rifampin

ตารางที่ 16 ผลการทดสอบคุณสมบัติการต้านสารปฏิชีวนะ 7 ชนิดของเชื้อไวรัสเมี่ยง 32 ไอโซเลท

กลุ่มไวรัสเมี่ยง ตามคุณสมบัติ การต้านสาร ปฏิชีวนะ	standard antibiotic disc 7 ชนิด และ zone diameter (mm)							
	CB 100 µg	S 10 µg	K 30 µg	Te 30 µg	RA 5 µg	E 15 µg	P 10 µg	ISOLATE
1	R (8-9)	R (8-9)	R (9-10)	R (8-9)	R (8-9)	R (8-9)	R (9-9)	P1
2	S (23-23)	R (9-10)	R (9-9)	R (9-10)	R (9-10)	R (8-9)	R (9-9)	P2 P3 P4 P7 P14 N2
3	Sm (20-21)	R (9-10)	R (9-10)	S (30-35)	R (9-10)	R (8-9)	R (8-9)	P15 N16
4	R (8-9)	R (8-9)	S (0-24)	S (30,38)	R (10,11)	R (8-9)	R (8-9)	N1 N11 N12
5	R (8-9)	R (9-10)	S (20-22)	Sm (15-16)	R (9-10)	R (9-10)	R (9-10)	N3 N14 N15
6	S (23-25)	R (9-10)	Sm (14-14)	S (30-38)	Sm (19-19.5)	R (9-10)	R (8-9)	N10 P8 P9
7	R (8-9)	Sm (12-13)	R (8-9)	Sm (15-16)	R (8-9)	R (9-10)	R (9-10)	N7 N8
8	R (12-13)	S (19-20)	R (8-9)	S (35-38)	Sm (18-19)	R (8-9)	R (9-10)	N5
9	S (29-32)	R (9-10)	R (11-12)	S (30,35)	R (9-10)	R (9-10)	R (9-10)	N9
10	S (23-24)	R (9-10)	R (9-10)	S (30-35)	Sm (18-18)	R (9-10)	R (9-10)	P11 P12 P13 N4 N6 N13
11	R (8-9)	R (8-9)	R (8-9)	S (30-35)	Sm (19-19.5)	R (9-10)	R (9-10)	P5 P6 P10 P16

resistant (R) intermediate (Sm) และ susceptible (S)



ภาพที่ 31 แสดงผลการทดสอบทนของเชื้อต่อสารปฎิชีวนะ 7ชนิด สามารถจำแนกสายพันธุ์ของเชื้อไว้โดยเบี่ยง 32 ໄอโซเลท ได้เป็น 11 กลุ่มดังนี้ (ก) กลุ่มที่ 1 (P1); (ข) กลุ่มที่ 2 (P4); (ค) กลุ่มที่ 3 (P15); (จ) กลุ่มที่ 4 (N1); (ฉ) กลุ่มที่ 5 (N14); (ฉ) กลุ่มที่ 6 (P8); (ช) กลุ่มที่ 7 (N1); (ษ) กลุ่มที่ 8 (N5); (ณ) กลุ่มที่ 9 (N1); (ญ) กลุ่มที่ 10 (P11); (ฎ) กลุ่มที่ 11 (P5)

3. การศึกษาแบบแผนพลาสมิคไฟฟ์ของเชื้อ

การศึกษาและสังเคราะห์แบบแผนพลาสมิคขนาดใหญ่ของเชื้อไวรัสเมียน 32 ไอโซเลทที่นำมาศึกษาโดยการทำให้เซลล์แตก (lysis cell) ตามที่คัดแปลงจากวิธีของ Harrison และคณะ (1989) งานนี้ จึงนำสารละลายที่ได้ภายหลังการทำให้เซลล์แตกมาแยกขนาดของพลาสมิค โดยใช้แผ่นอะกราฟขนาด 11×14 เซนติเมตร เพื่อให้มีความยาวเพียงพอในการแยกพลาสมิคขนาดใหญ่ของไวรัสเมียน ไอโซเลทที่ศึกษา เปรียบเทียบกับพลาสมิคขนาดใหญ่ ของ *B. japonicum* USDA 193 (Masterson et al., 1985) ของ *E. coil* 39R และของ *E. coil* No. 2 (Brinboim and Doly, 1997) ดังภาพที่ 32 (ก-ข)

ซึ่งผลที่ได้จากการศึกษานี้พบไวรัสเมียน 32 ไอโซเลทที่นำมาศึกษามีพลาสมิคจำนวน 1 ถึง 3 ชิ้นต่อไอโซเลท ที่มีขนาดอยู่ในช่วงตั้งแต่ 164 – 600 เมกะคลาตัน นอกจากนี้ยังพบพลาสมิคไฟฟ์ที่ต่างกัน 9 รูปแบบ สามารถจำแนกเชื้อ 32 ไอโซเลทของไวรัสเมียนได้เป็น 9 กลุ่ม ตามจำนวน และขนาดของพลาสมิคที่ต่างกันเป็นเกณฑ์ในการจัดจำแนก และกำหนดให้สัญลักษณ์ของกลุ่มพลาสมิคที่จัดจำแนกได้เป็น A-I ดังตารางที่ 17

กลุ่ม A มีจำนวนพลาสมิค 1 ชนิด ขนาดประมาณ 336 เมกะคลาตัน ได้แก่ ไอโซเลท P2, P3, P4, P7 และ P14 ที่แยกได้จากคินครบุรีและไอโซเลท N1 ที่แยกได้จากคินหนองระเวียง

กลุ่ม B มีจำนวนพลาสมิค 2 ชนิด ขนาดประมาณ 210 และ 250 เมกะคลาตัน ได้แก่ ไอโซเลท N3, N6, N9, N14 และ N15 ที่แยกได้จากคินหนองระเวียง

กลุ่ม C มีจำนวนพลาสมิค 2 ชนิด ขนาดประมาณ 600 และ 510 เมกะคลาตัน ได้แก่ ไอโซเลท N7 และ N8 ที่แยกได้จากคินหนองระเวียง

กลุ่ม D มีจำนวนพลาสมิค 2 ชนิด ขนาดประมาณ 600 และ 210 เมกะคลาตัน ได้แก่ ไอโซเลท P5, P6, P12 และ P16 ที่แยกได้จากคินครบุรี และไอโซเลท N10 จากคินหนองระเวียง

กลุ่ม E มีจำนวนพลาสมิค 2 ชนิด ขนาดประมาณ 336 และ 210 เมกะคลาตัน ได้แก่ ไอโซเลท P11 และ P13 ที่แยกได้จากคินครบุรี และไอโซเลท N2 และ N13 จากคินหนองระเวียง

กลุ่ม F มีจำนวนพลาสมิค 2 ชนิด ขนาดประมาณ 600 และ 336 เมกะคลาตัน ได้แก่ ไอโซเลท N11 และ N12 ที่แยกได้จากคินหนองระเวียง

กลุ่ม G มีจำนวนพลาสมิค 2 ชนิด ขนาด 336 และ 186 เมกะคลาตัน ได้แก่ ไอโซเลท P15 ที่แยกได้จากคินครบุรี และไอโซเลท N16 ที่แยกได้จากคินหนองระเวียง

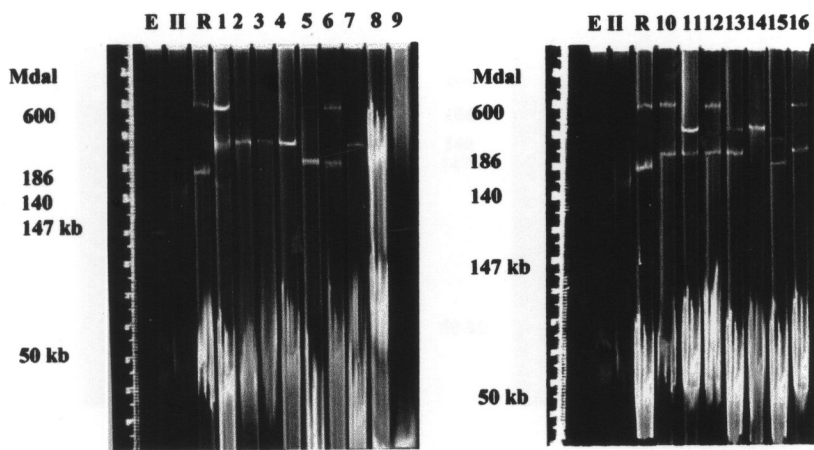
กลุ่ม H มีจำนวนพลาสมิค 3 ชนิด ขนาด 600, 336 และ 164 เมกะคลาตัน ได้แก่ ไอโซเลท P1 ที่แยกได้จากคินครบุรี และไอโซเลท N16 ที่แยกได้จากคินหนองระเวียง

กลุ่ม I ไม่ปรากฏว่ามีพลาสมิค ได้แก่ ไอโซเลท P8, P9 จากคินครบุรี และไอโซเลท N4 ที่แยกได้จากคินหนองระเวียง

ในการทดลองนี้ไม่พบลักษณะเด่นที่แน่นอนของการจัดจำแนกตามแบบพลาสมิคที่มีความสัมพันธ์กับชนิดของพืชและแหล่งที่มาของเชื้อ ดังเช่น การที่พบว่าพลาสมิคโพร์ไฟล์จากกลุ่ม A, B, D และ E ประกอบด้วยสมาชิกของไอโซเลทที่ได้มาจากพืชทั้ง 2 สายพันธุ์ และพลาสมิคโพร์ไฟล์จากกลุ่ม A, D, E, G และ H ประกอบด้วย สมาชิกของไอโซเลทที่ได้มาจากคินทั้ง 2 ชนิด เป็นต้น

ตารางที่ 17 จำนวนและขนาดพลาสมิคของไอโซเบียนถ้วนเชียร์ที่แยกจากคินในพื้นที่โครงการศึกษา

กลุ่มไอโซเบียนตามพลาสมิคโพร์ไฟล์	จำนวนและขนาดของพลาสมิค	ไอโซเลท
กลุ่ม A	1 ชิ้น : ขนาด 336 Mdal	P2 P3 P4 P7 P14 N1
กลุ่ม B	2 ชิ้น : ขนาด 250 Mdal ขนาด 210 Mdal	N3 N6 N9 N14 N15
กลุ่ม C	2 ชิ้น : ขนาด 600 Mdal ขนาด 510 Mdal	N7 N8
กลุ่ม D	2 ชิ้น : ขนาด 600 Mdal : ขนาด 210 Mdal	P5 P6 P10 P12 P16 N10
กลุ่ม E	2 ชิ้น : ขนาด 336 Mdal : ขนาด 210 Mdal	P11 P13 N2 N13
กลุ่ม F	2 ชิ้น : ขนาด 600 Mdal : ขนาด 336 Mdal	N11 N12
กลุ่ม G	2 ชิ้น : ขนาด 336 Mdal : ขนาด 186 Mdal	P15 N16
กลุ่ม H	3 ชิ้น : ขนาด 600 Mdal : ขนาด 336 Mdal : ขนาด 164 Mdal	P1 N5
กลุ่ม I	ไม่ปรากฏพลาสมิค	P8 P9 N4



ภาพที่ 32 ก พลาสมิคขนาดใหญ่ของไรโซบียน *{Rhizobium sp. (ถั่วเขียว)}* ที่แยกจากคินในพื้นที่ป่า อ. ครบุรี

lane E : พลาสมิคของ *E.coil* 39R

lane S : พลาสมิคของ *E.coil* No.2

lane R : พลาสมิคของ *B. japonicum* USDA 193

lane 1 : ไรโซบียน (ถั่วเขียว) (P1)

lane 2 : ไรโซบียน (ถั่วเขียว) (P2)

lane 3 : ไรโซบียน (ถั่วเขียว) (P3)

lane 4 : ไรโซบียน (ถั่วเขียว) (P4)

lane 5 : ไรโซบียน (ถั่วเขียว) (P5)

lane 6 : ไรโซบียน (ถั่วเขียว) (P6)

lane 7 : ไรโซบียน (ถั่วเขียว) (P7)

lane 8 : ไรโซบียน (ถั่วเขียว) (P8)

lane 9 : ไรโซบียน (ถั่วเขียว) (P9)

lane 10 : ไรโซบียน (ถั่วเขียว) (P10)

lane 11 : ไรโซบียน (ถั่วเขียว) (P11)

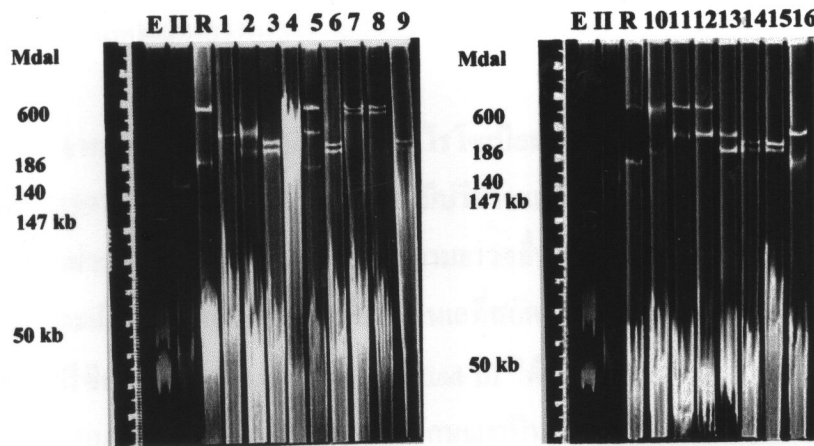
lane 12 : ไรโซบียน (ถั่วเขียว) (P12)

lane 13 : ไรโซบียน (ถั่วเขียว) (P13)

lane 14 : ไรโซบียน (ถั่วเขียว) (P14)

lane 15 : ไรโซบียน (ถั่วเขียว) (P15)

lane 16 : ไรโซบียน (ถั่วเขียว) (P16)



ภาพที่ 32 ช พลาสมิคขนาดใหญ่ของไรโซไซเบียน {*Rhizobium sp.*(ถั่วเขียว)} ที่แยกจากดินในพื้นที่ป่าต. หนองระเวียง

lane E : พลาสมิคของ *E.coli* 39R

lane S : พลาสมิคของ *E.coli* No.2

lane R : พลาสมิคของ *B. japonicum* USDA 193

lane 1 : ไรโซไซเบียน (ถั่วเขียว) (N1)

lane 2 : ไรโซไซเบียน (ถั่วเขียว) (N2)

lane 3 : ไรโซไซเบียน (ถั่วเขียว) (N3)

lane 4 : ไรโซไซเบียน (ถั่วเขียว) (N4)

lane 5 : ไรโซไซเบียน (ถั่วเขียว) (N5)

lane 6 : ไรโซไซเบียน (ถั่วเขียว) (N6)

lane 7 : ไรโซไซเบียน (ถั่วเขียว) (N7)

lane 8 : ไรโซไซเบียน (ถั่วเขียว) (N8)

lane 9 : ไรโซไซเบียน (ถั่วเขียว) (N9)

lane 10 : ไรโซไซเบียน (ถั่วเขียว) (N10)

lane 11 : ไรโซไซเบียน (ถั่วเขียว) (N11)

lane 12 : ไรโซไซเบียน (ถั่วเขียว) (N12)

lane 13 : ไรโซไซเบียน (ถั่วเขียว) (N13)

lane 14 : ไรโซไซเบียน (ถั่วเขียว) (N14)

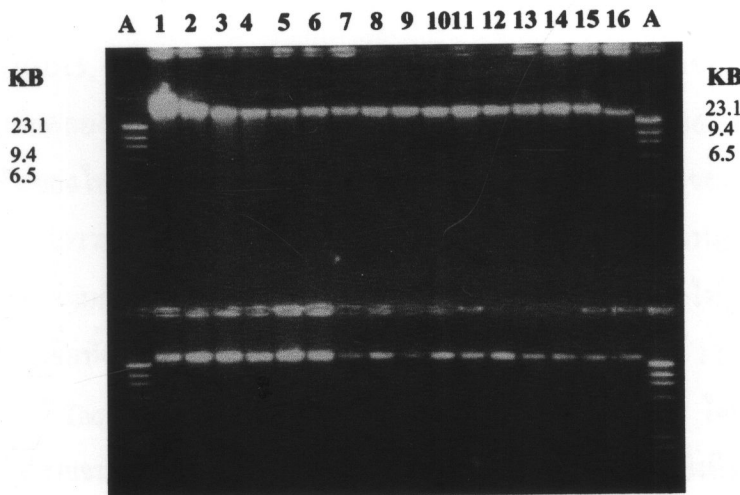
lane 15 : ไรโซไซเบียน (ถั่วเขียว) (N15)

lane 16 : ไรโซไซเบียน (ถั่วเขียว) (N16)

4. ผลการศึกษาและวิเคราะห์รูปแบบทางพันธุกรรมของเชื้อ โคಯเทคนิค RAPD

4.1 การสกัดแยกโครโนไซมอลดีเอ็นเอจากไวรัสบีญ

จากการสกัดจีโนมิกดีเอ็นเอจากไวรัสบีญ ตามใช้วิธีการที่คัดแปลงมาจาก Achara และคณะ (1997) ดีเอ็นเอที่แยกได้ด้วยวิธินี้มีปริมาณและความบริสุทธิ์เพียงพอ เมื่อตรวจสอบโดยวัดอัตราส่วนของค่าการดูดกลืนแสงที่ความยาวคลื่น 260/280 นาโนเมตร พบว่า อัตราส่วนอยู่ในช่วง 1.8 – 2.0 และเมื่อตรวจสอบคุณภาพของดีเอ็นเอที่สกัดได้ โดยการนำดีเอ็นเอไปแยกบนคัลเซียมฟอฟฟัต ให้เห็นว่าดีเอ็นเอที่ได้มีลักษณะเป็นสายยาวไม่ฉีกขาด ไม่พับการเกิด smear ซึ่งการสกัดได้โครโนไซมอลดีเอ็นเอที่มีสายยาวไม่ฉีกขาดนี้ มีโอกาสที่จะได้ยืนต่าง ๆ ที่อยู่บนจีโนมครอบคลุมครบถ้วนและดีเอ็นเอที่ได้นี้ มีความสะอาด ซึ่งมีคุณภาพดีพอที่นำไปใช้ในปฏิกริยาการเพิ่มปริมาณดีเอ็นเอแบบสุ่ม โดยอาศัยปฏิกริยา PCR ในขั้นตอนต่อไป



ภาพที่ 33 ผลการสกัดแยกโครโนไซมอลดีเอ็นเอจากไวรัสบีญ จากรูปจะสังเกตได้ว่าແbn ดีเอ็นเอที่ปราฏขึ้นของเชื้อแต่ละชนิด มีลักษณะเป็นແbnเดียวกันชัด แสดงให้เห็นว่าดีเอ็นเอที่ได้มีลักษณะเป็นสายยาวไม่ฉีกขาด และไม่พับการเกิด smear

หมายเหตุ สัญลักษณ์ A คือ λ DNA/Hind III

4.2 ສភາວະແລະປົກກີຣາຍາທີ່ເໝາະສົມຂອງ PCR ທີ່ໃຫ້ໃນການເພີ່ມປົມານດີເອັນເອ ໂດຍວິທີ RAPD

4.2.1. ຜຸລຂອງປົມານເອັນໄໝນ Ampli Taq Polymerase, annealing temperature ແລະ ປົມານຄວາມເຂັ້ມງັນຂອງໄພຣມອ່ວທີ່ມີຜົດຕ່ອງຮູບແບບກາຣເຄລື່ອນທີ່ຂອງດີເອັນເອທີ່ໄດ້

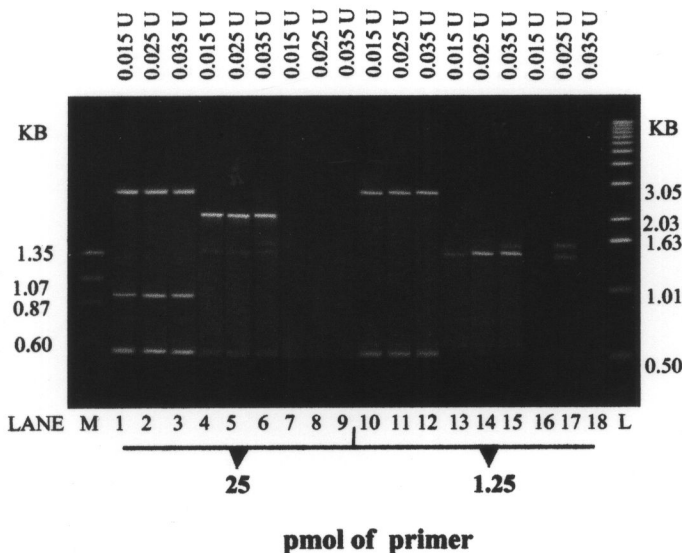
ຈາກການໃຊ້ສភາວະແລະປົກກີຣາຍາຕຶ້ງຕົ້ນທີ່ດັດແປລົງນາຈາກ Teatumroong ແລະຄະນະ (1996), Paffeti ແລະຄະນະ (1996) ແລະ Nuswantara ແລະຄະນະ (1996) ໂດຍແປປົມານເອັນໄໝນ Ampli Taq Polymerase ເປັນ 3 ຮະດັບ ຄື່ອ 0.015, 0.025 ແລະ 0.035 unit/reaction ລວມກັບ 6 ສភາວະຂອງປົກກີຣາຍາ PCR ແສດຜລໃນຕາງໆທີ່ 18 ໄດ້ຜົດຕ່າງກາພທີ່ 34-36 ຜົ່ງແສດງໃຫ້ເຫັນຄື່ອງຮູບແບບກາຣເຄລື່ອນທີ່ຂອງຫົ່ນດີເອັນເອທີ່ໄດ້ຈາກການເພີ່ມປົມານດີເອັນເອ ໂດຍໃຊ້ໄພຣມອ່ວ (5' GGAAGTCGCC 3') ດານຮາຍງານຂອງ Teatumroong ແລະຄະນະ (1996) ລວມກັບການແປປສະກວະເພື່ອຫາອຸພາກຸນີໃນກາຣ annealing ທີ່ເໝາະສົມກັບປົມານ Ampli Taq Polymerase ແລະປົມານຄວາມເຂັ້ມງັນຂອງໄພຣມອ່ວ ທີ່ໃຊ້ເພີ່ມປົມານດີເອັນເອ ໂດຍກາພທີ່ 34 ໃຊ້ອຸພາກຸນີໃນກາຣ annealing ທີ່ 32 ອົງຄາເໜລເໜີຍສ ລວມກັບການແປປປົມານ Taq Polymerase (0.015, 0.025, 0.035 unit/reaction) ແລະປົມານຄວາມເຂັ້ມງັນຂອງໄພຣມອ່ວ (25, 12.5 pmol) ສ່ວນກາພທີ່ 35 ໃຊ້ອຸພາກຸນີໃນກາຣ annealing ທີ່ 36 ອົງຄາເໜລເໜີຍສ ລວມກັບການແປປປົມານ Taq Polymerase (0.015, 0.025, 0.035 unit/reaction) ແລະປົມານຄວາມເຂັ້ມງັນຂອງໄພຣມອ່ວ (25, 12.5 pmol) ສ່ວນກາພທີ່ 36 ໃຊ້ອຸພາກຸນີໃນກາຣ annealing ທີ່ 40 ອົງຄາເໜລເໜີຍສ ລວມກັບການແປປປົມານ Taq Polymerase (0.015, 0.025, 0.035 unit/reaction) ແລະປົມານຄວາມເຂັ້ມງັນຂອງໄພຣມອ່ວ (25, 12.5 pmol) ຈາກຜົດກາຣທົດລອງນີ້ ແສດງໃຫ້ເຫັນວ່າອຸພາກຸນີໃນກາຣ annealing ທີ່ 36 ອົງຄາເໜລເໜີຍສ ທີ່ 2 ຮະດັບຄວາມເຂັ້ມງັນຂອງໄພຣມອ່ວ ສາມາດໃຫ້ຮູບແບບກາຣເຄລື່ອນທີ່ຂອງດີເອັນເອຂອງເຊື້ອທັງ 3 ໂອໂໃເລທ ທີ່ສັດເຈນກວ່າກາຣໃຊ້ສະກວະອຸພາກຸນີໃນກາຣ annealing ອື່ນ ໂດຍທີ່ສະກວະອຸພາກຸນີກາຣ annealing ທີ່ 36 ອົງຄາເໜລເໜີຍສ ລວມກັບຄວາມເຂັ້ມງັນຂອງປົມານໄພຣມອ່ວ 25 pmol ໃຫ້ຮູບແບບກາຣເຄລື່ອນທີ່ຂອງຫົ່ນດີເອັນເອຂອງເຊື້ອທັງ 3 ໂອໂໃເລທ ທີ່ສັດເຈນກວ່າ ກາຣໃຊ້ປົມານໄພຣມອ່ວ 12.5 pmol ທີ່ຖຸກຮະດັບຂອງປົມານເອັນໄໝນ Taq DNA polymerase (0.015 0.025 ແລະ 0.035 unit) ໂດຍມີແນວໂນມທີ່ໄດ້ຮູບແບບກາຣເຄລື່ອນທີ່ທີ່ສັດເຈນຂຶ້ນເມື່ອປົມານເອັນໄໝນເພີ່ມຂຶ້ນ ໂດຍເພາະອ່າງຍິ່ງທີ່ຮະດັບ 0.025 ແລະ 0.035 unit (ກາພທີ່ 35) ພົບວ່າ ໂອໂໃເລທ P2 ໃຫ້ຮູບແບບກາຣເຄລື່ອນທີ່ຂອງຫົ່ນດີເອັນເອທີ່ 3 ຕຳແໜ່ງ ຄື່ອ 2.8 0.9 ແລະ 0.50 ກີໂລເບສ ສ່ວນໄອໂໃເລທ P3 ໃຫ້ຮູບແບບກາຣເຄລື່ອນທີ່ຂອງຫົ່ນດີເອັນເອທີ່ 5 ຕຳແໜ່ງ ຄື່ອ 2.4 1.6 1.4 0.87 ແລະ 0.50 ກີໂລເບສ ສ່ວນໄອໂໃເລທ N3 ໃຫ້ຮູບແບບກາຣເຄລື່ອນທີ່ຂອງຫົ່ນດີເອັນເອທີ່ 5 ຕຳແໜ່ງ ຄື່ອ 2.0, 1.6, 1.5, 1.07 ແລະ 0.55 ກີໂລເບສ ສ່ວນກາຣໃຊ້ອຸພາກຸນີໃນກາຣ annealing ທີ່ 32 (ກາພທີ່ 34) ແລະ 40 ອົງຄາເໜລເໜີຍສ (ກາພທີ່ 36) ພົບຮູບແບບກາຣເຄລື່ອນທີ່ຂອງແຕບດີເອັນເອທີ່ໄມ່ຄຽບຖຸກຕ້ວອຍ່າງເຊື້ອແລະໄມ່ສັດເຈນທີ່ຖຸກຮະດັບຂອງປົມານຄວາມເຂັ້ມງັນເອັນໄໝນ ແລະຄວາມເຂັ້ມງັນຂອງໄພຣມອ່ວທີ່ທົດສອນ ຈາກຜົດກາຣທົດລອງນີ້ ແສດງໃຫ້ເຫັນວ່າກາຣເພີ່ມປົມານດີເອັນເອແບບສຸ່ນ ໂດຍໃຊ້ອຸພາກຸນີໃນກາຣ annealing ທີ່ 36 ອົງຄາເໜລເໜີຍສ ລວມກັບກາຣໃຊ້ໄພຣມອ່ວເຂັ້ມງັນ 25 pmol ກັບປົມານ Taq DNA polymerase ທີ່ຮະດັບ 0.025 ແລະ 0.035 unit ໃຫ້ຮູບແບບກາຣ

เคลื่อนที่ของเดบคีอีนเอที่ครบถ้วนทุกตัวอย่างเชื่อ ดังนั้นการทดลองนี้ จึงนำสภาวะที่ใช้อีนไซม์ ปริมาณ 0.025 และ 0.035 unit ที่อุณหภูมิในการ annealing 36 องศาเซลเซียส โดยใช้จำนวนรอบในการเพิ่มคีอีนเอ 45 รอบ มาศึกษาหาปริมาณ MgCl₂ เพื่อให้ได้สภาวะที่เหมาะสมในขั้นตอนต่อไป

ตารางที่ 18 ผลผลิตแบบคีอีนเอของไรโซเบียน 3 ไอโซเลต ที่เกิดจากการแปรปริมาณอีนไซม์ Ampli Taq Polymerase และอุณหภูมิในการ annealing ที่ 3 ระดับ ร่วมกับไพรเมอร์เข้มข้น 2 ระดับ

อัตราหักน้ำ annealing ที่ 32 °C ^a ภาคที่ 34	Ampli Taq DNA polymerase					
	0.015 U		0.025 U		0.035 U	
	25 pmol primer	1.25 pmol primer	25 pmol primer	1.25 pmol primer	25 pmol primer	1.25 pmol primer
เชื้อ P2	2.8, 0.90, 0.50 kb (เลนที่ 1)	2.8, 0.50 kb (เลนที่ 10)	2.8, 0.90, 0.50 kb (เลนที่ 2)	2.8, 0.50 kb (เลนที่ 11)	2.8, 0.90, 0.50 kb (เลนที่ 3)	2.8, 0.50 kb (เลนที่ 12)
เชื้อ P3	2.4, 1.6, 0.50 kb (เลนที่ 4)	1.4 kb (เลนที่ 13)	2.4, 1.6, 0.50 kb (เลนที่ 5)	1.4 kb (เลนที่ 14)	2.4, 1.6, 1.4, 0.50 kb (เลนที่ 6)	1.4 kb (เลนที่ 15)
เชื้อ N3	ไม่มีปรากฏแน่น (เลนที่ 7)	ไม่มีปรากฏแน่น (เลนที่ 16)	ไม่มีปรากฏแน่น (เลนที่ x)	1.5 kb (เลนที่ 17)	ไม่มีปรากฏแน่น (เลนที่ 9)	ไม่มีปรากฏแน่น (เลนที่ 18)
อัตราหักน้ำ annealing ที่ 36 °C ^a ภาคที่ 35	Ampli Taq DNA polymerase					
	0.015 U		0.025 U		0.035 U	
	25 pmol primer	1.25 pmol primer	25 pmol primer	1.25 pmol primer	25 pmol primer	1.25 pmol primer
เชื้อ P2	2.8, 0.90, 0.50 kb (เลนที่ 1)	2.8, 0.50 kb (เลนที่ 10)	2.8, 0.90, 0.50 kb (เลนที่ 2)	2.8, 0.50 kb (เลนที่ 11)	2.8, 0.90, 0.50 kb (เลนที่ 3)	2.8, 0.50 kb (เลนที่ 12)
เชื้อ P3	1.4, 0.87 0.50 kb (เลนที่ 4)	1.4, 0.50 kb (เลนที่ 13)	2.4, 1.6, 1.4 0.87 0.50 kb (เลนที่ 5)	1.4, 0.50 kb (เลนที่ 14)	2.4, 1.6, 1.4 0.87 0.50 kb (เลนที่ 6)	1.4, 0.50 kb (เลนที่ 15)
เชื้อ N3	1.6, 1.5, 0.55 kb (เลนที่ 7)	ไม่มีปรากฏแน่น (เลนที่ 16)	2.0, 1.6, 1.5, 1.07, 0.55 kb (เลนที่ 8)	1.6, 1.5 kb (เลนที่ 17)	2.0, 1.6, 1.5, 1.07, 0.55 kb (เลนที่ 9)	ไม่มีปรากฏแน่น (เลนที่ 18)
อัตราหักน้ำ annealing ที่ 40 °C ^a ภาคที่ 36	Ampli Taq DNA polymerase					
	0.015 U		0.025 U		0.035 U	
	25 pmol primer	1.25 pmol primer	25 pmol primer	1.25 pmol primer	25 pmol primer	1.25 pmol primer
เชื้อ P2	2.8, 0.90 kb (เลนที่ 1)	ไม่มีปรากฏแน่น (เลนที่ 10)	2.8, 0.90 kb (เลนที่ 2)	2.8 kb (เลนที่ 11)	2.8, 0.90 kb (เลนที่ 3)	2.8 kb (เลนที่ 12)
เชื้อ P3	2.4 kb (เลนที่ 4)	1.6 kb (เลนที่ 13)	ไม่มีปรากฏแน่น (เลนที่ 5)	1.6 kb (เลนที่ 14)	ไม่มีปรากฏแน่น (เลนที่ 6)	ไม่มีปรากฏแน่น (เลนที่ 15)
เชื้อ N3	ไม่มีปรากฏแน่น (เลนที่ 7)	ไม่มีปรากฏแน่น (เลนที่ 16)	ไม่มีปรากฏแน่น (เลนที่ 8)	ไม่มีปรากฏแน่น (เลนที่ 17)	ไม่มีปรากฏแน่น (เลนที่ 9)	ไม่มีปรากฏแน่น (เลนที่ 18)

Ampli Taq polymerase



ภาพที่ 34 ผลการแปรปูนยาน Ampli Taq DNA polymerase 3 ระดับร่วมกับปูนยานความเข้มข้นของไพรเมอร์ 2 ระดับ ที่มีผลต่อรูปแบบการเคลื่อนที่ของแทบดีเอ็นเอในเชื้อไวโตรีเบิญ 3 ไอโซเลทโดยใช้อุณหภูมิในการ annealing ที่ 32 องศาเซลเซียส

lane (M) $\phi \times 174$ RF DNA/Hae III ; lane (L) 1 kilobase DNA ladder

lane (1-3) ผลผลิตดีเอ็นเอจากไอโซเลท P2 ที่สภาวะความเข้มข้นไพรเมอร์ 25 pmol และ lane

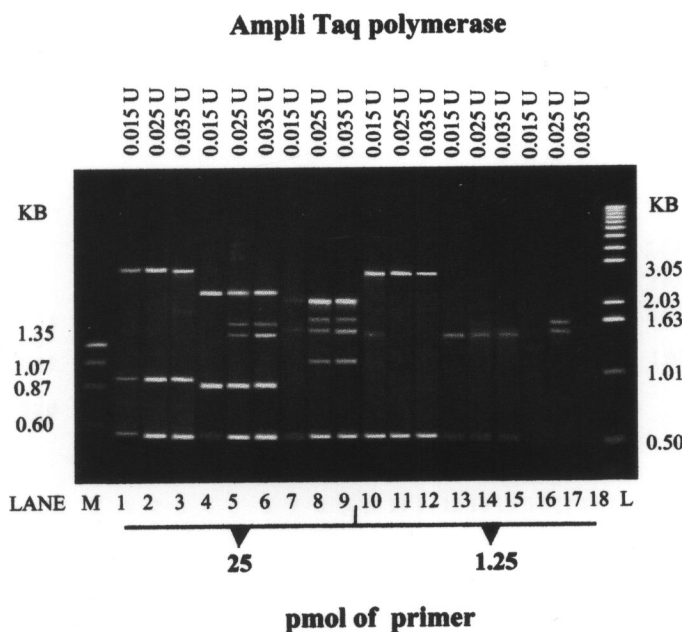
(10-12) ที่สภาวะความเข้มข้นไพรเมอร์ 12.5 pmol ร่วมกับ Ampli Taq DNA 3 ระดับ

lane (4-6) ผลผลิตดีเอ็นเอจากไอโซเลท P3 ที่สภาวะความเข้มข้นไพรเมอร์ 25 pmol และ lane

(13-15) ที่สภาวะความเข้มข้นไพรเมอร์ 12.5 pmol ร่วมกับ Ampli Taq DNA 3 ระดับ

lane (7-9) ผลผลิตดีเอ็นเอจากไอโซเลท N3 ที่สภาวะความเข้มข้นไพรเมอร์ 25 pmol และ lane

(16-18) ที่สภาวะความเข้มข้นไพรเมอร์ 12.5 pmol ร่วมกับ Ampli Taq DNA 3 ระดับ



ภาพที่ 35 ผลการแปรปนกับ Ampli Taq DNA polymerase 3 ระดับร่วมกับปริมาณความเข้มข้นของไพรเมอร์ 2 ระดับ ที่มีผลต่อรูปแบบการเคลื่อนที่ของແບตดีเอ็นเอในเชื้อ ໄเร โซเบิญ 3 ไอโซเลท โดยใช้อุณหภูมิในการ annealing ที่ 36 องศาเซลเซียส

lane (M) $\phi \times 174$ RF DNA/Hae III ; lane (L) 1 kilobase DNA ladder

lane (1-3) ผลผลิตดีเอ็นเอจากไอโซเลท P2 ที่สภาวะความเข้มข้นไพรเมอร์ 25 pmol และ lane

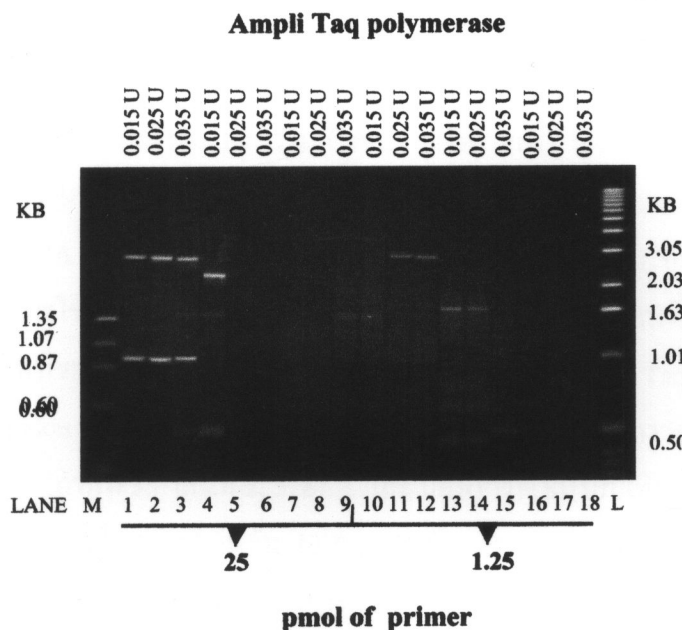
(10-12) ที่สภาวะความเข้มข้นไพรเมอร์ 12.5 pmol ร่วมกับ Ampli Taq DNA 3 ระดับ

lane (4-6) ผลผลิตดีเอ็นเอจากไอโซเลท P3 ที่สภาวะความเข้มข้นไพรเมอร์ 25 pmol และ lane

(13-15) ที่สภาวะความเข้มข้นไพรเมอร์ 12.5 pmol ร่วมกับ Ampli Taq DNA 3 ระดับ

lane (7-9) ผลผลิตดีเอ็นเอจากไอโซเลท N3 ที่สภาวะความเข้มข้นไพรเมอร์ 25 pmol และ lane

(16-18) ที่สภาวะความเข้มข้นไพรเมอร์ 12.5 pmol ร่วมกับ Ampli Taq DNA 3 ระดับ



ภาพที่ 36 ผลการแปรปนกับ Ampli Taq DNA polymerase 3 ระดับร่วมกับปริมาณความเข้มข้นของไพรเมอร์ 2 ระดับ ที่มีผลต่อรูปแบบการเคลื่อนที่ของแคนดิเอ็นเอในเชื้อไวรัสเบิญ 3 ไอโซเลท โดยใช้อุณหภูมิในการ annealing ที่ 32 องศาเซลเซียส

lane (M) $\phi \times 174$ RF DNA/Hae III ; lane (L) 1 kilobase DNA ladder

lane (1-3) ผลผลิตดีเอ็นเอจากไอโซเลท P2 ที่สภาวะความเข้มข้นไพรเมอร์ 25 pmol และ lane

(10-12) ที่สภาวะความเข้มข้นไพรเมอร์ 12.5 pmol ร่วมกับ Ampli Taq DNA 3 ระดับ

lane (4-6) ผลผลิตดีเอ็นเอจากไอโซเลท P3 ที่สภาวะความเข้มข้นไพรเมอร์ 25 pmol และ lane

(13-15) ที่สภาวะความเข้มข้นไพรเมอร์ 12.5 pmol ร่วมกับ Ampli Taq DNA 3 ระดับ

lane (7-9) ผลผลิตดีเอ็นเอจากไอโซเลท N3 ที่สภาวะความเข้มข้นไพรเมอร์ 25 pmol และ lane

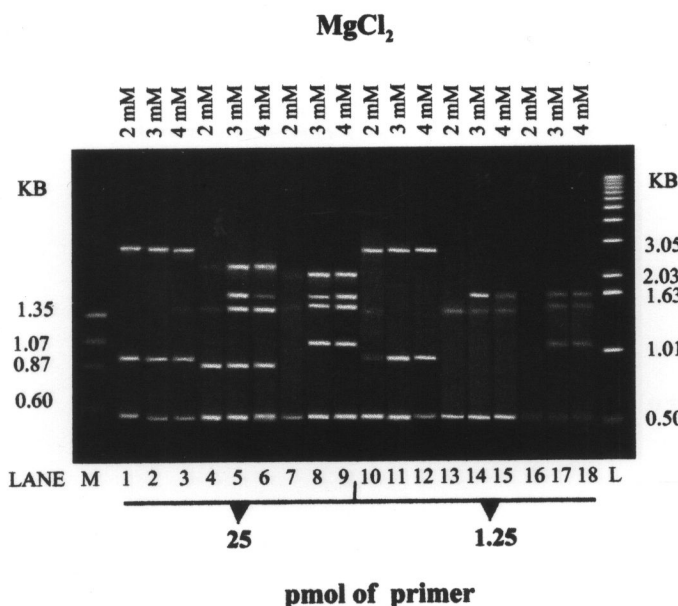
(16-18) ที่สภาวะความเข้มข้นไพรเมอร์ 12.5 pmol ร่วมกับ Ampli Taq DNA 3 ระดับ

4.2.2 ผลกระทบของปริมาณ $MgCl_2$ ร่วมกับ Taq DNA polymerase ที่มีผลต่อรูปแบบการเคลื่อนที่ของดีเอ็นเอ

จากสภาวะที่เหมาะสมในข้อ 4.2.1 นำมาศึกษาปริมาณ $MgCl_2$ ที่เหมาะสม โดยการประปริมาณเป็น 3 ระดับ คือ 2, 3 และ 4 มิลลิโนลาร์ /reaction แสดงผลในตารางที่ 19 และภาพที่ 37-38 จากภาพแสดงให้เห็นได้อย่างชัดเจนว่าระดับของ Mg^{++} อิสระที่เป็น co-factor ร่วมกับ Taq DNA polymerase และปริมาณความเข้มข้นของไพรเมอร์ที่ใช้นั้น มีผลต่อรูปแบบการเคลื่อนที่ของແນບດีเอ็นเอในลักษณะของผลผลิตແນບดีเอ็นเอที่มีความเข้ม-ชางแตกต่างกัน โดยจะพบว่า ปริมาณ Taq DNA polymerase 0.025 unit/reaction กับการใช้ $MgCl_2$ ความเข้มข้น 3 มิลลิโนลาร์ ที่สภาวะการใช้ปริมาณไพรเมอร์เข้มข้น 25 pmol (ภาพที่ 37 เลนที่ 2, 5, 8) สามารถให้รูปแบบการเคลื่อนที่ของແນບດีเอ็นเอที่ชัดเจนเหมือนกับ การใช้ปริมาณ Taq DNA polymerase ที่ 0.035 unit/reaction กับการใช้ $MgCl_2$ ความเข้มข้น 3 มิลลิโนลาร์ ที่สภาวะการใช้ปริมาณไพรเมอร์เข้มข้น 25 pmol (ภาพที่ 38 เลนที่ 2, 5, 8) และเมื่อพิจารณาเบริယบเทียบกับແນບดีเอ็นเอที่ได้จากสภาวะการใช้ปริมาณไพรเมอร์เข้มข้น 12.5 pmol ที่ระดับความเข้มข้น $MgCl_2$ และเอนไซม์เดียวกัน พบรูปผลิตແນບดีเอ็นเอที่น้อยและชางกว่า นอกจากนี้ยังพบว่าที่ระดับการใช้ $MgCl_2$ 3 มิลลิโนลาร์ จะให้ผลผลิตແນບดีเอ็นเอที่เข้มและคมชัดกว่า การใช้ $MgCl_2$ 4 มิลลิโนลาร์ ที่ระดับความเข้มข้นและเอนไซม์เดียวกัน ประกอบกับผลการวิจัยของ McPherson และคณะ (1991) กล่าวว่า การใช้ $MgCl_2$ ในปฏิกิริยามากเกินไป จะไปมีผลผลักดันปฏิกิริยาการสังเคราะห์ดีเอ็นเอสายใหม่ โดยเอนไซม์ Taq DNA polymerase เกิดเร็วเกินไปทำให้เอนไซม์ลดความแม่นยำลง ดังนั้น จากผลการทดลองนี้สรุปได้ว่าสภาวะที่เหมาะสมในการเพิ่มปริมาณดีเอ็นเอ โดย PCR คือ การใช้ปริมาณ $MgCl_2$ ที่ระดับ 3 มิลลิโนลาร์ ร่วมกับปริมาณเอนไซม์ 0.025 unit และปริมาณไพรเมอร์ 25 pmol ให้ແນບดีเอ็นเอชัดเจนและครบถ้วน มีความเหมาะสมมากที่สุด

ตารางที่ 19 ผลผลิตแอบดีเอ็นเอที่เกิดจากการแปรปูริโนน MgCl₂ ร่วมกับปูริโนนเอ็นไซม์ Ampli Taq polymerase และปูริโนนความเข้มข้นของไพรเมอร์ 2 ระดับ

Ampli Taq DNA polymerase 0.025 U (ภาคที่ 37)	25 pmol primer			1.25 pmol primer		
	2 mM MgCl ₂	3 mM MgCl ₂	4 mM MgCl ₂	2 mM MgCl ₂	3 mM MgCl ₂	4 mM MgCl ₂
ช่อง P2	2.8, 0.90, 0.50 kb (เลนที่ 1)	2.8, 0.90, 0.50 kb (เลนที่ 2)	2.8, 0.90, 0.50 kb (เลนที่ 3)	2.8, 0.50 kb (เลนที่ 10)	2.8, 0.90, 0.50 kb (เลนที่ 11)	2.8, 0.90, 0.50 kb (เลนที่ 12)
ช่อง P3	2.4, 1.4, 0.87, 0.50 kb (เลนที่ 4)	2.4, 1.6, 1.4, 0.87, 0.50 kb (เลนที่ 5)	2.4, 1.6, 1.4, 0.87 0.50 kb (เลนที่ 6)	1.4, 0.55 kb (เลนที่ 13)	1.6, 1.4, 0.50 kb (เลนที่ 14)	1.6, 1.4, 0.50 kb (เลนที่ 15)
ช่อง N3	2.0, 1.5, 0.55 kb (เลนที่ 7)	2.0, 1.6, 1.5, 1.07, 0.55 kb (เลนที่ 8)	2.0, 1.6, 1.5, 1.07, 0.55 kb (เลนที่ 9)	ไม่ปรากฏແນ (เลนที่ 16)	1.6, 1.5, 1.07 kb (เลนที่ 17)	1.6, 1.5, 1.07 kb (เลนที่ 18)
Ampli Taq DNA polymerase 0.035 U (ภาคที่ 38)	25 pmol primer			1.25 pmol primer		
	2 mM MgCl ₂	3 mM MgCl ₂	4 mM MgCl ₂	2 mM MgCl ₂	3 mM MgCl ₂	4 mM MgCl ₂
ช่อง P2	2.8, 0.90, 0.50 kb (เลนที่ 1)	2.8, 0.90, 0.50 kb (เลนที่ 2)	2.8, 0.90, 0.50 kb (เลนที่ 3)	2.8, 0.90, 0.50 kb (เลนที่ 10)	2.8, 0.90, 0.50 kb (เลนที่ 11)	2.8, 0.90, 0.50 kb (เลนที่ 12)
ช่อง P3	2.4, 1.6, 0.87 0.50 kb (เลนที่ 4)	2.4, 1.6, 1.4, 0.87, 0.50 kb (เลนที่ 5)	2.4, 1.6, 1.4, 0.87 0.50 kb (เลนที่ 6)	1.4 kb (เลนที่ 13)	2.4, 1.6, 1.4, 0.87 0.50 kb (เลนที่ 14)	1.6, 1.4 kb (เลนที่ 15)
ช่อง N3	2.0, 1.6, 0.55 kb (เลนที่ 7)	2.0, 1.6, 1.5, 1.07, 0.55 kb (เลนที่ 8)	2.0, 1.6, 1.5, 0.55 kb (เลนที่ 9)	1.6, 1.5, 1.07 kb (เลนที่ 16)	1.6, 1.5, 1.07 kb (เลนที่ 17)	1.6, 1.5, 1.07 kb (เลนที่ 18)



ภาพที่ 37 ผลของปริมาณ MgCl₂ 3 ระดับ ร่วมกับTaq DNA polymerase 0.025 unit และ ความเข้มข้นของไพรเมอร์ที่ใช้ 2 ระดับ ในการเพิ่มปริมาณคือเนื่นเอแม่แบบของไฮโซเบียนถั่วเขียว 3 ไอโซเลท

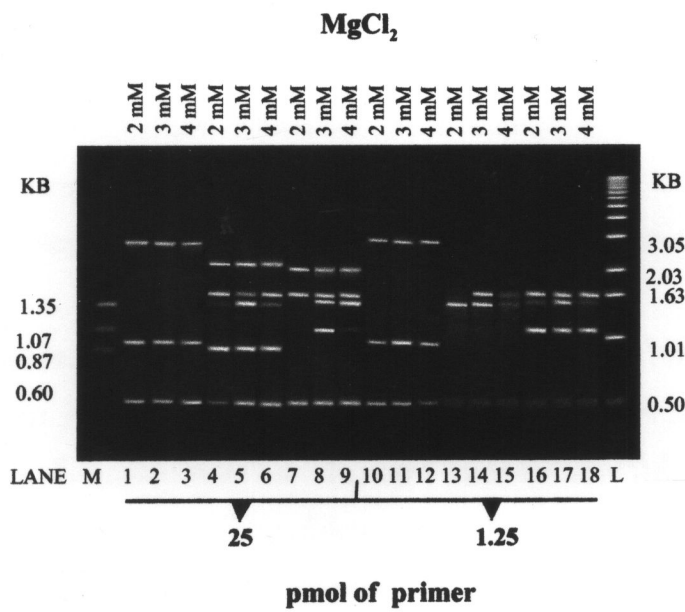
lane (M) ϕ x 174 RF DNA/Hae III ;

lane (L) 1 kilobase DNA ladder

lane (1-3) ผลผลิตดีเอ็นเอจากไฮโซเลท P2 ที่สภาวะความเข้มข้นไพรเมอร์ 25 pmol และ lane (10-12) ที่สภาวะความเข้มข้นไพรเมอร์ 12.5 pmol ร่วมกับปริมาณ MgCl₂ 3 ระดับ

lane (4-6) ผลผลิตดีเอ็นเอจากไฮโซเลท P3 ที่สภาวะความเข้มข้นไพรเมอร์ 25 pmol และ lane (13-15) ที่สภาวะความเข้มข้นไพรเมอร์ 12.5 pmol ร่วมกับปริมาณ MgCl₂ 3 ระดับ

lane (7-9) ผลผลิตดีเอ็นเอจากไฮโซเลท N3 ที่สภาวะความเข้มข้นไพรเมอร์ 25 pmol และ lane (16-18) ที่สภาวะความเข้มข้นไพรเมอร์ 12.5 pmol ร่วมกับปริมาณ MgCl₂ 3 ระดับ



ภาพที่ 38 ผลของปริมาณ $MgCl_2$ 3 ระดับ ร่วมกับ Taq DNA polymerase 0.035 unit และความเข้มข้นของไพรเมอร์ที่ใช้ 2 ระดับ ในการเพิ่มปริมาณดีเอ็นเอแม่แบบของไวรัสเปียกถั่วเจียว 3 ไอโซเลต

lane (M) ϕ x 174 RF DNA/Hae III ; lane (L) 1 kilobase DNA ladder

lane (1-3) ผลผลิตคือเอ็นเอจี ไอโซเลท P2 ที่สภาวะความเข้มข้น ไพรเมอร์ 25 pmol และ lane (10-12) ที่สภาวะความเข้มข้น ไพรเมอร์ 12.5 pmol ร่วมกับปริมาณ MgCl₂ 3 ระดับ

lane (4-6) ผลผลิตคืออีนเอเจกไทรโซเลท P3 ที่สภาวะความเข้มข้นไฟรเมอร์ 25 pmol และ lane

(13-15) ที่สภาวะความเข้มข้นไพรเมอร์ 12.5 pmol ร่วมกับปริมาณ $MgCl_2$ 3 ระดับ

lane (7-9) ผลลัพธ์คือเอ็นเอจี ไอโซเลท N3 ที่สภาวะความเข้มข้นไพรเมอร์ 25 pmol และ lane

(16-18) ที่สภาวะความเข้มข้นไพรเมอร์ 12.5 pmol ร่วมกับปริมาณ $MgCl_2$ 3 ระดับ

4.3. การศึกษาไฟรเมอร์ที่เหมาะสมในการนำมายใช้สังเคราะห์ดีเอ็นเอของไวรัสเปลี่ยนตัวเขียว

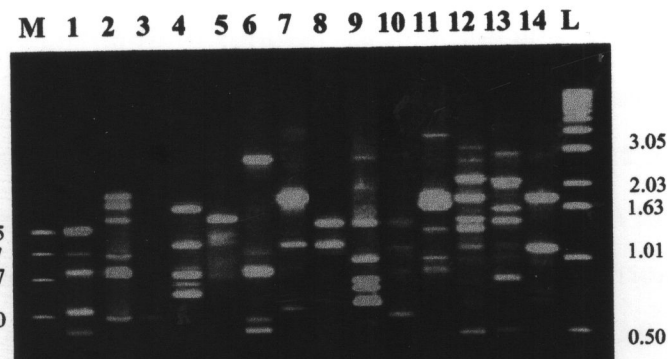
จากการทดสอบไฟรเมอร์แบบสุ่มจำนวน 7 ชนิด ซึ่งเป็นไฟรเมอร์ที่มีความยาว 10-15 เบส มีสัดส่วนของปริมาณ G + C ตั้งแต่ 60 เปอร์เซ็นต์ ขึ้นไป เพื่อคัดเลือกว่าไฟรเมอร์ใดที่ทำให้เกิดรูปแบบการสังเคราะห์ดีเอ็นเอของเชื้อไวรัสเปลี่ยนทั้ง 4 ไอโซเลทที่ต่างกัน คือ ไอโซเลท P2 และ P3 จากคินครูรี นำมาใช้เป็นตัวแทนจากต่าง box และ ไอโซเลท N3 และ N4 จากคินหนองระเวียงนำมาใช้เป็นตัวแทนจาก box เดียวกัน จากผลการสังเคราะห์ดีเอ็นเอของเชื้อ 4 ไอโซเลทร่วมกับการใช้ไฟรเมอร์ทดสอบจำนวน 7 ชนิด พบร่องรอยของแอบดีเอ็นเอที่ต่างกัน แสดงดังตารางที่ 20 ภาพที่ 39 ก-ข)

จากการดำเนินการทดสอบจำนวน 7 ชนิด ดังกล่าวที่เกิดขึ้นนี้ นำมาใช้พิจารณาและคัดเลือกไฟรเมอร์ที่เหมาะสม ในการทดสอบนี้พบไฟรเมอร์ที่เหมาะสมจำนวน 5 ชนิดที่สามารถทำให้เกิดการเคลื่อนที่ของแอบดีเอ็นเอต่างกันทั้ง 4 ไอโซเลท นอกจากนี้ยังทำให้เกิดการสังเคราะห์ชีนดีเอ็นเอที่มีปริมาณมากเท่านั้นเป็นแอบดีเอ็นเอที่ชัดเจน (major band) และแอบดีเอ็นเอที่เป็นแอบดาง (minor band) ขณะเดียวกันเมื่อพิจารณาแอบดีเอ็นเอที่เกิดขึ้นภายในเชื้อ ไอโซเลทเดียวกัน จะพบว่าไฟรเมอร์ที่เหมาะสมทั้ง 5 ชนิดนี้ให้ค่าของตำแหน่งแอบดีเอ็นเอที่ต่างกันระหว่าง ไอโซเลท และระหว่างไฟรเมอร์ ซึ่งความหลากหลายที่ต่างกันของแอบดีเอ็นเอที่เกิดขึ้นระหว่างไฟรเมอร์นี้ นอกจากจะสามารถระบุความแตกต่างที่เกิดในแต่ละ ไอโซเลทแล้ว ยังสามารถบอกถึงระดับความหลากหลายที่เกิดภายในประชากรของเชื้อชนิดเดียวกันได้อีกด้วย

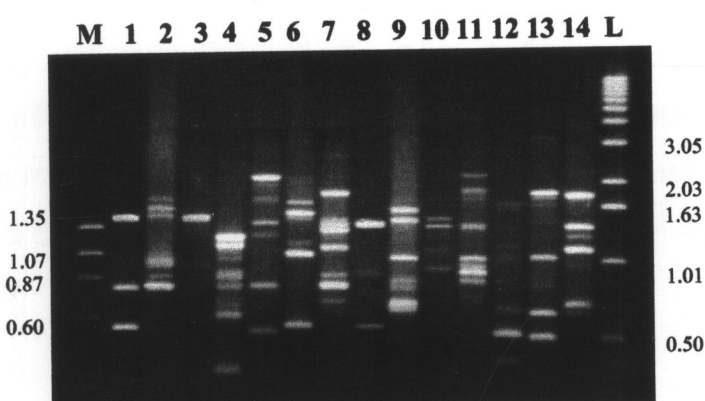
ตารางที่ 20 ผลผลิตແແປດີເອີ້ນຂອງເຊື່ອ 4 ໂອໂຫເລທີ່ເກີດຈາກໄພຣມອຣທັງ 7 ທີ່ນໍາມາທົດສອນ

ໄຫວ່ມອ່ວ	ສໍາຄັນເບີຍສະໜອງໄພຣມອ່ວ	ເພື່ອ	ຈຳນວນແລະຂາຍຂອງຂັ້ນຕີເອີ້ນທີ່ສັງເກະທຳ (ກິໂໂນມຕ)
1 *	(5' GACGACCACGACGC 3')	P2	5 ແດນ : 1.35, 1.07, 0.9, 0.64 ແລະ 0.50 (ກາພທີ 39ກ ເລນທີ 1)
		P3	2 ແດນ : 1.35, 1.07 (ກາພທີ 39ກ ເລນທີ 8)
		N3	3 ແດນ : 1.4, 0.80, 0.64 (ກາພທີ 39ໝ ເລນທີ 1)
		N4	2 ແດນ : 1.3 ແລະ 0.64 (ກາພທີ 39ໝ ເລນທີ 8)
2 *	(5' CGGCCCTGT 3')	P2	4 ແດນ : 1.45, 1.01, 0.90 ແລະ 0.60 (ກາພທີ 39ກ ເລນທີ 2)
		P3	6 ແດນ : 1.4, 1.01, 0.87, 0.80, 0.70 ແລະ 0.60 (ກາພທີ 39ກ ເລນທີ 9)
		N3	5 ແດນ : 1.5, 1.45, 1.40, 0.90 ແລະ 0.80 (ກາພທີ 39ໝ ເລນທີ 2)
		N4	4 ແດນ : 1.5, 1.4, 1.01, 0.80 ແລະ 0.70 (ກາພທີ 39ໝ ເລນທີ 9)
3	(5' AAGAGCCCGT 3')	P2	1 ແດນ : 0.60 (ກາພທີ 39ກ ເລນທີ 3)
		P3	3 ແດນ : 0.60, 1.4 ແລະ 1.07 (ກາພທີ 39ກ ເລນທີ 10)
		N3	1 ແດນ : 1.4 (ກາພທີ 39ໝ ເລນທີ 3)
		N4	4 ແດນ : 1.4, 1.3, 1.07 ແລະ 0.90 (ກາພທີ 39ໝ ເລນທີ 10)
4 *	(5' AGCGCCATTG 3')	P2	6 ແດນ : 1.7, 1.1, 0.87, 0.80, 0.70 ແລະ 0.29 (ກາພທີ 39ກ ເລນທີ 4)
		P3	7 ແດນ : 3, 1.8, 1.7, 1.6, 1.25, 1.01 ແລະ 0.87 (ກາພທີ 39ກ ເລນທີ 11)
		N3	6 ແດນ : 1.1, 1.07, 0.87, 0.80, 0.60, 0.29 (ກາພທີ 39ໝ ເລນທີ 4)
		N4	3 ແດນ : 1.6, 0.70 ແລະ 0.50 (ກາພທີ 39ໝ ເລນທີ 11)
5	(5' GTCGCCGTCA 3')	P2	1 ແດນ : 1.50 (ກາພທີ 39ກ ເລນທີ 5)
		P3	8 ແດນ : 3, 2.8, 2.0, 1.7, 1.4, 1.3, 1.1 ແລະ 1.07 (ກາພທີ 39ກ ເລນທີ 12)
		N3	6 ແດນ : 2, 1.35, 1.25, 0.8 ແລະ 0.64 (ກາພທີ 39ໝ ເລນທີ 5)
		N4	2 ແດນ : 1.6 ແລະ 0.51 (ກາພທີ 39ໝ ເລນທີ 12)
6 *	(5' GGAAGTCGCC 3')	P2	4 ແດນ : 2.8, 0.90, 0.55 ແລະ 0.50 (ກາພທີ 39ກ ເລນທີ 6)
		P3	7 ແດນ : 2.8, 2.4, 1.6, 1.4, 1.07, 0.87 ແລະ 0.50 (ກາພທີ 39ກ ເລນທີ 13)
		N3	4 ແດນ : 1.6, 1.5, 1.07 ແລະ 0.55 (ກາພທີ 39ໝ ເລນທີ 6)
		N4	4 ແດນ : 1.8, 1.07, 0.75 ແລະ 0.50 (ກາພທີ 39ໝ ເລນທີ 13)
7 *	(5' GTAGACCCGT 3')	P2	3 ແດນ : 1.7, 1.20 ແລະ 0.75 (ກາພທີ 39ກ ເລນທີ 7)
		P3	2 ແດນ : 1.7 ແລະ 1.07 (ກາພທີ 39ກ ເລນທີ 14)
		N3	8 ແດນ : 1.7, 1.4, 1.35, 1.20, 1.07, 0.87, 0.80 ແລະ 0.75 (ກາພທີ 39ໝ ເລນທີ 7)
		N4	5 ແດນ : 1.7, 1.35, 1.20, 1.07 ແລະ 0.75 (ກາພທີ 39ໝ ເລນທີ 14)

ໜາຍເຫດ * = ແກນໄພຣມອ່ວທີ່ເລືອກມາໃຊ້



ภาพ (ก)



ภาพ (ข)

ภาพที่ 39 ผลการศึกษาหาไพรเมอร์ที่เหมาะสมในการทำให้เกิดรูปแบบการสังเคราะห์แอบดีเอ็นเอจากเชื้อ 4 ไอโซเลทที่ต่างกัน
ค) แสดงແບບดีเอ็นเอที่เกิดจากไพรเมอร์ 7 ชนิด โดยใช้ไอโซเลท P2 และ P3 เป็นดีเอ็นเอ

ต้นแบบ

lane (M) $\phi \times 174$ RF DNA/Hae III ; lane (L) 1 kilobase DNA ladder

lane (1-7) ผลผลิตดีเอ็นเอจากไอโซเลท P2 ร่วมกับไพรเมอร์ 1-7

lane (8-14) ผลผลิตดีเอ็นเอจากไอโซเลท P3 ร่วมกับไพรเมอร์ 1-7

ข) แสดงແບບดีเอ็นเอที่เกิดจากไพรเมอร์ 7 ชนิด โดยใช้ไอโซเลท N3 และ N4 เป็นดีเอ็นเอ
ต้นแบบ

lane (1-7) ผลผลิตดีเอ็นเอจากไอโซเลท P2 ร่วมกับไพรเมอร์ 1-7

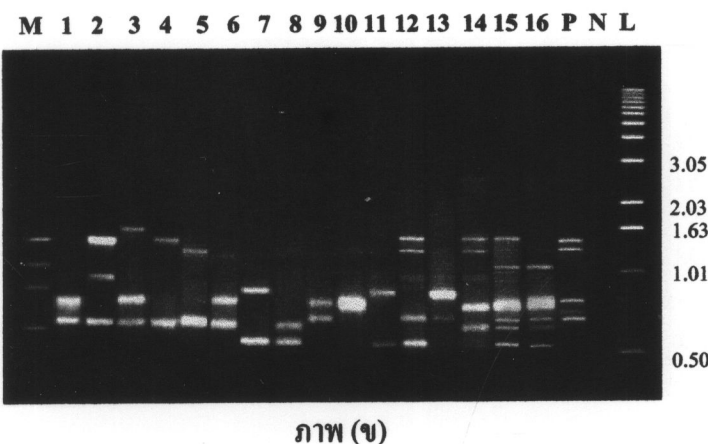
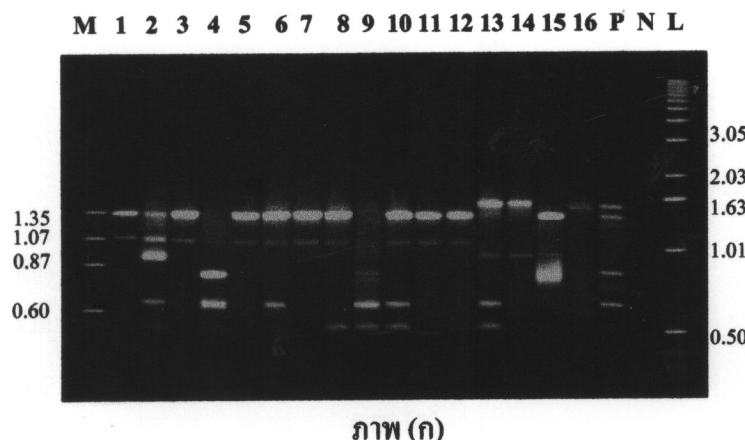
lane (8-14) ผลผลิตดีเอ็นเอจากไอโซเลท P3 ร่วมกับไพรเมอร์ 1-7

4.4 การสังเคราะห์คีอีนของไวโอลีน 32 ไอโซเลท โดยเทคนิค RAPD

จากสภาวะและปฏิกรรมการเพิ่มปริมาณดีเอ็นเอ โดย PCR ในข้อ 4.2 ร่วมกับไพรเมอร์ 5 ชนิดที่คัดเลือกได้ว่าเหมาะสมจาก ข้อ 4.3 ถูกนำมาใช้เพิ่มปริมาณดีเอ็นเอของเชื้อ 32 ไอโซเลท โดยรูปแบบการเคลื่อนที่ของแคนดีเอ็นเอที่ได้จากการทำเฉลวิเดค โทร ไฟร์ซิสเทียบกับขนาดของ คีอีนเอนาครูตาน (ϕ X174 RF DNA/Hae III fragment และ 1 Kb DNA ladder) พนความแตกต่าง ของแคนดีเอ็นเอที่หลากหลาย โดยແນบนดีเอ็นเอที่ได้จากแต่ละไพรเมอร์มีจำนวนแคนดีเอ็นเอ อยู่ระหว่าง 10-18 แคน และมีขนาดดีเอ็นเอที่ได้อยู่ในช่วง 0.29 – 3.0 กิโลเบส (ตารางที่ 21) (ภาพที่ 40 – 44) จากจำนวนชิ้นและขนาดดีเอ็นเอที่เกิดขึ้นทั้งหมด นำมา score band เข้าโปรแกรม UPGMA โดยขนาดของชิ้นดีเอ็นเอที่เกิดจากไพรเมอร์ 5 ชนิด ร่วมกับดีเอ็นเอต้นแบบของเชื้อ 32 ไอโซเลท ที่นำมาศึกษานี้ให้รูปแบบของแคนดีเอ็นเอที่แตกต่างกันระหว่างไอโซเลทและระหว่าง ไพรเมอร์ ซึ่งรูปแบบของแคนดีเอ็นเอที่เหมือนกันระหว่างไพรเมอร์นี้บางแคนดิคัวจะสามารถใช้ เป็นตัวแทนหรือเครื่องหมายทางพันธุกรรมที่จำเพาะต่อการจำแนกสายพันธุ์ของเชื้อไวโอลีนได้ ดังไอโซเลท P7 ซึ่งมีขนาดของดีเอ็นเอ เท่ากับ 1.35 (ภาพที่ 40 ก, ภาพที่ 43 ก และ ภาพที่ 44 ก) ไอโซเลท P2 ซึ่งมีขนาดของดีเอ็นเอ เท่ากับ 0.9 (ภาพที่ 40 ก, ภาพที่ 41 ก และ ภาพที่ 42 ก) เป็นต้น

ตารางที่ 21 จำนวนและขนาดผลผลิตแคนดีเอ็นเอของเชื้อ 32 ไอโซเลทที่เกิดจากไพรเมอร์ที่ เหมาะสม 5 ชนิด

ชนิดไพรเมอร์	จำนวนชิ้นดีเอ็นเอที่ สังเคราะห์ได้	ขนาดของชิ้นดีเอ็นเอที่สังเคราะห์ได้ (กิโลเบส)
1	10	1.4 , 1.35 , 1.2 , 1.07 , 0.9 , 0.87 , 0.80 , 0.70 , 0.64 , 0.50
2	12	1.6, 1.5, 1.45, 1.4, 1.2 , 1.01, 0.90 , 0.87 , 0.80, 0.70, 0.60 , 0.50
4	18	3.0, 2.0, 1.8, 1.70 , 1.60 , 1.4 , 1.35, 1.25 , 1.1, 1.07 , 1.01 0.87 , 0.82 , 0.80 , 0.70 , 0.60 , 0.50 , 0.29
6	18	2.8 , 2.4 , 2.0 , 1.8, 1.7, 1.6, 1.5 , 1.4, 1.35, 1.1, 1.07, 0.90 , 0.87 , 0.80 , 0.75 , 0.70, 0.55 , 0.50
7	16	2.7, 2.1, 2.0, 1.7, 1.6, 1.4 , 1.35, 1.20, 1.07, 1.01, 0.90 0.87, 0.80, 0.75, 0.60 , 0.50



ภาพที่ 40 ชิ้นดีเอ็นเอที่ได้จากการสังเคราะห์ด้วยไพรเมอร์ 1 ร่วมกับดีเอ็นเอต้นแบบของเชื้อไวโตรีบียน 32 ไอโซเลท

ก) (lane 1-16) แบบดีเอ็นเอจากไวโตรีบียน (ถั่วเขียว) ที่แยกจากพื้นที่ อ. ครบุรี คือ ไอโซเลท P1-P16

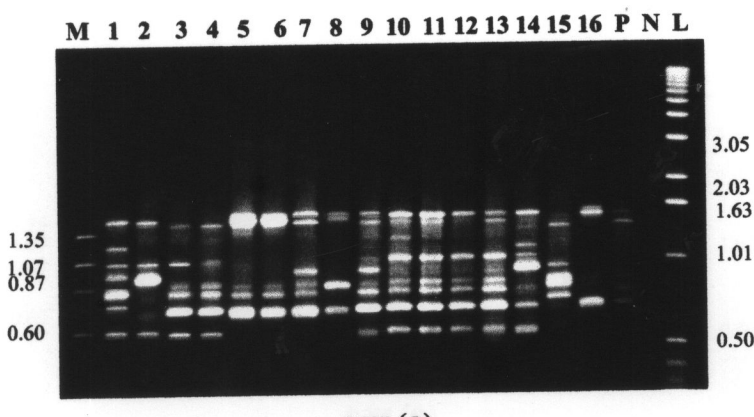
ข) (lane 1-16) แบบดีเอ็นเอจากไวโตรีบียน (ถั่วเขียว) ที่แยกจากพื้นที่ ต. ระเวียง คือ ไอโซเลท N1-N16

L คือ ดีเอ็นเอมาตรฐาน 1 Kilobase DNA ladder แสดงตัวเลขเป็นกิโลเบส

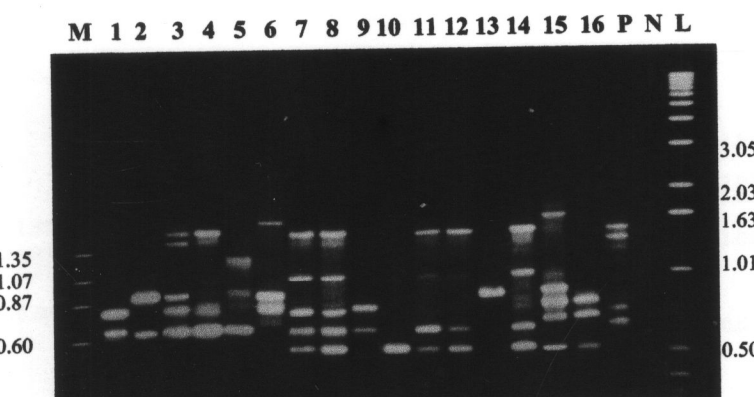
M คือ ดีเอ็นเอมาตรฐาน φX174 RF DNA/Hae III แสดงตัวเลขคือ กิโลเบส

P คือ แบบดีเอ็นเอที่เกิดจากเชื้อ ไวโตรีบียน (*R. leguminosarum*) สำหรับเป็น positive control

N คือ negative control



ภาพ (ก)



ภาพ (ข)

ภาคที่ 41 ชิ้นดีเอ็นเอที่ได้จากการสังเคราะห์ด้วยไพรเมอร์ 2 ร่วมกับดีเอ็นเอต้นแบบของเชื้อ ไรโซเบียม 32 ไอโซเลท

ก) (lane 1-16) แบบดีเอ็นเอจากไรโซเบียม (ถั่วเขียว) ที่แยกจากพื้นที่ อ. ครบุรี คือ ไอโซเลท P1-P16

ข) (lane 1-16) แบบดีเอ็นเอจากไรโซเบียม (ถั่วเขียว) ที่แยกจากพื้นที่ ต. ระเวียง คือ ไอโซเลท N1-N16

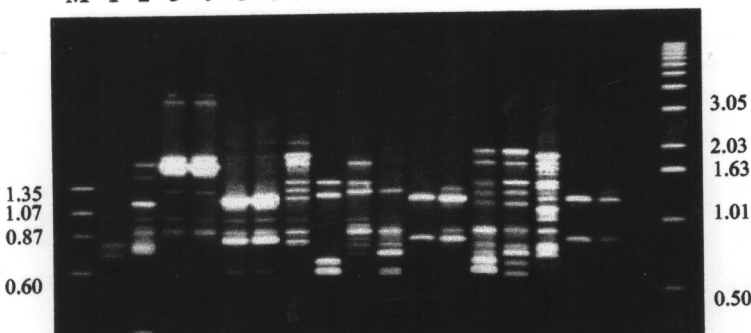
L คือ ดีเอ็นเอมาตรฐาน 1 Kilobase DNA ladder แสดงตัวเลขเป็นกิกิโลเบส

M คือ ดีเอ็นเอมาตรฐาน φX174 RF DNA/Hae III แสดงตัวเลขกิกิโลเบส

P คือ แบบดีเอ็นเอที่เกิดจากเชื้อ ไรโซเบียม (*R. leguminosarum*) สำหรับเป็น positive control

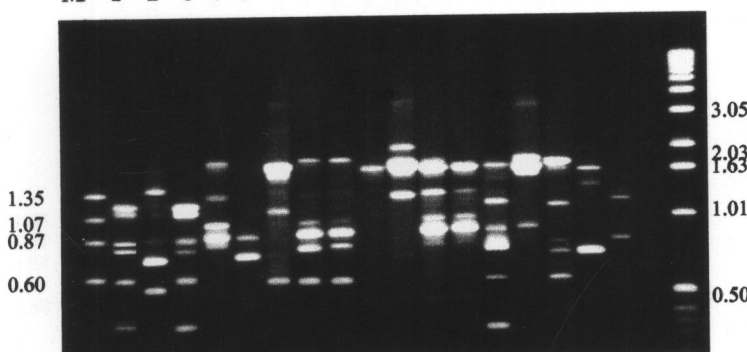
N คือ negative control

M 1 2 3 4 5 6 7 8 9 10 11 12 13 14 15 16 P N L



ภาพ (ก)

M 1 2 3 4 5 6 7 8 9 10 11 12 13 14 15 16 P N L



ภาพ (ข)

ภาพที่ 42 ชิ้นดีอีนเอที่ได้จากการสังเคราะห์ด้วยไพรเมอร์ 4 ร่วมกับดีอีนเอตันแบบของเชื้อไรโซเบียน 32 ไอโซเลท

ก) (lane 1-16) แอบดีอีนจากไรโซเบียน (ถั่วเขียว) ที่แยกจากพืชนที่ อ.กรนวี คือไอโซเลท

P1-P16

ข) (lane 1-16) แอบดีอีนจากไรโซเบียน (ถั่วเขียว) ที่แยกจากพืชนที่ ต. ระเวียง คือไอโซเลท

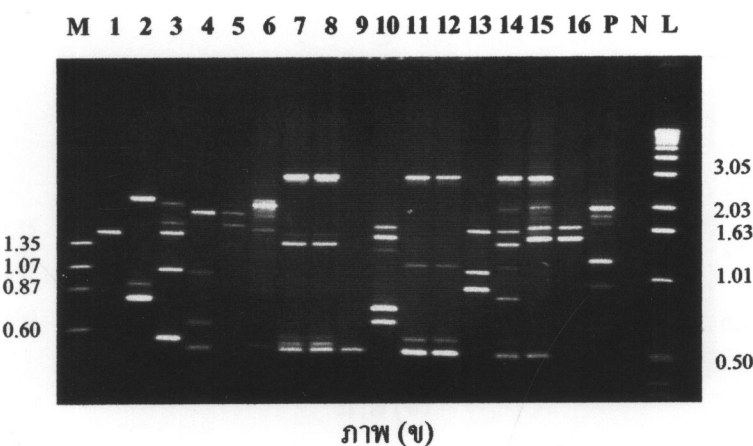
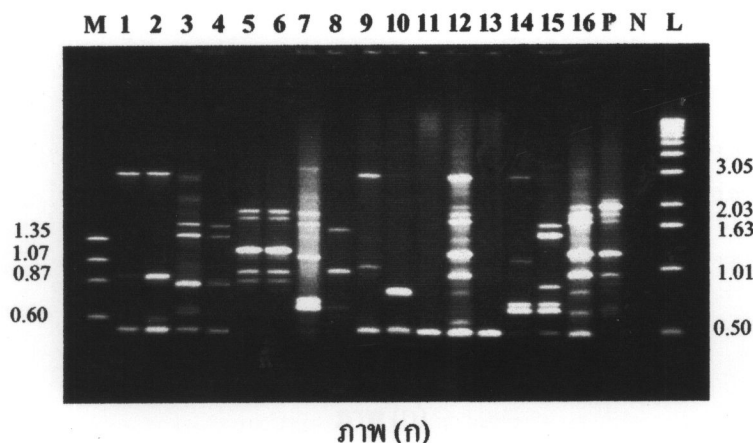
N1-N16

L คือ ดีอีนเอนาตรูาน 1 Kilobase DNA ladder และตัวเลขเป็นกิโลเบส

M คือ ดีอีนเอนาตรูาน φX174 RF DNA/Hae III และตัวเลขกิโลเบส

P คือ แอบดีอีนเอที่เกิดจากเชื้อ ไรโซเบียน (*R. leguminosarum*) สำหรับเป็น positive control

N คือ negative control



ภาพที่ 43 ชิ้นดีเอ็นเอที่ได้จากการสังเคราะห์ด้วยไพรเมอร์ 6 ร่วมกับดีเอ็นเอต้นแบบของเชื้อไวโตรเบียน 32 ไอโซเลท

ก) (lane 1-16) แอบดีเอ็นเอจากไวโตรเบียน (ถั่วเขียว) ที่แยกจากพื้นที่ อ.ครบุรี คือ ไอโซเลท P1-P16

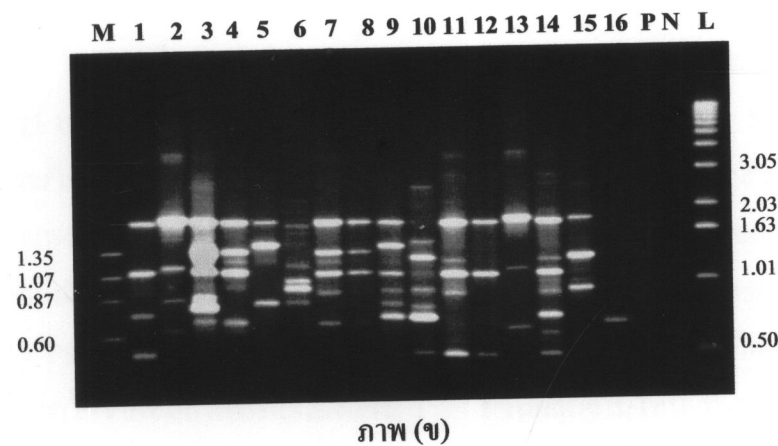
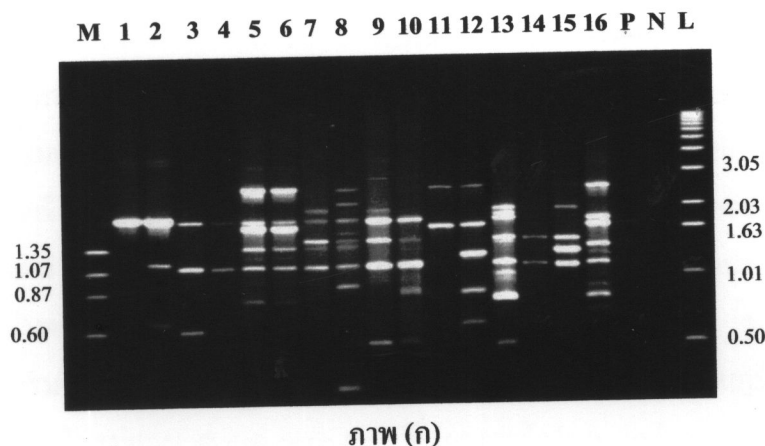
ข) (lane 1-16) แอบดีเอ็นเอจากไวโตรเบียน (ถั่วเขียว) ที่แยกจากพื้นที่ ต. ระเวียง คือ ไอโซเลท N1-N16

L คือ ดีเอ็นเอมาตรฐาน 1 Kilobase DNA ladder แสดงตัวเลขเป็นกิโลเบส

M คือ ดีเอ็นเอมาตรฐาน ϕ X174 RF DNA/Hae III แสดงตัวเลขกิโลเบส

P คือ แอบดีเอ็นเอที่เกิดจากเชื้อ ไวโตรเบียน (*R. leguminosarum*) สำหรับเป็น positive control

N คือ negative control



ภาพที่ 44 ชิ้นดีเอ็นเอที่ได้จากการสังเคราะห์ด้วยไฟรเมอร์ 7 ร่วมกับดีเอ็นเอต้นแบบของเชื้อไวโตรเบียม 32 ไอโซเลท ก) (lane 1-16) และดีเอ็นเอจากไวโตรเบียม (ถั่วเขียว) ที่แยกจากพื้นที่ อ. ครบุรี คือ ไอโซเลท

P1-P16

ข) (lane 1-16) และดีเอ็นเอจากไวโตรเบียม (ถั่วเขียว) ที่แยกจากพื้นที่ ต. ระเวียง คือ ไอโซเลท

N1-N16

L คือ ดีเอ็นเอมาตรฐาน 1 Kilobase DNA ladder และคงตัวเลขเป็นกิโลเบส

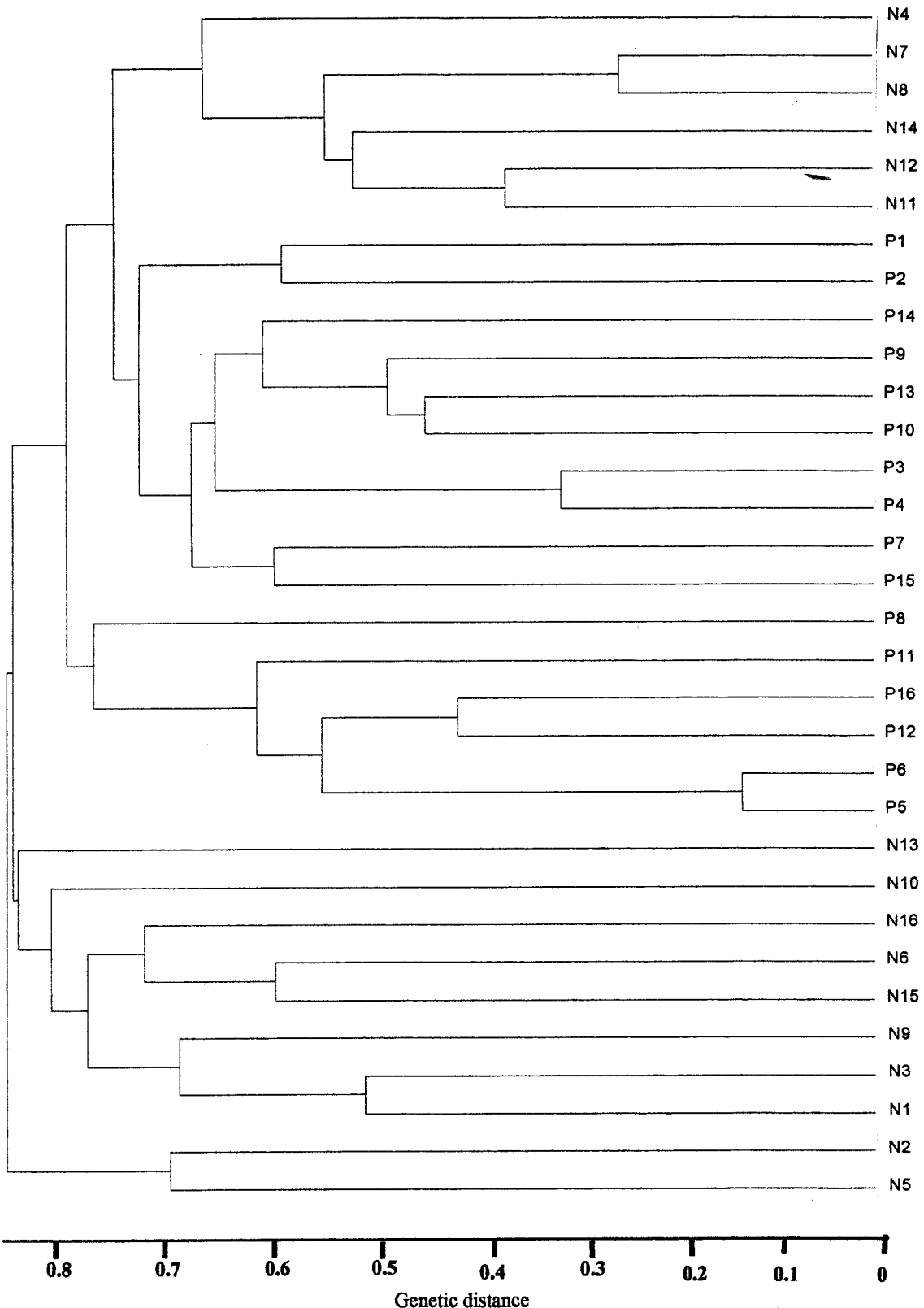
M คือ ดีเอ็นเอมาตรฐาน φX174 RF DNA/Hae III และคงตัวเลขกิโลเบส

P คือ แอบดีเอ็นเอที่เกิดจากเชื้อ ไวโตรเบียม (*R. leguminosarum*) สำหรับเป็น positive control

N คือ negative control

4.5 ผลการวิเคราะห์ RAPD เพื่อการจำแนกและศึกษาความแปรปรวน

จากการนำข้อมูลเกี่ยวกับขนาดและจำนวนแอบของดีเอ็นเอที่สังเคราะห์ได้ จากเทคนิค RAPD จำนวนทั้งสิ้น 64 ชิ้น จาก 5 ไฟรเมอร์ แสดงให้เห็นความแตกต่างของเชื้อไวโตรี้เบี้ยม 32 ไอโซเลทที่แยกได้จากพื้นที่โครงการศึกษา นวิเคราะห์ความแปรปรวนและจัดจำแนกกลุ่มด้วยโปรแกรมคอมพิวเตอร์ Jaccard 's coefficient ข้อมูลจะถูกปรับเปลี่ยนโดยกำหนดเลขสัญลักษณ์ “1” กรณีที่ปรากฏແນບดีเอ็นเอ และกำหนดเลขสัญลักษณ์ “0” กรณีที่ไม่ปรากฏແນບดีเอ็นเอ (ตารางผนวกที่ ๑) จากนั้นวิเคราะห์ข้อมูลด้วยวิธี UPGMA เพื่อคำนวณหาระดับความเหมือนและความต่างของแต่ละ ไอโซเลทที่จะถูกกลุ่มกันจนครบทั้ง 32 ไอโซเลท จากนั้นนำค่าระยะห่างทางพันธุกรรม (genetic distance) (แสดงดังภาคผนวก ๑) ไปเขียนเป็นแผนภูมิแสดงความสัมพันธ์ทางพันธุกรรมในรูปแบบ phylogenetic tree ซึ่งผลการจัดจำแนกกลุ่มของไวโตรี้เบี้ยมทั้ง 32 ไอโซเลท โดยใช้ข้อมูลจาก 5 ไฟรเมอร์ แสดงดังภาพที่ 45 พน.ไอโซเลทไวโตรี้เบี้ยมที่นำมาศึกษาถูกแบ่งออกเป็น 5 กลุ่มที่ต่างกัน ซึ่งเมื่อพิจารณาจากผลพบการแยกกันที่ชัดเจนของกลุ่ม ไอโซเลทที่เก็บจากคืนต่างชนิด โดยสามารถของไอโซเลಥั้งหมดจากกลุ่มจีในไทยปี ที่ 2 และ 3 เป็นเชือที่แยกได้จากคืนหนองระเวียง โดยกลุ่มจีในไทยปีที่ 1 ประกอบด้วยสามารถของไอโซเลทส่วนใหญ่แยกมาจากปั่วเขียวกำแพงแสน 2 อันได้แก่ ไอโซเลท N4 , N7, N8, N11 และ N12 ยกเว้นเพียง ไอโซเลท N14 ได้มาจากการปั่วเขียวกำแพงแสน 1 ส่วนกลุ่มจีในไทยปี ที่ 2 ประกอบด้วยสามารถของไอโซเลท P1, P2, P14, P9, P10 และ P13 ที่แยกได้จากปั่วเขียวกำแพงแสน 1 และ ไอโซเลท P3, P4, P7 และ P15 ที่แยกได้จากปั่วเขียวกำแพงแสน 2 ส่วนกลุ่มจีในไทยปี ที่ 3 ประกอบด้วยสามารถของไอโซเลಥั้งหมด ไอโซเลทส่วนใหญ่ได้มาจากการปั่วเขียวกำแพงแสน 2 ได้แก่ ไอโซเลท P8, P11, P12 และ P16 ยกเว้นเพียง ไอโซเลท P5 และ P6 เท่านั้นที่แยกมาจากปั่วเขียวกำแพงแสน 1 ส่วนกลุ่มจีในไทยปี ที่ 4 ประกอบด้วยสามารถของไอโซเลทส่วนใหญ่ได้มาจากการปั่วเขียวกำแพงแสน 1 ยกเว้นเพียง ไอโซเลท N15 และ N16 เท่านั้น ที่ได้มาจากการปั่วเขียวกำแพงแสน 2 ส่วนกลุ่มจีในไทยปี ที่ 5 ประกอบด้วยสามารถของไอโซเลಥั้งหมดที่ได้มาจากการปั่วเขียวกำแพงแสน 1 ได้แก่ ไอโซเลท N2 และ N5 ขณะเดียวกันเมื่อพิจารณาเปอร์เซ็นต์การแยกกันของไอโซเลทที่เก็บจากปั่วเขียว สายพันธุ์กำแพงแสน 1 และ ปั่วเขียวกำแพงแสน 2 ในแต่ละกลุ่มจีในไทยปีเหล่านี้ จะพบว่าเกือบ ร้อยละ 70 ของจำนวน ไอโซเลಥั้งหมดในกลุ่มจีในไทยปี ที่ 1 และ จำนวน ไอโซเลಥั้งหมดในกลุ่มจีในไทยปี ที่ 3 คือ ไอโซเลทที่เก็บจากปั่วเขียว ก.พ.ส 2 และมากกว่าร้อยละ 70 ของ ไอโซเลท ทั้งหมดในกลุ่มจีในไทยปี ที่ 4 และ จำนวน ไอโซเลಥั้งหมดในกลุ่มจีในไทยปี ที่ 5 พน.ว่าเป็น ไอโซเลทที่เก็บจากปั่วเขียว ก.พ.ส 1 แสดงให้เห็นอย่างชัดเจนว่าชนิดคืนที่ต่างกันเป็นปัจจัยสำคัญที่ทำให้เกิดความแตกต่างทางพันธุกรรมได้มากกว่าสายพันธุ์พืช อย่างไรก็ตามไม่พบการแยกกันของ ไอโซเลทที่เก็บจากต่างช่วงเวลา กัน แสดงให้เห็นว่าช่วงเวลาการตัดเก็บปั่นที่ต่างกันไม่ได้เป็นปัจจัยทำให้เกิดต่างแตกทางพันธุกรรม



ภาพที่ 45 แสดงการจัดจำแนกกลุ่มไว้เบี่ยงถ້วເບີວ 32 ໂອໄສເລັດໃນລັກນະພະ dendrogram (ໂດຍການ
ວິເຄາະທີ່ຂອມລູຈາກ 5 ໄພຣມອ່ອງ)

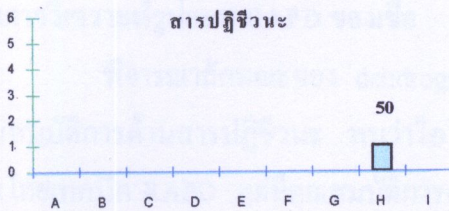
5. เปรียบเทียบข้อมูลการจำแนกความแตกต่างของໄรโซเมย์นจาก 3 เทคนิค คือ พลาสมิคไฟฟ์ คุณสมบัติการด้านสารปฏิชีวนะ และวิเคราะห์รูปแบบ RAPD

5.1 ความสอดคล้องของการจัดจำแนกถ้วนตามคุณสมบัติการด้านสารปฏิชีวนะ และแบบแพนพลาสมิคไฟฟ์ของเชื้อ

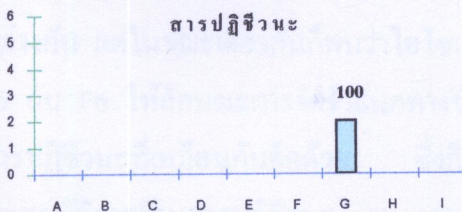
พบว่าสามารถจำแนกความแตกต่างของเชื้อໄรโซเมย์น 32 ไอโซเลท ได้เป็น 11 กลุ่มตามคุณสมบัติการด้านสารปฏิชีวนะและ 9 กลุ่มตามแบบแพนพลาสมิคไฟฟ์ของเชื้อที่ต่างกันในส่วนของจำนวนและขนาด เมื่อคำนวณเป็นตัวเลขพบเก็บร้อยละ 70 ของไอโซเลಥั้งหมด มีการจัดกลุ่มที่เหมือนการโดยพลาสมิคไฟฟ์ และคุณสมบัติการด้านสารปฏิชีวนะ พิจารณาได้จากผลการณ์ของการจำแนกถ้วนตามคุณสมบัติการด้านสารปฏิชีวนะที่เชื่อมโยงกับกลุ่มพลาสมิคไฟฟ์ที่จำเพาะ ดังแสดงในภาพที่ 46 พบ 5 ไอโซเลಥของสมาชิกในพลาสมิคไฟฟ์ กลุ่ม A ให้คุณสมบัติการด้านสารปฏิชีวนะที่ตรงตามกลุ่มที่ 2 กิตเป็นร้อยละ 83 ของจำนวนไอโซเลಥั้งหมดในพลาสมิคกลุ่ม A ทำนองเดียวกันกับการที่พบ 3 ไอโซเลಥของสมาชิกในพลาสมิคไฟฟ์กลุ่ม E ให้คุณสมบัติการด้านสารปฏิชีวนะที่ตรงตามกลุ่มที่ 10 กิตเป็นร้อยละ 75 ของจำนวนไอโซเลಥั้งหมดในพลาสมิคกลุ่ม E และกิตเป็นร้อยละ 67 ของจำนวนไอโซเลಥั้งหมดในพลาสมิคกลุ่ม D ที่ให้คุณสมบัติการด้านสารปฏิชีวนะที่ตรงตามกลุ่มที่ 11 เป็นต้น แต่อย่างไรก็ตามอาจพบคุณสมบัติการด้านสารปฏิชีวนะเดียวกันให้หลายกลุ่มพลาสมิคไฟฟ์ที่ต่างกันก็ได้ ดังจะพบปรากฏการณ์นี้ภายใต้มาตรฐานของ กลุ่มที่ 2, 4, 6 และ 10 ของการจัดจำแนกตามคุณสมบัติการด้านสารปฏิชีวนะที่ต่างกัน แสดงให้เห็นว่าเทคนิคพลาสมิคไฟฟ์สามารถจำแนกความต่างของเชื้อที่มีคุณสมบัติการด้านสารปฏิชีวนะเดียวกันหรือมีคุณสมบัติทางซึ่งในไทยที่เหมือนกันออกจากกันได้

ผลการประเมิน

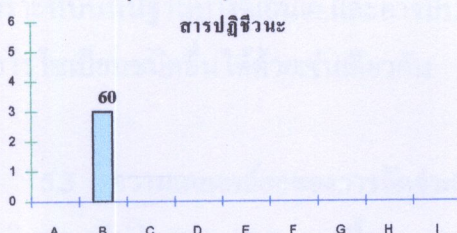
กลุ่มที่ 1 ตามคุณสมบัติการต้านสารปฏิชีวนะ



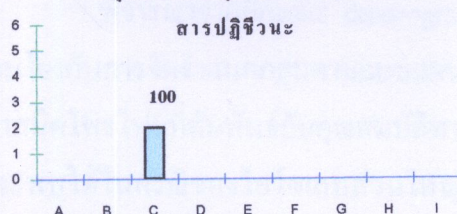
กลุ่มที่ 3 ตามคุณสมบัติการต้านสารปฏิชีวนะ



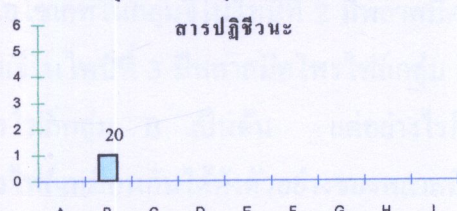
กลุ่มที่ 5 ตามคุณสมบัติการต้านสารปฏิชีวนะ



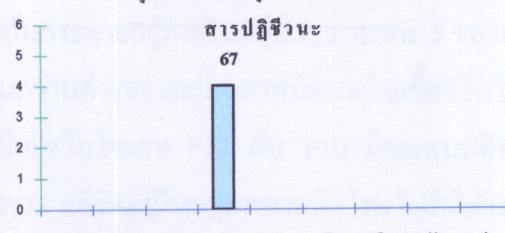
กลุ่มที่ 7 ตามคุณสมบัติการต้านสารปฏิชีวนะ



กลุ่มที่ 9 ตามคุณสมบัติการต้านสารปฏิชีวนะ

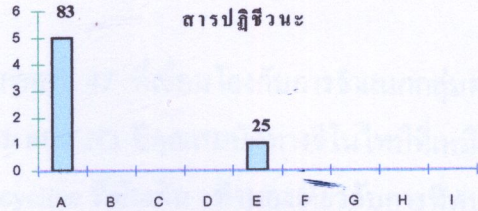


กลุ่มที่ 11 ตามคุณสมบัติการต้านสารปฏิชีวนะ

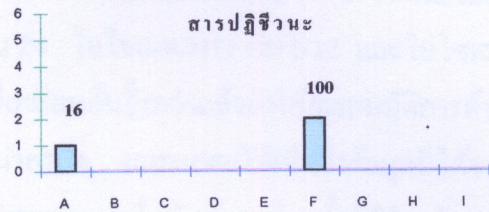


กลุ่มของพลาสมิดโพร์ไฟล์

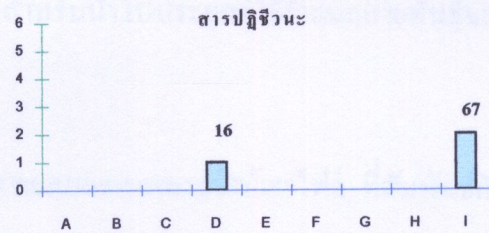
กลุ่มที่ 2 ตามคุณสมบัติการต้านสารปฏิชีวนะ



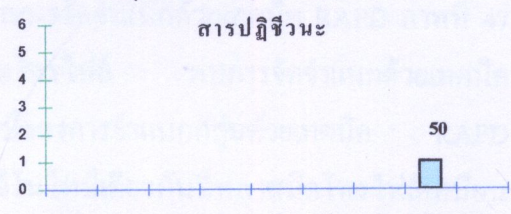
กลุ่มที่ 4 ตามคุณสมบัติการต้านสารปฏิชีวนะ



กลุ่มที่ 6 ตามคุณสมบัติการต้านสารปฏิชีวนะ



กลุ่มที่ 8 ตามคุณสมบัติการต้านสารปฏิชีวนะ



กลุ่มที่ 10 ตามคุณสมบัติการต้านสารปฏิชีวนะ



ภาพที่ 46 แสดงกลุ่มของ ไอ ไซเลทตามคุณสมบัติการต้านสารปฏิชีวนะที่สัมพันธ์กับพลาสมิดโพร์ไฟล์ของเชื้อ (ตัวเลขข้างบนแสดงเปอร์เซ็นต์ของจำนวน ไอ ไซเลททั้งหมดในกลุ่มพลาสมิดโพร์ไฟล์ที่สัมพันธ์กับกลุ่มคุณสมบัติการต้านสารปฏิชีวนะ)

5.2 ความสอดคล้องของการจัดจำแนกกลุ่มตามคุณสมบัติการด้านสารปฏิชีวนะที่สัมพันธ์กับการวิเคราะห์รูปแบบ RAPD ของเชื้อ

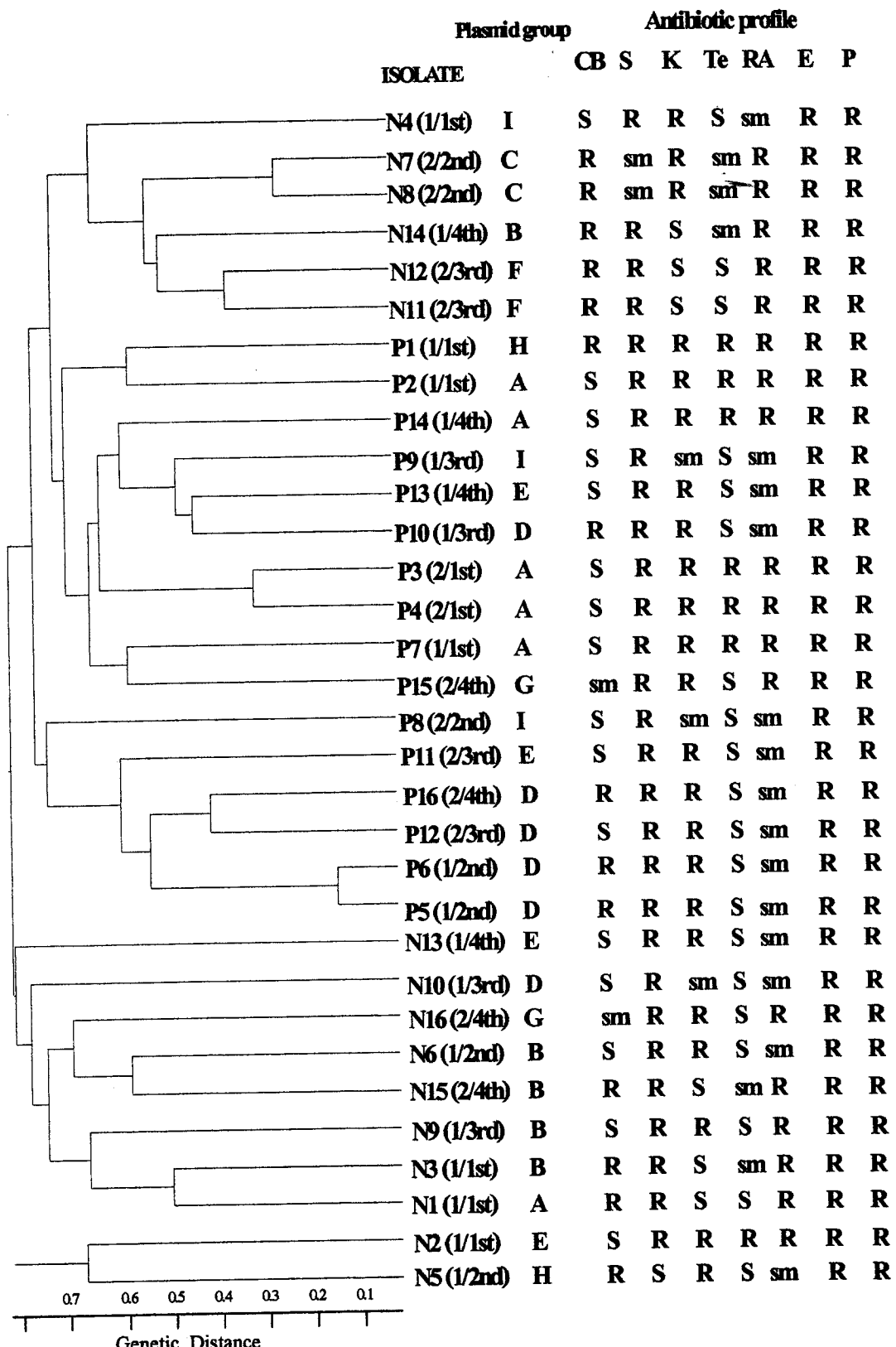
พิจารณาลักษณะของ dendrogram จากภาพที่ 47 ที่เชื่อมโยงกับการจำแนกกลุ่มตามคุณสมบัติการด้านสารปฏิชีวนะ พบร่วมกัน N1 และ N3 มีคุณสมบัติทางจีโนไทป์ที่เหมือนกันโดยเทคนิค RAPD แต่มีคุณสมบัติการด้าน tetracycline ที่ต่างกัน ทำนองเดียวกับการพบร่วมกัน P10 และ P13 มีคุณสมบัติทางจีโนไทป์ที่เหมือนกัน แต่มีคุณสมบัติการด้าน carbenicillin ที่ต่างกัน แต่ในขณะเดียวกันก็พบว่า ไอโซเลท P3 กับ P4 ไอโซเลท N11 กับ N12 และ ไอโซเลท P5 กับ P6 ให้ลักษณะการจัดจำแนกทางจีโนไทป์ที่เหมือนกันยิ่งกว่าเดิมยังให้คุณสมบัติการด้านสารปฏิชีวนะที่เหมือนกันอีกด้วย ซึ่งก็เป็นสิ่งที่น่าสนใจ และแสดงให้เห็นว่าข้อมูลที่ได้จากคุณสมบัติการด้านสารปฏิชีวนะ สามารถนำมาใช้ทำนายความสัมพันธ์ระหว่างเชื้อได้ร่วมกับการวิเคราะห์บนพื้นฐานทางคีเอ็นเอ และอาจมีประโยชน์สำหรับนำໄไปประยุกต์ใช้จำแนกสายพันธุ์ของเชื้อไวโตรีเปียนชนิดอื่นได้ด้วยเช่นเดียวกัน

5.3 ความสอดคล้องของการจัดจำแนกกลุ่มตามแบบแผนพลาสมิคไฟล์ที่สัมพันธ์กับการวิเคราะห์รูปแบบ RAPD ของเชื้อ

พิจารณาจากลักษณะ dendrogram ของผลการจัดจำแนกด้วยเทคนิค RAPD ภาพที่ 47 เชื่อมโยงกับการจัดจำแนกกลุ่มตามแบบแผนพลาสมิคไฟล์ พบร่วมกับคุณสมบัติทางจีโนไทป์ของการจำแนกกลุ่มด้วยเทคนิค RAPD ดังจะพบได้ในกรณีของ ไอโซเลทส่วนใหญ่ในกลุ่มจีโนไทป์เดียวกันมีพลาสมิคไฟล์เหมือนกัน และ ไอโซเลทในกลุ่มจีโนไทป์ต่างกันมีพลาสมิคไฟล์ต่างกัน แสดงให้เห็นดังตัวอย่างของ 5 ไอโซเลทในกลุ่มจีโนไทป์ที่ 2 มีพลาสมิคไฟล์กลุ่ม A ขณะเดียวกันพบ 4 ไอโซเลทในกลุ่มจีโนไทป์ที่ 3 มีพลาสมิคไฟล์กลุ่ม D และ 4 ไอโซเลทในกลุ่มจีโนไทป์ที่ 4 มีพลาสมิคไฟล์กลุ่ม B เป็นต้น แต่ยังไหรก็ตามอาจพบ ไอโซเลทกลุ่มจีโนไทป์ต่างกันมีพลาสมิคไฟล์เหมือนกันได้ดังตัวอย่างของพลาสมิคกลุ่ม B สามารถพบได้ใน ไอโซเลทจีโนไทป์ต่างกันในกลุ่มที่ 1 และ 4 ทำนองเดียวกับ ไอโซเลಥองเรือในพลาสมิคไฟล์ กลุ่ม E พบร่วมกันในกลุ่มที่ 1 และ 4 ของการจัดจำแนกด้วยเทคนิค RAPD ในขณะเดียวกัน ก็พบความต่างของกลุ่มพลาสมิคภายในเรือจีโนไทป์เดียวกันหรือจีโนไทป์ที่ใกล้ชิดกันมาก ดังกรณีของ ไอโซเลท P13 กับ P10 มีคุณสมบัติทางจีโนไทป์ที่สัมพันธ์กัน เมื่อจำแนกด้วยเทคนิค RAPD แต่จัดอยู่ในกลุ่มพลาสมิคไฟล์ที่ต่างกัน ทำนองเดียวกับ ไอโซเลท N3 กับ N1 ซึ่งนี้จึงในไหปีสัมพันธ์กันแต่จัดอยู่ในกลุ่มที่ต่างตามพลาสมิคไฟล์ ด้วยเหตุนี้เอง จึงทำให้ได้ผลการจำแนกที่คุณภาพดีกว่าจะมีความแตกต่างกันอย่างสิ้นเชิง และสิ่งนี้เองแสดงให้เห็นว่า

พลาสมิค โพร์ ไฟล์ เป็นเทคนิคการจำแนกที่ให้ระดับความหลากหลายสูงกว่า RAPD ในบางกรณี ซึ่งเป็นสาเหตุของจุดเด่นประการสำคัญของเทคนิคนี้ที่ควรระวัง คือสามารถจำแนกไอโซเลทเชื่อจีในไทยไปได้ชัดกันออกจากกันได้อย่างถูกต้อง เชิง จึงเป็นข้อเสียที่สำคัญมากของเทคนิคนี้หากเลือกมาใช้จัดจำแนกเพียงลำพังเทคนิคเดียว แต่อย่างไรก็ตามถึงแม้ว่าเทคนิคพลาสมิค โพร์ ไฟล์ จะแสดงให้เห็นความหลากหลายภายในประชากรในระดับที่สูงมาก แต่ก็มีประ予以ชนมากเช่นกันเมื่อนำมาวิเคราะห์ร่วมกับ RAPD จะสามารถจำแนกความแตกต่างของไอโซเลทจีในไทยไปได้ชัดกันมาก ออกจากกัน ได้แล้วข้างแสดงให้เห็นถึงความหลากหลายที่เกิดภายใต้ความหลากหลายในพลาสมิคกลุ่มเดียวกันอีกด้วย ซึ่งข้อมูลการจัดจำแนกจาก 2 เทคนิคนี้ สามารถนำมาใช้ยืนยันความสัมพันธ์ได้ร่วมกับคุณสมบัติพื้นในไทยไปของเชื้อ ตามรายงานของ Teatumroong และคณะ (1996) กล่าวว่า คุณสมบัติการต้านสารปฏิชีวนะที่ต่างกัน สามารถนำมาใช้ยืนยันความสัมพันธ์และจำแนกความแตกต่างของเชื้อได้อย่างมีประสิทธิภาพยิ่งขึ้นเมื่อพิจารณา_r ร่วมกับคุณสมบัติทางจีในไทย ดังนั้นการทดลองนี้จึงเชื่อมผลการศึกษาคุณลักษณะการต้านสารปฏิชีวนะ ไว้ด้วยกันกับ dendrogram ดังภาพที่ 47

จากภาพที่ 47 แสดงผลการจัดจำแนกร่วมกันของทั้ง 3 เทคนิค ในรูปของ dendrogram ที่เชื่อมโยงกับการจำแนกกลุ่มตามแบบแผนพลาสมิค โพร์ ไฟล์ และคุณสมบัติการต้านสารปฏิชีวนะพบไอโซเลท N1 กับ N3 มีคุณสมบัติทางจีในไทยที่สัมพันธ์กันโดยเทคนิค RAPD แต่ให้ผลการจัดจำแนกที่แตกต่างกันตามกลุ่มพลาสมิค โพร์ ไฟล์ และคุณสมบัติการต้านสารปฏิชีวนะของเชื้อ ขณะเดียวกับการพบคุณสมบัติทางจีในไทยต่างกันมีกลุ่มพลาสมิค โพร์ ไฟล์ หรือคุณสมบัติการต้านสารปฏิชีวนะที่เหมือนกันได้ ดังจะพบปรากฏการณ์นี้ในกลุ่มจีในไทยต่างกันของไอโซเลท P13 กับ N2 มีกลุ่มพลาสมิค โพร์ ไฟล์ ที่เหมือนกัน และกลุ่มจีในไทยต่างกันของไอโซเลท P11 กับ N4 มีการจัดกลุ่มตามคุณสมบัติการต้านสารปฏิชีวนะที่เหมือนกัน แต่สิ่งที่น่าสนใจยิ่งที่พบในการทดลองนี้ คือ ความสัมพันธ์กันในลักษณะของผลที่คอมพลีเมนทารี (complementary) กันระหว่าง 3 เทคนิค ดังกรณีของไอโซเลท P12 กับ P16 มีคุณสมบัติทางจีในไทย และกลุ่มของพลาสมิค โพร์ ไฟล์ ที่เหมือนกัน แต่ต้าน carbennicillin ต่างกัน ในขณะเดียวกับกับการพบไอโซเลท P5 กับ P6 และไอโซเลท P3 กับ P4 และ ไอโซเลท N7 กับ N8 มีจีในไทยที่เหมือนกันยิ่งกว่าแล้ว ยังให้คุณสมบัติการต้านสารปฏิชีวนะที่เหมือนกันอีกด้วย ซึ่งเป็นสิ่งที่น่าสนใจอย่างยิ่ง และแสดงให้เห็นว่าข้อมูลที่ได้จากการศึกษาคุณสมบัติทางจีในไทย สามารถนำมาใช้ยืนยันผลได้ร่วมกับคุณสมบัติทางจีในไทยไปของเชื้อ จากการทดลองนี้เปรียบเทียบผลการจัดจำแนกของ 3 เทคนิค ยังพบข้อจำกัดของเทคนิคการจัดจำแนกที่ต่างกันและระดับความหลากหลายที่ตรวจพบภายในประชากรซึ่งอยู่กับเทคนิคที่เลือกใช้ โดยพบว่าพลาสมิค โพร์ ไฟล์ เป็นเทคนิคการจำแนกที่มีความสอดคล้องกับเทคนิค RAPD แต่ให้ความหลากหลายของการจัดจำแนกที่สูงกว่าในบางกรณี



ภาพที่ 47 จัดจำแนกกลุ่มไวรัสเบี้ยนถั่วเขียว 32 ไอโซเลตในรูปของ dendrogram เปรียบเทียบร่วมกับการจัดจำแนกกลุ่มตามพารามิตร ไฟล์ และคุณสมบัติการต้านสารปฏิริชนะของเชื้อสัญลักษณ์ในวงเล็บดัวแรก คือ 1= ถั่วเขียว ก.พ.ส1, 2= ถั่วเขียว ก.พ.ส2 สัญลักษณ์ในวงเล็บดัวที่สอง คือ 1st/ 2nd/3rd/4th= ช่วงเวลาการตัดเก็บตัวอย่างปัจจุบันถั่วเขียวสำหรับใช้แยกเชื้อ คือ 7 กรกฎาคม 2541/ 12 ตุลาคม 2541/ 9 กุมภาพันธ์ 2542/ 17 เมษายน 2542 ตามลำดับ

มีประ โยชน์มากเมื่อวิเคราะห์และจัดจำแนกร่วมกับเทคนิค RAPD จะช่วยลดข้อผิดพลาดที่เกิดขึ้นจากการจำแนกเพียงเทคนิคเดียว และยังแสดงให้เห็นถึงรายละเอียดของการจัดจำแนกภายในจีโนมที่เพิ่มมากขึ้นอีกด้วย ในขณะที่เทคนิค RAPD สามารถใช้เป็นพื้นฐานของการจัดจำแนกໄอโซเลทที่มีพันธุกรรมใกล้ชิดกันไว้ในกลุ่มเดียวกัน และจำแนกໄอโซเลทที่มีความแตกต่างกันไว้ในกลุ่มที่ต่างกัน แต่เมื่อข้อจำกัดตรงไม่สามารถแยกໄอโซเลทที่มีความใกล้ชิดกันทางพันธุกรรมมาก ๆ ออกจากกันได้ ดังนั้น เทคนิคพลาสมิคไฟฟ์ จึงควรนำมาใช้เสริมอีกเป็นเทคนิคประกอบร่วมกับการวิเคราะห์รูปแบบ RAPD ในกรณีที่ต้องการรายละเอียดของการจัดจำแนกภายในจีโนมที่มากยิ่งขึ้น ซึ่งนอกจากจะแสดงให้เห็นความหลากหลายที่เกิดภายในพลาสมิคกลุ่มเดียวกันแล้วยังสามารถแยกໄอโซเลทของจีโนไทป์ใกล้ชิดกันมากออกจากกันได้อีกด้วย ซึ่งผลการจัดจำแนกทางจีโนไทป์ เมื่อนำมาใช้ยืนยันความสัมพันธ์ร่วมกับคุณสมบัติการด้านสารปฏิชีวนะ จะแสดงให้เห็นถึงความต่างของเชื้อที่มีคุณสมบัติทางพีโนไทป์เดียวกัน ซึ่งจะช่วยเพิ่มประสิทธิภาพในการจัดจำแนก และแสดงให้เห็นความสัมพันธ์เชิงวิพากษารายในประชากรของเชื้อที่ละเอียดมากยิ่งขึ้นได้

6. ผลการศึกษาความสามารถในการตรวจไนโตรเจนของໄอโซเบี้ยม 32 ไอโซเลทจากพื้นที่โครงการฯ

ได้ทำการเปรียบเทียบนำหนักแห้งของพืชควบคู่กับการวัดแอกติติวิตี้ของเอนไซม์ในไนโตรเจนจากปูรากถัวที่ได้จากต้นถัวที่ปลูกในสภาพปolder จากเชื้ออื่น ยกเว้นสายพันธุ์ของໄอโซเบี้ยมที่จะทดสอบเท่านั้น ซึ่งวิธีการนี้นักวิชาการเป็นการแสดงความโดยเด่นของໄอโซเบี้ยนสายพันธุ์หนึ่ง ๆ แล้วยังใช้เป็นมาตรฐานการคัดเลือกสายพันธุ์ด้วย

จากการนำเชื้อໄอโซเบี้ยมกลุ่มเจริญเร็วที่แยกได้จากทั้งหมดจำนวน 32 ไอโซเลท มาจัดกลุ่มน้ำ準การตรวจไนโตรเจนด้วยหลักการอธินาย ตามวิธีของ Vincent (1970) โดยนำหนักแห้งของต้นถัวที่ได้รับการใส่เชื้อໄอโซเบี้ยมทั้ง 32 ไอโซเลท มีค่าสูงกว่าต้นถัวที่ไม่ได้ใส่เชื้อย่างมีนัยสำคัญ นอกจากนี้ จำนวนปูน นำหนักปูนแห้ง ยังมีความแตกต่างกันอย่างมีนัยสำคัญระหว่างเชื้อทั้ง 32 ไอโซเลทที่นำมาศึกษา แสดงดังตารางที่ 22 โดยจะไม่พับการสร้างปูนบนต้นถัวที่ไม่ได้รับการใส่เชื้อ (control) (ภาพที่ 48D)

จากตารางที่ 22 เรียงลำดับตามนำหนักแห้งของต้นพืชที่ได้ จากการวิเคราะห์ทางสถิติ เป็นมาตรฐาน พบร่วมในการแบ่งกลุ่มที่ให้นำหนักแห้งสูง คือ อยู่ในช่วง 4.96-3.81 กรัมต่อต้น (ภาพที่ 48A ช่องที่ 1-12) และกลุ่มที่ให้นำหนักต้นแห้งปานกลางอยู่ในช่วง 3.68-2.50 กรัมต่อต้น (ภาพที่ 48A ช่องที่ 13-26) และกลุ่มที่ให้นำหนักต้นแห้งค่อนข้างต่ำอยู่ในช่วง 1.10-0.45 กรัมต่อต้น (ภาพที่ 48A ช่องที่ 27-33) เมื่อหาความสัมพันธ์ระหว่างนำหนักต้นแห้งกับจำนวนปูนพบ

ความสัมพันธ์กันระหว่างน้ำหนักต้นแห้งกับน้ำหนักปูนแห้งมากกว่าจำนวนปูน โดยจะพบว่า ไอโซเลทที่ให้น้ำหนักต้นแห้งสูงมีจำนวนปูนที่เกิดอยู่ในระดับสูงในช่วง 91-61 ปูนต่อตันได้แก่ ไอโซเลท P3(1) P6(2) N5(3) P10(5) P14(6) และ P4(12) (ภาพที่ 48B ช่องที่ 1, 2, 3, 5, 6, 12) ส่วนไอโซเลทที่ให้น้ำหนักต้นแห้งสูง แต่มีจำนวนปูนอยู่ในระดับปานกลางในช่วง 60-31 ปูนต่อตัน ได้แก่ ไอโซเลท P15(4) N16(7) N3(8) P11(9) P12(11) (ภาพที่ 48B ช่องที่ 4, 7, 8, 9, 11) ส่วนไอโซเลทที่ให้น้ำหนักต้นแห้งสูง แต่มีจำนวนปูนต่ำอยู่ในช่วง 26-13 ปูนต่อตัน ได้แก่ ไอโซเลท P5(10) (ภาพที่ 48B ช่องที่ 10) ส่วนการทดลองที่ให้น้ำหนักต้นแห้งปานกลาง แต่มีจำนวนปูนอยู่ในระดับสูง ได้แก่ ไอโซเลท N8(14) N11(15) N6(19) N4(22) P1(26) (ภาพที่ 48B ช่องที่ 14, 15, 19, 22, 26) ส่วนไอโซเลทที่ให้น้ำหนักต้นแห้ง และจำนวนปูนอยู่ในระดับปานกลาง ได้แก่ ไอโซเลท N14(13) N15(20) P16(21) (ภาพที่ 48B ช่องที่ 13, 20, 21) ส่วน ไอโซเลทที่ให้น้ำหนักแห้งปานกลางแต่มีจำนวนปูนต่ำ ได้แก่ ไอโซเลท N7(16) N2(17) N1(18) P7(23) P8(24) P9(25) (ภาพที่ 48B ช่องที่ 16, 17, 18, 23, 24, 25) ส่วนไอโซเลทที่ให้น้ำหนักต้นแห้งค่า แต่มีจำนวนปูนอยู่ในระดับปานกลาง ได้แก่ ไอโซเลท N10(27) P2(29) (ภาพที่ 48B ช่องที่ 27,29) ส่วนไอโซเลทที่ให้น้ำหนักต้นแห้งค่ามีจำนวนปูนต่ำ ได้แก่ ไอโซเลท N13(28) N9(30) N12(31) P13(32) (ภาพที่ 48B ช่องที่ 28, 30, 31, 32) เมื่อเปรียบเทียบน้ำหนักต้นแห้งกับน้ำหนักปูนแห้ง พบร่วมกับไอโซเลทที่ให้น้ำหนักต้นแห้งสูงมีน้ำหนักปูนแห้งสูงอยู่ในช่วง 82.25-58.05 มิลลิกรัมต่อตัน ได้แก่ ไอโซเลท P3(1) P6(2) P15(4) P10(5) P14(6) N16(7) N3(8) P11(9) P5(10) P12(11) (ภาพที่ 48C ช่องที่ 1, 2, 4, 5, 6, 7, 8, 9, 10, 11) ส่วนไอโซเลทที่ให้น้ำหนักต้นแห้งสูงมีน้ำหนักปูนแห้งปานกลาง (52.00-30.05 มิลลิกรัมต่อตัน) ได้แก่ ไอโซเลท N5(3) P4(12) ส่วน ไอโซเลทที่ให้น้ำหนักต้นแห้งปานกลางมีน้ำหนักปูนแห้งสูง และปานกลางในช่วง 69.00-30.05 มิลลิกรัมต่อตัน ได้แก่ ไอโซเลท N14(13) N8(14) N11(15) N7(16) N2(17) N1(18) N6(19) N15(20) P16(21) N4(22) P7(23) P8(24) P9(25) P1(26) (ภาพที่ 48C ช่องที่ 13-26) ส่วน ไอโซเลทที่ให้น้ำหนักต้นแห้งค่อนข้างค่ามีน้ำหนักปูนแห้งค่าอยู่ในช่วง 13.00-9.50 มิลลิกรัมต่อตัน ได้แก่ ไอโซเลท N10(27) N13(28) P2(29) N9(30) N12(31) P13(32) (ภาพที่ 48C ช่องที่ 27-32)

ค่า ARA ที่แสดงถึง nitrogenase activity จากค่าการวิเคราะห์ทางสถิติ พบร่วมกับมีความแตกต่างอย่างมีนัยสำคัญระหว่างเรือห้อง 32 ไอโซเลท ขณะเดียวกันพบน้ำหนักต้นแห้งมีความสัมพันธ์กับค่า ARA มากกว่าน้ำหนักปูนแห้ง ดังจะเห็นว่า ไอโซเลทส่วนใหญ่ที่มีน้ำหนักต้นแห้งสูงมีแนวโน้มให้ค่า ARA สูง (ภาพที่ 48D) แต่อย่างไรก็ตามอาจพบว่า ไอโซเลทที่มีน้ำหนักต้นแห้งต่ำกว่าค่า ARA ที่สูงกว่า ไอโซเลทที่มีค่าน้ำหนักต้นแห้งสูงได้ ดังจะพบปรากฏการณ์นี้ใน ไอโซเลท P1 (ภาพที่ 47C ช่อง 26) ซึ่งมีน้ำหนักต้นแห้งต่ำกว่า ไอโซเลท N7(15) N11(16) N2(17)

(ภาพที่ 47C ช่องที่ 15-17) แต่กลับมีค่า ARA ที่สูงกว่า ไอโซเลททั้ง 3 นอกจากนี้ยังพบอีกว่า น้ำหนักต้นแห้งเดียวกันอาจมีค่า ARA ที่แตกต่างกันได้

จากการศึกษาคำแนะนำหรือบิเวณปัมที่เกิดจากการใส่เชื้อทั้ง 32 ไอโซเลท แสดงดังภาพผนวก ๗ มีอยู่ด้วยกัน 3 แบบ (ภาพที่ 49A-C) คือ แบบเกาะอยู่ที่รากแก้ว ได้แก่ ไอโซเลท P1 P9 N6 N12 เกาะกู่มอยู่ที่รากแขนง ได้แก่ ไอโซเลท P2 P7 P8 P13 P15 N1 N2 N3 N7 N10 N13 N15 เกาะกู่มอยู่ที่รากแก้วและรากแขนง อันได้แก่ ไอโซเลทที่เหลือทั้งหมด โดยจะพบไอโซเลทส่วนใหญ่ที่นำมาศึกษานี้ ให้ลักษณะการติดปูนบริเวณส่วนของรากแขนงหรือรากแขนงกับรากแก้ว ซึ่งจะมีแนวโน้มที่ให้ค่า ARA และน้ำหนักต้นแห้งที่ค่อนข้างสูงกว่า ไอโซเลท ที่สร้างปูนเพียงบริเวณรากแก้วเท่านั้น

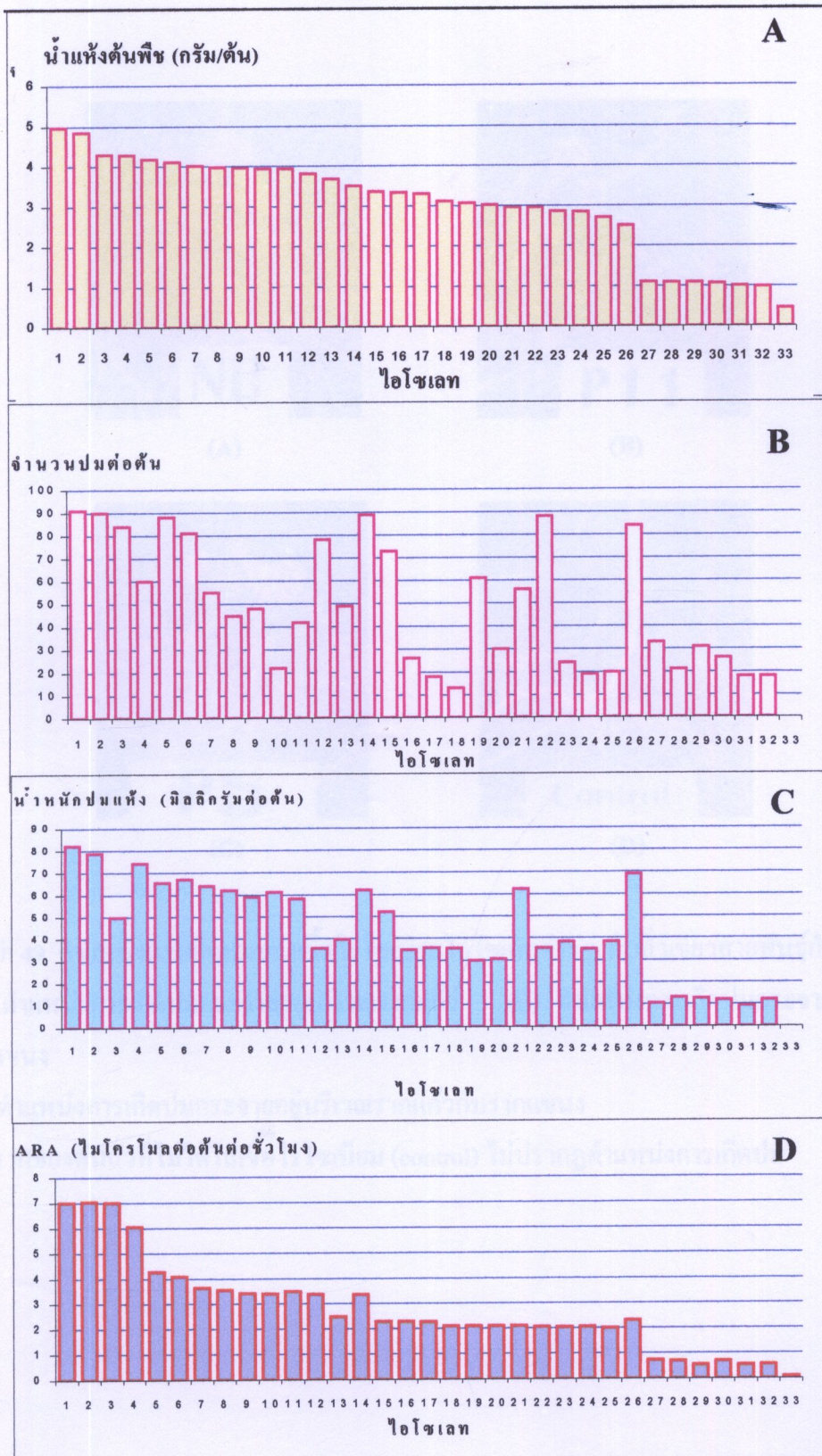
ตารางที่ 22 ผลการวิเคราะห์ค่าทางสถิติของน้ำหนักต้นแห้ง จำนวนปูน น้ำหนักปูนแห้ง และ ARA ของต้นถั่วเขียว เมื่อทดสอบประสิทธิภาพการตรึงในโตรเจนของเชื้อ 32 ไอโซเลทที่แยกจากดินในพื้นที่ป่าทุ่งหญ้า อ. ครบุรี และป่าเบญจพรรณ ต.หนองระเวียง ร่วมกับถั่วเขียวสายพันธุ์ ก.พ.ส 2 โดยวิธี Leonard jar เก็บเกี่ยวพืชอายุ 40 วัน

No	ไอโซเลท	ตัวแหน่งที่ติดปูน	น้ำแห้งต้นพืชกรัมต่อต้น	ARA $\mu\text{mol}/\text{plant/hr.}$	น้ำหนักปูนแห้ง มิลลิกรัมต่อต้น	จำนวนปูน
1	P3	รากแก้ว/แขนง	4.96 a	6.9863 a	82.25 a	91 a
2	P6	รากแก้ว/แขนง	4.84 a	7.0260 a	78.80 a	90 a
3	N5	รากแก้ว/แขนง	4.29 ab	6.9761 a	49.80 cb	84 a
4	P15	รากแขนง	4.28 ab	6.0555 a	74.35 a	60 b
5	P10	รากแก้ว/แขนง	4.17 b	4.2548 a	65.50 ab	88 a
6	P14	รากแก้ว/แขนง	4.11 b	4.0866 a	67.00 ab	81 a
7	N16	รากแก้ว/แขนง	4.01 b	3.6356 a	64.00 ab	55 b
8	N3	รากแขนง	3.98 b	3.5330 a	62.00 b	45 bc
9	P11	รากแก้ว/แขนง	3.96 b	3.4092 a	59.00 b	48 bc
10	P5	รากแขนง	3.94 b	3.3894 a	61.20 b	22 cd
11	P12	รากแก้ว/แขนง	3.94 b	3.4791 a	58.05 b	42 bc
12	P4	รากแก้ว/แขนง	3.81 b	3.3741 a	35.90 d	78 a
13	N14	รากแก้ว/แขนง	3.68 bc	2.4802 ab	39.80 cd	49 bc
14	N8	รากแก้ว/แขนง	3.51 bc	3.3525 a	62.00 b	89 a
15	N11	รากแก้ว	3.36 bc	2.2844 ab	52.00 cb	73 ab

16	N7	รากแก้ว/แขนง	3.34 bc	2.2776 ab	35.05 d	26 cd
17	N2	รากแขนง	3.31 bc	2.2639 ab	35.90 d	18 cd
18	N1	รากแขนง	3.11 c	2.1056 ab	35.50 d	13 d
19	N6	รากแก้ว	3.07 c	2.1094 ab	30.05 d	61 ab
20	N15	รากแขนง	3.02 c	2.0996 ab	30.70 c	30 c
21	P16	รากแขนง	2.96 c	2.0838 ab	62.30 b	56 b
22	N4	รากแก้ว/แขนง	2.96 c	2.0606 ab	35.60 d	88 a
23	P7	รากแขนง	2.86 c	2.0376 ab	38.55 cd	24 cd
24	P8	รากแก้ว/แขนง	2.84 c	2.0639 ab	35.20 d	19 cd
25	P9	รากแขนง	2.71 cd	2.0159 ab	38.55 cd	20 cd
26	P1	รากแก้ว	2.50 d	2.3089 ab	69.00 ab	84 a
27	N10	รากแขนง	1.10 e	0.7306 ab	10.55 e	33 c
28	N13	รากแก้ว/แขนง	1.08 e	0.6941 ab	13.00 e	21 cd
29	P2	รากแขนง	1.08 e	0.5401 ab	12.50 e	31 c
30	N9	รากแขนง	1.06 e	0.6955 ab	12.00 e	26 cd
31	N12	รากแขนง	1.01 e	0.5397 ab	9.50 e	18 cd
32	P13	รากแก้ว	0.98 e	0.5583 ab	12.00 e	18 cd
33	control	-	0.35 f	0.0914 c	0.00 f	0.00 e

ARA = nitrogenase activity ($\mu\text{mol}/\text{plant/hr.}$)

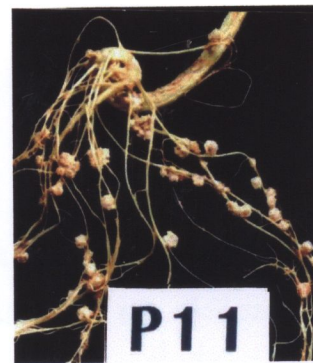
ค่าเฉลี่ยที่ตามด้วยอักษรเดียวกัน ถือว่าไม่มีความแตกต่างกันทางสถิติที่ระดับความเชื่อมั่น 95% โดย DMRT



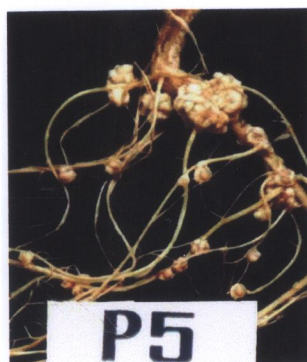
ກາພີ້ 48 ແສດຜົດກາທດສອບ 4 ຄຸນສົມບັດກາຕຽງໃນໂຕຮເຈນຂອງເຊື້ອໄຣໂຫຼເດກ 32 ໄອໄຫຼເດກ ຮ່ວມກັບດັນຄໍ້າທີ່ໄມ່ໄດ້ໃສ່ເຊື້ອ (control) (A) ນ້ຳໜັກແກ່ງຕັນພື້ນ (B) ຈຳນວນປມຕ່ອຕ້ນ (C) ນ້ຳໜັກປມແກ່ງ (D) Acetylene Reduction Assay (ARA)



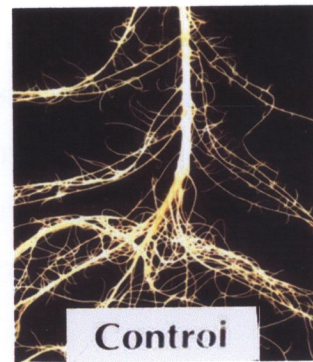
(A)



(B)



(C)



(D)

ภาพที่ 49 ตัวແນ່ນ່າງກේດປົມຂອງເຊື້ອໄຣໂຫຼວິນໄອໂຫລທ່າງ ๆ ກັບຄໍ້ວເຈີວສາຍພັນຮູກຳແພັກແສນ 2

(A) ຕໍ່າແນ່ນ່າງກේດປົມກະຈາຍອູ້ນົບຮົວມາກແກ້ວ ; (B) ຕໍ່າແນ່ນ່າງກේດປົມກະຈາຍອູ້ນົບຮົວມາກແກ້ວແນ່ນ

บทที่ 6
อภิปรายผลการศึกษา

ตอนที่ 1

1. การศึกษาปัจจัยทางกายภาพของดิน

ค่าความเป็นกรด-ด่างของดินในพื้นที่อยู่ในช่วง 5.8 – 7.36 ซึ่งเป็นช่วงที่เป็นกลางถึงกรด อ่อนๆ โดยทั่วไปแบคทีเรียส่วนใหญ่ในดินเจริญได้ดีในช่วง pH 6.5 ซึ่งมีสภาพเป็นกลางถึงกรด อ่อนๆ (ประกิตต์สิน สีหันนท์ 2540) ค่าความเป็นกรด - ด่างของพื้นที่ศึกษาโดยเฉลี่ยแล้วอยู่ในช่วง 6.1 – 6.9 และเนื่องจากแปลงศึกษาในพื้นที่ป่า อ. ครบุรี มีสภาพที่เป็นกลางสูงกว่า แปลงศึกษา ในพื้นที่ป่า ต. หนองระเวียง จึงอาจเป็นปัจจัยหนึ่งที่ช่วยส่งเสริมให้ปริมาณไนโตรเจนในพื้นที่ป่า อ. ครบุรี มีมากกว่า ดังการทดลองนี้พบว่าปริมาณไนโตรเจนลดลงในทุกพื้นที่ในช่วงเดือนมีนาคม ปี 2542 ซึ่งเป็นช่วงที่ค่าความเป็นกรด-ด่างในพื้นที่ศึกษามีแนวโน้มเฉลี่ยสูงขึ้นໄกส์เดียงกับความเป็นกลางมากที่สุด คือ 6.8 ซึ่งแสดงให้เห็นว่าการเพิ่มเข็มหรือลดลงของปริมาณไนโตรเจนในดิน อาจเข้ามายังปัจจัยสำคัญอีกหลายปัจจัยที่นอกเหนือจากค่าความเป็นกรด-ด่างของดิน

ปัจจัยที่มีความชัดเจนที่สุดในพื้นที่ป่าทุ่งหญ้าครบุรี มีค่าสูงกว่าแปลงศึกษาในพื้นที่ป่า หนองระเวียง อาจเนื่องจากผลที่เกิดจากชนิดของดิน แปลงศึกษาในพื้นที่ป่าทุ่งหญ้าครบุรีลักษณะเนื้อดินละเอียด การยึดเกาะของเม็ดดินและโครงสร้างของดินมีความสามารถอุ้มน้ำได้ดีกว่าดินในพื้นที่ป่าหนองระเวียง ซึ่งมีลักษณะเนื้อดินเป็นดินทรายประกอบกับหลักความจริงที่ว่าอนุภาคของดินขนาดเล็กย้อมมีความสามารถอุ้มน้ำได้ดีกว่าดินขนาดใหญ่ หรือดินทราย (สมศักดิ์ วงศ์วิวัฒน์, 2525) นอกจากนี้ปัจจัยที่มีความชัดเจนที่สุดในพื้นที่ป่าทุ่งหญ้าครบุรี อาจมีสาเหตุมาจากการชนิดของประชากรพืชในป่าทุ่งหญ้าครบุรีมีระบบ rak เป็นระบบ rak ผลอยทำให้มีโอกาสที่จะอุ้มน้ำได้มากกว่า โดยที่พื้นที่ป่าทุ่งหญ้าครบุรีมีลักษณะป่าเป็นป่าเต็งรัง ชนิดของพืชส่วนใหญ่เป็นไม้ยืนต้นขนาดใหญ่และไม่มีพุ่มที่มีระบบ rak ลึกกว่า แต่ความสามารถอุ้มน้ำให้กับดินได้มากไม่เท่ากับระบบ rak ผล (วิทยุ ชินพันธุ์, 2537) ในช่วงเดือนมีนาคม 2542 เป็นช่วงที่มีปัจจัยที่มีความชัดเจนที่สุดเนื่องจากเป็นช่วงฤดูแล้ง แต่ความคาดเคลื่อนอาจเกิดขึ้นได้บ้างขณะการเก็บตัวอย่างเนื่องจากอิทธิพลของฝนที่ตกลงมาในช่วงเวลาหนึ่น

ปัจจัยที่มีความชัดเจนที่สุดในพื้นที่ป่าทุ่งหญ้าครบุรี มีค่าสูงกว่าพื้นที่ป่าหนองระเวียง อาจมีสาเหตุเนื่องมาจากพื้นที่ทุ่งหญ้า อ. ครบุรี มีลักษณะป่าเป็นพื้นที่ป่าเปียกที่พื้นที่สูงจะเริ่มมีการพัฒนา และปรับปรุงพื้นฟูสภาพ จึงทำให้ปริมาณความหลากหลายทางพันธุกรรมของสิ่งมีชีวิต

รวมถึงจุลินทรีย์ในคินมีน้อย ดังนั้น กิจกรรมในการย่อยสลายอินทรีย์ต่ำที่เกิดขึ้นในคินจึงมีน้อยตามไปด้วย มีผลทำให้เกิดการสะสมของปริมาณอินทรีย์ต่ำในคินมาก ซึ่งแตกต่างจากพื้นที่ป่าเบญจพรรณ ตำบลหนองระเวียง ลักษณะป่ามีการพัฒนามาเป็นเวลานานแล้ว การหมุนเวียนธาตุอาหารต่างๆ กำลังเข้าสู่ภาวะสมดุลย์และเป็นวงจรใกล้ปิด จึงทำให้ปริมาณและความหลากหลายทางพันธุกรรมของสิ่งมีชีวิตรวมถึงจุลินทรีย์กลุ่มตรึงในโตรเจน และกลุ่มย่อยสลายในคิน มีมากกว่า เป็นเหตุผลให้กิจกรรมการย่อยสลายของอินทรีย์ต่ำในคินมีมากและเกิดขึ้นได้อ่ำงรวดเร็วตามไปด้วย ทำให้มีการสะสมอินทรีย์ต่ำในคินต่อ ธาตุอาหารส่วนใหญ่ที่ได้จากการย่อยสลายอินทรีย์ต่ำโดยจุลินทรีย์ในคินนี้ จะถูกดำเนินการส่งไปเก็บไว้ในรูปของเนื้อเยื่อพืช ซึ่งสิ่งนี้จะเป็นกลไกป้องกันการสูญเสียธาตุอาหารไปจากระบบนิเวศโดยการชะล้างของฝน และเมื่อใดที่ใบพืชเริ่มแก่ตัวร่วงลงมาทับกัน จะถูกย่อยสลายเป็นธาตุอาหารหมุนเวียนกลับคืนสู่ระบบบันนิเวศ และมีจำนวนน้อยที่ถูกชะล้างไปได้ด้วยการกัดเซาะ (Richards et al., 1994) นอกจากนี้การทดลองนี้ยังพบปริมาณอินทรีย์ต่ำมีค่าสูงในทุกพื้นที่ศึกษาในช่วงเดือนกรกฎาคมปี 2542 เนื่องจากเป็นช่วงที่มีการร่วงหล่นของใบพืชบางชนิด มีการเปลี่ยนแปลงอุณหภูมิและความชื้นของวันเริ่มเข้าฤดูหนาว สามารถทำให้กิจกรรมของจุลินทรีย์ในคินลดลง เป็นผลให้การสะสมของเปอร์เซ็นต์อินทรีย์ต่ำมีมากขึ้น ปริมาณของอินทรีย์ต่ำที่สะสมในคินนี้ บ่งบอกถึงการมีแหล่งอาหารและการหมุนเวียนของธาตุอาหารเกิดขึ้นภายในคิน เมื่อใดที่ค่าเปอร์เซ็นต์อินทรีย์ต่ำ และเปอร์เซ็นต์ความชื้นในคินมีค่าคงที่สูงมาก อีกทั้งแสดงว่าป่านี้มีความอุดมสมบูรณ์ (ศรีศักดิ์ นานี, 2540)

การศึกษาความสัมพันธ์ทางกายภาพคินบางประการที่มีผลต่อปริมาณเรือไรโซเมียนในคินนี้ จำเป็นต้องศึกษาจากหลายปัจจัยร่วม งานวิจัยนี้เลือกศึกษาเปอร์เซ็นต์ความชื้น เปอร์เซ็นต์อินทรีย์ต่ำ และค่าความเป็นกรด – ด่าง ซึ่งไม่เพียงพอที่จะเป็นตัวกำหนดปริมาณเรือไรโซเมียนในคินได้ ดังเช่น การที่พบว่าเปอร์เซ็นต์ความชื้นและเปอร์เซ็นต์อินทรีย์ต่ำภายในคินบริเวณเด็นทางการสัญญา มีค่าสูงกว่าแปลงศึกษาในพื้นที่ป่าบนองระเวียง แต่ก็มีได้หมายความว่า ปริมาณไรโซเมียนในบริเวณเด็นทางการสัญญาจะต้องมีค่ามากกว่า เพราะยังมีปัจจัยร่วมสำคัญอื่น ๆ ที่มีผลต่อปริมาณและการมีชีวิตลดลงไรโซเมียนในคินอีกมาก many (สมศักดิ์ วงศ์, 2525) อาทิเช่น ระบบการปลูกพืช อุณหภูมิ ปริมาณของก๊าซออกซิเจน และปริมาณของธาตุอาหารในคิน เป็นต้น (กลุ่มงานวิจัยจุลินทรีย์ในคิน, 2541)

2. การศึกษาปริมาณเชื้อไวรัสเปลี่ยนในดิน

การประเมินปริมาณเชื้อไวรัสเปลี่ยนในดิน ด้วยวิธี MPN – Plant infect technique เป็นวิธีที่มีประสิทธิภาพและนิยมใช้กันมากในการตรวจนับปริมาณเชื้อไวรัสเปลี่ยนในดิน ซึ่งการประเมินปริมาณของเชื้อไวรัสเปลี่ยนเฉพาะสายพันธุ์ ทำได้โดยใช้พืชทดสอบที่มีความจำเพาะเจาะจงกับชนิดของไวรัสเปลี่ยนที่ต้องการศึกษา และเนื่องจากพืชส่วนใหญ่ในพื้นที่ศึกษาเป็นพืชในกลุ่ม cowpea ซึ่งมีอยู่นากมายหลายชนิด ในงานวิจัยนี้ทำการศึกษาปริมาณไวรัสเปลี่ยนในกลุ่ม cowpea ในดินจากหลายพื้นที่ที่มีระบบการเพื่อฟูสภาพป่าที่ต่างกัน โดยใช้ถั่วเขียวเป็นพืชทดสอบ พบว่าปริมาณเชื้อไวรัสเปลี่ยนกลุ่ม cowpea จากดินในพื้นที่โครงการศึกษานี้ค่าเฉลี่ยอยู่ในช่วง 2.88 – 6,541 เซลล์ต่อกรัมดินแห้ง โดยปริมาณไวรัสเปลี่ยนมีมากในพื้นที่ป่าทุ่งหญ้า อ. ครบุรี บริเวณแปลงที่มีการดำเนินงานปรับปรุงสภาพดิน โดยการปลูกกล้าไม้ร่วมกับชุดคันดินกันน้ำ (GLDP) ซึ่งแตกต่างจากแปลงศึกษาที่มีลักษณะเป็นป่าทุ่งหญ้าทึ่งหมื่นตรวจอไปถึงแปลงศึกษาในพื้นที่ป่าหน่องระเวียง ทั้งนี้อาจเนื่องมาจากการความเป็นกลาง ปริมาณความชื้นและปริมาณอินทรีย์ต่ำ ในดินที่มีมากกว่า หรือเกี่ยวเนื่องกับหลายปัจจัยร่วมภายในดิน โดยเฉพาะอย่างยิ่งชนิดและปริมาณพืชที่ปลูก เนื่องจากไวรัสเปลี่ยนแบคทีเรียในดินที่มีวงชีวิตแบบพึ่งพาประกอบกับลักษณะพิเศษเฉพาะตัวในการเลือกที่จะเกิดปัมกับถั่วแต่ละชนิดอย่างจำเพาะ จึงเป็นเหตุให้พบว่าแปลงที่มีการปลูกพืชจำพวกกล้าไม้ร่วมกับถั่วน้ำมะชะ ตรวจพบปริมาณไวรัสเปลี่ยนในดินมากกว่าบริเวณอื่นที่ไม่มีการปลูกพืชหรือมีเพียงการปลูกพืชตระกูลหญ้าหรือพืชสัมฤทธิชนิดอื่นๆ ที่นอกเหนือจากพืชตระกูลถั่ว ดังเช่นการทดลองของ นันทกร และคณะ (2526) พบว่าระบบการปลูกพืชและอิฐริพลดลงถึงเวลาร้อยต่อการเปลี่ยนแปลงจำนวนประชากร ไวรัสเปลี่ยนในดิน โดยในดินที่มีการปลูกพืชหลายชนิดร่วมกับพืชตระกูลถั่ว หรือดินแอบหุ่งหญ้าที่มีประชากรไวรัสเปลี่ยนอยู่มากกว่าบริเวณที่ไม่มีการปลูกถั่วรวมถึงบริเวณว่างเปล่าที่ไม่มีการปลูกพืช ส่วนการที่พบว่าปริมาณไวรัสเปลี่ยนเฉลี่ยต่ำสุดในบริเวณเด็นทางการสัญจร อาจเนื่องมาจากดินบริเวณนี้ไม่มีการปลูกพืช ลักษณะเนื้อดินเป็นดินเหนียว อากาศถ่ายเทไม่ดี ปริมาณออกซิเจนต่ำ เป็นผลให้การเจริญของแบคทีเรียในดินต่ำกว่าบริเวณที่มีการปลูกพืช ทั้งนี้เนื่องจากเชื้อไวรัสเปลี่ยนจะดำรงชีวิตอยู่ในดินได้ดีในสภาพที่มีการเพาะปลูก เพราะพืชจะช่วยปลดปล่อยสารอาหารสำหรับการเจริญของไวรัสเปลี่ยน ดังที่ Starky และคณะ (1958) ได้รายงานว่าหากพืชมีส่วนช่วยปล่อยสารเจริญของแบคทีเรีย เพราบริเวณรอบรากพืช มีกรดอะมิโนหลายชนิดสะสม ที่เป็นปัจจัยช่วยกระตุ้นการเจริญ (growth factor) ของชุลินทรีย์ โดยกรดอะมิโนเหล่านี้อาจถูกปล่อยออกมายจากรากพืช หรือเกิดจากการเน่าเสียของชิ้นส่วนพืช หรือสังเคราะห์ขึ้นโดยชุลินทรีย์บริเวณราก ส่วนการที่พบว่าพื้นทุ่งหญ้าที่ปล่อยให้มีการเปลี่ยนแปลงสภาพลงตามธรรมชาติ (GLC) มีค่าเฉลี่ยของปริมาณไวรัสเปลี่ยนอยู่ในระดับปานกลาง ไม่แตกต่างจากพื้นที่ป่าหน่องระเวียง ทั้งนี้อาจเนื่องมาจากการพื้นที่เหล่านี้อาจมีพืชตระกูลถั่วชนิดต่างๆ ที่เจริญอยู่ได้เองตามธรรมชาติเกิดขึ้นเป็นจำนวนมาก และถ้าเหล่านี้สามารถเกิดปัมได้

กับไร้โซเดียมที่เป็นชนิดเดียวกันกับถั่วเขียวที่นำมาใช้เป็นพืชทดลอง จึงทำให้พบว่าในคืนบริเวณนี้ มีปรากฏการณ์ของไร้โซเดียมกลุ่ม cowpea เกิดขึ้นได้ (นันทกร และคณะ, 2526) นอกจากนี้การที่พับบริเวณเชือ้ไร้โซเดียมในคืนแต่ละบริเวณมีความแตกต่างกัน อาจเนื่องมาจากการของคืนที่มีองค์ประกอบทางเคมีที่ต่างกัน แม้ว่าในคืนใกล้เคียงกันยังมีความแตกต่างกันของสัดส่วนธาตุอาหารที่เปลี่ยนแปลงไปตลอดเวลา อย่างไรก็ตามบริเวณของเชือ้ไร้โซเดียมในคืน อาจใช้เป็นดัชนีบ่งชี้ความอุดมสมบูรณ์ของคืนได้ด้วยวิธีหนึ่ง ทั้งนี้เนื่องจากกรรมการดำรงชีวิตของเชือ้ไร้โซเดียมภายในคืนมีหลายปัจจัยมาเกี่ยวข้อง อาทิ เช่น การมีชีวิตของเชือ้กับพืชอาศัย BoonKerd และ Weaver (1982) พนว่าการที่เชือ้ไร้โซเดียมจะมีชีวิตอยู่ในคืนได้ดีเพียงใดขึ้นอยู่กับอุณหภูมิและความชื้นภายในคืน ซึ่งไร้โซเดียมโดยทั่ว ๆ ไปจะไม่สามารถดำรงชีวิตอยู่ได้ในคืนที่มีอุณหภูมิหรือความแห้งแล้งภายในคืนสูงรวมถึงระบบของการเพาะปลูกก็อาจมีผลต่อการมีชีวิตของไร้โซเดียมภายในคืนด้วย (Weaver et al., 1987) นอกจากนี้ ค่าความเป็นกรดของคืน สภาพความแห้งแล้งในแต่ละฤดูกาล สถานะน้ำท่วมขังรวมไปถึงการเปลี่ยนแปลงของสภาพภูมิอากาศที่แปรปรวนในแต่ละปี มีผลทำให้เกิดการลดลงของปริมาณไร้โซเดียมภายในคืนด้วยกันทั้งสิ้น (Willing 1967 ; Day et al., 1978)

จากข้อมูลการวิจัยครั้งนี้นับว่ามีประโภชน์สำหรับการนำมาใช้เป็นแนวทางการปรับปรุงพื้นที่สภาพป่า ว่าควรจะปรับปรุงด้วยวิธีใดต่อไป จำเป็นต้องปรับปรุงโดยใช้เชือ้ไร้โซเดียมร่วมกับการปลูกถั่วหรือไม่ แต่อย่างไรก็ตามบริเวณที่มีการตรวจพบปริมาณไร้โซเดียมอยู่เป็นจำนวนมากมากก็ไม่อาจคาดได้ว่าไม่จำเป็นต้องใช้เชือ้ไร้โซเดียมในการปรับปรุงคืน ทั้งนี้ก็เพราะว่าถ้าคืนแห้งน้ำนี้ไร้โซเดียมที่มีประสีทิชีภาพการตรึงไนโตรเจนต่ำหรือไม่มีการตรึงไนโตรเจนเลยก็ย่อมไม่เกิดประโภชน์อะไร และจำเป็นต้องใช้เชือ้ไร้โซเดียมสายพันธุ์ที่มีประสีทิชีภาพสูง ซึ่งการคัดเลือกสายพันธุ์ไร้โซเดียมที่มีศักยภาพการตรึงไนโตรเจนสูงนี้ จำเป็นต้องศึกษาและทำการวิจัยเพื่อคัดแยกเชือ้ในขั้นต่อไป

ตอนที่ 2

1. การแยกเชือ้ และทดสอบ presumptive – confirm rhizobia test

การจำแนกตามระบบ cross inoculation group ตาม Burgey's manual of Systematic Bacteriology และสมศักดิ์ วงศ์ (2540) กล่าวว่า เชือ้ไร้โซเดียมที่แยกจากปัจจุบันถั่วเขียวประกอบด้วย 2 ตกลุ่ม คือ *Bradyrhizobium sp.* และ *Rhizobium sp.* และเนื่องจาก

ไร้โซบียนกลุ่มเจริญเร็วมีคุณสมบัติการมีพลาสติกขนาดใหญ่ที่ควบคุมการเจริญแบบชีวสัมพันธ์ ซึ่งมีบทบาทสำคัญต่อโครงสร้างวิวัฒนาการของจุลินทรีย์ ในขณะที่ *Bradyrhizobium sp.* ไม่มีพลาสติกคล่องกล่าว ซึ่งการจำแนกความแตกต่างระหว่างเชื้อ 2 ชนิดนี้ ทำได้โดยอาศัยความสามารถในการสร้างกรด-ค่างบนอาหาร YM ที่มีบรอมไทรามอยด์ เป็นอนดิเคเตอร์ (มีสีเขียว) โดยเชื้อไร้โซบียนจะมีคุณสมบัติในการสร้างกรดเปลี่ยนสีอาหารจากสีเขียวเป็นสีเหลือง ในขณะที่เชื้อ *Bradyrhizobium* จะมีคุณสมบัติในการสร้างค่างเปลี่ยนสีอาหารจากสีเขียวเป็นสีน้ำเงิน ตามรายงานของ Norris (1965) จัดให้โซโลที่สร้างกรดเป็นพวก *Rhizobium* และโซโลที่สร้างค่างเป็นพวก *Bradyrhizobium* นอกจากนี้แล้วอัตราการเจริญและขนาดของโคลนนิ่งสามารถนำมายieldเป็นเกณฑ์ในการจำแนกสกุลของไร้โซบียนได้เช่นกัน ดังรายงานการวิจัยของ Lindstrom และคณะ (1983) และพรพรรณ งสันติคุณ (2528) ใช้ขนาดของโคลนนิ่งและอัตราการเจริญเป็นเกณฑ์ในการจำแนกสกุลของไร้โซบียน โดยกำหนดให้โซโลที่สร้างโคลนนิ่งภายในเวลา 5-10 วัน และมีเส้นผ่าศูนย์กลางของโคลนนิ่งกว่า 1 มิลลิเมตร เป็น *Bradyrhizobium* และโซโลที่สร้างโคลนนิ่งภายในเวลาเพียง 3 – 5 วัน และมีเส้นผ่าศูนย์กลางของโคลนนิ่งมากกว่า 1 มิลลิเมตรเป็น *Rhizobium* ซึ่งสอดคล้องกับที่ระบุไว้ใน Bergey's Manual of Systematic Bacteriology (Jordon, 1984) ว่า *Rhizobium* เป็นกลุ่มเชื้อที่เจริญเร็ว ส่วน *Bradyrhizobium* เป็นกลุ่มเชื้อที่เจริญช้า ดังนั้น การที่ตรวจพบว่าเชื้อบริสุทธิ์ไร้โซบียนที่แยกมาได้นั้นมีคุณสมบัติตรงตามที่ได้กล่าวมาไว้แล้ว ประกอบกับมีอุบัติการณ์คุณสมบัติการเข้าสร้างปมกับถั่วเขียวแล้วปรากฏว่าเชื้อไร้โซบียนดังกล่าวสามารถเข้าสร้างปมกับถั่วเขียวได้ ซึ่งก็เท่ากับเป็นการสนับสนุนว่าเชื้อบริสุทธิ์ที่แยกมาได้นั้นเป็นเชื้อไร้โซบียนถั่วเขียวที่ต้องการจริง

2. การศึกษาคุณสมบัติการต้านสารปฏิชีวนะ

การทดสอบความสามารถในการต้านสารปฏิชีวนะ 7 ชนิด ของเชื้อไร้โซบียนที่แยกได้จำนวน 32 โซโลท พบลักษณะของการตอบสนองต่อสารปฏิชีวนะที่แตกต่างกัน 11 รูปแบบ จากลักษณะของการเกิด inhibition zone ที่มีเส้นผ่าศูนย์กลางที่ต่าง ๆ กัน ซึ่งการแปลผลและประเมินความสามารถในการต้านสารปฏิชีวนะของเชื้อแต่ละ โซโลทในรูปของสัญลักษณ์ R (resistant) แสดงว่าเชื้อนั้นต้านต่อสารปฏิชีวนะที่นำมาทดสอบ และในรูปของสัญลักษณ์ S (susceptible) แสดงว่าเชื้อนั้นไม่ต้านต่อสารปฏิชีวนะที่นำมาทดสอบและในรูปของสัญลักษณ์ sm (intermediate) แสดงว่าเชื้อนั้นมีการตอบสนองต่อสารปฏิชีวนะชนิดนี้แบบกึ่งต้านกึ่งตอบสนอง ซึ่งการที่พบว่าเชื้อไร้โซบียนทั้ง 32 โซโลท มีความสามารถต้าน penicillin และ erythromycin ได้เหมือนกัน แสดงให้เห็นว่าเชื้อไร้โซบียนที่แยกได้จากถั่วเขียนี้มียินที่ต้านต่อ penicillin และ erythromycin

ที่เหมือนกัน นอกจานี้พับคุณสมบัติการด้านสารปฏิชีวนะชนิดอื่นมีความแตกต่างกันในแต่ละ ไอโซเลท ซึ่งลักษณะการด้านสารปฏิชีวนะที่แตกต่างกันระหว่าง ไอโซเลทสามารถนำมาใช้เป็นตัว บ่งชี้ (maker) และแยกความแตกต่างของเชื้อรหินิดเดียวกันออกจากกันได้ ดังงานวิจัยของ Cole และ Ekan (1973) กล่าวว่า คุณสมบัติการด้านสารปฏิชีวนะที่ต่างกัน สามารถนำมาใช้เป็น มาตรฐานในการแยกสายพันธุ์ของเชื้อ ได้อย่างรวดเร็วและมีประสิทธิภาพ และอาจนำมาใช้ชี้ความ เชื้าใจถึงความผันแปรที่เกิดขึ้นเสมอในธรรมชาติ โดยที่รูปแบบการด้านสารปฏิชีวนะจะมีความ จำเพาะสูงในแต่ละสายพันธุ์ ประกอบกับงานวิจัยของ Teatumroong และคณะ (1996) กล่าวว่าคุณ สมบัติทางพีโนไทป์ของเชื้อบนพื้นฐานการด้านสารปฏิชีวนะที่ต่างกันในแต่ละ ไอโซเลท สามารถ นำมาใช้เป็นเทคนิคประกอบ เพื่อยืนยันผลการจัดจำแนกสายพันธุ์ของเชื้อร่วมกับเทคนิคทาง พันธุศาสตร์ระดับโมเลกุลได้ ดังนั้น การทดลองนี้จึงนำข้อมูลที่ได้มา.yืนยันผลร่วมกับพลาสมิค ไพรไฟล์ และเทคนิค RAPD

3. การศึกษาพลาสมิคไพรไฟล์

การศึกษาทางพันธุกรรมและการจำแนกสายพันธุ์ของเชื้อ ไอโซเบียนกลุ่มเจริญเร็วส่วน ใหญ่ยังคงเป็นการศึกษาและวิเคราะห์จากแบบแผนพลาสมิค ซึ่งเชื่อกันว่ามีความสำคัญมากเนื่องจาก บนพลาสมิคขนาดใหญ่ของ ไอโซเบียนบรรจุยืนที่ควบคุมการเจริญแบบชีวสัมพันธ์ที่สำคัญหลาย ลักษณะ ที่สามารถนำมาใช้จำแนกความแตกต่างของเชื้อ ไอโซเบียนชนิดเดียวกันออกจากเป็นหลาย กลุ่มย่อย ตามรายงานของ Bromfield และคณะ (1987) พบรความหลากหลายของพลาสมิคที่เกิด ขึ้นในประชากร ไอโซเบียนชนิดเดียวกัน ซึ่งปรากฏออกมานิลักษณะของการมีพลาสมิค ไพรไฟล์ ที่ต่างกันในแง่ของจำนวนและขนาด ประกอบกับการทดลองของ Laguetre และคณะ (1992) ทำการศึกษาเบรียบที่ยับผลการจำแนกสายพันธุ์ของเชื้อ ไอโซเบียนชนิดเดียวกัน โดยการวิเคราะห์ จาก 3 เทคนิค คือ วิเคราะห์จากพลาสมิค ไพรไฟล์ วิเคราะห์จากรูปแบบดีเอ็นเอทัคดี้ ยอน ไชม์จำเพาะ (total DNA restriction) และวิเคราะห์จาก RFLP ของ 2 บริเวณบนโครโมโซม พบ บรรดความเหมือนที่จำเพาะบางส่วนจากผลการวิเคราะห์ร่วมกันทั้ง 3 เทคนิค ให้ผลที่สอด คล้องกันมากกว่า 80% ของจำนวน ไอโซเลಥั้งหมด โดยกำหนดให้ระดับของผลการวิเคราะห์ที่ เหมือนกันทั้งหมดเป็นระดับชนิด (type) และเหมือนกันบางส่วนเป็นระดับกลุ่ม (class) พบรความ ไม่สอดคล้องกันระหว่าง 2 เทคนิคในระดับชนิด แต่ไม่พบในระดับกลุ่ม ซึ่งการที่เป็นเช่นนี้อาจ เป็นเพราะเทคนิคพลาสมิค ไพรไฟล์เป็นเทคนิคการจัดจำแนกที่ให้ระดับความหลากหลายสูง จึง เป็นสาเหตุให้พบพลาสมิค ไพรไฟล์ต่างกันเกิดขึ้นภายใน โครโมโซมจีโนไทป์เดียวกันได้ แต่ยัง ไรากีตามข้อเสียของเทคนิคพลาสมิคนี้เองจะเป็นประโยชน์อย่างมากหากนำมาใช้จำแนกหรือศึกษา ร่วมกับเทคนิค RFLP ซึ่งจะสามารถแยกความแตกต่างของสายพันธุ์ที่มีวิพนາการ ใกล้ชิดกันมาก

ออกแบบกันได้ ดังนี้ การทดลองนี้จึงนำเทคนิคพลาสมิด ไพร์ฟลัมมาใช้เพื่อนำเป็นเทคนิคประกอบร่วม (complementary technique) กับผลการวิเคราะห์โดยเทคนิค RAPD

4. การศึกษาและวิเคราะห์ความผันแปรทางพันธุกรรมโดยเทคนิค RAPD

4.1 การสกัดแยกโกร莫โซนัลตีเอ็นเอจากไทรโซเบียน

การสกัดจีโนมิกดีเอ็นเอจากไทรโซเบียน ตามวิธีการที่คัดแปลงมาจาก Arachara และคณะ (1997) สามารถให้ผลผลิตดีเอ็นเอสายยาวไม่ฉีกขาดและมีคุณภาพดีเพียงพอ การที่ได้ผลผลิตดีเอ็นเอที่เป็นสายยาวไม่ฉีกขาดนี้มีโอกาสที่จะได้ยืนต่าง ๆ ที่อยู่บนจีโนมครอบคลุมครบถ้วน จีโนมและดีเอ็นเอที่ได้นี้ มีความสะอาด ซึ่งคุณภาพดีพอที่นำไปใช้ในปฏิกริยาการเพิ่มปริมาณดีเอ็นเอแบบสุ่ม โดยอาศัยปฏิกริยา PCR ในขั้นตอนต่อไป

4.2 สถานะและปฏิกริยาที่เหมาะสมในการเพิ่มปริมาณดีเอ็นเอโดย PCR

การศึกษาสถานะและปฏิกริยาของ PCR ที่เหมาะสมในการทดลองนี้ ได้ทำการทดลองศึกษาหาอุณหภูมิที่ใช้ในขั้นตอนการทำ annealing เป็นลำดับแรกตามที่ ดร.วิໄล หนุน ภักดี (2528) กล่าวว่า อุณหภูมิที่สำคัญที่สุดที่ต้องระวังคือ annealing temperature ซึ่งเป็นอุณหภูมิที่ทำให้เพرمอร์เจ้าจับกับดีเอ็นเอต้นแบบ ซึ่งหากใช้อุณหภูมิที่สูงเกินไปการจับกันระหว่างเพرمอร์กับดีเอ็นเอต้นแบบบริเวณແสกุ่ส่วนจะไม่เกิดขึ้น และหากอุณหภูมิต่ำเกินไปการจับกันของเบสกุ่ส่วนอาจไม่เที่ยงตรงและมีการจับคู่กันที่ผิด (mismatch) เกิดขึ้น ดังนั้นการศึกษาหาอุณหภูมิที่เหมาะสมในขั้นตอนของ annealing จึงเป็นสิ่งที่ควรกระทำเป็นอย่างแรก ลำดับรองมาคือการศึกษาหาองค์ประกอบ 2 อย่างที่มีอิทธิพลอย่างมากต่อรูปแบบลายพิมพ์ดีเอ็นเอที่ได้ คือ ปริมาณเอนไซม์ Ampli Taq DNA Polymerase และ ปริมาณ MgCl₂ ซึ่งผลจากการทดลองที่ได้นี้พบว่าการใช้เอนไซม์และ MgCl₂ ในระดับที่ใกล้เคียงกันจะไปมีผลต่อความเข้มและความจางของแบบดีเอ็นเอที่ต่าง (distinct band) กับปรากฏการณ์เกิด หรือไม่เกิดของแบบดีเอ็นเอแบบบาง (minor band) เท่านั้น โดยผลการทดลองนี้สอดคล้องกับผลการทดลองของ ศุภกิจ สอนประจักษ์ (2539) โดยที่ Eckert และคณะ (1991) ได้ทำการทดลองและให้คำแนะนำไว้ว่า ประสิทธิภาพของการสังเคราะห์ดีเอ็นเอสายใหม่ที่เกิดขึ้นจะให้ผลดีหรือแม่นยำเพียงใดนั้นขึ้นอยู่กับความเข้มข้นของ MgCl₂ ที่เหมาะสมกับปริมาณเอนไซม์ Ampli Taq DNA polymerase เนื่องจากเมกโนเซย์ม ไอօนเป็นองค์ประกอบที่สำคัญ (co-factor) ที่ช่วยในการทำงานของเอนไซม์ นอกจากนี้แล้ว เมกโนเซย์ม ไอօนยังสามารถเข้าไปจับ (bound) กับดีเอ็นเอต้นแบบ ดีเอ็นเอที่สร้างขึ้นใหม่

ไพรเมอร์ และ dNTPs ได้ในเวลาเดียวกัน ดังนั้น การทำปฏิกิริยา PCR ให้ได้ผลดีนั้นจำเป็นต้องหาความเข้มข้นของ MgCl₂ ที่เหมาะสมด้วย นอกจากนี้ความเข้มข้นของไพรเมอร์ที่ใช้ก็ควรให้เหมาะสมกับปริมาณ MgCl₂ และปริมาณ Ampli Taq DNA polymerase ที่ใช้ด้วย ซึ่งถ้าหากความเข้มข้นของไพรเมอร์ที่ใช้น้อยเกินไป อาจทำให้ได้ผลผลิตคือเอ็นเอที่น้อยหรือมีผลทำให้เกิดผลผลิตแบบบางของคือเอ็นเอหลัก (major band) หรือเกิดการสูญหายของแบบคือเอ็นเอที่สำคัญบางแบบ แต่หากความเข้มข้นของไพรเมอร์ที่ใช้มากเกินไปแล้วอาจทำให้ได้แบบคือเอ็นเอผลผลิตที่ไม่จำเพาะเจาะจง (non specific band) เพิ่มมากขึ้นด้วย สำหรับสภาวะและปฏิกิริยาที่ได้จากการทดลองนี้มีข้อควรพึงระวังในการนำไปใช้ ทั้งนี้เนื่องจาก PCR เป็นวิธีที่มีความไวสูง (high sensitivity) ดังนั้นเงื่อนไขทุกประการจะต้องตรงกับที่ระบุไว้คือ

- ความเข้มข้นเริ่มต้นของคือเอ็นเอต้นแบบที่ใช้ต้องเท่ากันตลอดการทดลอง ซึ่งถ้าหากความเข้มข้นของคือเอ็นเอเปลี่ยนไปจะมีผลทำให้รูปแบบการเคลื่อนที่ของชิ้นคือเอ็นเอเปลี่ยนไปด้วย แม้ว่าองค์ประกอบอื่น ๆ ของปฏิกิริยาจะคงที่ก็ตาม ดังที่ศุภกิจ สอนประจำปี (2539) ข้างถึงผลการทดลองของ Weeden และคณะ (ไม่ปรากฏปีพิมพ์) ว่าความเข้มข้นของคือเอ็นเอเริ่มต้นมีผลกระแทบต่อรูปแบบลายพิมพ์ คือเอ็นเอที่ได้

- เครื่องที่ใช้ในการเพิ่มปริมาณคือเอ็นเอ (DNA Thermal cycler) จากบริษัทดังกันก็จะให้ผลการทดลองที่แตกต่างกัน ทั้งนี้เนื่องจากประสิทธิภาพในการเพิ่มและการลดอุณหภูมิที่แตกต่างกัน ซึ่งจะไปมีผลต่อการจับของไพรเมอร์กับสายคือเอ็นเอต้นแบบ และยังมีผลต่อช่วงระยะเวลาที่เอ็นไซม์จะทำงานให้ได้ประสิทธิภาพที่สูงสุด ดังนั้น การรายงานสภาวะที่เหมาะสมในการทำ PCR จะต้องระบุชนิดและรุ่นของเครื่องเสมอ

4.3 ผลการคัดเลือกไพรเมอร์ที่เหมาะสมของไรโซเบียมถัวเฉียว

จากผลการทดสอบไพรเมอร์ จำนวน 7 ชนิด พบไพรเมอร์จำนวน 5 ชนิดที่เหมาะสม ซึ่งสามารถให้รูปแบบการเคลื่อนที่ของชิ้นคือเอ็นเอที่หลากหลายของเชื้อทั้ง 4 ไอโซเลทที่นำมาทดสอบได้ ซึ่งการที่พบว่าแต่ละไพรเมอร์ให้คำแนะนำของแบบคือเอ็นเอที่หลากหลาย สามารถนำมาใช้บอกระดับความเหมือนหรือความต่างกันระหว่างไอโซเลಥองเชื้อชนิดเดียวกันได้ การที่พบว่าไพรเมอร์ทั้ง 5 ชนิดนี้ให้คำของคำแนะนำของแบบคือเอ็นเอที่ชัดเจนต่างกันมีอิทธิพลมากในเชื้อไอโซเลಥ์เดียวกัน ก็อาจเนื่องมาจากการไพรเมอร์ทั้ง 5 มีลำดับเบสที่ต่างกัน จึงทำให้คำแนะนำที่เป็นแบบคู่กันที่ไพรเมอร์สามารถเข้าไปจับกับคือเอ็นเอต้นแบบของเชื้อได้แตกต่างกัน ดังนั้น เมื่อคือเอ็นเอถูกเพิ่มปริมาณโดยปฏิกิริยา PCR จึงทำให้ได้คือเอ็นเอสายใหม่ที่มีขนาดและปริมาณแตกต่างกันไปด้วย ในขณะเดียวกันเมื่อพิจารณาระหว่างเชื้อที่ต่างไอโซเลಥกันพบว่าไพรเมอร์แต่ละชนิดให้คำของคำแนะนำของแบบคือเอ็นเอที่แตกต่างกันอีกด้วย เนื่องจากเหตุผลที่คล้ายคลึงกัน คือ

เชื้อต่าง ไอโซเลทกันมีลำดับบนสายดีเอ็นเอที่แตกต่างกัน เป็นผลให้ไพรเมอร์เข้าไปจับกับตำแหน่งที่เป็นแบบคู่สูงได้ในตำแหน่งที่แตกต่างกัน จึงทำให้ได้ดีเอ็นเอสายใหม่ที่มีขนาดและปริมาณแตกต่างกัน

4.4 การสังเคราะห์ดีเอ็นเอของไวรัสโดยเทคนิค RAPD

รูปแบบลายพิมพ์ดีเอ็นเอที่ได้จากการใช้เทคนิค RAPD ดังผลการทดลองข้อ 4.4 จะเห็นได้ว่ามีรูปแบบที่ซับซ้อนน้อยกว่าการจัดจำแนกโดยวิธีอื่น ๆ เช่น RFLP, AFLP (Amplified Fragment length Polymorphism) และ Pulsed Field Gel Electrophoresis (PFGE) เป็นต้น ซึ่งวิธีต่าง ๆ เหล่านี้ให้รูปแบบลายพิมพ์ดีเอ็นเอที่มีความละเอียดสูง คือ มีจำนวนแอบดีเอ็นเอมาก ซึ่งบางตำแหน่งก็ไม่ได้เป็นเครื่องหมายทางพันธุกรรมที่สำคัญต่อการจำแนกชนิดหรือสายพันธุ์ ทำให้เกิดความยุ่งยากในการวิเคราะห์ผล โดยเฉพาะอย่างยิ่งในการผิวที่ไม่มีเครื่องมือมีประสิทธิภาพเพียงพอที่ช่วยในการวิเคราะห์ (เช่น computer software และอุปกรณ์ที่ช่วยในการอ่านค่า M.W. ตำแหน่งของแอบดีเอ็นเอ) อาจทำให้เกิดความผิดพลาดได้ง่าย แต่สำหรับวิธี RAPD นี้จะเห็นได้ว่ารูปแบบลายพิมพ์ดีเอ็นเอที่ได้ จะให้ตำแหน่งของแอบดีเอ็นเอไม่มากเท่ากับวิธี ต่าง ๆ ดังกล่าวและไม่น้อยจนเกินไปจนกระทั่งไม่มีประสิทธิภาพเพียงพอที่จะใช้ในการจำแนกสายพันธุ์เชื่อการวิเคราะห์ผลจึงทำได้ง่ายและสะดวกกว่า โอกาสที่จะเกิดความผิดพลาดในการวิเคราะห์ผลจึงมีน้อย แต่อย่างไรก็ตามการค้นคว้าข้อมูลและจากรายงานต่าง ๆ ในเรื่องของจำนวนแอบดีเอ็นเอบางແบพที่ใช้เป็นเครื่องหมายที่สำคัญที่เกิดขึ้นนี้ ยังไม่มีข้อสรุปที่ชัดเจนว่าจำนวนตำแหน่งของแอบดีเอ็นเอเครื่องหมายที่เกิดขึ้นควรมีเท่าใด จึงจะเหมาะสมแต่ก็มีข้อเสนอแนะไว้ว่าควรคุยกับรูปแบบของแอบดีเอ็นเอหลากหลายที่เกิดขึ้นนี้ว่าสามารถที่จะทำให้บรรลุวัตถุประสงค์ได้หรือไม่ คือ แยกความแตกต่างระหว่างชนิดและบอกระดับความเหมือน หรือความต่างภายในประชากรชนิดเดียวกันได้หรือไม่

นอกจากนีเทคนิค RAPD ยังสามารถนำมาใช้เป็นเทคนิคพื้นฐานสำหรับการจัดจำแนกและท่านายความสัมพันธ์ระหว่างสายพันธุ์ของเชื้อ หรือสิ่งมีชีวิตที่มีลักษณะพิเศษได้หากมีการคัดเลือกไพรเมอร์ที่เหมาะสม คือ ไพรเมอร์ที่สามารถแยกความแตกต่างของสิ่งมีชีวิตทั้ง 2 ชนิด ที่สนใจออกจากกันได้ โดยพิจารณาจากผลผลิตของแอบดีเอ็นเอบางແบพที่มีความจำเพาะกับสิ่งมีชีวิตบางชนิดหรือบางพันธุ์นั้นเอง

4.5 การจำแนกความแปรปรวนทางพันธุกรรมของไร้โซเมี่ยมจากการวิเคราะห์รูปแบบดีเอ็นเอ

จากการวิเคราะห์ลายพินพดีเอ็นเอของเชื้อทั้ง 32 ไอโซเลต ที่เกิดจากการใช้ไฟรเมอร์สายเดียวที่ต่างกัน 5 ชนิดนั้น พบว่าแต่ละไฟรเมอร์ให้ผลลัพธ์ของแบบดีเอ็นเอในจำนวน และตำแหน่งที่ต่างกันไปตามแต่ละชนิดของไฟรเมอร์ ดังแสดงในตารางที่ 19 ทั้งนี้ก็เนื่องมาจากการไฟรเมอร์แต่ละชนิด จะไปสู่นั่งและเพิ่มปริมาณ (random amplified) ณ ตำแหน่งที่ต่างกันบนสายดีเอ็นเอ ซึ่งก็ได้ว่าตำแหน่งบนเบสนิเวล โดยบังบนสายดีเอ็นเอที่มีลักษณะเป็นเบสคู่สม (complementary) กับไฟรเมอร์ชนิดนั้น ๆ เป็นผลให้ได้ตำแหน่งและจำนวนดีเอ็นเอครีอิ่งหมายที่ต่างกันในเชือดีนิดเดียวกัน ส่วนการที่ต้องมีการใช้ตำแหน่งของแบบดีเอ็นเอครีอิ่งหมายที่เกิดจากไฟรเมอร์ทั้ง 5 ชนิดมาร่วมกันในการสรุปผลก็เนื่องมาจาก ตามหลักการทางสถิติ พบว่าการใช้ไฟรเมอร์หนึ่งไฟรเมอร์ได้ในการสรุปผลนั้นอาจให้ข้อสรุปที่ผิดพลาดได้ ทั้งนี้เนื่องจากไฟรเมอร์นั้นอาจจะไปสู่นั่งบนสายดีเอ็นเอกะร่างกายหนักไปทางด้านใดด้านหนึ่งของจีโนม ในกรณีเช่นนี้ อาจทำให้ส่วนที่ไม่ถูกสู่นั่งไม่ได้รับการตรวจสอบโดยไฟรเมอร์นั้นเป็นผลทำให้ขึ้นท่อญูริเวล ดังกล่าว ซึ่งอาจเป็นยืนที่สำคัญหรือยืนเด่นของเชือดีนิดนั้น ๆ ไม่ได้รับการตรวจสอบผล คือ เครื่องหมายดีเอ็นเอที่สำคัญบางตำแหน่งขาดหายไป ดังนั้น การสรุปผลลายพินพดีเอ็นเอโดยวิธี RAPD นี้จึงเป็นต้องมีการใช้ไฟรเมอร์มากกว่า 1 ชนิด เพื่อเพิ่มความมั่นใจว่าได้ข้อสรุปมาจากการวิเคราะห์ทั้งหมดภายในจีโนม อย่างแท้จริง ซึ่งจะแสดงออกมาให้เห็นในรูปของความสัมพันธ์เชิงวิวัฒนาการ โดยผลที่ได้จากการทดลองนี้ พบว่าความผันแปรทางพันธุกรรมที่ต่างกันส่วนใหญ่เกิดเนื่องจากชนิดของดิน แต่การที่พบว่าไอโซเลตที่แยกจากดินชนิดเดียวกันมีความแตกต่างกันทางพันธุกรรม อาจได้รับอิทธิพลจากสภาวะแวดล้อมในลักษณะการมีสิ่งกีดขวางการแลกเปลี่ยนยืน หรือการแยกกันทางภูมิศาสตร์และจีโนไทป์ของพืชอาศัย ดังที่ Paffett และคณะ (1996) ได้ทำการศึกษาความหลากหลายทางพันธุกรรมของประชากรเชื้อไร้โซเมี่ยมที่แยกจาก *Medicago sativa* 4 สายพันธุ์ ที่ปูกในดิน 2 บริเวณที่มีความต่างกันทางภูมิศาสตร์ พบข้อสรุปของความหลากหลายทางพันธุกรรมที่เกิดขึ้นภายใต้ประชากรไร้โซเมี่ยมชนิดเดียวกัน เนื่องมาจากอิทธิพลของสายพันธุ์พืช และชนิดของดินที่ต่างกันเป็นปัจจัยสำคัญ ซึ่งก็สอดคล้องกับงานวิจัยนี้ที่พบว่าความแตกต่างหรือความผันแปรทางพันธุกรรมส่วนใหญ่ที่เกิดขึ้นภายใต้ประชากรของเชื้อไร้โซเมี่ยม มีผลเนื่องมาจากการชนิดของดินและสายพันธุ์พืช โดยชนิดของดินที่ต่างกันเป็นปัจจัยสำคัญที่ทำให้เกิดความผันแปรทางพันธุกรรมได้มากกว่าสายพันธุ์พืช นอกจากนี้คุณสมบัติการมีพลาสมิดนาดใหญ่ก็เป็นปัจจัยร่วมที่สำคัญมากอีกปัจจัยหนึ่งที่มีผลทำให้เกิดวิวัฒนาการที่แตกต่างทางพันธุกรรมภายใต้ประชากรไร้โซเมี่ยมกลุ่มเริญเริญ ดังรายงานการศึกษาของ Brom และคณะ (1991) พบความหลากหลายในระดับความถี่สูงของการเกิด rearrangement บนพลาสมิดนาดใหญ่ของเชื้อไร้โซเมี่ยมในลักษณะของการเกิด amplification, deletion, cointegration และการสูญหายของ

พลาสมิครวมไปถึงอิทธิพลของการถ่ายโอนพลาสมิค (plasmid transfer) และ recombination ที่พบว่าเกิดขึ้นได้เสนอในประชากรธรรมชาติ (Paffett et al., 1996) นอกจากนี้ความผันแปรทางพันธุกรรมของเชื้อไวรัสบีญ อาจได้รับอิทธิพลจากสภาวะแวดล้อมภายนอก หรือโดยเฉพาะอย่างยิ่งสภาวะการเปลี่ยนแปลงต่างๆ ที่จะเกิดขึ้นได้ทั้งภายในและภายนอกของพืชอาศัย (Romero et al., 1991) มีผลให้เกิดความหลากหลายทางพันธุกรรมภายในประชากรไวรัสบีญกลุ่มเจริญเร็ว ในระดับความถี่สูง ซึ่งข้อมูลการศึกษาปัจจัยสำคัญที่มีอิทธิพลทำให้เกิดความหลากหลายทางชีวภาพของสิ่งมีชีวิตบางชนิดมีประไบชน์ต่อการอนุรักษ์ทรัพยากรและความหลากหลายทางชีวภาพเป็นอย่างยิ่ง ตามรายงานของ ดร. วิสุทธิ์ ใบไม้ (2530) กล่าวว่า ข้อมูลการศึกษาปัจจัยสำคัญที่มีอิทธิพลทำให้เกิดความหลากหลายทางชีวภาพของสิ่งมีชีวิตแต่ละชนิด อาจนำมาซึ่งคำตอบและแนวทางการจัดการกับสภาพความหลากหลายทางชีวภาพในท้องถิ่นเหล่านี้ให้คงอยู่ต่อไปได้ดีกว่า เมื่อพิจารณาจากค่าของระยะห่างทางพันธุกรรม พบร่วมไวรัสเดียวกันในเดียวันเดียวกันมีความใกล้ชิดกันทางพันธุกรรมมากกว่าไวรัสเดียวกันในเดียวันเดียวกันที่ต่างชนิดกัน แต่การที่พบว่าไวรัสเดียวกันในเดียวันเดียวกัน มีความแตกต่างทางพันธุกรรมอาจเนื่องมาจากหลายปัจจัยภายในเดียวันเดียวกัน เช่น การแยกทางภูมิศาสตร์ และจีโนไทป์ของพืชอาศัย รวมไปถึงคุณสมบัติการมีพลาสมิคในจุลินทรีย์ที่มีบทบาทสำคัญต่อโครงสร้างวิวัฒนาการของประชากรไวรัสบีญ กลุ่มเจริญเร็วโดยพลาสมิคสามารถเกิดกระบวนการจัดเรียงตัวใหม่ของยีนหรือการแลกเปลี่ยนยีนได้ในระดับความถี่สูง มีผลให้เกิดจีโนไทป์ใหม่ ๆ ในแต่ละ generation แม้ว่า tree dendrogram จะไม่แสดงให้เห็นถึงวิวัฒนาการ โดยตรงแต่ก็แสดงความสัมพันธ์ในเชิงที่ยอมรับได้ ซึ่งเมื่อข้อมูลถูกแสดงออกมานิรูปของ dendrogram ก็จะสามารถตรวจสอบความแตกต่างที่เกิดขึ้นภายในประชากรได้ง่ายยิ่งขึ้น

4.6 เปรียบเทียบผลการจัดจำแนกกลุ่มของเชื้อ จากการพิจารณาจาก 3 พื้นฐาน คือ พลาสมิคไฟฟ์ คุณสมบัติการต้านสารปฏิชีวนะ และรูปแบบ RAPD

การพิจารณาคุณสมบัติทางจีโนไทป์ของเชื้อเป็นหลักในการจัดจำแนก อาจมีอิทธิพลจากสภาวะแวดล้อมภายนอกเช่นเดียวกับเชื้อไวรัสบีญ จึงทำให้มีความไม่แน่นอน หรือมีความคลาดเคลื่อนเกิดขึ้นได้ง่าย ซึ่งก็อาจเป็นเหตุผลหนึ่งที่ทำให้พบข้อผิดพลาดเกิดขึ้นในระหว่างการจำแนก ดังเช่น การทดลองนี้ พบรูปแบบ RAPD ที่ต่างกันในเชิงที่ยอมรับได้ ซึ่งเมื่อข้อมูลถูกแสดงออกมานิรูปของ dendrogram ก็จะสามารถตรวจสอบความแตกต่างที่เกิดขึ้นภายในประชากรได้ง่ายยิ่งขึ้น

หรือการที่พบว่าคุณสมบัติการด้านสารปฏิชีวนะเดียวกันให้หลักกลุ่มพลาสมิดโพร์ไฟล์ เป็นด้านดังนี้ การจำแนกความแตกต่างของเรื่องนิดเดียวกัน ทำเป็นต้องอาศัยข้อมูลที่ได้จากการศึกษาคุณสมบัติทางฟีโนไทป์ร่วมกับคุณสมบัติทางจีโนไทป์ จึงจะได้ข้อมูลการจัดจำแนกที่ถูกต้องเพียงพอ แต่ย่างไรก็ตามการจำแนกประชากรของเชื้อ โดยอาศัยการวิเคราะห์แบบแผนพลาสมิดร่วมกับคุณสมบัติทางจีโนไทป์บนพื้นฐานการวิเคราะห์รูปแบบ RAPD อาจพบคุณสมบัติทางจีโนไทป์ที่ต่างกันบนพื้นฐาน RAPD ให้กับกลุ่มพลาสมิดโพร์ไฟล์เดียวกัน ซึ่งอาจเนื่องมาจากการอิทธิพลของกระบวนการส่งถ่ายพลาสมิด (plasmid transfer) กระบวนการเกิดการจัดเรียงตัวใหม่ของยีน (rearrangement) หรือเกิดจากความผันแปรของตำแหน่งเออนไซม์ตัดจำเพาะ (DNA restriction site) บนพลาสมิดที่ต่างกัน แต่ไม่ต่างกันในแง่ของจำนวนและขนาด ซึ่งก็จะแสดงให้เห็นว่าการใช้เออนไซม์ตัดจำเพาะ (plasmid restriction site) เป็นสิ่งจำเป็น ในขณะเดียวกันก็ยังพบข้อเสียที่สำคัญยิ่งของเทคนิคพลาสมิดโพร์ไฟล์หากนำมาริบบิฟารอนเป็นหลักพื้นฐานในการจัดจำแนก ซึ่งผลการทดลองนี้สอดคล้องกับรายงานของ Laguerre และคณะ (1992) ได้ทำการศึกษาความหลากหลายทางพันธุกรรมของไอโซเบี้ยมจากเทคนิคพลาสมิดโพร์ไฟล์ร่วมกับคุณสมบัติทางจีโนไทป์ พนักกลุ่มพลาสมิดโพร์ไฟล์ต่างกันเกิดขึ้นภายในจีโนไทป์เดียวกัน และพบความไม่สอดคล้องกันบางกรณีระหว่างการจัดจำแนกตามแบบแผนพลาสมิดโพร์ไฟล์ร่วมกับคุณสมบัติทางจีโนไทป์ ของเชื้อบนพื้นฐานการวิเคราะห์แบบแผนดีเอ็นเอตัดจำเพาะ (DNA restriction) และเทคนิค RFLP ของ 2 บริเวณบนโครโนไชน์ ซึ่งอาจเนื่องมาจากการอิทธิพลของยีนเออนไซม์ตัดจำเพาะ (DNA restriction method) ซึ่งถ้าความต่างของพลาสมิดเกิดจากการตอบสนองต่อการเปลี่ยนแปลงที่เกิดขึ้นเพียงเล็กน้อยถึงการตอบสนองต่อการเปลี่ยนแปลงที่เกิดขึ้นมากกว่าในจีโนไทป์ที่ไม่รู้ จากจุดนี้เองเป็นจุดสำคัญเมื่อใช้พลาสมิดโพร์ไฟล์เป็นเทคนิคเริ่มต้นในการจำแนกความแตกต่าง ซึ่งจะให้ผลที่ค่อนข้างใกล้เคียงกับคุณสมบัติทางจีโนไทป์ของเชื้อในการศึกษากลุ่มประชากรพันธุศาสตร์ของเชื้อที่แยกจากปมราชพีช โดยถ้าความต่างของพลาสมิดเกิดจากการเปลี่ยนแปลงภายในจีโนไทป์ที่เกิดขึ้นเพียงเล็กน้อยจะทำให้พบว่า ไอโซเลทที่มีพันธุกรรมใกล้ชิดกันมีพลาสมิดโพร์ไฟล์ที่ต่างกัน ซึ่งทำให้คุณเห็นว่าไอโซเลทของห้องสองนี้มีจีโนไทป์แตกต่างกันโดยสิ้นเชิง ซึ่งเป็นสาเหตุให้เทคนิคการวิเคราะห์พลาสมิดโพร์ไฟล์ไม่สอดคล้องกับเทคนิค RAPD แต่ในทางตรงกันข้ามถ้าความต่างของพลาสมิดเกิดจากผลกระทบของการเปลี่ยนแปลงภายในจีโนไทป์ครั้งยิ่งใหญ่ จึงเป็นสาเหตุให้พบว่าไอโซเลทที่มีพันธุกรรมแตกต่างกันให้กับกลุ่มพลาสมิดโพร์ไฟล์ที่ต่างกัน จึงทำให้พบความสอดคล้องกันระหว่างเทคนิคพลาสมิดโพร์ไฟล์ กับ RAPD นอกจากนี้แล้ว งานวิจัยของ Romero และคณะ (1991) ยังได้กล่าวถึงปรากฏการณ์ของความผันแปรที่เกิดขึ้นบนพลาสมิดที่เกี่ยวข้องกับการเปลี่ยนแปลงภายในจีโนไทป์พลาสมิดสามารถเกิดกระบวนการจัดเรียงใหม่ของยีนบนพลาสมิดที่สัมพันธ์กันขึ้น

กับจำนวน copy number ของจีโนมิกบริเวณที่บรรจุยีนที่เกี่ยวข้องกับการอยู่ร่วมกันแบบพึ่งพา กับพืชอาศัย โดยลักษณะหนึ่งของการเกิดกระบวนการจัดเรียงตัวใหม่ของยีนที่นำสู่ไป คือ ความหลากหลายของขนาดพลาสมิค ซึ่งโดยทั่วไปการจัดเรียงตัวใหม่ของลำดับดีเอ็นเอที่เกิดบนยีนที่มีขนาดตั้งแต่ 270 กิโลเบสขึ้นไป มีผลให้เกิดความผันแปรของจำนวนและขนาดพลาสมิค โดยที่ขั้นตอนนี้เป็นการเกิดกระบวนการจัดเรียงตัวใหม่ของยีนบริเวณที่มีลำดับดีเอ็นเอซ้ำๆ กับบนพลาสมิค อาจนำไปสู่ชนิดของการจัดเรียงตัวของยีนภายในจีโนมที่ต่างกันในลักษณะการเกิด deletion amplification และ inversion โดยที่การจัดเรียงตัวใหม่ของยีนบนจีโนมในลักษณะ deletion อาจมีผลกระทบต่อคุณสมบัติการอยู่ร่วมกันของเชื้อกับพืชอาศัยในลักษณะของการสร้างปะน หรือการตรึงในโตรเรน ซึ่งปรากฏการณ์ผันแปรของรูปแบบพลาสมิคที่แตกต่างกันในระดับความถี่สูงนี้ มีผลให้การจัดจำแนกโดยวิเคราะห์จากพลาสมิค ไฟล์เป็นวิธีหนึ่งที่ให้ความหลากหลายของการจัดจำแนกในระดับสูงจะเป็นประไบชันอย่างมากสำหรับการจำแนกสายพันธุ์ของเชื้อ ที่มีพันธุกรรมใกล้ชิดกันมาก ๆ หรือมีความแตกต่างกันมาก ๆ ออกจากกันได้ แต่อย่างไรก็ตามที่ระดับการวิเคราะห์ด้วยเทคนิคพลาสมิค ไฟล์นี้เองยังมีข้อเสียของการจัดจำแนกเกิดขึ้นด้วย คือ สามารถแยกสายพันธุ์ที่มีความใกล้ชิดกันทางพันธุกรรม หรือมีเหล่ากำเนิดเดียวกันมีจีโนไทป์ที่เหมือนกันออกจากกันได้อย่างสิ้นเชิง ซึ่งเป็นข้อที่ควรพึงระวังอย่างมากหากนำมามาใช้พิจารณาเป็นหลักพื้นฐานในการจัดจำแนกเพียงเทคนิคเดียว ซึ่งความไม่สอดคล้องกันระหว่างเทคนิคที่เกิดขึ้นนี้เอง เป็นสาเหตุให้การวิเคราะห์ระดับความเหมือนกันที่จำเพาะบางส่วนจึงถูกมองว่ามีความเหมาะสมและจำเป็นอย่างยิ่งสำหรับประเมินความหลากหลายทางพันธุกรรมที่เกิดขึ้นในประชากรธรรมชาติของเชื้อ โดยระดับความหลากหลายที่สังเกตได้ในประชากรขึ้นอยู่กับเทคนิคที่เลือกใช้จากการทดลองของ Laguerre และคณะ (1992) กำหนดให้ระดับของการวิเคราะห์รูปแบบการจัดจำแนกบนพื้นฐานโครโนไซม์ที่เหมือนกันทั้งหมดเป็นระดับชนิด (type) และเหมือนกันบางส่วน เป็นระดับกลุ่ม (class) โดยพบความสอดคล้องกันของแบบแผน พลาสมิคกับผลการวิเคราะห์รูปแบบการจัดการทางพันธุกรรมบนพื้นฐานโครโนไซม์ในระดับกลุ่มมากกว่า 80% ของจำนวนโครโนไซม์ทั้งหมด ซึ่งก็แสดงให้เห็นว่าเทคนิคพลาสมิค ไฟล์ รูปแบบของดีเอ็นเอตัดจำเพาะและการศึกษา RFLP ของ 2 บริเวณบนโครโนไซม์ สามารถนำมาใช้เป็นตัวแทนการศึกษาทั้งหมด ภายในจีโนมได้ โดยเทคนิคพลาสมิค ไฟล์จะให้ความสัมพันธ์ที่เชื่อมโยงกับโครโนไซม์ในไทยปัจจุบันการจัดจำแนกในระดับกลุ่ม แต่ไม่พบในระดับชนิดประกอบกับอีกหลากหลายงานการศึกษาความหลากหลายภายในประชากรของเชื้อจากปีราก (Paffett et al., 1996 ; Brom et al., 1991) พบว่า เทคนิคนี้สามารถนำมาใช้เป็นตัวแทนการศึกษาความผันแปรทางพันธุกรรมที่เกิดภายในจีโนมได้มากกว่า 50 เปอร์เซ็นต์ของดีเอ็นเอทั้งหมด จึงทำให้เทคนิคการวิเคราะห์พลาสมิค ถูกยอมรับ และนำมาใช้เป็นมาตรฐานในการจำแนกสายพันธุ์ของเชื้อที่มีจำนวนมาก ๆ ได้อย่าง

สะควรร่วมเรื่อง และมีประสิทธิภาพ มีประ โยชน์สำหรับการจำแนกเชื้อขั้นต้นในกรณีที่ไม่ต้องการความละเอียดมากและสามารถนำมาใช้สืบต่อเป็นเทคนิคประกอบร่วมกับการศึกษาโดยเทคนิคอื่นทางคีเอนจีเมื่อต้องการข้อมูลการจัดจำแนกที่มีความละเอียดและถูกต้องมากยิ่งขึ้น ดังนั้น ใน การทดลองนี้จึงนำเทคนิคพลาสมิค ไฟล์ มาใช้สืบต่อเป็นเทคนิคประกอบร่วมกับการวิเคราะห์ภายในจีโนม โดยเทคนิค RAPD ซึ่งจะช่วยลดข้อผิดพลาดที่เกิดจากการจัดจำแนกเพียงเทคนิคเดียว แล้วยังให้รายละเอียดของข้อมูล (information) ที่ครบถ้วนมากฐานของกระบวนการวิจัยน่าการที่แตกต่างภายในจีโนม ซึ่งผลการวิเคราะห์แบบแพนพลาสมิคร่วมกับเทคนิค RAPD นี้ นอกจากจะช่วยแยกความแตกต่างของไอโซเลทที่มีพันธุกรรมใกล้ชิดกันออกจากกันได้แล้ว ยังแสดงให้เห็นถึงความหลากหลายทางพันธุกรรมที่เกิดขึ้นภายในพลาสมิคกลุ่มเดียวกันได้อีกด้วย จากการทดลองนี้พบข้อจำกัดที่เป็นได้ทั้งข้อดีและข้อเสียที่แตกต่างกันระหว่างเทคนิค ซึ่งอาจนำมาสู่ความเข้าใจถึงความผันแปรที่เกิดขึ้นของตามธรรมชาติที่ควรนำมาใช้ประกอบการพิจารณาเพื่อการจัดจำแนกที่สะควรร่วมเรื่อง และมีประสิทธิภาพมากยิ่งขึ้น โดยข้อมูลที่ได้จากการศึกษาทางจีโนไทป์ และฟีโนไทป์ อาจนำมาประยุกต์ใช้เพื่อการศึกษาและจัดจำแนกสายพันธุ์ของเชื้อไวรัสเบี้ยมชนิดอื่นได้ด้วย ถึงอย่างไรก็ตามการจะเลือกใช้เทคนิคใดย่อมต้องคำนึงถึงวัตถุประสงค์ของงานวิจัยนี้ เป็นหลักสำคัญ

5. การศึกษาความสามารถในการตรวจไนโตรเจนของไวรัสเบี้ยม 32 ไอโซเลท

การศึกษาประสิทธิภาพในการตรวจไนโตรเจนของเชื้อที่ใช้กันอยู่ในปัจจุบันมีอยู่ด้วยกันหลายวิธี แต่ละวิธีล้วนแต่เป็นวิธีการจัดโดยทางอ้อมทั้งสิ้น เพราะการวัดปริมาณก๊าซไนโตรเจนที่พิชตรึงได้โดยตรงไม่สามารถทำได้ นอกจากจะต้องใช้สารไอโซไทป์ ^{15}N เข้าช่วย ซึ่งมีราคาแพงมาก (วิโร อิ่มพิทักษ์, 2524) ดังนั้น การประเมินประสิทธิภาพในการตรวจไนโตรเจนที่สามารถทำได้ ก็คือ การประเมินจากจำนวนปมที่เกิด น้ำหนักแห้งของต้นพืช น้ำหนักปมแห้ง และการวัดกิจกรรมของเอนไซม์ในไนโตรجينสไนป์ราคคลว ซึ่งการจะตัดสินว่าเชื้อได้ตรึงไนโตรเจนได้มากน้อยเพียงใดนั้น ขึ้นอยู่กับกิจกรรมเอนไซม์ในไนโตรجينสไนป์ราคเป็นสำคัญ และเนื่องจากวิธีที่สะควรและประยุกต์ในการตรวจวัดกิจกรรมการตรึงไนโตรเจนของปมราค คือ ARA (Acetylene Reduction Assay) แม้ว่าผลของการทดสอบจะแสดงถึงกิจกรรมการตรึงไนโตรเจนของปมราคในขณะที่ทำการเก็บเกี่ยวตาม แต่ก็ได้รับการยอมรับกันอย่างแพร่หลายจากบรรดานักวิถินทรีย์ดินมีเบรียบเทียบกับวิธีอื่นๆ ซึ่งการวิเคราะห์ก้าวอะเซทิลินครรภ์ทำภายใน 1 ชั่วโมง หลังการเก็บเกี่ยวราคเนื่องจาก การวิเคราะห์ภายใน 1 ชั่วโมง หลังการเก็บเกี่ยวจะได้เอทิลินเกิดขึ้น

คิดเป็น 100% activity และจะลดลงเหลือ 85% และ 35% หลังจากที่ไว้ 3 และ 6 ชั่วโมง ตามลำดับ อย่างไรก็ตามในการทดลองนี้พบว่าหน้าหันแห้งของต้นพืชมากจะมีแนวโน้มที่จะให้ค่า ARA มาก แต่ก็ไม่ได้เป็นเกณฑ์ตายตัวเสมอไป ดังจะพบปรากฏการณ์เช่นนี้ในการทดลองของ Romero และคณะ (1993) หากิจกรรมของไนโตรเจนส์ในหน่วยของนาในไมลอดอกลิน/พืช/ชั่วโมง โดยทดลองกับพืช *Cajanus cajan* พัชรพ ศุนทริวารณ์ (2534) ทดลองกับถั่วเหลืองได้ความสัมพันธ์เช่นเดียวกันอธิบายว่ากระบวนการครึ่งในไนโตรเจนเป็นกระบวนการที่ซับซ้อนประกอบด้วย 1) การควบคุมสารต้นothที่จะนำมาสร้างพลังงาน (ATP) และสำนักการรีดิวช์ชีฟ์ขึ้นอยู่กับพืช 2) การควบคุมการถอดรหัสของเอนไซม์ในไนโตรเจนส์ และการนำผลผลิตของเอนไซม์ไปใช้ขึ้นกับการเริญของไนโตรเจนภายในปม ด้วยเหตุผลนี้เองจึงเป็นปกติที่จะพบว่าสายพันธุ์ที่ให้ยอดตัวตื้นของเอนไซม์ในไนโตรเจนส์ไม่สูงมากนัก แต่กลับให้ผลผลิตในรูปหน้าหันแห้งของถั่วที่สูงกว่าสายพันธุ์ที่ให้ยอดตัวตื้นของเอนไซม์ในไนโตรเจนสูง (Shishido and Peper, 1990) อย่างไรก็ตามการที่พบว่าเชื้อในแต่ละไนโตรเจนมีค่า ARA ไม่เท่ากันเมื่อเทียบที่หน้าหันแห้งเดียวกัน อธิบายได้ว่าปัจจัยทางพันธุกรรมของไนโตรเจนมีผลต่อการผลิตมวลชีวะของพืชอาศัยในแหล่งพลังงาน photosynthetic supply มีบทบาทเป็นปัจจัยจำกัด (limiting factor) สำหรับการครึ่งในไนโตรเจนในปมแรก นอกจากรากนี้แล้วยังพบว่าไนโตรเจนส่วนใหญ่ที่นำมาศึกษานี้ให้ถักยณะการติดปมบริเวณส่วนของรากแขนงและบริเวณส่วนของรากแขนงกับรากแก้ว ซึ่งจะมีแนวโน้มที่จะให้ค่า ARA มากกว่าไนโตรเจนที่สร้างปมได้เพียงบริเวณรากแก้ว ดังจะพบปรากฏการณ์เช่นนี้ได้ในการทดลองของร่วิชญ์ เกมนสุข (2521) กล่าวว่าระยะแรกของการเริญโดยโดยตัวของต้นถั่วเขียวปมบริเวณส่วนของรากแก้วจะตรงในไนโตรเจนได้สูงกว่าปมที่รากแขนง แต่เมื่อถ้าเริ่มออกดอกและสร้างฝักอ่อนแล้ว การครึ่งในไนโตรเจนของปมถั่วเขียวที่รากแขนงจะสูงกว่าปมที่รากแก้ว สำหรับความสัมพันธ์ของจำนวนปมและค่า ARA พบว่าไม่มีความสัมพันธ์กัน ซึ่งจะสอดคล้องกับการทดลองของ Romero และคณะ (1993) เนื่องจากปริมาณปมที่เกิดขึ้นภายในรากในจำนวนปมเหล่านี้ อาจมีปมที่ไม่มีประสิทธิภาพอยู่จำนวนหนึ่งที่ขาดความสามารถในการครึ่งในไนโตรเจน (ศุภมาศ พนิชศักดิ์, 2529)

บทที่ 7

สรุปผลการทดลองและข้อเสนอแนะ

1. การศึกษาคุณสมบัติทางกายภาพของดิน 6 บริเวณ ในพื้นที่โครงการศึกษา พบร่องค่าเฉลี่ยของความเป็นกรด-ด่างและปริมาณความชื้นที่สะสมในดินมีค่าสูงที่สุดในพื้นที่ป่าทุ่งหญ้าครบบูรี แปลงที่มีการปลูกกล้าไม้ร่วมกับการบุกคันดินกันน้ำ (GLPD) และมีค่าต่ำที่สุดในพื้นที่ป่าหนองระเวียง ในขณะที่ค่าเฉลี่ยของปริมาณอินทรียะต่ำที่สูงที่สุดในดินมีค่าสูงที่สุดในแปลงศึกษาที่มีลักษณะเป็นป่าทุ่งหญ้าที่มีการปลูกกล้าไม้ (GLP) และมีค่าเฉลี่ยต่ำที่สุดในพื้นที่ป่าหนองระเวียง (NT1R2)
2. การศึกษาปริมาณไโรโซเบียน (*Rhizobium sp.*(cowpea)) ในดิน 6 บริเวณในพื้นที่โครงการศึกษา โดยใช้ตัวเขียวเป็นพืชทดสอบ พบร่องค่าเฉลี่ยของปริมาณไโรโซเบียนมากที่สุดในพื้นที่ป่าทุ่งหญ้าครบบูรีแปลงที่มีการปลูกกล้าไม้ร่วมกับบุกคันดินกันน้ำ (GLPD) มีค่าเฉลี่ยเท่ากับ 6,541 เซลล์ต่อกรัมดินแห้ง และมีค่าต่ำที่สุดในบริเวณเส้นทางเดินสัญจร (way) ซึ่งมีค่าเฉลี่ยเท่ากับ 2.88 เซลล์ต่อกรัมดินแห้ง โดยผลที่ได้จากการศึกษาเชิงปริมาณไม่มีความสัมพันธ์ทางสถิติกับคุณสมบัติทางกายภาพบางประการของดินที่ทำการศึกษา (ค่าความเป็นกรด-ด่าง ปริมาณอินทรียะต่ำและปริมาณความชื้นในดิน) ซึ่งปริมาณไโรโซเบียนที่ต่างกันในดินแต่ละบริเวณ สามารถนำมาใช้เป็นดัชนีชี้ความอุดมสมบูรณ์ของดินได้เพียงคร่าว ๆ เท่านั้น ทั้งนี้เนื่องจากการดำเนินชีวิตของไโรโซเบียนในดินมีหลายปัจจัยมาเกี่ยวข้อง แต่อย่างไรก็ตามบริเวณที่ตรวจพบปริมาณไโรโซเบียนอยู่มากก็ไม่อาจคาดได้ว่าไม่จำเป็นต้องใช้ไโรโซเบียนในการปรับปรุงดิน ทั้งนี้ก็ เพราะว่าถ้าดินแห่งนั้นมีไโรโซเบียนที่มีประสิทธิภาพการตรึงไนโตรเจนต่ำก็ย่อมไม่เกิดประโยชน์อะไร และจำเป็นต้องใช้เชื้อไโรโซเบียนสายพันธุ์ที่มีประสิทธิภาพสูง
3. การคัดเลือกเชื้อไโรโซเบียนกลุ่มเจริญเร็ว จำนวนห้องสื้น 32 ไฮโซเลท จากบ่มรากตัวเขียว 2 สายพันธุ์จากดิน 2 ชนิดในพื้นที่โครงการฯ โดยในการทดลองนี้คัดเลือกเชื้อที่สามารถสร้างผลผลิตกรดเจริญได้ภายในระยะเวลาเพียง 2-3 วัน และมีคุณสมบัติในการเข้าสร้างปนได้กับรากตัวเขียว
4. การจำแนกความแตกต่างของเชื้อไโรโซเบียนกลุ่มเจริญเร็วห้อง 32 ไฮโซเลทที่นำมาศึกษานี้ไม่อาจทำได้โดยอาศัยลักษณะทางสัณฐานวิทยาของเชื้อ แต่สามารถจำแนกความแตกต่างได้

โดยอาศัยพื้นฐานการต้านสารปฏิชีวนะและการวิเคราะห์แบบแผนพลาสมิดร่วมกับการวิเคราะห์รูปแบบ RAPD ผลการจำแนกความต่างของเชื้อบนพื้นฐานการต้านสารปฏิชีวนะ 7 ชนิด สามารถจำแนกความแตกต่างได้ 11 กลุ่ม ตามคุณสมบัติการต้านสารปฏิชีวนะที่ต่างกันของเชื้อ โดยพบคุณสมบัติการต้าน erythromycin และ penicillin ที่เหมือนกันทั้ง 32 ไอโซเลท

5. ผลการจำแนกความแตกต่างทางพันธุกรรมของเชื้อ ໄร ไซเบี้ยน จากการวิเคราะห์แบบแผนพลาสมิด สามารถจำแนกความแตกต่างได้ 9 กลุ่มตามจำนวนและขนาดของพลาสมิดที่ต่างกันซึ่งในการทดลองนี้ พบพลาสมิดจำนวน 1-3 ชิ้นต่อไอโซเลทที่มีขนาดอยู่ในช่วง 164-600 เมกะคลาตัน เมื่อพิจารณา_r ร่วมกับการจัดจำแนกกลุ่มของ ไอโซเลทตามคุณสมบัติการต้านสารปฏิชีวนะ พบว่าคุณสมบัติการต้านสารปฏิชีวนะของเชื้อมีความสัมพันธ์เชื่อมโยงกับกลุ่มของพลาสมิด โพร์ไฟล์ที่จำเพาะ โดยไม่พบลักษณะเด่นของการจัดจำแนกตามแบบแผนพลาสมิดที่สัมพันธ์กับชนิดพืชและที่มาของเชื้อ
6. การจัดจำแนกความแตกต่างและศึกษาโครงสร้างวิวัฒนาการของเชื้อจากการวิเคราะห์รูปแบบ RAPD ร่วมกับไพรเมอร์ 5 ชนิด พบความหลากหลายของแบบดีเอ็นเอกต่ำถึงไพรเมอร์อยู่ในช่วง 10-18 แทน และมีขนาดอยู่ในช่วง 0.29-3.0 กิโลเบส สามารถนำมาจำแนกความแตกต่างได้เป็น 5 กลุ่มที่ในไทย โดยชนิดของดินที่ต่างกันเป็นปัจจัยสำคัญทำให้เกิดความผันแปรทางพันธุกรรมได้มากกว่าสายพันธุ์พืช และพบความไม่สอดคล้องกันระหว่างการจำแนกด้วยเทคนิคพลาสมิด โพร์ไฟล์กับผลการวิเคราะห์ด้วย RAPD จึงทำให้การวิเคราะห์ระดับความเหมือนกันบางส่วนมีความจำเป็นอย่างยิ่งสำหรับการศึกษาความหลากหลายที่เกิดภายในประชากรธรรมชาติ โดยความหลากหลายที่สังเกตได้ในประชากรขึ้นอยู่กับเทคนิคที่เลือกใช้ซึ่งพลาสมิด โพร์ไฟล์ให้ความหลากหลายในการจัดจำแนกที่สูงกว่าเทคนิค RAPD มีประโยชน์สำหรับการจำแนกเชื้อที่มีพันธุกรรมใกล้ชิดกันมาก ๆ ออกจากกัน หรือมีความแตกต่างกันมาก ๆ ออกจากกันได้ แต่อย่างไรก็ตามที่ระดับการวิเคราะห์ด้วยเทคนิคพลาสมิด โพร์ไฟล์นี้ ก็มีข้อเสียของการจัดจำแนกเกิดขึ้นด้วย คือ สามารถแยกสายพันธุ์ที่มีความใกล้ชิดกันทางพันธุกรรมที่มาจากการแพร่กระจายกันมีจีโนไทป์ที่เหมือนกันออกจากกันได้อย่างลึกลึกลง ถึงอย่างไรก็ตามเทคนิคพลาสมิด โพร์ไฟล์ก็ถูกยอมรับและนำมาใช้เป็นมาตรฐานในการจำแนกสายพันธุ์ของเชื้อที่มีจำนวนมาก ๆ ได้อย่างรวดเร็วและมีประสิทธิภาพ มีประโยชน์สำหรับการจำแนกเชื้อขึ้นต้นในกรณีที่ไม่ต้องการความละเอียดมากนัก และสามารถนำมาใช้ประเมินเป็นเทคนิคประกอบร่วมกับการวิเคราะห์ด้วยเทคนิค RAPD ในกรณีที่ต้องการข้อมูลการจัดจำแนกที่มีความละเอียดและถูกต้องมากยิ่งขึ้น ซึ่งจะช่วยลดข้อผิดพลาดที่เกิดจาก

การจำแนกเพียงเทคนิคเดียวแล้วบังให้รายละเอียดของข้อมูลที่ครบถ้วนบนரากฐานของกระบวนการวิพัฒนาการที่แตกต่างภายใต้ในเงื่อนไขนี้ในนั้น ซึ่งข้อมูลการจำแนกบนพื้นฐานความต่างของแบบแผนพลาสมิดและเทคนิค RAPD จะแสดงให้เห็นถึงความหลากหลายทางพันธุกรรมที่เกิดขึ้นภายใต้ในพลาสมิดกลุ่มเดียวกัน ที่สามารถนำมาใช้จำแนกและยืนยันความสัมพันธ์ได้ร่วมกับคุณสมบัติการด้านสารปฏิชีวนะที่ต่างกันหลายชนิด ซึ่งการเปรียบเทียบข้อมูลการจัดจำแนกบนพื้นฐานทาง生物ในไทยปัจจุบันนี้ พบข้อจำกัดที่เป็นได้ทั้งข้อดี และข้อเสียที่แตกต่างกันระหว่างเทคนิค อาจนำมาซึ่งความเข้าใจถึงความผันแปรที่เกิดขึ้นเองในธรรมชาติที่ควรนำมาประกอบการพิจารณา เพื่อเป็นแนวทางในการนำไปประยุกต์ใช้กับงานการจัดจำแนกเช่นไร ให้เป็นชนิดอื่นๆ ได้อย่างสะดวกรวดเร็วและมีประสิทธิภาพมากยิ่งขึ้น แต่อย่างไรก็ตามการจะเลือกใช้เทคนิคใดในการจัดจำแนกย่อมต้องขึ้นอยู่กับคุณสมบัติของงานวิจัยเป็นหลักสำคัญ นอกเหนือไปแล้วข้อมูลการศึกษาปัจจัยที่มีอิทธิพลทำให้เกิดความหลากหลายทางพันธุกรรมของสิ่งมีชีวิตบางชนิดในแต่ละท้องที่ยังมีประโยชน์ต่อการพัฒนาองค์การความรู้ความหลากหลาย โดยจะนำมาซึ่งคำตอบและแนวทางการจัดการกับสภาพความหลากหลายของสิ่งมีชีวิตในแต่ละท้องถิ่นให้ตรงอยู่มีให้สูญเสียไปได้

7. ผลการทดสอบประสิทธิภาพการครึ่งในไตรเจน การเกิดปม และลักษณะการเกิดปม พบว่า แยกทิวตี้ของเอนไซม์ในไตรเจนส์ ของเชื้อทั้ง 32 ไอโซเลท ไม่มีความแตกต่างกันอย่างมีนัยสำคัญทางสถิติ และพบว่า ไอโซเลทส่วนใหญ่ให้น้ำหนักของต้นแห้งที่สัมพันธ์กับค่า ARA (Acetylene Reduction Assay) และน้ำหนักปมแห้งมากกว่าจำนวนปม ลักษณะการเกิดปมแบ่งได้เป็น 3 กลุ่ม คือ กลุ่ม 1 มีปมการกระจายตามรากแก้ว ส่วนกลุ่มที่ 2 และกลุ่มที่ 3 มีปมการกระจายตามรากแขนงและรากแขนงกับรากแก้ว อันได้แก่ ไอโซเลทของเชื้อส่วนใหญ่ที่นำมาศึกษา

รายการอ้างอิง

ภาษาไทย

- กรณีการ์ ว่องคุณยาน. 2536. ผลกระทบทางจุลชีววิทยาของคิน ในป่าเบญจพรรณที่ผ่านการทำไม้บริเวณหัวย่านดิน จังหวัดกาญจนบุรี. วิทยานิพนธ์ปริญญาบัณฑิต มหาวิทยาลัยเกษตรศาสตร์.
- กลุ่มงานวิจัยจุลินทรีย์คิน. 2529. เอกสารประกอบการฝึกอบรมหลักสูตรปัจจัยชีวภาพ จัดพิมพ์โดย กลุ่มงานวิจัยจุลินทรีย์คิน กองปฐพีวิทยา กรมวิชาการเกษตร. หน้า 270.
- กลุ่มงานวิจัยจุลินทรีย์คิน. 2541. เอกสารประกอบการฝึกอบรมหลักสูตรปัจจัยชีวภาพ จัดพิมพ์โดย กลุ่มงานวิจัยจุลินทรีย์คิน กองปฐพีวิทยา กรมวิชาการเกษตร. หน้า 368 .
- ณัฐพร สุนทรวิจารณ์. 2534. ผลกระทบชั้นแฟรงกเมนท์ลงเรซ โพลีนอฟิติเมของแบคทีเรียที่ต้องในไตรเจน *Bradyrhizobium japonicum*. วิทยานิพนธ์ปริญญาบัณฑิต จุฬาลงกรณ์มหาวิทยาลัย.
- นันทกร บุญเกิด , บริชา วงศ์ศิริศักดิ์ และ วิทยานานุสนธ์. 2536. การสำรวจเชื้อไร โрозเบี้ยน ถั่วคลิง ในคินที่ระบบการปลูกพืชต่างกัน. วารสารวิชาการเกษตร.11(3) : หน้า 114-119.
- พิกุล ธรรมานิมิตกุล. 2530. ผลกระทบจากการเปลี่ยนแปลงของกระบวนการทางระบบนิเวศต่อการเปลี่ยนแปลงประชากรไร โrozเบี้ยน. วิทยานิพนธ์ปริญญาบัณฑิต มหาวิทยาลัยเกษตรศาสตร์.
- พรพรรณ ชงสันติกุล. 2528. การคัดเลือกสายพันธุ์ไร โrozเบี้ยนของgrade คิน วิทยานิพนธ์ปริญญาบัณฑิตมหาวิทยาลัยเกษตรศาสตร์.
- พรรณราย ขันธรักษ์. 2541. ความแปรปรวนทางพันธุกรรมในระหว่างกลุ่มของข้าวเหนียวเมืองวิเคราะห์ด้วยเทคนิคการเอ็ปคี. วิทยานิพนธ์ปริญญาบัณฑิต มหาวิทยาลัยเกษตรศาสตร์.
- ทรงชัย คัมภีร์. 2530. จุลินทรีย์ในคิน มหาวิทยาลัยเกษตรศาสตร์. กรุงเทพฯ. 211 น.
- ประกิตศิลิน สีหมอนท์. 2540. จุลินทรีย์คิน เอกสารไม่มีตีพิมพ์. ภาควิชาจุลชีววิทยา. คณะวิทยาศาสตร์. จุฬาลงกรณ์มหาวิทยาลัย.
- วิทูร ชินพันธุ์. 2537. ลักษณะของหญ้าแฝก. คู่มือการดำเนินงานเกี่ยวกับหญ้าแฝก. กรมพัฒนาที่ดิน กระทรวงเกษตรและสหกรณ์. 15-24.
- วิโรจน์ อิ่มพิทักษ์. 2524. การวัดปริมาณการตระหนักรู้ในไตรเจนของพืชตระกูลถั่วในสภาพไร่นาโดยใช้ N 15. วารสารคินและปี๊ป 3 : 104-112.

- วรวิชญ์ เกมนสุข. 2521. การตอบสนองของถั่วเขียวสายพันธุ์ต่างๆ ต่อการใช้เรื้อรังไนโตรเจน. ปริญญามหาบัณฑิต. มหาวิทยาลัยสงขลานครินทร์. หาดใหญ่, สงขลา.
- วิไล หนุนภักดี. 2535. พีซีอาร์ เทคโนโลยี : หลักพื้นฐานและองค์ประกอบสำคัญ. ภาควิชา
วิทยาศาสตร์. มหาวิทยาลัยมหิดล. กรุงเทพฯ.
- วิสุทธิ์ ใบไม้. 2532. ความหลากหลายทางชีวภาพ. 1-13. ใน ภาควิชาชีววิทยา. คณะวิทยาศาสตร์.
มหาวิทยาลัยเชียงใหม่. สาขาวิทยาสามารถวิทยาศาสตร์แห่งประเทศไทยในพระ
บรมราชูปถัมถ์ ร่วมกับองค์กรยูเอ็ด (USAID). ความหลากหลายทางชีวภาพใน
ประเทศไทย. กรุงเทพฯ : บริษัท ประชาชน จำกัด.
- วิสุทธิ์ ใบไม้. 2538. สถานะภาพความหลากหลายทางชีวภาพในประเทศไทย (ตอนที่ 1). สารคดี.
11 (123) : 115-124.
- วิสุทธิ์ ใบไม้. 2540. วิพัฒนาการกับทรัพยากรชีวภาพ. ภาควิชาชีววิทยา. คณะวิทยาศาสตร์.
มหาวิทยาลัยมหิดล. กรุงเทพฯ. 50 หน้า.
- ศุภกิจ สอนประจักษ์. 2539. การทำลายพิมพ์ดีเอ็นเอของแบคทีเรีย Lactobacillus pentosus และ
Lactobacillus plantarum จากอาหารมักคองพื้นเมือง โดยวิธี Random Amplified
DNA (GENOMIC DNA FINGERPRINTING OF *Lactobacillus pentosus* and
Lactobacillus plantarum FROM TRADITIONAL FERMENTED FOOD USING
RANDOM AMPLIFIED POLYMORPHIC DNA). ปริญญามหาบัณฑิต จุฬาลงกรณ์
มหาวิทยาลัย.
- ศุภมาศ พนิชศักดิ์พัฒนา. 2529. จุลชีววิทยาของคินเพื่อผลิตผลทางการเกษตร. มหาวิทยาลัย
เกษตรศาสตร์. กรุงเทพฯ. 335 น
- ศรีศักดิ์ ฐานี. 2540. การหมุนเวียนธาตุอาหารของป่าดิบแล้งธรรมชาติและป่าดิบแล้งที่กำลังคืน
สภาพ จังหวัดยะลา. วิทยานิพนธ์ปริญญามหาบัณฑิต จุฬาลงกรณ์มหาวิทยาลัย.
- เศรษฐี ศรีพินท์. 2535. การคัดเลือกและปรับปรุงพันธุ์ถั่วเขียวเพื่อเพิ่มประสิทธิภาพการตรึง
ไนโตรเจน. วิทยานิพนธ์ปริญญาดุษฎีบัณฑิต มหาวิทยาลัยเกษตรศาสตร์.
- สมศักดิ์ วงศ์. 2525. การตรึงไนโตรเจน: ไรโซบิโอฟิลลิก-พีซีอะกูลถั่ว. พิมพ์ครั้งที่ 4, คณะเกษตร.
มหาวิทยาลัยเกษตรศาสตร์. กรุงเทพฯ . 260 หน้า.
- สมศักดิ์ วงศ์. 2528. จุลทรรศน์และกิจกรรมในคิน. ภาควิชาปฐพีวิทยา. คณะ เกษตร.
มหาวิทยาลัยเกษตรศาสตร์. กรุงเทพฯ . 192 หน้า.

ภาษาอังกฤษ

Abdel Basit, H., Kotob, S.I. and Van Berkum, P. 1991. Phenotypic diversity among strains of *Bradyrhizobium japonicum*. *Appl. Environ. Microbiol.* 57 : 570-1572.

- Achara, N., Mikiko, A., Toshiki, U., Nantakorn, B.K. and Shiro, H. 1997. Characterization of *Bradyrhizobium* strains isolated from soybean cultivation in Thailand. J. Gen. Appl. Microbiol. 43 :183-187.
- Achara, N., Mikiko, A., Toshiki, U., Nantakorn, B.K. and Shiro, H. 1996. Characterization of *Rhizobial strains isolation* from soybean. J. Gen. Appl. Microbiol. 43 :183-187.
- Adachi, T. and Iyer, V.N. 1980. A procedure for the isolation and purification of plasmid DNA from *Rhizobium meliloti*. Anal. Biochem. 101 : 271-274
- Allen, O.N. and Allen, E.K., 1981. The leguminosae.A source Book of charecteristics, uses and Nodulation. of Wisconsin, Press, Madison, Wisconsin .812 pp.
- Appleby, C.A. 1974. Leghemoglobin, pp. 521-582. In A. Quispel (ed.). The biology of nitrogen fixation. Co., Amsterdam : North-Holland Pub.
- Ausubel, F.M. 1984. Developmental genetics of *Rhizobium/ legume symbiosis*, pp. 275-298. In R. Losick and L.Shapiro.(eds.) Microbial Development. New York :Cold Spring Harbar Laboratory Press. Cold Sporing Harbor,
- Banfalvi, Z., Sakanyan, V. and Konez, C. 1981. Location of nodulation and nitrogen fixation genes on a high molecular weight plasmid of *R.meliloti*. Mol. Gen. Genet. 184 : 318-325.
- Bauer, W.D. 1981. Infection of legumes by Rhizobia. Annu. Rev. Plant. physiol. 32:407.
- Beatrice, A., Kate., J., JIM., L.B. and Ken., E.G. 1995. Diversity of Rhizobia Phaseolus vulgaris L. in two Kenyan soil with contrasting pHs. Appl. Environ. Microbiol. 61 (11) : 4016-4021.
- Bergey, 1983 . Manual of determinative bacteriology, 9th ed.
- Beynon, J.L. and Josey, D.P. 1981. Demonstration of heterogeneity in a natural population of *Rhizobium phaseoli* using variation of intrinsic antibiotic resistance. J. Gen. Microbiol. 118 : 437-442.
- Beynon, J.L., Beringer , J.E. and Johnston, A.W.B. 1980. Plasmids and host range in *Rhizobium leguminosarum* and *Rhizobium phaseoli* . J. Gen. Microbiol. 120 :421-430.
- Bohlool, B.B. and Schmidt, E.L. 1983. Persistence and competition aspects of *Rhizobium japonicum* observed by immunofluorescence microscopy. Soil. Sci. Soc. Am. Proc. 37 : 561-564.
- Boonkerd, N. and Weaver, R.W. 1982. Survival of cowpea Rhizobia in soil as affected by soil temperature and moisture. Appl. Environ. Microbiol. 43 : 585-589.

- Breed, R.S., Murray, E.G.D. and Smith ,N.R. 1957 . Bergey's manual of determinative bacteriology 7th ed. Baltimore : William and Wilkins. p.1,094.
- Brewin, N.J., Beringer, J.E., and Johnston, A.W.B. 1982. Plasmid-mediate transfer to host-range specificity between two strains of *Rhizobium legumioosarum*. J. Gen Microbiol. 120 : 413-420.
- Brewin, N.J., DeJong, T.M., Phillips, D.A. and Johnston, A.W.B. 1980. Go – transfer of determinants of hydrogenase activity and nodulation ability in *Rhizobium leguminosarum*. Nature 288 : 77-79
- Brill, W.J. 1997. Biological nitrogenase fixation. Science. Amer. 236 (3) : 68-81.
- Brinboim H.C. and Hardy, R.W. F. 1975. Nitrogen Fixation in Bacteria and Higher Plants Springer-Verleg New York.
- Brockman, F.J. and Bezdicek, D. F. 1989. Diversity within serogroup of *Rhizobium leguminosarum* biovar viceae in the palouse region of Eastern Washington as indicated by plasmid profiles, intrinsic antibiotic resistance, and topography. Appl. Environ. Microbiol. 55 :109-115.
- Brockwell, J. and Katzenelson, J. 1976. Symbiotic characteristics of *Rhizobium trifolii* from *Isreel* in assosiation with 10 species of *Trifolium*. Aust. J. Agric. Res. 27 :799-810.
- Brom, S., Garcia de los Santos, A., Girard, M.L., Devila, G., Palacios, R. and Romero, D. 1991. High frequency rearrangements in *Rhizobium leguminosarum* bv. phaseoli plasmids. J. Bacteriol. 173, 1344-1346.
- Bromfield, E.S.P., Thurman, N.P., Whitwill, S.T. and Burran, L.R. 1987. Plasmids and symbiotic effectiveness of representative phage types from two indigenous population of *Rhizobium meliloti* . J.Gen Microbiol. 133: 3457-3466.
- Broughton, W.J., Heyeke, N., Schneider, G.M., and Stanley, J. 1987. Ecological genetics of *Rhizobium meliloti* diversity and competitive dominance. FEMS. Microbiol. Lett. 40 : 245-249.
- Burns, R.C. and Hardy, R.W.F. 1975 Nitrogen Fixation in Bacteria and Higher Plants Springer-Verleg New York.
- Burton, J.C. 1965. The *Rhizobium*-legume assosiation, In : Microbiology and soil fertility. Ed.C.M. Gilmour and Allen. O.N. Oregon State University Press.
- Cole, M.A. and Elkan, G.H. 1973. Transmissible resistance to penicillin , neomycin and Chloramphenicol in *Rhizobium spp.* Antimicrob. Agents. Chemother 4 : 248-253.

- Crozat, Y., Cleyet – Marel, J.C., Giraud, J. and Obaton, M. 1982. Survival rates of *Rhizobium japonicum* populations introduced into different soils. Soil. Biochem. 14 : 401-405
- Currier, T.c. and Nester, E.W. 1976. Evidence of diverse types of large plasmid in tumor-inducing stains of *Agrobacterium*. J. Bacteriol. 126. :157-165.
- Cuttin, J.A. 1971. The biogenesis by leghemoglobin : The determinant in the *Rhizbium* legum symbiosis for leghemoglobin specificity. Biochem. Biophys Acta. 229 : 58-62.
- Day, R., Thurman, N., Lewis, D.G. and Jone, D. 1978. The relationship of plasmid number to growth acid tolerance and symbiotic efficiency in isolates of *Rhizobium trifolii* J. Appl. Bacteriol. 58 : 1-6..
- Denarie, J., Boistard, P ., Delbart, F.C., Atherly, A.G., Berry, J.O and Russel, P. 1981. Indigenous plasmids of *Rhizobium*, pp. 225-246. In K.Giles and A. Atherly (eds.). Biology of the Rhizobiaceae. Academic Press, New York.
- Dilworth, M. 1966. Acetylene reduction by nitrogen fixing preparation of *Clostridium pasteurianum*. Biochem and Biophys. Acta. 127 : 285-294.
- Djordjevic, M.A. Zurkowski, W. and Rolfe, B.G. 1981. Plasmids and stability of symbiotic properties of *Rhizobium trifolii*. J. Bacteriol. 151 : 560-568.
- Dughere, M.H. and Bottomley, P.J. 1983. Effect of acidity on the composition of an indigenous soil population of *Rhizobium trifolii* found in nodules of *Trifolium subterraneum*. Appl. Environ. Microbiol. 46 : 1207-1213.
- Eckert' K.A. and Kunkel, T.A. 1991. The efidelity of DNA polymerase used the polymerase chain reaction. In PCR Practical Approach. Mc Pherson, M.J. Quirke, P. and Taylor, G.R.(eds). Oxford University Press, New York, U.S.A.
- Eckhardt, J. 1978. A rapid method for the identification of plasmid DNA in bacteria . Plasmid 1: 584-588.
- Flores, M., Gonzalez, V., Pardo, M.A., and Leija, A 1988. Genomic instability in *Rhizobium phaseoli*. J. Bacteriol. 170 : 1191-1196.
- Garcia – delos Santos, A., Brom, S. and Romero, D. 1996. *Rhizobium* plasmids in bacteria–legume interactions. World J. of Microbiol. Biotech. 12 : 119-125.
- Glynn, P., Higgins, P., Sqartini, A. and O'Gara, F. 1985. Strain identification in *Rhizobium trifolii* using DNA restriction analysis, plasmid DNA profiles and intrinsic antibiotic resistance. FEMS. Micorbiol. Lett. 30 : 177-172.

- Gross, D.C., Vidivar, A.K. and Klucas, R.V. 1979. Plasmids biological properties and efficacy of nitrogen fixation in *Rhizobium japonicum* strains indigenous to alkaline soils. J. Gen. Microbiol. 114 :257-266.
- Hardy, R.W.F., Burns, R.C. and Holsten, R.D. 1973. Application of the acetylene- ethylene assay for measurement of nitrogen fixation. Soil Biol. Biochem. 5: 47-81.
- Hardy, R.W.F., Hoisten, R.D., Jackson, E.K. and Burns., R.C. 1968. The acetylene- ethylene assay for N₂-fixation laboratory and field evalution. Plant Physiol. 43 :1185-1207.
- Harrison, S.P., Mytton, L.R. and Cresswell, A. 1992. Characterisation of *Rhizobium* isolates by amplification of DNA polymorphism using random primers. Can.J.Microbiol. 38 : 1009-1015. 143
- Harrison, S.P., Young, J.P.W. and Jones, D.G.. 1989. *Rhizobium* population genetics: genetic variation within and between populations from diverse locations. J. Gen. Microbiol. 135 : 1061-1069.
- Hartmann, A. and N. Amarger. 1991. Genotypic diversity of an indigenous *Rhizobium meliloti* field population assessed by plasmid profiles, DNA fingerprinting and insertion sequence typing. Can. J. Microbiol. 37 : 600-608.
- Hashem, F.M., Kuykendall, L.D., Udell, S.E. and Thomas, P.M. 1996. Phage susceptibility and plasmid profile analysis of *Sinorhizobium fredii*. Plant and soil 186 : 127-134.
- Hirsch, P.R., Montaru, M.V., Johnston, A.W.B., Brewin, N.J. and Schell, J. 1980. Physical identification of bacteriocinogenic nodulation and other plasmids in strains of *Rhizobium leguminosarum*. J. Gen. Microbiol. 120 : 403-412.
- Hirsch, P.R. 1979. Plasmid-determined bacteriocin prodution by *Rhizobium leguminosarum*. J. Gen. Microbiol. 113 : 219-228.
- Jackson, M.L. 1956. Soil chemical analysis. London: Academic Press.
- Johnston, D., Mytton, L., Livesey, F. and Len, P. 1978. Specific and general effectiveness of *Rhizobium trifoli* population from different agricultural locations. Plant soil. 73: 299-305.
- Jordan, D.C. 1984. Family III, Rhizobiaceae Conn 1938. pp. 234-256. In Krieg, N.R., and Holt, J.G. (eds.). Berger's Manual of Systematic Bacteriology. Willians and Wilkins Co., Baltimore.

- Kishinevsky, B., Sen, D., John, M. and Yang, G. 1996. Diversity of Rhizobia isolated from various *Hedysarum* species. Plant and Soil 186 : 21-28.
- Kuykendall, L.D., Roy, M.A., O'neill, J. J. and Devine, T.E. 1998. Fatty acids, antibiotic resistance and deoxyribonucleic acid homology groups of *Bradyrhizobium japonicum*. Int. J. Syst. Bacterial. 38 : 358-361.
- Laguerre, Gl, Mazurier, S.I. and Amarger, N. 1992. Plasmid profile and restriction fragment length polymorphism of *Rhizobium leguminosarum* bv. *viciae* in field population. FEMS. Microbiol. Ecol. 101 : 17-26.
- Laguerre, G., Allard, M.R., Revoy, F. and Amarger. 1994. Rapid identification of Rhizobia by restriction fragment length polymorphism analysis of PCR – amplified 16sr RNA genes. Appl. Environ. Microbiol. 60 : 56-63.
- Lance, R., Myton, L.H., Malcolm, D. and Cresswell. 1992. Characterisation of Rhizobium isolates by amplification of DNA polymorphisms using random primers. . Appl. Environ. Microbiol. 38 : 1009-1012.
- Lindstrom, K., Jaris, B.D., Lindstrom, P.E. and Patel, C. 1983. DNA homology, phage-typing, and cross-nodulation studies of Rhizobia infecting Galega species. Can. J. microbiol 29: 781-789.
- Long, S.R. 1984. Genetics of *Rhizobium* Nodulation. pp. 256-305. In T. Kester (eds.). Plant-Microbe Interactions. Molecular and Genetic Perspectives Macmillan Publish Company, New York. Lindstrom.
- Maniatis, T., Fritsch, E.F. and Sambrook, J .1982. Molecular cloning : a laboratory manual Cold Spring Harbor Laboratory, Cold Spring Harbor, N.Y.
- Maria, D.L, Flores,M., Brom, S. and Davila, G. 1991. Structural complexity of the symbiotic plasmid of *Rhizobium leguminosarum* bv. *phaseoli*. J. Bacteriol. 173(8): 2411-2419.
- Masterson, R.V., Prakash, R.K. and Atherly, A.G. 1985. Conservation of symbiotic nitrogen fixation gene sequences in *Rhizobium japonicum* and *Bradyrhizobium japonicum* . J. Bacteriol. 163(1): 21-26.
- Masterson, R.V., Russell, P.R. and Atherly, A.G. 1982. Nitrogen fixation (nif) genes and large plasmids of *Rhizobium japonicum*. J.Bacteriol. 152 : 928-931.
- Mc Pherson, M.J., Quirke, P. and Taylor. G.R. 1991. Polymerase chain reaction .basic principle and autocation. PCR A Practical Approach. Oxford University Press, Walton street, Oxford, England.

- Mozo, T., Cabrera ,E. and Ruiz-Argueso,T. 1988. Diversity of plasmid profiles and conservation of symbiotic nitrogen fixation gene in newly isolate *Rhizobium* nodulation sulla (*Hedysarum coronarium L.*) Appl. Environ. Microbiol. 54 : 1262-1267.
- National Committee for Clinical Laboratory Standards. 1992. Fourth informational supplement : M100 – S4. Performance standards for antimicrobial susceptibility testing. NCCLS, Villanova, Pa.
- Noel, K. D. and Brill, W. J. 1988 . Diversity and dynamis of indigenous *Rhizobium japonicum* population .Appl. Environ. Microbiol. 40 : 931 - 938.
- Norris, D.O. 1965. Acid product by *Rhizobium* ; A unifying concept. Plant Soil. 22 : 143-166.
- Nuti, M.P., Ledebot, A.W., Lepidi, A.A. and Scilperoort, R.A. 1977. Large plasmids in different *Rhizobium* species. J. Gen. Microbiol. 100 : 241-248
- Nuti, M.P., Lepidi, A.A., Schileroott, R.A. and Cannon, F.C. 1979. Evidence for nitrogen fixation (nif) gene on indigenous *Rhizobium* plasmids. Nature. 282 : 533-535.
- Nuswantara, S., Araki, M., Sukiman, H. and Murooka, Y. 1996. Repetitive DNA sequences and RAPD patterns on some *Rhizobium* spp. Isolated from *Acacia mangium*. Report of Monbusho International Scientific Research Program.
- Padmanabhan, S. Hirtz R.D. and Broughton, W.J. 1990. Rhizobial in tropical legumes : cultural characteristics of *Bradyrhizbium* sp. Soil. Biol. Biochem. 22 : 23-38.
- Paffetti , D., Bazzicalupo, M., Scotti, C. and Gnocchi, S. 1996. Genetic Diversity of an italyan *Rhizobium meliloti* Population from Different *Medicago sativa* varieties. Appl. Environ. Microbiol. 62 (7) : 2279-2285.
- Prakash, R.K. and Atherly, A.G. 1986. Plasmids of *Rhizobium* and their role in symbiotic nitrogen fixation. Int. Rev. Cytol. 104 : 1-24.
- Prakash, R.K., Schilperoort, R.A. and Nuti, M.P. 1981. Large plasmids of fast- growing *rhizobium* : homology studies and location of structural nitrogen fixation (nif) genes. J. Bacteriol. 145: 1129-1136.
- Richards, D., Kupem, E., Sen, R. and Seland, U. 1994. Genetic Diversity and Relationship among isolate of *Rhizobium leguminosarum*. Appl. Environ. Microbiol. 54: 2825-2823 .
- Rochelle, D., Casse, F., Boucher, D. and Michel, M. 1985. Identification and characterization of large plasmids in *Rhizobium meliloti* using agarose gel . J. Gen. Microbiol. 113: 229-242.

- Romero, D., Brom, S., Martinez-Salazar, J. and Davila, G. 1991. Amplification and deletion of a *nod-nif* region in the symbiotic plasmid of *Rhizobium phaseoli*. J. Bacteriol. 173 (8): 2435-2441.
- Romero, F., Datum, R., Claveria, A.B. and Ruiz-sainz, J.E. 1993. Broadhost-effective mutants of *Rhizobium fredii* strains. J. Appl. Bacteriol. 74 : 610-619.
- Rosenberg, C., Boistard, P., Denaric, J. and Delbart, F.C. 1982. Genes controlling clearly and late function in symbiosis are located on a megaplasmid in *Rhizobium meliloti*. Mol. Gen. Genet. 194: 326-333.
- Saiki, R.K., Scarf, S., Falloona, K.B. and Amheim,N. 1985. Enzymatic amplification of beta-globin sequences. Scienence 230: 1350-1354.
- Schofield, P.R., Gibson, A.H., Dudman, W.F. and Watson, J.M. 1987. Evidence for genetic exchange and recombination of Rhizobium Symbiotic plasmid in a soil population. Appl. Environ. Microbiol. 53 : 2942-2947.
- Shishdo, M. and I.L. Pepper. 1990. Identification of dominant indigenous *Rhizobium meliloti* by plasmid profiles and intrinsic antibiotic resistance . Soil. Biol. Biochem. 22 : 11-16.
- Somasegaran, P and Hoben, H.J. 1994. Method in Legume / *Rhizobium* Technology:Train. NifTAL ,Project, Univ of Hawaii. 250 p.146
- Somasegaran, P. Hoben, H. J. and Halliday, J. 1985. Practical exercise Legume / Rhizobium Technology:Train manual. NifTAL , Dep.Of Agron. And Soil Sci.Univ of Hawaii. 250 p.
- Starky, M.J., Wind, G., Hong, J.M. and Bohlool, B.B .1983. Possible involvement of a megaplasmid in nodulation of soybean by fast-growing rhizobia from china. Appl. Environ. Micobiol 46 : 906-911
- Sulaiman, R. 1986. Survival rate of direct seeding and containerised planting of Acacia mangium, pp. 173-175. In J.W.Tubell (ed.). Acacias in Developing countries. Aciar Proc. No.16. Canbera, Australia.
- Teaumroong, N.,Boonkerd, N and Murooka, Y.1996. Use of PCR Technology in conjunction with antibiotic resistance profile to differentiate *Bradyrhizobium* applied in Thailand .Report of Monbusho Internation Scientific Research Program.
- Teaumroong, N., Murooka, Y. and Boonkerd, N. 1995. Acid tolerance and antibiotic resistance of some strains of *Bradyrhizobium* applied in Thailand. Suranaree J. Sci. Technol. 2 75-80.

- Thurman, N.P., Lewis, D.M. and Jones, D.G. 1985. The relationship of plasmid number to growth, acid tolerance and symbiotic efficiency in isolates of *Rhizobium trifoli*. J. Appl. Bacteriol. 58 : 1-6.
- Torvik, V., Goksoy, J. and Daae, F. L. 1990. High diversity in DNA of soil bacteria. Appl. Environ. Microbiol. 56 : 782- 787.
- Turk, D. and Keyser. 1992. Rhizobium that nodulate tree Legumes: specificity of the host for nodulation and effectiveness. Can. J. Microbiol.: 451-460
- Van Berkum, P., Gewaily, E.M. and Angle, J.S. 1993. Genotypic diversity among strains of *Bradyrhizobium japonicum* belonging to serogroup 110. Appl. Environ. Microbiol. 59 : 3130-3133.
- Verma, D.P.S. and long, S. 1983. The molecular biology of *Rhizobium-legume* symbiosis. Int. Rev. Cytol. 14 : 211.
- Vincent, J.M. 1970. A Manual for the Practical Study of Root -nodule Bacteria. Blackwell Scientific Publications Oxford, UK.
- Vincent, J.M. 1980. Factor control the *Rhizobium* -legume symbiosis. pp. 103-130. In Newton, W.F. and Orme-Johnson, W. H. (eds.). Nitrogen fixation, Vol.2 : Symbiotic Association and Cyanabacteria. University Park Press.
- Wac Cleland, J.G. 1990. Genetic polymorphism in varietal identification and identification and genetic improvement. Theor. Appl. Genet. 67: 25-33.
- Weaver, R.W. and Frederick, L.R. 1972. A new technique for most probable number (MPN) counts of Rhizobia. Plant and Soil. 36 : 219-222.
- Weaver, R.W., Morris, N. and Boonkerd. 1987. Population of *Bradyrhizobium japonicum* in field cropped with soybean rice rotation. Soil . Sci.Soc.An. J. 51: 90-92.
- Welsh, J and McClelland, M. 1990. Fingerprinting genome using PCR with arbitrary primer. Nucl.Acids Res. 18 : 7213-7218.
- Willing, J. 1967. The effect of high temperature on certain root nodule bacteria. Aust.J. Agric. Res. 18: 299-304.
- Williams, J. P. W., Young, K., Arada, P. and Quit, A. 1985. *Rhizobium* population Genetic : Enzyme polymorphism in isolate from Pea, Clover, Beans and Lucerne grow at the same site. J. Gen. Microbiol. 131 : 2399-2408.

ภาคผนวก

ภาคผนวก ก.

สูตรอาหารสำหรับเลี้ยงเชื้ออุติโนทรีย์และเลี้ยงต้นพืช

1. Yeast extract Manitol Agar (YMA)

Manitol	10 g
K ₂ HPO ₄	0.5 g
MgSO ₄ 7H ₂ O	0.2 g
NaCl	0.1 g
Yeast extract	1 g
น้ำก๊ั่น	1000 ml
agar	15 g

นึ่งฆ่าเชื้อที่อุณหภูมิ 121 องศาเซลเซียส ความดัน 15 ปอนด์/ตารางนิวตัน นาที ปรับ pH ให้อยู่ในช่วง 6.8-7.0

2. YMA-congo red

Manitol	10 g
K ₂ HPO ₄	0.5 g
MgSO ₄ 7H ₂ O	0.2 g
NaCl	0.1 g
CaCO ₃	3 g
Yeast extract	1 g
น้ำก๊ั่น	1000 ml
agar	15 g
1% congo red	2.5 ml

นึ่งฆ่าเชื้อที่อุณหภูมิ 121 องศาเซลเซียส ความดัน 15 ปอนด์/ตารางนิวตัน นาที

3. L-broth (LB)

Peptone	5 g
Beef extract	3 g
Lactose	5 g
Bromthymal blue indicator	1 ml
น้ำก๊ั่น	1000 ml

4. Typtone Yeast extract (TYE)

Tryptone	5 g
Yeast extract	3 g
CaCl ₂ 6H ₂ O	1.3 g
น้ำกลั่น	1000 g

น้ำยาเชื้อที่อุณหภูมิ 121 องศาเซลเซียส ความดัน 15 ปอนด์/ตารางนิวตัน 15 นาที

5. Plant nutrient solution (Somasegaram et al., 1985)

N-free nutrient solution

Stock Solution	Element	μM	Form	M
1	Ca	1000	CaCl ₂ 2.H ₂ O	2.0
2	P	500	KH ₂ PO ₄	1.0
3	Fe	10	Fe citrate	0.02
	Mg	250	MgSO ₄ .7 H ₂ O	0.5
	K	250	K ₂ SO ₄	0.5
	Mn	1		
4	B	2	MnSO ₄ . H ₂ O	0.002
	Zn	0.5	H ₃ BO ₃	0.004
	Cu	0.2	ZnSO ₄ . 7H ₂ O	0.001
	Cp	0.1	CuSO ₄ . 7 H ₂ O	0.0004
	Mo	0.1	CoSO ₄ . 5 H ₂ O	0.0002
			Na ₂ MOO ₄ . 2H ₂ O	0.0002

การเตรียม N-free nutrient solution ผสม stock solution 1 ถึง 4 อย่างละ 5 มิลลิลิตรในน้ำกลั่น 5 ลิตร และเพิ่งสารให้มีปริมาณ 10 ลิตร

สำหรับ treatment ที่ใส่ในไตรเจน 70 ส่วนในส่วน เตรียมโดยคลายแยกในเนย์นในเครตใน N-free nutrient solution ให้มีความเข้มข้น 0.02 เปอร์เซ็นต์

ภาคผนวก ฯ

ตารางประมาณจำนวนไวรัสเบียน โดยเทคนิค MPN (plant infection method)

Positive tubes		Dilution step(s)
n=4	n=2	s=10
40	20	
39	19	>2.0 x 10 ⁵
38		2.0 x 10 ⁵
37		1.2
36	18	8.1 x 10 ⁴
35		5.5
34	17	3.8
33		2.6
32	16	1.8
31		1.3
30	15	9.1 x 10 ³
29		6.3
28	14	4.5
27		3.5
26	13	2.2
25		1.6
24	12	1.1
23		8.0 x 10 ²
22	11	5.6
21		4.0
20	10	2.8
19		2.0
18	9	1.4
17		1.0
16	8	7.1 x 10 ¹
15		5.0
14	7	3.5
13		2.5
12	6	1.8
11		1.3
10	5	8.9 x 10 ⁰
9		6.3
8	4	4.5
7		3.2
6	3	2.2
5		1.6
4	2	1.1
3		7.2 x 10 ⁻¹
2	1	4.4
1		<4.4
0	0	

Approx range 5×10^5 3×10^4 2×10^3 1×10^2
 Factor, 95%
 fiducial limits n=2 4.0
 (x, ÷) n=4 2.7

* Calculated from Table VIII₂ of Fisher and Yates (1963)

ภาคผนวก ก

ตารางแปลผลการค้านสารปฏิชีวนะ โดยใช้ Antibiotic disc (National Committee for Clinical

Laboratory Standards, 1992)

Antimicrobial Agent	Code	Disc Potency	Zone Diameter Interpretive Standards (mm)			Control Zone Diameter Limits (mm)							
			Resistant	Intermediate	Susceptible ^b	E. coli ATCC 25922	S. aureus ATCC 25923	P. aeruginosa ATCC 27853	H. influenzae ATCC 49247c	H. influenzae ATCC 49765c	N. gonorrhoeae ATCC 49226d	N. gonorrhoeae ATCC 49619e	S. pneumoniae ATCC 49619e
						—	—	24 - 30	—	—	—	—	—
Azlocillin <i>P. aeruginosa</i>	AZ-75	75 µg	≤ 17	—	≥ 18	—	—	24 - 30	—	—	—	—	—
Aztreonam	ATM-30	30 µg	≤ 15	16 - 21	≥ 22	28 - 36	—	23 - 29	—	—	—	—	—
Enterobacteriaceae, ^f <i>P. aeruginosa</i> & <i>Acinetobacter</i> <i>Haemophilus</i> spp. ^c			—	—	≥ 26	—	—	—	—	30 - 38 ^c	—	—	—
Bacitracin ^f	B-10	10 U	≤ 8	9 - 12	≥ 13	—	12 - 22	—	—	—	—	—	—
Carbenicillin <i>Enterobacteriaceae</i> and <i>Acinetobacter</i> <i>P. aeruginosa</i>	CB-100	100 µg	≤ 19	20 - 22	≥ 23	23 - 29	—	18 - 24	—	—	—	—	—
Cefaclor h,i	CEC-30	30 µg	≤ 13	14 - 16	≥ 17	—	—	—	—	—	—	—	—
Enterobacteriaceae ^h and staphylococci ⁱ <i>Haemophilus</i> spp. c,k			≤ 14	15 - 17	≥ 18	23 - 27	27 - 31	—	—	—	—	25 - 31 ^c	—
Enoxacin	ENX-10	10 µg	≤ 16	17 - 19	≥ 20	28 - 36	22 - 26	22 - 28	—	—	—	—	43 - 51 ^d
Enterobacteriaceae and staphylococci ^{a,f} <i>N. gonorrhoeae</i> d,cc			≤ 14	15 - 17	≥ 18	—	—	—	—	—	—	—	—
Erythromycin ^j	E-15	15 µg	≤ 13	14 - 22	≥ 23	—	22 - 30	—	—	—	—	—	25 - 30 ^e
Staphylococcus spp. ^j and enterococci ^{k,yy} <i>S. pneumoniae</i> and other streptococci ^{e,ts}			≤ 15	16 - 20	≥ 21	—	—	—	—	—	—	—	—
Imipenem h,j	IPM-10	10 µg	—	—	≥ 16	26 - 32	—	20 - 28	—	—	—	—	—
Enterobacteriaceae, <i>P. aeruginosa</i> , <i>Acinetobacter</i> and <i>staphylococci</i> <i>Haemophilus</i> spp. ^c			≤ 13	14 - 15	≥ 16	—	—	—	—	21 - 29 ^c	—	—	—
Kanamycin	K-30	30 µg	—	—	≥ 16	17 - 25	19 - 26	—	—	—	—	—	—
Enterobacteriaceae and staphylococci			≤ 13	14 - 17	≥ 18	—	—	—	—	—	—	—	—
Oxolinic Acid ^f	OA-2	2 µg	≤ 10	—	≥ 11	20 - 24	10 - 13	—	—	—	—	—	—
Penicillin h	P-10	10 U	—	—	—	—	26 - 37	—	—	—	—	—	—
Staphylococcus spp., l,pp Enterococcus spp., n,o <i>L. monocytogenes</i> ^f <i>M. gonorrhoeae</i> d,cc Streptococci (non- <i>S. pneumoniae</i>) e,ir			≤ 26	—	≥ 29	—	—	—	—	—	—	—	26 - 34 ^d
Pipersacillin PIP-100		100 µg	≤ 17	18 - 20	≥ 21	24 - 30	—	25 - 33	—	—	—	—	24 - 30 ^e
Enterobacteriaceae and <i>Acinetobacter</i> <i>P. aeruginosa</i>			≤ 17	—	≥ 18	—	—	—	—	—	—	—	—
Pipersacillin/			—	—	—	—	—	—	—	—	—	—	—
Tazobactam g	TZP-110	100/10 µg	—	—	—	24 - 30 ^g	27 - 36	25 - 33 ⁱⁱ	—	—	—	—	—
Enterobacteriaceae and <i>Acinetobacter</i> Staphylococcus spp. j,ii and <i>P. aeruginosa</i> ⁱⁱ			≤ 17	18 - 20	≥ 21	—	—	—	—	—	—	—	—
Polymyxin B f,dd	PB-300	300 U	≤ 8	9 - 11	≥ 12	12 - 16	—	—	—	—	—	—	—
Rifampin	RA-5	5 µg	—	—	—	8 - 10	26 - 34	—	—	—	—	—	—
Staphylococcus spp. ^{ss} and <i>Enterococcus</i> spp. yy <i>Haemophilus</i> spp. c <i>S. pneumoniae</i> e,ss			≤ 16	17 - 19	≥ 20	—	—	—	22 - 30 ^c	—	—	—	—
Spiperloxacin SPX-5		5 µg	—	—	—	30 - 38	27 - 33	21 - 29 ^g	—	—	—	—	25 - 30 ^e
Staphylococcus spp. ^{ss} <i>S. pneumoniae</i> e			≤ 15	16 - 18	≥ 19	—	—	—	—	—	—	—	21 - 27 ^e
Spectinomycin	SPT-100	100 µg	—	—	—	—	—	—	—	—	—	—	23 - 29 ^d
<i>N. gonorrhoeae</i> d			≤ 14	15 - 17 ^w	≥ 18	—	—	—	—	—	—	—	—
Streptomycin			—	—	—	—	—	—	—	—	—	—	—
Testing enterococci S-300 for high level resistance n,gg		300 µg	6	7 - 9 ^{nh}	≥ 10	—	—	—	—	—	—	—	—
Enterobacteriaceae S-10		10 µg	≤ 11	12 - 14	≥ 15	12 - 20	14 - 22	—	—	—	—	—	—
Sulfisoxazole t ¹	G-25	250 µg	—	—	—	15 - 23	24 - 34	—	—	—	—	—	—
Enterobacteriaceae, <i>P. aeruginosa</i> , <i>Acinetobacter</i> , <i>staphylococci</i> and <i>V. cholerae</i> m			≤ 12	13 - 16	≥ 17	—	—	—	—	—	—	—	—
Tetracycline gg	Te-30	30 µg	—	—	—	18 - 25	24 - 30	—	—	—	—	—	—
Enterobacteriaceae, <i>P. aeruginosa</i> , <i>Acinetobacter</i> , <i>staphylococci</i> , enterococci yy and <i>V. cholerae</i> m <i>Haemophilus</i> spp. c <i>N. gonorrhoeae</i> g,uu			≤ 14	15 - 18	≥ 19	—	—	—	14 - 22 ^c	—	—	—	—
<i>S. pneumoniae</i> and other streptococci ^e			≤ 25	26 - 28	≥ 29	—	—	—	—	—	30 - 42 ^d	—	27 - 31 ^e
Vancomycin Vs-30		30 µg	—	—	≥ 15	—	17 - 21	—	—	—	—	—	20 - 27 ^g
Staphylococcus spp. vv			—	—	≥ 17	—	—	—	—	—	—	—	—
Enterococcus spp. n,ww			≤ 14	15 - 16	≥ 17	—	—	—	—	—	—	—	—
<i>S. pneumoniae</i> and other streptococci ^{e,xx}			—	—	≥ 17	—	—	—	—	—	—	—	—

^t Adapted in part from NCCLS Document M100-S9: Ninth Informational Supplement, Performance Standards for Antimicrobial Susceptibility Testing, with permission. The complete standard may be obtained from the National Committee for Clinical Laboratory Standards, 940 West Valley Road, Suite 1400, Wayne, PA 19087-1898 USA. Values not in M100-S9 are explained in other footnotes. For appropriate MIC correlates, refer to M100-S9^{g-h}.

ภาคผนวก ๔

ตารางผนวกที่ ง-1 แสดงผลการสังเคราะห์คิเอ็นเอที่ได้จากไฟรเมอร์ 1 (SPH) กับໄรโซเบิ่นทั้ง 16 ไอโซเดทจากป้าครบุรี โดยกำหนดศักยลักษณ์ “1” กรณีที่เกิดແບບคิเอ็นเอ และกำหนดศักยลักษณ์ “0” กรณีที่ไม่เกิดແບບคิเอ็นเอ

ตารางผนวกที่ ง-2 แสดงผลการสังเคราะห์ดีเอ็นเอที่ได้จากไพรเมอร์ 1 (SPH) กับไรโซเมียมทั้ง 16 ไอโซเลทจากปานองระเวียง โดยกำหนดสัญลักษณ์ “1” กรณีที่เกิดแอบดีเอ็นเอ และ สัญลักษณ์ “0” กรณีที่ไม่เกิดแอบดีเอ็นเอ

ช น า ต D N A (Kb)	1.4	1.35	1.2	1.07	0.9	0.87	0.80	0.70	0.64	0.50
N1	0	0	0	0	0	0	1	0	1	0
N2	0	1	0	0	1	0	0	0	1	0
N3	1	0	0	0	0	0	1	0	1	0
N4	0	1	0	0	0	0	0	0	1	0
N5	0	0	1	0	0	0	0	0	1	0
N6	0	0	0	0	0	0	1	0	1	0
N7	0	0	0	0	0	1	0	0	0	1
N8	0	0	0	0	0	0	0	0	1	1
N9	0	0	0	0	0	0	1	1	0	0
N10	0	0	0	0	0	0	1	0	0	0
N11	0	0	0	0	0	1	0	0	0	1
N12	0	1	1	0	0	0	0	1	0	1
N13	0	0	0	0	0	1	0	1	0	0
N14	0	1	1	0	0	0	1	0	1	0
N15	0	1	0	1	0	0	1	1	1	1
N16	0	0	0	1	0	0	1	1	1	1

ตารางผนวกที่ ง-3 แสดงผลการสังเคราะห์ดีเอ็นเอที่ได้จากไพรเมอร์ 2 (RF) กับไรโซเบี้ยนทั้ง 16 ไอโซเลทจากป้าครุบวี โดยกำหนดตัวถ่วงดักจับ “1” กรณีที่เกิดແບดีเอ็นเอ และ ตัวถ่วงดักจับ “0” กรณีที่ไม่เกิดແບดีเอ็นเอ

ขนาดDNA(Kb)	1.6	1.5	1.45	1.4	1.2	1.01	0.9	0.87	0.80	0.70	0.60	0.50
P1	0	0	1	0	1	1	1	1	1	1	1	0
P2	0	0	1	0	0	1	1	0	0	0	1	0
P3	0	0	0	1	0	1	0	1	1	1	1	0
P4	0	0	0	1	0	1	0	1	1	1	1	0
P5	0	1	0	1	0	0	0	1	1	1	0	0
P6	0	1	0	1	0	0	0	1	1	1	0	0
P7	0	1	0	1	0	0	1	1	1	1	0	0
P8	0	1	1	0	0	0	0	1	0	1	0	0
P9	0	1	0	1	0	1	1	1	1	1	1	0
P10	0	1	0	1	0	1	0	1	1	1	1	0
P11	0	1	0	1	0	1	0	1	1	1	1	0
P12	0	1	0	0	0	1	0	1	1	1	1	0
P13	0	1	0	1	0	1	0	1	1	1	1	0
P14	0	1	0	0	1	1	1	0	1	1	1	0
P15	0	0	0	1	0	0	1	1	1	0	0	0
P16	0	1	0	0	0	0	0	0	0	1	0	0

ตารางผนวกที่ ง-4 แสดงผลการสังเคราะห์ดีเอ็นเอที่ได้จากไฟรเมอร์ 2 (RF) กับไวโตรีบีมทั้ง 16 ไอโซเลทจากปานuren ของระดับ โดยกำหนดสัญลักษณ์ “1” กรณีที่เกิดແບດดีเอ็นเอ และ สัญลักษณ์ “0” กรณีที่ไม่เกิดແບດดีเอ็นเอ

ขนาดDNA(Kb)	1.6	1.5	1.45	1.4	1.2	1.01	0.9	0.87	0.80	0.70	0.60	0.50
N1	0	0	0	0	0	0	0	0	1	1	0	0
N2	0	0	0	0	0	0	1	0	0	1	0	0
N3	0	1	0	1	0	0	1	0	1	1	0	0
N4	0	1	0	0	0	0	0	0	1	1	0	0
N5	0	0	0	0	1	0	1	0	0	1	0	0
N6	1	0	0	0	0	0	1	0	1	0	0	0
N7	0	1	0	0	0	1	0	0	1	1	0	1
N8	0	1	0	0	0	1	0	0	1	1	0	1
N9	0	0	0	0	0	0	0	0	1	1	0	0
N10	0	0	0	0	0	0	0	0	0	0	0	1
N11	0	1	0	0	0	1	0	0	0	1	0	1
N12	0	1	0	0	0	1	0	0	0	1	0	1
N13	0	0	0	0	0	0	1	0	0	0	0	0
N14	0	1	0	0	0	1	0	0	0	1	0	1
N15	1	0	0	0	0	0	1	0	1	1	0	1
N16	0	0	0	0	0	0	0	0	1	1	0	1

ตารางผนวกที่ ง-5 แสดงผลการสังเคราะห์ดีเอ็นเอที่ได้จากไพรเมอร์ 4 กับໄเร โซเบิร์มทั้ง 16 ไอโซเลทจากป้าครบุรี โดยกำหนดสัญลักษณ์ “1” กรณีที่เกิดแอบคีเอ็นเอ และ สัญลักษณ์ “0” กรณีที่ไม่เกิดแอบคีเอ็นเอ

ขนาด D N A (Kb)	3.0	2.0	1.8	1.7	1.6	1.4	1.35	1.25	1.1	1.07	1.01	0.87	0.82	0.80	0.70	0.60	0.50	0.29
P1	0	0	0	0	0	0	0	0	0	0	0	0	1	1	0	0	0	0
P2	0	0	0	1	1	1	0	0	1	0	1	1	1	1	0	0	0	1
P3	1	0	1	1	1	0	0	1	0	0	1	1	0	0	0	0	0	0
P4	1	0	1	1	1	0	0	1	0	0	1	1	0	0	0	0	0	0
P5	0	0	0	0	0	0	0	0	1	0	1	1	1	0	0	1	0	0
P6	0	0	0	0	0	0	0	0	1	0	1	1	1	0	0	1	0	0
P7	0	0	1	1	0	0	1	1	1	0	1	1	1	0	0	0	0	0
P8	0	0	0	0	0	0	1	1	0	0	0	0	0	0	1	1	0	0
P9	0	0	0	1	0	0	1	1	0	0	1	1	1	1	0	0	0	0
P10	0	0	0	0	0	0	0	1	0	0	0	1	0	1	0	1	0	0
P11	0	0	0	0	0	0	0	0	1	0	0	0	1	0	0	0	0	0
P12	0	0	0	0	0	0	0	1	1	0	0	1	1	0	0	0	0	0
P13	0	1	0	1	0	0	1	0	0	0	0	1	0	1	1	1	0	0
P14	0	1	0	1	0	0	1	1	0	0	0	1	0	1	1	1	0	0
P15	0	0	1	1	1	1	1	1	1	1	1	1	0	1	0	0	0	0
P16	0	0	0	0	0	0	0	0	1	0	0	0	1	0	0	0	0	0

ตารางผนวกที่ ง-6 แสดงผลการสังเคราะห์คีอีนเอที่ได้จากไพรเมอร์ 4 กับไรโซเมียมทั้ง 16 ไซเดทจากป้าหนองระเวียง โดยกำหนดสัญลักษณ์ “1” กรณีที่เกิดແນບคีอีนเอ และ กำหนด สัญลักษณ์ “0” กรณีที่ไม่เกิดແນບคีอีนเอ

ขนาด D N A (Kb)	3.0	2.0	1.8	1.7	1.6	1.4	1.35	1.25	1.1	1.07	1.01	0.87	0.82	0.80	0.70	0.60	0.50	0.29
N1	0	0	0	0	0	0	0	0	1	1	0	1	1	0	0	1	0	1
N2	0	0	0	0	0	1	0	0	0	0	0	1	0	1	1	0	1	0
N3	0	0	0	0	0	0	0	0	1	1	0	1	1	0	0	1	0	1
N4	0	0	0	1	0	0	0	1	0	0	1	1	1	0	0	0	0	0
N5	0	0	0	0	0	0	0	0	0	0	0	1	0	1	1	0	0	0
N6	0	0	0	0	1	0	0	0	0	1	0	0	0	0	0	1	0	0
N7	0	0	0	1	0	0	0	0	0	0	1	1	1	0	0	1	0	0
N8	0	0	0	1	0	0	0	0	0	0	1	1	1	0	0	1	0	0
N9	0	0	0	0	1	0	0	0	0	0	0	0	0	0	0	0	0	0
N10	0	1	0	1	1	0	0	1	0	0	0	0	0	0	0	0	0	0
N11	0	0	0	1	1	0	0	1	0	0	1	1	0	0	0	0	0	0
N12	0	0	0	0	1	0	0	1	0	0	1	1	0	0	0	0	0	0
N13	0	0	0	0	1	0	0	0	1	0	0	1	1	1	0	1	0	1
N14	0	0	0	1	1	0	0	0	0	0	0	1	0	0	0	0	0	0
N15	0	0	0	1	1	0	0	0	0	1	0	0	0	1	0	1	0	0
N16	0	0	0	0	1	0	0	0	0	0	0	0	0	0	1	0	0	0

ตารางผนวกที่ ง-7 แสดงผลการสังเคราะห์ดีเอ็นเอที่ได้จากไพรเมอร์ 6 กับไรโซบียมทั้ง 16 สาย
โซเดทจากป่าครุฑ์ โดยกำหนดสัญลักษณ์ “1” กรณีที่เกิดແບບดีเอ็นเอ และ กำหนดสัญลักษณ์ “0”
“กรณีที่ไม่เกิดແບບดีเอ็นเอ

ขนาด D N A (Kb)	2.8	2..4	2.0	1.8	1.7	1.6	1.5	1.4	1.35	1.1	1.07	0.9	0.87	0.8	0.75	0.70	0.55	0.50
P1	1	0	0	0	0	0	0	0	0	0	0	0	0	0	0	0	0	1
P2	1	0	0	0	0	0	0	0	0	0	0	1	0	0	0	0	1	1
P3	1	1	0	0	0	1	0	1	0	0	0	0	1	0	0	1	0	1
P4	0	0	0	0	0	1	0	1	0	0	0	0	1	0	0	0	0	1
P5	0	0	1	1	0	0	0	0	0	1	0	1	1	0	0	0	0	0
P6	0	0	1	1	0	0	0	0	0	1	0	1	1	0	0	0	0	0
P7	0	0	1	1	0	1	0	0	0	0	1	0	0	0	1	1	0	0
P8	0	0	0	0	0	1	1	0	0	0	0	1	0	0	0	0	0	0
P9	1	0	0	0	0	0	0	0	0	0	0	0	0	0	0	0	0	1
P10	0	0	0	0	0	0	0	0	0	0	0	0	0	1	0	0	0	1
P11	0	0	0	0	0	0	0	0	0	0	0	0	0	0	0	0	0	1
P12	1	0	1	1	1	1	0	0	0	1	1	1	1	1	0	0	1	1
P13	0	0	0	0	0	0	0	0	0	0	0	0	0	0	0	0	0	1
P14	1	0	0	0	0	0	0	0	0	0	1	0	0	0	1	1	0	1
P15	0	0	0	0	0	1	0	1	0	0	0	0	1	0	1	1	0	1
P16	0	0	1	1	1	1	0	0	0	1	0	1	1	0	0	1	0	1

ตารางนวนกที่ ง-8 แสดงผลการสังเคราะห์ดีเอ็นเอที่ได้จากไพรเมอร์ 6 กับไฮโซเบิยมทั้ง 16 ไฮโซเดทจากป้าหนองระเวียง โดยกำหนดสัญลักษณ์ “1” กรณีที่เกิดແບດดีเอ็นเอ และ กำหนดสัญลักษณ์ “0” กรณีที่ไม่เกิดແບດดีเอ็นเอ

ตารางผนวกที่ ง-9 แสดงผลการสังเคราะห์ดีเอ็นเอที่ได้จากไพรเมอร์ 7 กับไรโซเบียนทั้ง 16 ไซเลทจากป้าครบุรี โดยกำหนดค่าัญลักษณ์ “1” กรณีที่เกิดແບດดีเอ็นเอ และ กำหนดค่าัญลักษณ์ “0” กรณีที่ไม่เกิดແບດดีเอ็นเอ

ขนาดDNA (Kb)	2.7	2.1	2.0	1.7	1.6	1.4	1.35	1.20	1.07	1.01	0.9	0.87	0.80	0.75	0.60	0.50
P1	0	0	0	1	0	0	0	0	0	0	0	0	0	0	0	0
P2	0	0	0	1	0	0	0	1	0	0	0	0	0	1	0	0
P3	0	0	0	1	0	0	0	0	1	0	0	0	0	0	1	0
P4	0	0	0	1	0	0	0	0	1	0	0	0	0	0	0	0
P5	1	0	0	1	1	0	1	0	1	0	0	0	1	0	0	0
P6	1	0	0	1	1	0	1	0	1	0	0	0	0	1	0	0
P7	0	0	1	1	0	1	1	0	1	0	0	0	0	0	0	0
P8	1	1	0	1	0	1	1	0	1	0	1	0	0	0	0	0
P9	0	0	1	1	0	1	0	0	1	0	0	0	0	0	0	1
P10	0	0	0	1	0	1	0	0	1	0	0	1	0	0	0	1
P11	1	0	0	0	1	0	0	0	0	0	0	0	0	0	0	0
P12	1	0	0	0	1	0	0	1	0	0	0	1	0	1	1	0
P13	0	0	1	1	0	1	1	0	1	1	0	0	1	0	0	1
P14	0	0	0	0	0	1	0	0	1	0	0	0	0	0	0	0
P15	0	0	1	0	0	1	0	1	1	0	0	0	0	0	0	0
P16	1	0	0	1	1	0	1	1	1	0	0	1	1	0	0	0

ตารางผนวกที่ ง-10 แสดงผลการสังเคราะห์ดีเอ็นเอที่ได้จากไพรเมอร์ 7 กับໄโซเบิยมทั้ง 16 ไอโซเลทจากป้าครุฑี โดยกำหนดสัญลักษณ์ “1” กรณีที่เกิดแอบดีเอ็นเอ และ กำหนดสัญลักษณ์ “0” กรณีที่ไม่เกิดแอบดีเอ็นเอ

ขนาดDNA (Kb)	2.7	2.1	2.0	1.7	1.6	1.4	1.35	1.20	1.07	1.01	0.9	0.87	0.80	0.75	0.60	0.50
N1	0	0	0	1	0	0	0	0	1	0	0	0	0	1	0	1
N2	0	0	0	1	0	0	0	0	1	0	0	1	0	0	0	0
N3	0	0	0	1	0	1	1	1	1	0	0	1	1	1	0	0
N4	0	0	0	1	0	0	1	1	1	0	0	0	0	1	0	0
N5	0	0	0	1	0	1	0	0	0	0	0	1	0	0	0	0
N6	0	0	0	1	0	0	0	1	0	1	1	1	0	0	0	0
N7	0	0	0	1	0	0	1	1	1	0	1	0	0	1	0	0
N8	0	0	0	1	0	0	1	0	1	0	0	0	0	0	0	0
N9	0	0	0	1	0	1	0	0	1	0	1	0	1	1	0	0
N10	0	0	0	0	0	1	0	1	0	0	1	0	1	1	0	1
N11	0	0	0	1	0	0	0	1	1	0	1	0	0	0	0	1
N12	0	0	0	1	0	0	0	0	1	0	0	0	0	0	0	1
N13	0	0	0	1	0	0	0	0	0	0	0	0	0	1	0	0
N14	0	0	0	1	0	0	0	1	1	0	1	0	0	1	1	1
N15	0	0	0	1	0	0	0	1	0	0	1	0	0	0	0	0
N16	0	0	0	0	0	0	0	0	0	0	0	0	0	1	0	0

ภาคผนวก ๑

ตารางแสดงค่า Genetic distance จากการวิเคราะห์ด้วยเทคนิค RAPD

	P1	P2	P3	P4	P5	P6	P7	P8	P9	P10	P11	P12	P13	P14	P15	P16
P1																
P2	0.5600															
P3	0.6667	0.7222														
P4	0.7586	0.7272	0.2963													
P5	0.8000	0.8333	0.7568	0.8000												
P6	0.8181	0.7838	0.7105	0.7143	0.125											
P7	0.7879	0.7895	0.6486	0.6857	0.5625	0.5152										
P8	0.7931	0.7942	0.8159	0.8286	0.6333	0.6667	0.7143									
P9	0.6552	0.6364	0.5588	0.5000	0.7500	0.6667	0.5588	0.7059								
P10	0.5926	0.6250	0.6285	0.5806	0.7058	0.6571	0.7027	0.6563	0.4333							
P11	0.6190	0.7931	0.7000	0.7500	0.5417	0.5926	0.7000	0.7857	0.6428	0.6296						
P12	0.7773	0.8000	0.5946	0.7368	0.5882	0.5833	0.6667	0.8750	0.6923	0.6486	0.5357					
P13	0.7059	0.6486	0.6829	0.6111	0.7179	0.6750	0.6829	0.7105	0.4857	0.4242	0.7353	0.8085				
P14	0.6552	0.6765	0.7105	0.7143	0.8750	0.8571	0.6756	0.8108	0.5882	0.6176	0.8125	0.7857	0.5278			
P15	0.7714	0.7105	0.6410	0.6389	0.8333	0.7907	0.5675	0.8293	0.5946	0.6579	0.8000	0.7500	0.6744	0.595		
P16	0.8285	0.8809	0.7561	0.7949	0.4333	0.4848	0.5833	0.7895	0.7805	0.7435	0.6667	0.7500	0.3939	0.8372	0.7442	

ภาคผนวก ๙ (ต่อ)

	P1	P2	P3	P4	P5	P6	P7	P8	P9	P10	P11	P12	P13	P14	P15	P16
N1	0.8846	0.7931	0.8182	0.7590	0.7931	0.7333	0.8181	0.7857	0.8125	0.7667	0.8900	0.8919	0.8656	0.8824	0.8900	0.8571
N2	0.7727	0.6250	0.8045	0.8214	0.3620	0.8000	0.8065	0.8571	0.7586	0.7037	0.9167	0.8857	0.7576	0.8900	0.7097	0.8485
N3	0.8649	0.8900	0.8182	0.8000	0.7692	0.7250	0.7000	0.7632	0.7857	0.7179	0.8919	0.8000	0.6977	0.7857	0.7209	0.6750
N4	0.8148	0.7742	0.6452	0.6429	0.7742	0.6774	0.6452	0.7241	0.5862	0.6667	0.8077	0.7778	0.6857	0.7576	0.6765	0.7353
N5	0.7727	0.8214	0.8788	0.8214	0.9000	0.8387	0.7667	0.8966	0.8900	0.7500	0.9600	0.8529	0.8286	0.8900	0.8235	0.8485
N6	0.8929	0.9118	0.8919	0.8438	0.8788	0.8571	0.8286	0.9091	0.8869	0.8857	0.9635	0.8378	0.9024	0.9744	0.8421	0.8900
N7	0.8182	0.7590	0.7436	0.7143	0.8462	0.8000	0.7750	0.7428	0.7027	0.7297	0.8924	0.8139	0.7973	0.7368	0.7907	0.8905
N8	0.7931	0.6574	0.7590	0.6774	0.8286	0.7429	0.7500	0.6250	0.6563	0.8667	0.8250	0.6388	0.7059	0.893	0.8205	
N9	0.8333	0.8667	0.8125	0.7407	0.8776	0.8065	0.8485	0.8214	0.7667	0.7143	0.8750	0.8889	0.7647	0.8787	0.7941	0.7813
N10	0.5667	0.9429	0.8286	0.8065	0.9722	0.9744	0.8919	0.8759	0.8571	0.8857	0.9655	0.8974	0.8750	0.8571	0.7428	0.9231
N11	0.8333	0.7188	0.6765	0.5862	0.8919	0.8168	0.8158	0.7879	0.5333	0.6563	0.8667	0.7949	0.7185	0.7428	0.769	0.8500
N12	0.7778	0.7419	0.6563	0.6557	0.8529	0.8000	0.8056	0.7742	0.5517	0.6333	0.8148	0.7838	0.7297	0.7647	0.789	0.8421
N13	0.8846	0.7037	0.8529	0.8333	0.8333	0.8125	0.8182	0.8667	0.8485	0.8064	0.9629	0.9211	0.8378	0.8484	0.8900	0.8889
N14	0.8181	0.7838	0.7195	0.7590	0.8462	0.8293	0.7750	0.8108	0.7027	0.7297	0.8484	0.7250	0.767	0.9000	0.7317	0.7500
N15	0.6875	0.7927	0.7317	0.7368	0.8193	0.8193	0.7619	0.7948	0.7561	0.7500	0.8611	0.8900	0.7556	0.8410	0.6905	0.7935
N16	0.8519	0.8788	0.8286	0.7667	0.8788	0.8571	0.8919	0.8387	0.8889	0.7813	0.8889	0.8974	0.8462	0.9189	0.8108	0.9231

ภาคผนวก ๙ (ต่อ)

	N1	N2	N3	N4	N5	N6	N7	N8	N9	N10	N11	N12	N13	N14	N15	N16
N1																
N2	0.7619															
N3	0.4815	0.7813														
N4	0.7083	0.6818	0.6667													
N5	0.8182	0.6667	0.7419	0.8400												
N6	0.8000	0.8899	0.6969	0.8621	0.7273											
N7	0.7333	0.8750	0.6216	0.6333	0.9091	0.8889										
N8	0.7407	0.8148	0.6571	0.6296	0.8571	0.9091	0.2400									
N9	0.6500	0.8095	0.6667	0.6956	0.7599	0.7391	0.8437	0.8214								
N10	0.8462	1.000	0.7714	0.8214	0.9231	0.8145	0.7500	0.8750	0.7917							
N11	0.8279	0.8148	0.7948	0.5769	0.8571	0.8000	0.4286	0.4615	0.7778	0.7143						
N12	0.8571	0.8000	0.8462	0.6538	0.8462	0.9032	0.6000	0.5384	0.7600	0.8276	0.3478					
N13	0.7273	0.8182	0.7187	0.8928	0.8182	0.8462	0.8125	0.8275	0.8261	0.8889	0.7857	0.7692				
N14	0.7742	0.8900	0.7250	0.6774	0.8387	0.7590	0.5000	0.5806	0.7667	0.6207	0.4828	0.5000	0.8125			
N15	0.7941	0.8529	0.6829	0.7778	0.8529	0.5667	0.6579	0.6944	0.7879	0.7353	0.6944	0.7500	0.8786	0.6216		
N16	0.6956	0.9231	0.7714	0.9000	0.8800	0.8148	0.7878	0.8000	0.7392	0.7200	0.8667	0.8462	0.7879	0.5667		

ภาคผนวก ฉ

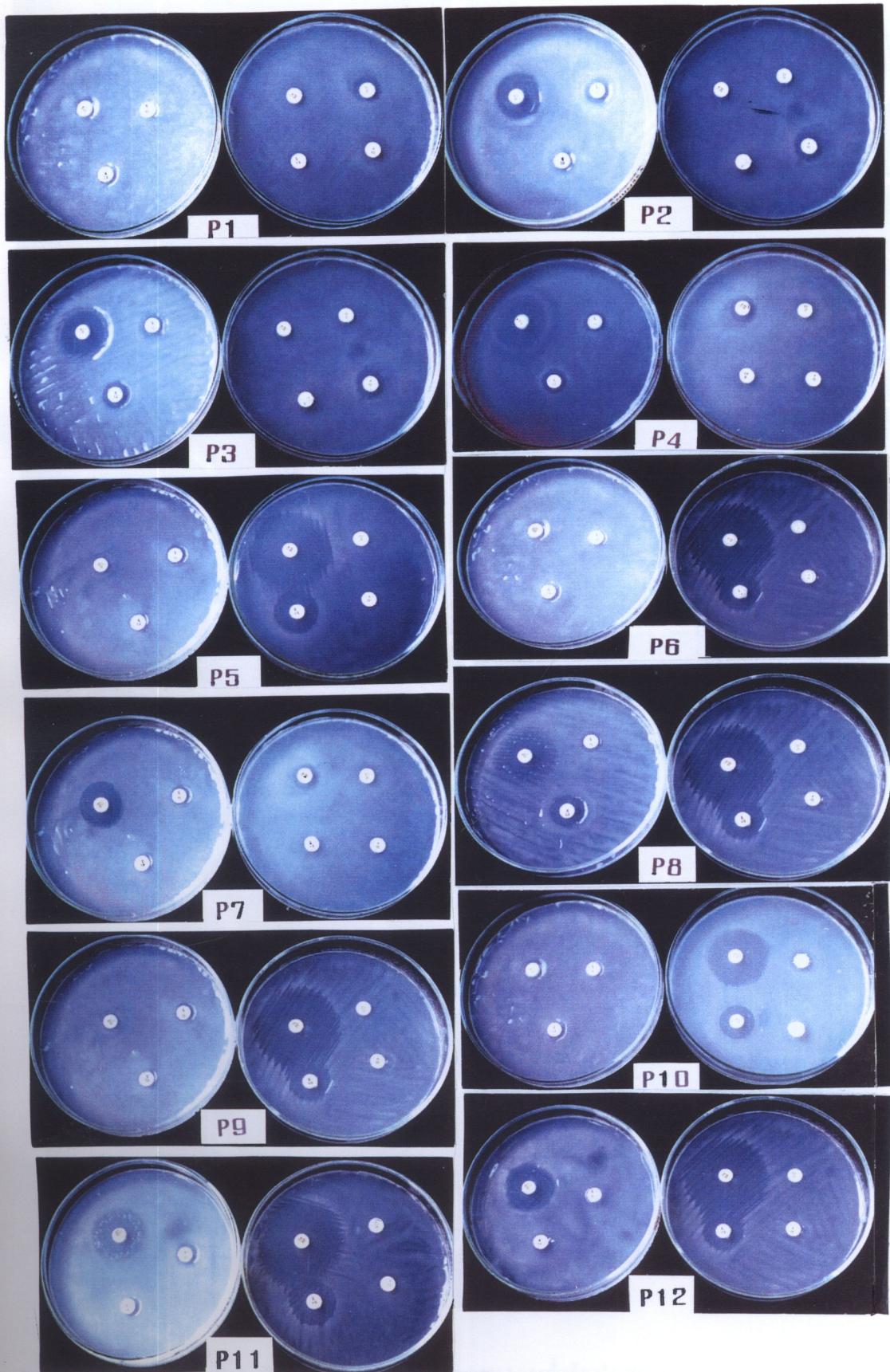
การเตรียมสารละลายต่าง ๆ ทางดีเอ็นเอ

สารละลายที่ใช้ในการศึกษาทางดีเอ็นเอ

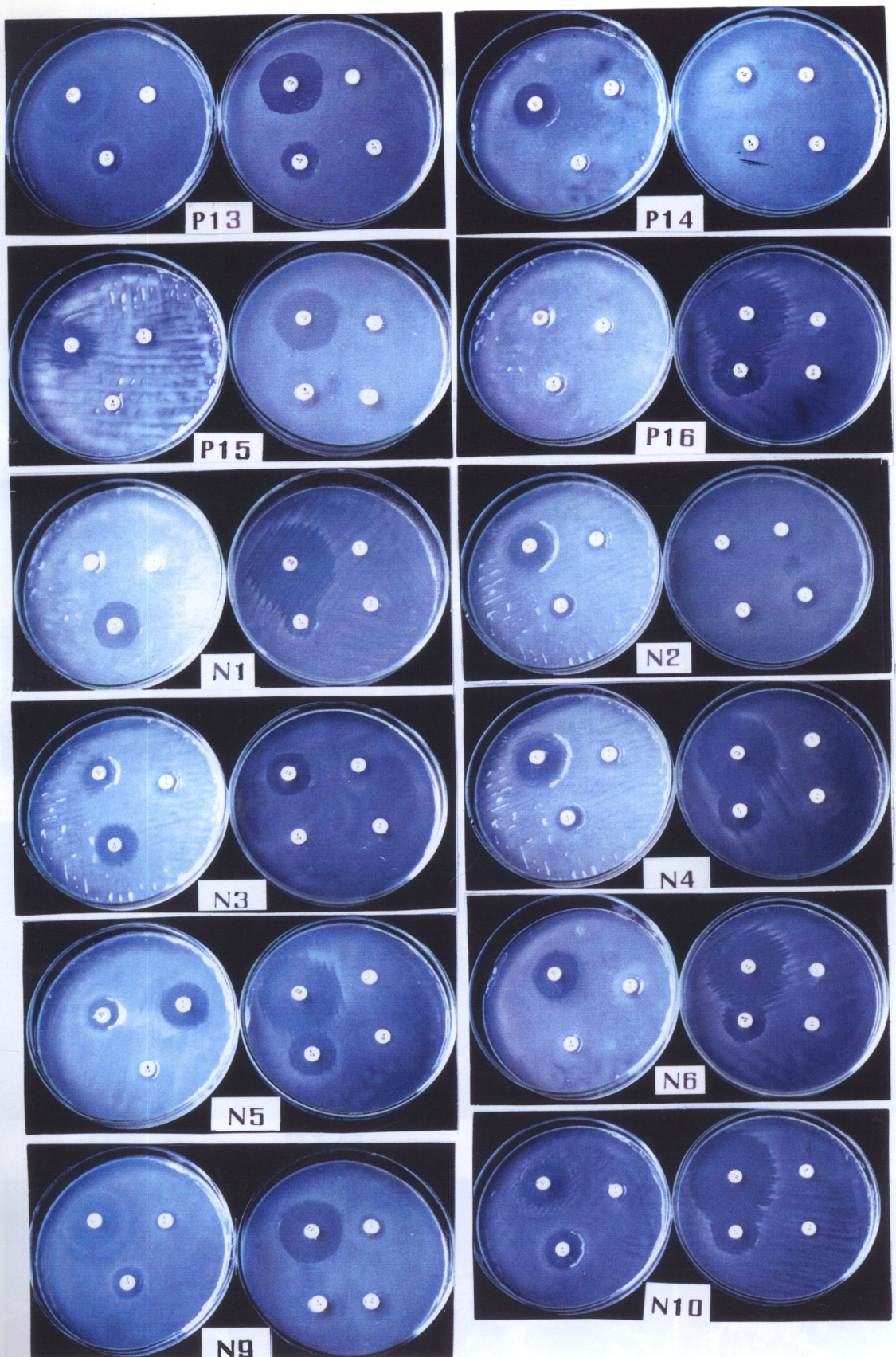
- ก. สารละลายบัฟเฟอร์ SET ประกอบด้วย โซเดียม 20 เมอร์เซ็นต์ (W/V) Tris – HCl 50 มิลลิโนลาร์ pH 7.6 และ EDTA 50 มิลลิโนลาร์
- ข. สารละลายไอลไซไซม์ ประกอบด้วย 5 มิลลิกรัมต่อมิลลิลิตร กลูโคส 50 มิลลิโนลาร์ Tris – HCl 2.5 มิลลิโนลาร์ pH 8.0 EDTA 10 มิลลิโนลาร์
- ค. สารละลายบัฟเฟอร์ TE ประกอบด้วย Tris – HCl 50 มิลลิโนลาร์ pH 8.0 EDTA 1 มิลลิโนลาร์ pH 8.0
- ง. สารละลายบัฟเฟอร์ Tris-borate ประกอบด้วย Tris-HCl 89 มิลลิโนลาร์ Boric acid 89 มิลลิโนลาร์ และ Na₂EDTA 2.5 มิลลิโนลาร์
- จ. สีติดตาม (Tracking dye) ใช้สำหรับผสมดีเอ็นเอก่อนทำอิเลคโทรforeชิส ประกอบด้วย Bromphenol blue 0.025 เมอร์เซ็นต์ (W/V), Ficoll 400 40 กรัมเมอร์เซ็นต์ SDS 0.5 กรัม เมอร์เซ็นต์
- ฉ. สารละลาย phenol เตรียมโดยละลายฟินอล 250 กรัม ใน 25 มิลลิโนลาร์ โซเดียมคลอไรด์ จำนวน 150 มิลลิลิตร เค้ม Tris-base ลงไป 2.5 กรัม และ Hydroxy quinoline 0.45 กรัม เก็บในขวดสีชา ที่ 4 องศาเซลเซียส
- ช. สารละลาย chloroform : isoamyl alcohol ในอัตราส่วน 24 : 1, สารละลายโซเดียมอะซิตะ pH 4.8, และโซเดียมโซลอกอฮอล์, ไอโซเพรพานอล (2-propanol), 70% เอทานอล

ภาคผนวก ช

ภาพการต้านสารปฏิชีวนะของเชื้อที่แยกได้จากพื้นที่ในโครงการฯ

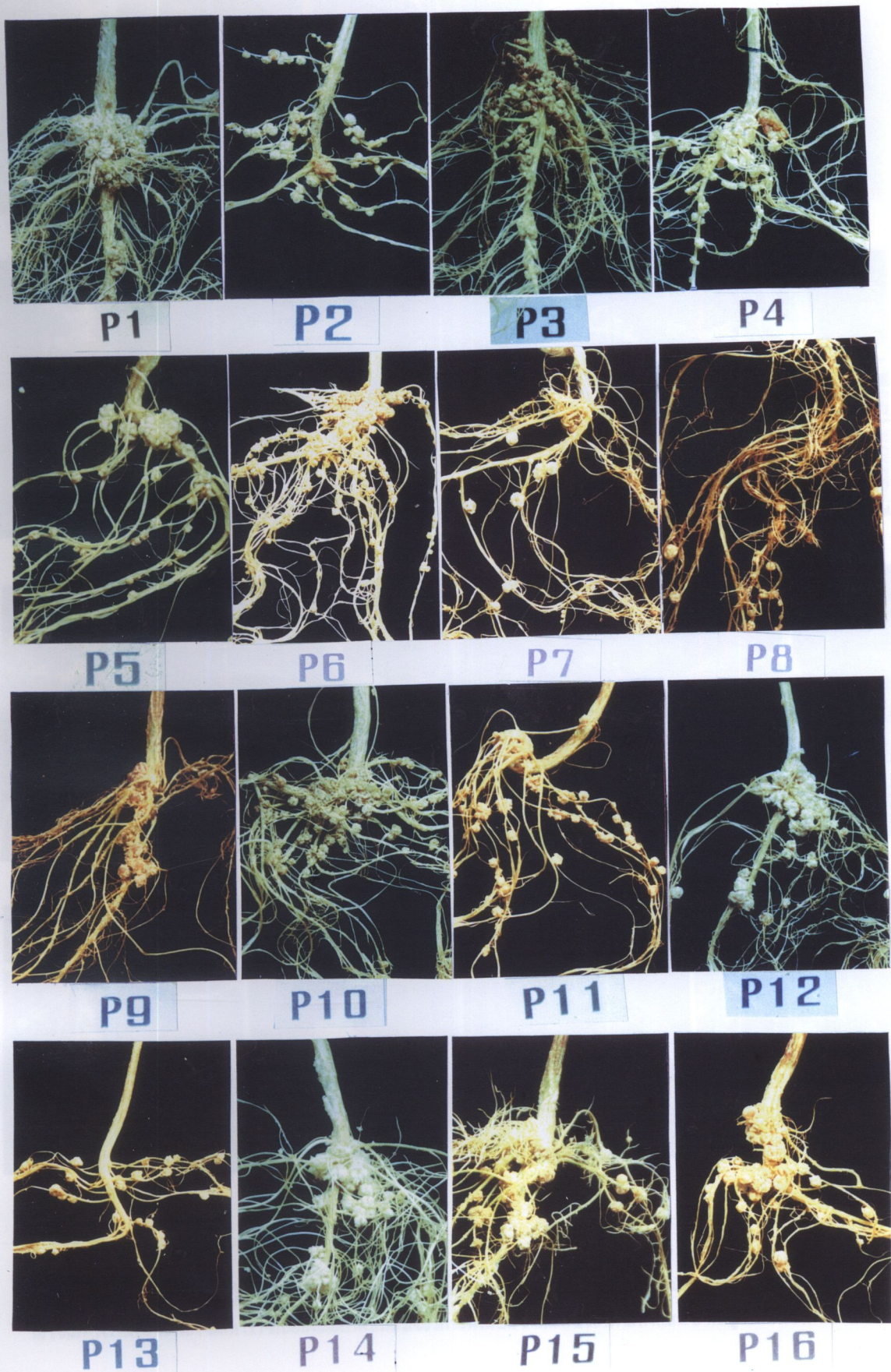


ภาพภาคผนวก ช (ต่อ)

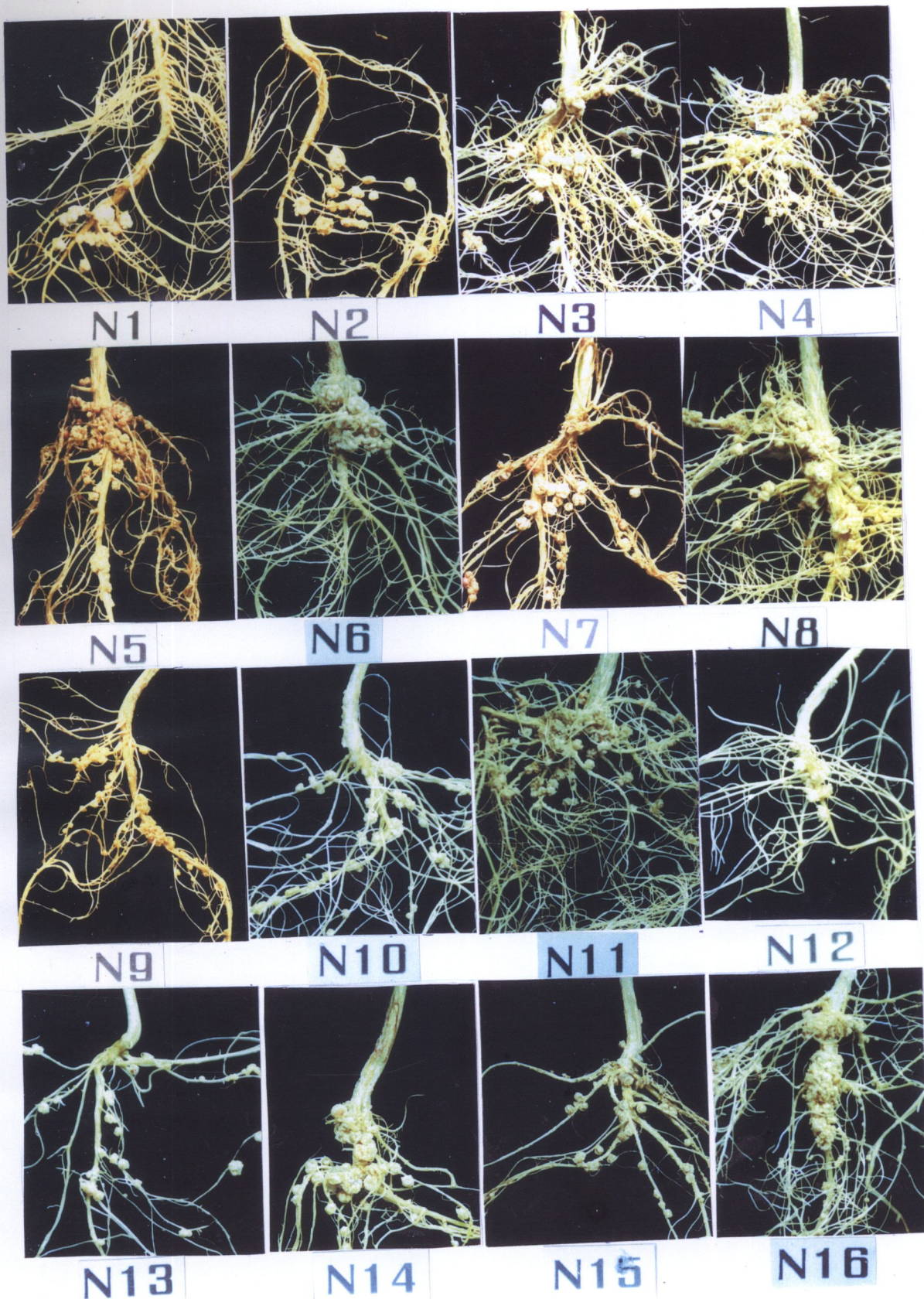


ไอโซเลท P1-P12 คือ ไอโซเลทไวรัสบีญที่แยกได้ปัจจุบันถ้วนเชิงกำแพงแสน 1 และถ้วนเชิงกำแพงแสน 2 ที่ปัจจุบันในคืน อ. ครุฑี
ไอโซเลท N1-N10 คือ ไอโซเลทไวรัสบีญที่แยกได้ปัจจุบันถ้วนเชิงกำแพงแสน 1 และถ้วนเชิงกำแพงแสน 2 ที่ปัจจุบันในคืน ท.หนองระเวียง

ภาคผนวก ๗
ภาพแสดงลักษณะการสร้างปมของเชื้อจากพื้นที่ในโครงการฯ



ภาพภาคผนวก ๙ (ต่อ)



ไอโซเลท P1-P16 คือ ไอโซเลทไรโซเมียนที่แยกได้ปัจจุบันถ้วนเขียวกำแพงแสน 1 และถ้วนเขียวกำแพงแสน 2 ที่ปลูกในดิน อ.กรุงรัง
ไอโซเลท N1-N16 คือ ไอโซเลทไรโซเมียนที่แยกได้ปัจจุบันถ้วนเขียวกำแพงแสน 1 และถ้วนเขียวกำแพงแสน 2 ที่ปลูกในดิน ต.หนองระเวียง

ประวัติผู้เขียน

นางสาว รัตนวดี หนองจันทร์ เกิดวันที่ 29 กันยายน 2517 ที่จังหวัดนราธิวาส สำเร็จการศึกษาระดับปฐมวุฒิ วิทยาศาสตร์บัณฑิต สาขาวิชาวิทยา ภาควิชาชีววิทยา คณะวิทยาศาสตร์มหาวิทยาลัยศิลปากร ในปีการศึกษา 2539 และเข้าศึกษาต่อในหลักสูตรวิทยาศาสตร์มนุษย์บัณฑิตสาขาวิชาพัฒนาศาสตร์ ภาควิชาพฤกษศาสตร์ คณะวิทยาศาสตร์ จุฬาลงกรณ์มหาวิทยาลัย เมื่อปี พ.ศ. 2540